

ΤΕΙ ΠΑΤΡΑΣ

ΣΧΟΛΗ : Σ.Τ.ΕΦ.

ΤΜΗΜΑ : ΠΟΛΙΤΙΚΩΝ  
ΕΡΓΩΝ ΥΠΟΔΟΜΗΣ

ΤΟΜΕΑΣ : ΕΔΑΦΟΜΗΧΑΝΙΚΗΣ

ΑΠΟΤΕΛΕΣΜΑΤΑ ΔΟΚΙΜΩΝ  
ΕΔΑΦΟΜΗΧΑΝΙΚΗΣ ΚΑΙ Η  
ΑΞΙΟΛΟΓΗΣΗ ΤΟΥΣ

ΕΠΙΒΛΕΠΩΝ ΚΑΘΗΓΗΤΗΣ : ΔΗΜΗΤΡΙΟΣ ΠΑΓΟΥΛΑΤΟΣ

ΜΟΝΟΓΥΙΟΣ Δ. ΓΕΩΡΓΙΟΣ

ΠΑΤΡΑ 1993



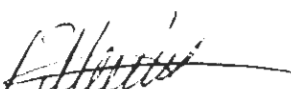
ΑΡΙΘΜΟΣ  
ΕΙΣΑΓΩΓΗΣ | 1566

Η παρούσα εργασία με τίτλο "ΑΠΟΤΕΛΕΣΜΑΤΑ ΔΟΚΙΜΩΝ ΕΔΑΦΟΜΗΧΑΝΙΚΗΣ ΚΑΙ Η ΑΞΙΟΛΟΓΗΣΗ ΤΟΥΣ" αποτελεί τη πισχιακή εργασία του σπουδαστή Μονογυιού Γεωργίου που η εκπόνησή της έγινε στο ΤΕΙ Πάτρας. Το θέμα ανέθεσε ο καθηγητής του ΤΕΙ Πάτρας Παγουλάτος Δημήτριος οποίος και συντέλεσε σε όλες τις φάσεις της επεξεργασίας του θέματος.

Η εργασία αυτή κατά ένα μέρος έγινε στο κεντρικό εργαστήριο εδαφομηχανικής του ΥΠΕΧΩΔΕ, με τη συμπαράσταση και τις παραπορίσεις των εκεί μηχανικών - γεωλόγων αλλά και εργαστηριακών. Ένα άλλο μέρος της εργασίας έγινε στο εργαστήριο εδαφομηχανικής του ΤΕΙ Πάτρας με τη συνεργασία των εργαστηριακών Δ. Καραμπούλα και . Πανογιώργου.

Τέλος, ευχαριστώ το κ. Δημ. Παγουλάτο για την ανάθεση και τη συνεχή βοήθειά του πάνω στο θέμα. Ακόμα ευχαριστώ τους τσχυρά καταρτισμένους μηχανικούς και γεωλόγους Μ. Παχάκη, Χ. Γιάνναρο, Ι. Βασιλείου, αλλά και τους εργαστηριακούς Χ. Τσαλιγόπουλο, Μ. Ιγγλέση, Κ. Σταθάκη και άλλους, για τη σπουδαία βοήθεια, υποδειξεις και συμβουλές που με μεγάλη υπευθυνότητα μου πρόσφεραν.

Αθήνα 2-12-93



## Εισαγωγή

---

Στην έργασία αυτή με τίτλο "ΑΠΟΤΕΛΕΣΜΑΤΑ ΔΟΚΙΜΩΝ ΕΔΑΦΟΜΗΧΑΝΙΚΗΣ ΚΑΙ Η ΑΞΙΟΛΟΓΗΣΗ ΤΟΥΣ" γίνεται μια παρουσίαση του γεωτεχνικού προβλήματος με καινούργια δεδομένα, παρατηρήσεις και σχόλια που έχουν σκοπό να βοηθήσουν στην αξιοποίηση των πρακτικών γνώσεων σε αυτό το τομέα.

Η σκοπιμότητα τής έρευνας του εδάφους είναι σπουδαία γιατί έτσι θα προκριθούν τα αίτια που σύντομα ή μετά από αρκετό χρόνο θα φέρουν προβλήματα. Η έρευνα δίνει λύσεις για την αντιμετώπιση των προβλημάτων, για να εξασφαλισθούν η ασφάλεια και η λειτουργικότητα του έργου αλλά και τής περιοχής (λ.χ. αντιμετώπιση αστοχίας επιχωμάτων).

Το κόστος τής έρευνας αυτής δεν είναι υπερβολικό, είναι γύρω στο 3 % του προϋπολογισμού του άλου έργου.

Η εδαφοτεχνική έρευνα και η αξιολόγησή της πρέπει να γίνονται από υπεύθυνο, έμπειρο εργαστηριακό προσωπικό.

Ένα καλό βήμα τής εδαφοτεχνικής τέχνης θα ήταν να γίνει μια συγκέντρωση όλων των εδαφικών πληροφοριών, με τη συνεργασία και άλλων κλάδων (π.χ. σεισμολογία, τοπογραφία, γεωλογία κ.α.) σε μια τράπεζα δεδουλεύων με τη Βοήθεια των "Information Geographics systems" ώστε να υπάρχει μια πλήθη εικόνα του Ελλαδικού -και όχι μόνο χώρου- που θα μπορεί να χρησιμοποιείται και να συμπληρώνεται από το κάθε ενδιαφέρομενο.

## ΤΕΡΙΞΩΜΕΝΑ

### ΜΕΡΟΣ Α

Τοπικός εδαφοτεκνικός διερευνητής . . . . .	1
Γεωτούπανα . . . . .	2
Εδαφοτεκνικές δοκιμές εργαστηρίου . . . . .	15
Εδαφοτεκνικές δοκιμές στη τάπη . . . . .	43
Συγκριτικός πίνακας δοκιμών στη τάπη . . . . .	46

### ΜΕΡΟΣ Β

Περιουσιακός εδαφοτεκνικός υπλέκτης . . . . .	
‘Επινεσιο Μεσοπόντιο’ . . . . .	50
Αποτελεσματα δοκιμών . . . . .	54
Κατά μήκος της εδάφους . . . . .	116
Σεισμοκόπια πειραμάτων . . . . .	129
Ελεγχόσ για βευτοποίηση . . . . .	130

### ΜΕΡΟΣ Γ

Υπολογισμός ποσού αντιστροφής . . . . .	137
Υπολογισμός αντιστροφής με , τεσσάρινα και δυκινώσατε . . . . .	138
Υπολογισμός ακλονήσου τοιχου . . . . .	169
Υπολογισμός πεδιλοδοκών . . . . .	171
Υπολογισμός καθιζόσεων πεδίλων – πεδιλοδοκών . . . . .	186
Συγκεντρωτικά αποτελέσματα καθιζόσεων . . . . .	195

### ΜΕΡΟΣ Δ

Παρουσίαση εδαφοτεκνικής δομής (Σε ένα block sample) ‘Βεντού Σταδίο Πάτρας’ . . . . .	197
---	-----

**ΜΕΡΟΣ Ε**

Απλες ευπειροκρες αντικειμενα της τον τηλεοπτικου οδηγικων πραδανετων .....	211
Εισιτηριατρια .....	222

- 1 -  
ΕΔΑΦΟΤΕΧΝΙΚΗ ΔΙΕΡΕΥΝΗΣΗ [26]

Για να γνωρίσουμε τα χαρακτηριστικά τού εδάφους μιάς περιοχής, στην επιφάνεια αλλά και μέχρι κάποιο βάθος, όταν πρόκειται για τη δόμηση κάποιου τεχνικού έργου ή για την εξέταση κάποιου φαινομένου, θα πρέπει να κάνουμε κάποιες έρευνες. Η έρευνα μπορεί να είναι περισσότερο ή λιγότερο διεξοδική ανάλογα το μέγεθος και τη σπουδαιότητα τού έργου.

Για τη διερεύνηση που αναφέρθηκε αποσκοπείται η λήψη πληροφοριών για τους εξεις παράγοντες:

- a.) Τη φύση των σχηματισμών που συγκροτούν το υπέδαφος της περιοχής (πετρώματα, εδάφη, νερά κ.α.).
- b.) Τη κατανομή τους στο χώρο.
- c.) Τη συμπεριφορά τους κάτω από συνθήκες που θα προκύψουν στο μέλλον (πιέσεις πόρων, αποστράγγιση, κυκλικά φορτία κ.α.).

Τα στάδια τής μελέτης κάποιου έργου είναι:

- a.) Το στάδιο τής προκαταρτικής μελέτης. Εδώ γίνεται η διερεύνηση των δυνατοτήτων που υπάρχουν σχετικά με τη πραγματοποίηση του έργου από τεχνοοικονομική άποψη.
- b.) Το στάδιο τής προμελέτης. Γίνεται η διερεύνηση των παραμέτρων που επηρεάζουν την τεχνοοικονομική λύση (αυτοί είναι γεωλογικοί, υδρολογικοί και εδαφολογικοί).

Στο στάδιο αυτό αρχίζει και η γεωλογική - γεωτεχνική διερεύνηση που περιλαμβάνει τα εξεις στάδια:

\* Στάδιο γεωλογικής αναγνώρισης. Εδώ γίνεται συγκέντρωση στοιχείων από διάφορους χάρτες (π.χ. γεωλογικοί χάρτες τού ΙΓΜΕ και τοπογραφικοί) ή και από προηγούμενες γειτονικές έρευνες.

\* Στάδιο τής επι τόπου αναγνώρισης, όπου συγεντρώνονται από επισκέψεις στη περιοχή, στοιχεία των σχηματισμών επιφανείας αλλά και κάποιους βάθους από υπάρχουσα φρέατα, πηγάδια και από ψυσικά ή και τεχνικά πρανή στα οποία διακρίνονται οι στρώσεις των υλικών. Στό στάδιο αυτό μπορεί να γίνει μικρός αριθμός γεωτρήσεων ή φρεάτων.

\* Στάδιο τής κύριας γεωλογικής - γεωτεχνικής διερεύνησης. Εδώ εκτελούνται τα γεωτεχνικά έργα (γεωτρήσεις) και οι απαραίτητες δοκιμές. Στη συνέχεια αξιολογούνται τα αποτελέσματα και συντάσσεται σχετική τεχνική έκθεση.

c.) Το στάδιο τής μελέτης. Μελετούνται σε αυτό όλες οι περιπτώσεις για να επιλεγεί η βέλτιστη λύση.

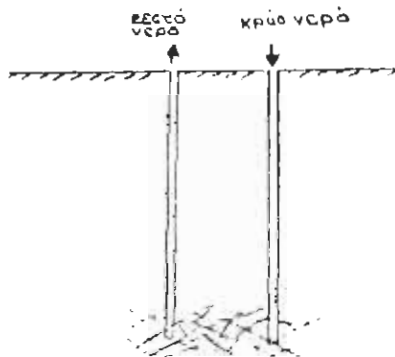
### Ερευνητικά έργα

Για να γνωρίσουμε τη δομή και τα χαρακτηριστικά του υπεδάφους πρέπει να λάβουμε δείγματα από διάφορα βάθη. Αυτό μπορούμε να πετύχουμε με τα ερευνητικά έργα που χωρίζονται στά εξεις:

a.) Γεωτρήσεις.

Η γεωτρηση είναι κυκλική οπή που μπορεί να εκτείνεται οριζόντια, κάθετα ή με κλίση, και αποτελεί μια γρήγορη, φθηνή λύση διερεύνησης της εκμετάλλευσης υπογείων υλικών.

b.) ψρεάτια.



Φρέατα είναι σκάματα τετραγωνικής συνήθως διατομής διαστάσεων πολύ μεγαλύτερης από αυτή της γεωτρησης

(σχ 1) Γεωτρήσεις για την εκμετάλλευση της γεωφυσικής ενέργειας.

χαρακτηριστικά	ψρέατα	Γεωτρήσεις
Μπορούμε να αποφύγουμε τελείως το μηχανικό εζό/σμό	Ναι	Όχι
Καλύτερη εικόνα του εδάφους	Ναι	Όχι
Εύκολη λήψη και μεγάλη αδιαταραχή του δείγματος	Ναι	Όχι
Μεγάλος ο χρόνος εκσκαφής	Ναι	Όχι
Μεγαλύτερο βάθος από 6 μέτρα	Μόνο με αναβαθμούς.	Ακόμα και χιλιόμετρα
Μέγεθος οπής	70 * 70 cm Εάν η εκσκαφή γίνεται με μηχανικά μέσα και με αναβαθμούς η οπή πρέπει να είναι > 30 μ <sup>2</sup> .	Περίπου 20 cm (Άλλα και μέχρι 0.5 m.)
Προστασία υπογείων αγωγών κ.α.ε.	Ναι	Όχι

Τα δείγματα που μπορούμε να πάρουμε χωρίζονται στα  
α.) Διαταραχμένα. β.) Αδιατάραχτα.

Αδιατάρακτο θεωρήται το υλικό που κατά την απομάκρυνσή του από τις φυσικές συνθήκες δε διαταράχθηκαν η υφή του, η πυκνότητά του, το πορώδες, η υγρασία του, και η εντατική κατάστασή του, λόγο της αποφόρτησης του, (κατά Bell 1980)

## Τρόποι δειγματοληψίας

Η διαδικασία αυτή μπορεί να γίνει με τους εξεις τρόπους:

α.) Χρήση δειγματοληπτη που διεισδύει με πίεση που του παρέχει ένας εκσκαφέας. Αυτό μπορεί να γίνει στο πυθμένα κάποιου ψραντίου.

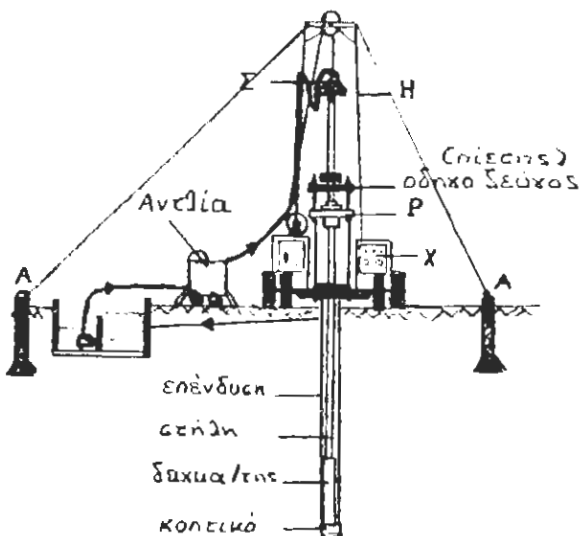
Β.) Χρήση γεωτρυπάνου.

γ.) Ληφθείτε "block sample". Είναι ένα πολύ αδιατάραξτό δείχμα.

Για να πάρουμε ένα "block" δείγμα χαράσσουμε στους έδαφους την επιφάνεια ένα τετράγωνο, διαστάσεων περίπου 15 \* 15 cm και σκάβουμε περιμετρικά του μέχρι ένα βάθος 20 cm περίπου. Στη συνέχεια σκάβουμε και από τη κάτω μεριά, κάτω από το βάθος τών 15 cm και εξάγουμε το δείγμα. Το τετράγωνο αυτό υλικό καλύπτεται με υγρό χαρτί ή ύψασμα και παραφίνονται. Αναγράφουμε το πάνω και κάτω άκρο του, το φρεάτιο, το βάθος, την ημερομηνία λήψης και με προσοχή το σδημούμε στο εργαστήριο.

Επωτρύπανα

Είναι μηχανήματα με τα οποία μπορούμε με τον ανάλογο εξοπλισμό να πάρουμε διαταραχμένα, αδιατάρακτα ή και συντετριμμένα υλικών.

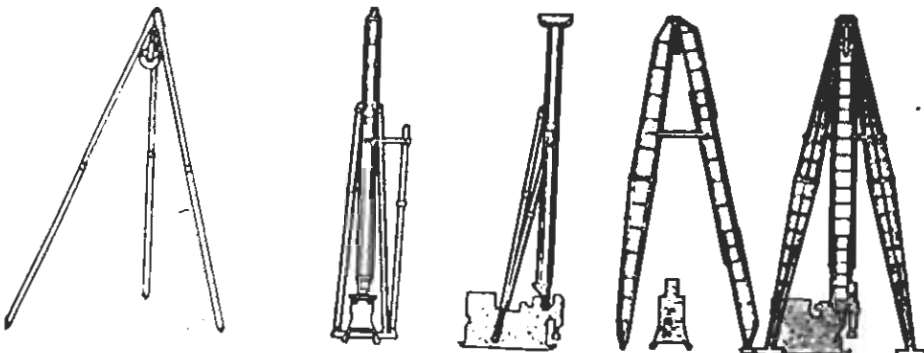


- H= Ιστός**  
**A= Αγκυρώσεις**  
**x= Χειριστήριο με μετρητή στροφών, ελεκτή οριζόντια-τητας ή κλίσης του ιστού, σύστημα αυξομείωσης τής ταχύτητας περιστροφής Μετρητή ταχύτητας διάτρησης.**  
**P= Σύστημα περιστροφής**  
**S= Περιστρεπτός τροφοδότης νερού.**

(Ex 2)

(σχ2) Σχηματική παράσταση γεωτρυπάνου [18].

Πύργος ή ιστός γεωτρυπάνου (σχ3). Οι πύργοι δίνουν την δυνατότητα διευκόλυνσης των απαραίτητων χειρισμών της στήλης (π.χ. καταβίβαση, ανέλκυση, ένωση των τεμαχίων). Το ύψος του πρέπει να είναι μεγαλύτερο κατά 2 μέτρα από το μεγαλύτερο τεμάχιο του διατρητικού εξοπλισμού.

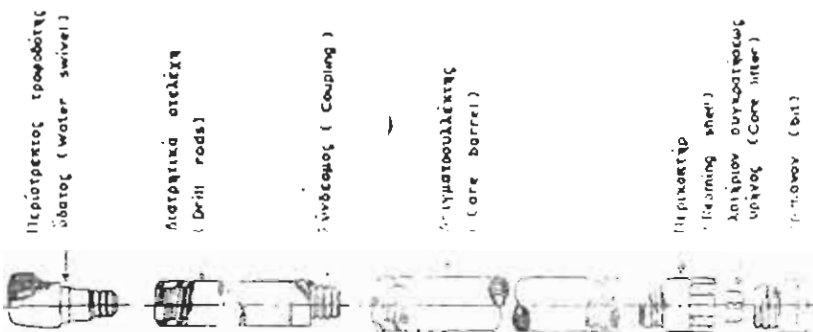


I                   II                   III  
Ελαφρός τύπος.   Μεσαίου μεγέθους.   Βαρέος μεγέθους  
με επίπεδα εργασίας

(σχ3) Τύποι πύργων γεωτρυπάνου [23].

Η διατρητική στήλη

Η χρήση της είναι να μεταβιβάζει φορτία, να κρατά σταθερά το διατρητικό άκρο και να στέλνει το νερό στο πυθμένα της γεώτρησης (στα περιστροφικά γεωτρύπανα) για να ψύχει το κοπτικό και στη συνέχεια να φεύγει με τα προιόντα της κοπής στην επιφάνεια, από το χώρο μεταξύ στήλης και παρειάς της γεώτρησης.



(σχ4) Διατρητική στήλη.

- 5 -  
Διάμετροι στελεχών και συνδέσμων.

ΜΕΓΕΘΟΣ	ΣΤΕΛΕΧΟΣ ΚΑΙ ΣΥΝΔΕΣΜΟΣ Dout mm	ΣΥΝΔΕΣΜΟΣ Din mm	ΣΤΕΛΕΧΟΣ Din mm	ΒΑΡΟΣ kg/m
EX	33.3	11.6	21.4	
AX	43.7	14.3	34.1	6.0
BX	48.4	15.8	37.3	
NX	60.3	25.4	50.8	
RW	27.7	10.3	18.2	2.9
EW	34.9	11.1	25.4	4.6
AW	43.6	15.8	34.1	6.2
BW	53.9	19.0	44.4	6.4
NW	66.6	34.9	57.1	8.2
HW	88.9	60.3	77.7	11.5
SQ	140.0		125.0	

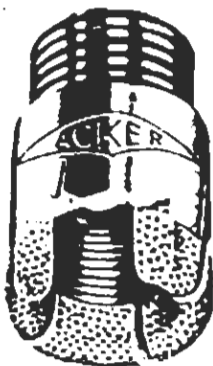
Η διατρητική στήλη θα πρέπει να αντέχει στήν επιβολή ψορτίου μεγαλύτερου από 4 την που δίνουν τα γεωτρύπανα κατά τη διείσδυση. Εάν αποτελεί στήλη στατικού πενετομέτρου, 20 την. Άκομα κατά την εξαγωγή τής στήλης από το έδαφος - όταν αυτή σφηνώσει - περιστρέφεται με μεγάλη ταχύτητα και στη συνέχεια δρούν μεγάλα ψορτία ( ακόμα και 100 ψορές μεγαλύτερα από αυτά τής διείσδυσης ).

### Τρυπάνια [23]

Είναι οι συσκευές που τοποθετούνται στο τελευταίο άκρο τής στήλης. Οι τύποι αυτοί είναι :

- \* Κοίλο κόνης διαμαντιών: Για δειγματοληψία με μορφή δοκιμίου σε σκληρά και κατακερματισμένα πετρώματα.
- \* Μεγάλα διαμάντια κοίλο : Για τη δειγματοληψία σε μαλακά κότερα περώματα, και δειγματοληψία δοκιμίου.

- \* Με σκληρό μέταλλο : Όπως τα προιγούμενα. Άλλα δίνουν μεγαλύτερα δοκίμια.  
(σχ7 )
- \* Μη δειγματοληψίας : Δε δίνουν δοκίμια, μόνο με διαμάντια ή μέταλλο συντρίματα.  
(σχ8 )
- \* Για εδάφη : Δεν έχουν μεγάλη αντοχή αλλά δίνουν δοκίμια αδιατάρακτα.  
(σχ9 )



(σχ5 )



(σχ6 ) I  
thin wall bit  
Παρέχεται δείγμα 5 ως 33 cm



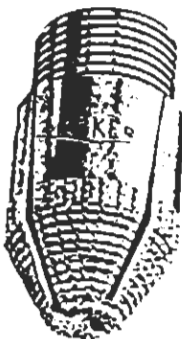
II  
casing bit  
Για τη διεύρυνση της κατώτερης σωλήνας.



III  
casing shoe  
Κοπτικό σωλήναν γεώτρησης. να επενδύσεις.



(σχ7 )



(σχ8 )



(σχ9) Για λήψη μαλακών αδιαταράκτων δειγμάτων.

ΔΕΙΓΜΑΤΟΛΗΠΤΕΣ [23], [25], [29]

ΤΥΠΟΣ	ΧΑΡΑΚΤΗΡΙΣΤΙΚΑ
SHELBY (σχ10)	Πολύ λεπτού τοιχώματος. Προώθηση με πίεση 1cm/sec. Για όλα τα μαλακά εδάφη, με λίγα χαλίκια μεγέθους <=.5 cm. Στα μη συνεκτικά εδάφη χρήση βαλβίδας (σχ15). Το δείγμα είναι μεσα σε πλαστικό σωλήνα. Din >= 8cm.
DENISSON (σχ11)	Είναι διπλού τοιχώματος. Προώθηση με πίεση + περιστροφή. Ο εσωτερικός σωλήνας μένει σταθερός. Ανάλογα τη φύση τού εδάφους προσαρμόζεται ο ανάλογος τύπος κοπτικού. Για τη συγκράτηση τού δείγματος προσαρμόζονται τα (σχ15). Το νερό σταματά 20cm πρίν το τέλος τῆς δειγματοληψίας. Για σκληρά ή λίγο εδάφη
PISTON SAMPLER (σχ12)	Για χαλαρούς λεπτόκοκκους σχηματισμούς με νερό, για συγκράτηση του δείγματος μπορεί να γίνει χρήση ειδικής βαλβίδας (σχ15). Ενα έμβολο που ανεβαίνει μαζί με την προώθηση σε αυτόν του δείγματος δημιουργεί υποπίεση και συγκρατεί το δείγμα. Η διάτρηση 1cm/sec γίνεται με πίεση. Το δείγμα είναι αδιατάρακτο.
AUGER (σχ13)	Για καθαρισμό τῆς γεώτρησης. Για χαλαρούς σχηματισμούς άμμους, συνεκτικά εδάφη, μαλακά βράχια. Δεν απαιτεί νερό για ψύξη. Δίνει δείγμα διαταραχμένο. Απαρτίζεται από ελικοφόρο κοπτικό άκρο διαμέτρου ακόμα και >20cm. Η διάτρηση γίνεται με πίεση + περιστροφή.
GEOBOR-S *1 (σχ14)	Προώθηση με περιστροφή και πίεση και με νερό. Για χαλαρούς αμμοχαλικώδη σχηματισμούς χροκάλες κ.α. Χρήση τρυπάνου με σκόνη διαμαντιών (σχ5). Din = 146 mm.
πρότυπος (σχ15)	Είναι διαιρετός κατά το μήκος του. Η χρήση του είναι η SPT δοκιμή. Δείγμα διαταραχμένο.

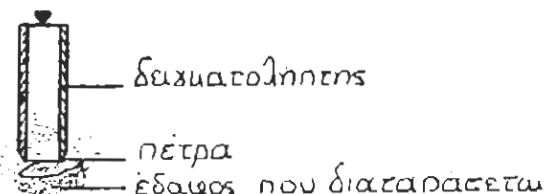
\*1 τής Diamant boart Crealius [29] Το κόψιμο σκληρών κροκάλων (χαλαζιακών) απαιτεί κοπτικό με μικρή σκληρότητα μήτρας. Σε αντίθεση με τους αργίλους.

Σημ: Πρίν τη δειγματοληψία αλείφουμε το χώρο που θα δεχτεί το δείγμα με λάδι για τη μείωση των τριβών κατά την εισαγωγή του υλικού.

Σημ: Μεγάλο πλεονέκτημα αποτελεί η τεχνική wireline κατά την οποία με τη βοήθεια καλωδίου ο δειγματολήπτης ελευθερόνεται και ανασύρεται στην επιφάνεια χωρίς να είναι απαραίτητη η έξοδος όλης τής στήλης.

#### ΠΡΑΚΤΙΚΕΣ ΣΥΜΒΟΥΛΕΣ ΓΙΑ ΜΙΑ ΑΔΙΑΤΑΡΑΚΤΗ ΔΕΙΓΜΑΤΟΛΗΨΙΑ

- \* Αδιατάρακτα λαμβάνονται κυρίως σε μαλακά συνεκτικά εδάφη.
- \* Η συχνότητα δειγματοληψίας μπορεί να είναι 1 δείγμα σε κάθε 3 μέτρα.
- \* Ο δειγματολήπτης να εισχωρεί στό έδαφος αργά με πίεση.
- \* Το μήκος εισχώρησης του δειγματολήπτη να είναι μικρότερο από το μήκος του πουκάμισου του.
- \* Μικρού πάχους δειγματολήπτη (< 2cm), (σχ 10).
- \* Η οπή να καθαρίζεται από τα χαλαρά υλικά πρίν τη λήψη αδιατάρακτου, με ένα Auger or piston sampler.
- \* Χρήση βαλβίδας εκτόνωσης τής πίεσης που δρα πάνω στο δείγμα.
- \* Μετά από κρουστική δοκιμή πρέπει να αφαιρεθεί υλικό περίπου 3 μέτρα πάχους, πρίν τη λήψη αδιαταράκτου.
- \* Ο σωλήνας επένδυσης δε θα προωθήται κάτω από τη στάθμη τής δειγματοληψίας.



(σχ 10) Τρόπος διαταράζης του δείγματος

Ένας τρόπος που μπορούμε να αντιλαμβανόμαστε ένα διαταραγμένο δείγμα είναι η έντονη διαφορά τής υγρασίας του (με το μάτι). Το πάνω μέρος αν πιέστηκε θα έχει πιο μικρή υγρασία σε σχέση με το υπόλοιπό.

Βαθμός αδιαταραξίας Ar :

Ar =  $\frac{D_{out}^2 - D_{in}^2}{D_{in}^2} \cdot 2$  [18]  
όπου  $D_{in}$ ,  $D_{out}$  = Εσωτερική και εξωτερική διάμετρος του δειγματολήπτη cm. Το Ar να είναι μικρότερο από 10%.

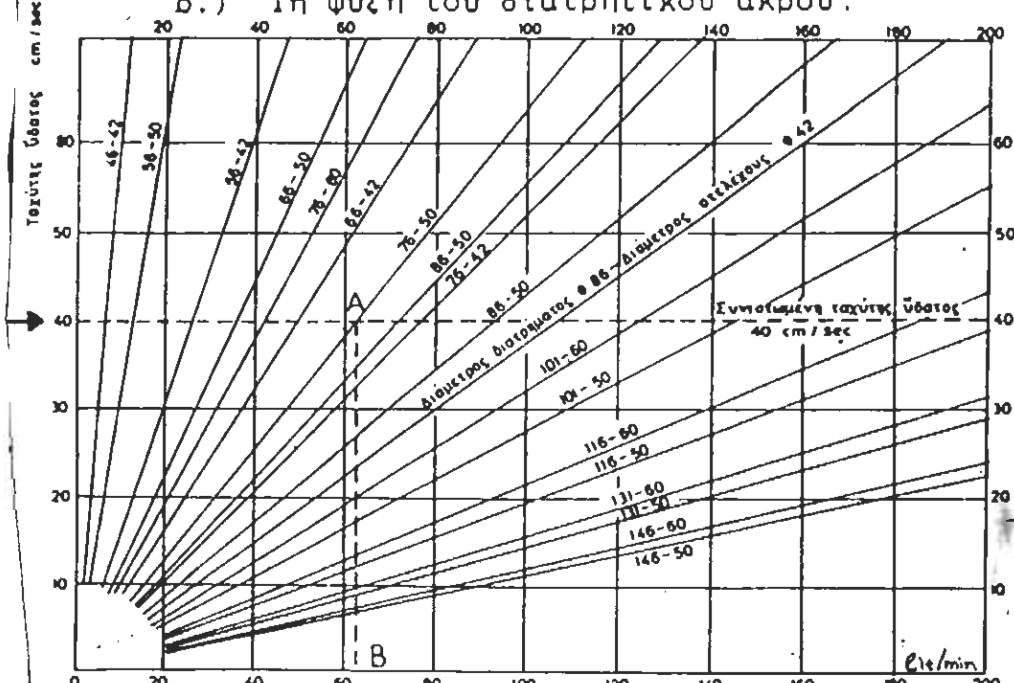
Σε εδαφικά υλικά στα οποία έχουμε πτώσεις μέσα στη γεώτρηση μπορούμε να χρησιμοποιούμε μπετονίτη + σόδα με το νερό, ακόμα και τσιμέντο μέσα στη γεώτρηση. Αυτά μόνο δταν δεν ενδιαφέρει η στάθμη του νερού. Εάν ενδιαφέρει τότε η συγράτηση γίνεται με σωλήνες. Το κενό μεταξύ επένδησης και στελέχους πρέπει να είναι τουλάχιστον 3 cm.

### Προσδιορισμός της παροχής του νερού

Το νερό που με πίεση βάζουμε στη γεώτρηση έχει δύο σχοπούς:

a.) Την επίτευξη ανοδικής πορείας στα προϊόντα της γεώτρησης

b.) Τη ψύξη του διατρητικού άκρου.



Νομογράφημα υπολογισμού της παροχής του νερού για επίτευξη ανοδικής ταχύτητας σε σχέση με τη διάμετρο της γεώτρησης και του στελέχους.

Βάθος γεώτρησης και απόσταση μεταξύ τους.

Το ενδεικτικό βάθος της γεώτρησης καθορίζεται από τα εξεις:

- Σε περίπτωση που επιφανειακά διαπιστώθει μια ανθεκτική στρώση, θα διερευνηθεί μήπως αμέσως κάτω από αυτήν υπάρχει άλλη ασθενέστερη.
- Το βάθος διερεύνησης θα φτάνει μέχρι εκεί που τα φορτία δεν επηρεάζουν το υπέδαφος.
- Σε περίπτωση διαπίστωσης βράχου σε μικρό βάθος από την επιφάνεια, θα ερευνάται σε βάθος τουλάχιστον 3 μέτρα (ανάλογα το έργο) για

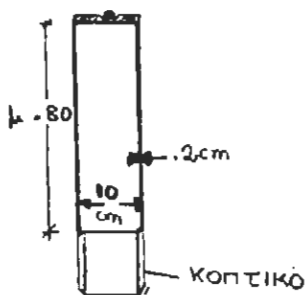
εντοπισμό τυχών εγκοίλων. Η ανίχνευση των εγκοίλων μπορεί να γίνει και με γεωφυσικές έρευνες. (Τ. Παπαδόπουλος και Ι. Λούπης 1988[22])

Είδος κατασκευής	Βάθος γεώτρησης σε μέτρα
Πάσσαλοι	5 * ύψος πασσάλου [μ] / 3
Επίχωματα	Οσο το ύψος τού επιχώματος
Φράγματα χωμάτινα	Πλάτος έδρασης / 2
Σήραγγες	Πάχος υπερκειμένων + 2 * β (β = πλάτος σήραγγας)
Οικοδομές	σ * β, μεγαλύτερο από 6 m. (β = πλάτος στο θεμέλιο m) (σ = τάση max kg/cm <sup>2</sup> κάτω από το θεμέλιο )
Οδοί αεροδρόμια	2 - 3 τουλάχιστο μέτρα.

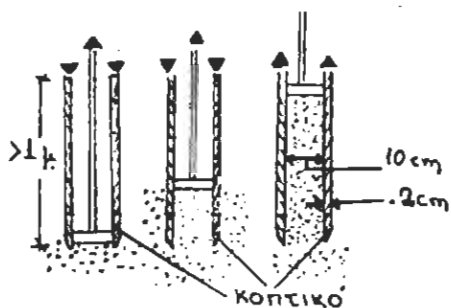
Κατασκευή	Απόσταση μεταξύ γεωτρήσεων
Οικοδομές	< 15 μέτρα
Φράγματα - μετρό	< 30 μέτρα
Σε μερικές περιπτώσεις κάνουμε μία γεώτρηση για δειγματοληψία και μία - πιο διπλά - για δοκιμές για να μη διακόπτουμε τη πορεία τής έρευνας. Τότε η απόσταση των γεωτρήσεων είναι τον με:	
S = 20 * τη διάμετρο τής μίας γεώτρησης S > 1 m.	

Με μικρό κόστος και μεγάλη ταχύτητα μπορούμε να μελετίσουμε μία έκταση με γεωφυσικές μεθόδους [8], [5]. Αυτές απαιτούν ελάχιστες γεωτρήσεις αλλά αρκετά εξειδικευμένο προσωπικό. Παρόλα αυτά οι γεωτρήσεις έχουν μεγαλύτερα πλεονεκτήματα.

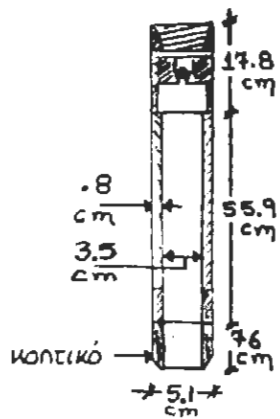
Ακόμα μία μέθοδος καταγραφής και αξιολόγησης των παραμέτρων διάτρησης τού εδάφους είναι το σύστημα ENPASOL. Με κατάλληλη επεξεργασία στοιχείων λαμβάνονται από τη χωρίς δειγματοληψία διάτρηση (μπορεί να συνδεθεί σε διάφορα διατρητικά μηχανήματα) οι εξεις παράμετροι: Ταχύτητα διάτρησης, ώθηση στη στήλη, ροπή στρέψης (ζεύχος), ταχύτητα ανακλώμενη δόνηση τού κοπτικού, χρόνος για τη προχώρηση τής στήλης κατά 5mm. ( M. Zákas, Π. Παπανικολάου 1988 [22] ).



(Cx 10) Shelby



(Cx 12) Diston sample



(Cx 15)

ΕΤΗΣΙΔΙΟ ΜΕ ΚΟΛΑΙΔΙΝΑ  
KAI ΟΛΙΦΟΥ (ROLLER  
GUIDE)-ΠΡΟΑΙΓΡΑΦΙΚΟΣ

KOAH

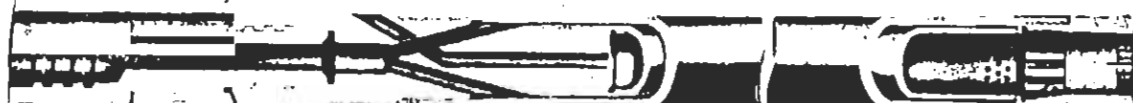
ΕΣΩΤΕΡΙΚΟΣ ΣΩΛΗΝΑΣ

ΕΞΩΤΕΡΙΚΟΣ ΣΩΛΗΝΑΣ

ΤΕΡΠΥΚΟΥΤΗΡ

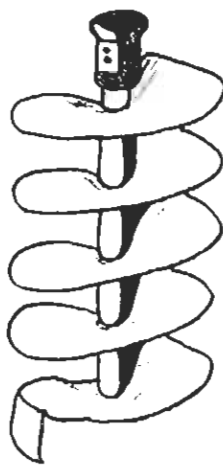
ΣΑΛΤΗΡΙΟΝ ΣΥΓΚΡΑΤΗΣΑ  
ΙΠΗΜΟΣ

ΑΛΛΑΓΜΑΤΟΤΡΥΠΙΑΝΟΝ

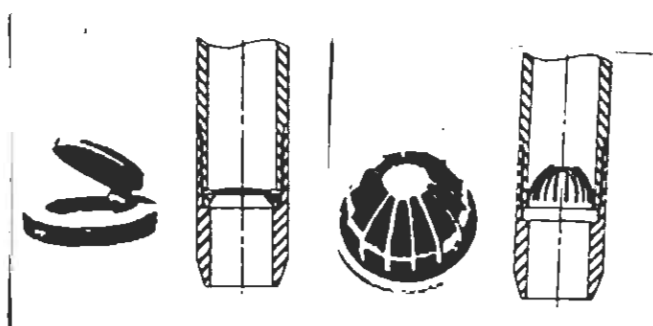


Συνδετένος διακυατωλήντης

Denisson  
(Cx 11)



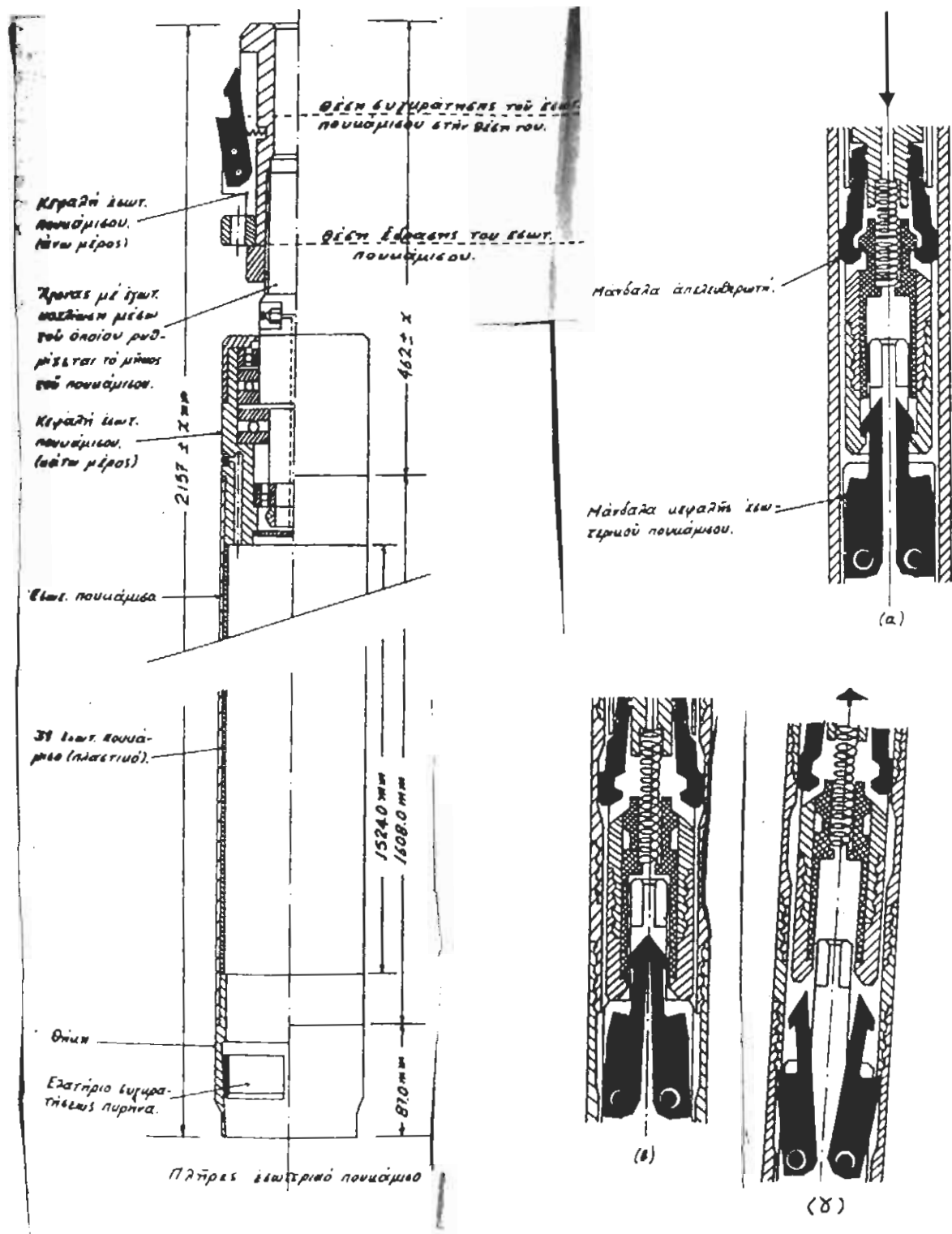
(Cx 13) Auger



Trap valve

Basket valve

(Cx 15)



**α/** Εισαγωγή του εγχεριδίου πουκαμίσου με τον απελευθερωτή.  
**β/** Απελευθερωση του πουκαμίσου όταν κοτέψει ακριβώς στη θέση του.  
**γ/** Εξαγωγή του απελευθερωτή και άνοιγμα των μανδάλων για να σταθεροποιηθεί το πουκάμισο στη θέση του.

(GX14)

- 13 -  
ΕΔΑΦΟΤΕΧΝΙΚΕΣ ΔΟΚΙΜΕΣ

Γιά τη πλήρη διερεύνηση τού εδάφους πρέπει να πραγματοποιηθεί μιά σειρά από δοκιμές, όπως έχουν καθορισθεί από τη κρίση του μηχανικού ανάλογα το έδαφος και τη σπουδαιότητα τού έργου που θα κατασκευαστεί. ( Λίγες οδηγίες πάνω σε αυτό υπάρχουν στις σελίδες 2 ως 10)

Οι εδαφικές δοκιμές σα σκοπό έχουν:

- a.) Να εξακριβώσουν τα φυσικά χαρακτηριστικά τών εδάφων γιά να γίνει η κατάταξή τους.
- b.) Να καθορίσουν τις μηχανικές ιδιότητες τού εδάφους
- c.) Να αναλύσουν τα υδραυλικά χαρακτηριστικά του.
- d.) Άλλα και να γίνουν χημικές αναλύσεις.

Οι δοκιμές μπορούν να καταταγούν σε αυτές που εκτελούνται στό ύπαιθρο ( *in situ* ) και αυτές τού εργαστηρίου ( *in laboratory* ). Οι πρώτες είναι περισσότερο αντιπροσωπευτικές γιατί περιλαμβάνουν στή δοκιμή μεγάλες μάζες με όλες τους τις ασυνέχειες.

ΕΡΓΑΣΤΗΡΙΑΚΕΣ ΔΟΚΙΜΕΣ ΣΕ ΔΙΑΤΑΡΑΓΜΕΝΑ ΔΕΙΓΜΑΤΑ

A.) Κοκκομετρική διαβάθμιση.

Γιά τη δοκιμή απαιτήται διαταραγμένο ή αδιατάρακτο δείγμα που μπορεί να 'χει υποστεί κάποια δοκιμή π.χ. τριαξονική.

Η κοκκομέτρηση χωρίζεται:

- a.) Στή μεγάλη, γιά κόκκους μεγαλύτερους ή ίσους με 4.76 mm ( No 4 κόσκινο ).
- b.) Στή μικρή, γιά κόκκους μικρότερους από 4.76 mm .
- c.) Στήν ανάλυση με υδρόμετρο γιά κόκκους μικρότερους από 0.075 mm ( No 200 κόσκινο ).

Ο σκοπός τής δοκιμής είναι η ταξινόμηση τού εδάφους, διάφορα συμπεράσματα γιά το εδαφικό υλικό με βάση το πίνακα τής σελίδας ( σελ. 23 κατά GEUSA ), έμμεσος υπολογισμός τής διαπερατότητας, καταλληλότητα τού υλικού σάν δομικό - γιά τη κατασκευή χωμάτινου φράγματος κ.α. - και σε προβλήματα εδαφοδυναμικής.

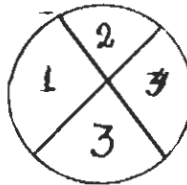
ΠΟΡΕΙΑ ΔΟΚΙΜΗΣ [19], [28]

- 1.) Τα δείγματα πρέπει να 'χουν τα εξεις ελάχιστα βάρος:

ΜΕΓΕΘΟΣ ΚΟΚΚΩΝ CM	ΒΑΡΟΣ ΔΕΙΓΜΑΤΟΣ KG
0.965	1
1.930	5
5.080 - 9.000	20 - 36

Σημ: Δεν τισχύει ο πίνακας αν το δείγμα προέρχεται από γεωτρηση.

- 2.) Εήρανση του υλικού κάτω από λάμπα υπερύθρων ακτινών αφού πρώτα απλωθεί σε λεπτό στρώμα για δύο μηνές. Εάν το δείγμα είναι από γεωτρηση ( μικρού δηλαδή μεγέθους ) η ζήρανση γίνεται στό φυρό για 24 ώρες στους 60 °C .
- 3.) Εάν το ξηρό δείγμα προέρχεται από φρεάτιο ( είναι δηλαδή μεγάλης ποσότητας ) το μαζεύουμε σε σχήμα κώνου και το διερούμε σε τεταρτοκύκλια, από αυτά παίρνουμε ( σχ16 ) τα 1 και 4 για Proctor και τα άλλα ( δηλαδή τα 2 και 3 ) για κοκκομέτρηση.



( σχ16 )

- 4.) Διαχωρίζουμε το υλικό με το κόσκινο No 4 σε χονδρό και λεπτό - λεπτό είναι αυτό που διέρχεται από το No 4 κόσκινο - αφού πρώτα σπάσουμε τις χωματόπετρες με ένα ζύλινο σφυρί .
- 5.) Συγίζουμε το λεπτόκοκο, το βάρος του οποίου ονομάζουμε Twt σε gr. Από το λεπτόκοκο παίρνουμε περίπου :
- \* 200 gr διερχόμενο από το No 40 κόσκινο για το προσδιορισμό των ορίων του Atterberg.
  - \* 100 gr διερχόμενο από το No 40 κόσκινο για χημική ανάλυση.
  - \* 200 gr διερχόμενο από το No 10 κόσκινο για Stokes test.
  - \* 500 gr διερχόμενο από το No 4 κόσκινο για κοκκομέτρηση με πλύση το οποίο τοποθετούμε στό νερό για 24 ώρες .
- 6.) Ζύγιση της συγρατούμενης ποσότητας για κάθε ένα κόσκινο για το χονδρό υλικό. Τα κόσκινα που χρησιμοποιούνται είναι τα εξεις: 4", 3", 2.5", 2", 1.5", 1+1/4", 1", 3/4", 3/8", και το No 4. Το συγρατούμενο υλικό το ονομάζουμε Wf(i) σε gr, όπου i=1, 2, 3, ..., v τα κόσκινα.
- 7.) Το μουλιασμένο λεπτόκοκο το τοποθετούμε μέσα στό No 200 κόσκινο όπου και το αναδεύουμε με σύγχρονη έκχυση νερού. μέχρι το νερό κάτω από το κόσκινο γίνεται τελείως καθαρό.

8.) Όλο το υλικό από το κόσκινο τοποθετήται μέσα σε μία λεκάνη μαζί με νερό. Οταν τα στερεά υποστούν καθίζηση αφαιρούμε το νερό με προσοχή από τη λεκάνη και το υπόλοιπο το ζηρένουμε. Στή συνέχεια ακολουθεί κοκκομέτρηση με τα κόσκινα No 10, No 40 και No 200 και ζύγιση τού συγρατούμενου Wt (i) γιά κάθε κόσκινο. Εάν υπάρχουν οργανικά ή άστρακα στό υλικό το αναψέρουμε.

Σημ: Εάν το υλικό είναι μικρής ποσότητας, τότε γιά όλο το υλικό αφού το ζυγίσουμε ακολουθούμε τις εργασίες 7 και 8 μόνο του χρονιμοποιούμε όλη τη σειρά τών κόσκινων.

#### ΥΠΟΛΟΓΙΣΜΟΙ

$$\begin{aligned} \text{Συνολικό Βάρος υλικού} &= \Sigma Wf(i) + TWt \\ \text{Διερχόμενο} &= \text{Βάρος διερχόμενο } (i-1) - \\ &\quad Wf(i) \\ \text{Ποσοστό διερχόμενου } (i) &= a * 100 / \text{συνολικό Βάρος} \end{aligned}$$

$$\begin{aligned} \text{Γιά το λεπτό} \\ \text{Διερχόμενο} &= \text{Βάρος διερχόμενο } (i-1) - \\ &\quad Wt(i) \\ \text{Ποσοστό διερχόμενο } (i) &= a * 100 / \text{Βάρος λεπτόκο-} \\ &\quad \text{kou ( 500 gr )}. \end{aligned}$$

Αναγωγή, τού λεπτόκοκκου διερχόμενου στο, συνολικό: λεπτό διερχόμενο % \* διερχόμενο τού No 4 % ( ώς πρός το ολικό ) / 100 = διερχόμενο λεπτό % ως πρός το συνολικό.

Γιά τη κατανόηση τών άνω ακολουθεί το παραδείγμα.

#### ΠΑΡΑΔΕΙΓΜΑ

---

ΕΡΓΟ: Υλίκη - λάρισα, αυτοκ/δρόμος ΔΕΙΓΜΑ: Φρεάτιο 3  
ΒΑΘΟΣ: 1.5 μ.

---

Ολικό βάρος δείγματος: 29476 gr.

ΚΟΣΚΙΝΟ	ΣΥΓΡΑΤΟΥΜΕΝΟ Wf(i) gr	ΔΙΕΡΧΟΜΕΝΟ gr	%
2+1/2"	0	29476	100
2"	325	29151	99
1+1/2"	775	28376	96
1"	1254	27122	92
3/4"	1149	25973	88

3/8"	3354	22619	77
No 4	3502	19117	(*) 65

Γιά το λεπτό

Συνολικό βάρος λεπτού υλικού : 19117 gr  
Βάρος αντιπροσωπευτικού λεπτού υλικού: 500 gr

ΚΟΣΚΙΝΑ	ΣΥΓΡΑΤΟΥΜΕΝΟ Wt(i) gr	ΔΙΕΡΧΟΜΕΝΟ	
		gr	%
No 10	119	381	(*) 76
No 40	108	273	(*) 55
No 200	71	202	(*) 40

Αναγωγή τού αντιπροσωπευτικού λεπτού διερχόμενου υλικού στό συνολικό:

$$\begin{aligned} &(*2 \quad *1) \\ &76 * 65 / 100 = 49 \% \quad \text{τού υλικού} \\ &(*3 \quad *1) \\ &55 * 65 / 100 = 36 \% \quad -// - \\ &(*4 \quad *1) \\ &40 * 65 / 100 = 26 \% \quad -// - \end{aligned}$$

#### B.) Stokes test

Στίς περιπτώσεις όπου πολύ υλικό διέρχεται από το No 200 κόσκινο πρέπει να γίνει το Stokes test. Καλό θα είναι να γίνει εάν το υλικό που διέρχεται από το No 200 είναι μεγαλύτερο από 15 % τού συνολικού.

Ο σκοπός τής δοκιμής είναι η επέκταση τής κοκκομετρικής καμπύλης και ο έλεγχος καταλληλότητας τού υλικού - από τήν άποψη τής κοκκομετρικής - σάν δομικό υλικό.

Η δοκιμή βασίζεται στό νόμο τού Stokes. Δηλαδή κόκκοι διαφορετικού μεγέθους καθιζάνουν με διαφορετική ταχύτητα, με τη παραδοχή ότι έχουν το ίδιο ειδικό βάρος.

#### ΠΟΡΕΙΑ ΔΟΚΙΜΗΣ [19], [27]

- Πρίν γίνει η κοκκομέτρηση λάβαμε 200 gr για τη δοκιμή Stokes (σελ14). Με λίγο υλικό από αυτό βρίσκουμε τήν υδροσκοπική υγρασία (σελ 24) και το ειδικό βάρος (σελ 22) τού υλικού.
- Γιά τη διάλυση τών συσσωματομάτων παρασκευάζεται ένα διάλυμα ως εξεις:  
\* Σε ένα κύπελλο βάζουμε 45.7 gr εξεμεταφωσφορικού νατρίου με ανθρακικό νάτριο NaPO3

( Calgon ) μαζί με 1000 ml νερού απεσταγμένου.  
\* Μετά το βάζουμε στο mixer όπου και αναδεύεται για 2 λεπτά. στη συνέχεια το μίγμα μεταφέρεται σε γυάλινο ογκομετρικό κύλινδρο.

- 3.) Σε ένα γυάλινο ποτήρι βάζουμε το εδαφικό υλικό.  
\* 100 gr εάν είναι αμμώδη.  
\* 50 gr εάν είναι άργιλος.
- 4.) Μέσα στό ποτήρι με το εδαφικό υλικό τοποθετήται διάλυμα 125 ml. Αναδεύεται καλά με γυάλινη ράβδο και αφήνεται για 24 ώρες.
- 5.) Με ένα mixer αναδεύουμε το υλικό που υπάρχει στο ποτήρι για 2 λεπτά.
- 6.) Στή συνέχεια το υλικό μεταφέρεται σε γυάλινο ογκομετρικό κύλινδρο ( 1000 ml ) όπου προστίθεται απεσταγμένο νερό μέχρι τελικού όγκου 1000 ml.
- 7.) Ο ογκομετρικός τοποθετήται σε υδατόλουτρο στούς 20 C ( φωτ2 ).
- 8.) Εξάγεται από το λουτρό ο κύλινδρος και το περιεχόμενό του αναταράσσεται για 2 λεπτά. Σα πώμα χρησιμοποιήται η παλάμη ( φωτ1 ).
- 9.) Πάλι τοποθετούμε το κύλινδρο μέσα στό λουτρό και ουγχρόνος βάζουμε το υδρόμετρο ( φωτ2 ) και μηδενίζουμε το χρόνο.
- 10.) Οι χρόνοι που διαβάζουμε τις ενδείξεις είναι: 2, 5, 15, 30, 60, 250, 1440 λεπτά.

Σημ: Μετά από κάθε ανάγνωση το υδρόμετρο απομακρύνεται με προσοχή και τοποθετείται σε νερό. Ετσι θα είναι καθαρό για τη νέα ανάγνωση.

#### ΥΠΟΛΟΓΙΣΜΟΙ [27]

Οι υπολογισμοί μπορούν να γίνουν και με τη χρήση του προγράμματος STOKES ( Μονογυιός 1993 ) που η λίστα του εκτίθεται στις σελίδες 18<sub>α,β</sub>. Το πρόγραμμα επίσεις υπάρχει στό εργαστήριο εδαφομηχανικής του ΤΕΙ Πάτρας.

#### Περιγραφή του προγράμματος

Το STOKES είναι ένα πρόγραμμα σε γλώσσα Basic, έτσι είναι εύκολη η κατανόησή του.

- \* Στή γραμμή 20 καθορίζονται οι διαστάσεις τών μονοδιάστατων πινάκων.
- \* Στή γραμμή 30 υπάρχει εντολή που καθαρίζει την οθόνη.
- \* Στή γραμμή 40 δέχεται το σύνολο τών μετρήσεων. Για παράδειγμα εάν έχουμε δέκα χρόνους

που στο κάθε ένα από αυτούς έχουμε πάντα μία και μόνο ένδειξη τού υδρομέτρου τότε το σύνολο των μετρήσεων είναι δέκα ( N=10 ). Το πρόγραμμα μπορεί να δεχτεί μέχρι και είκοσι μετρήσεις.

- \* Στή γραμμή 50 εισάγουμε το ειδικό βάρος τών κόκκων GS σε gr/cm<sup>3</sup>. Αυτό μπορεί να θερέται πειραματικά (σελ 22) ή από το πίνακα τής (σελ 24).

- \* Στις γραμμές 60 - 61 δέχεται το βάρος τού υλικού που συμμετέχει στή δοκιμή WW σε gr και το ποσοστό τής υγρασίας W αντίστοιχα.

- \* Στή γραμμή 64 το πρόγραμμα υπολογίζει το ξηρό βάρος τού υλικού WD ως εξέτι:

$$WD = WW - ( 100 / 100 - W )$$

- \* Στή γραμμή 65 πρέπει να δώσουμε ένα συντελεστή KG, η τιμή του εξαρτάται από το ειδικό βάρος GS.

GS	KG	GS	KG
2.60	1.016	2.68	0.990
2.61	1.013	2.69	0.987
2.62	1.010	2.70	0.985
2.63	1.007	2.71	0.983
2.64	1.003	2.72	0.980
2.65	1.000	2.73	0.978
2.66	0.998	2.74	0.975
2.67	0.995	2.75	0.972

- \* Στή γραμμή 70 το πρόγραμμα υπολογίζει το συντελεστή A από το τύπο:

$$A = 0.98 + ( ( 2.75 - GS ) * 0.002 ) / 0.01$$

- \* Στις γραμμές 80 - 105 υπάρχει ένας θρόγχος που δέχεται τις N μετρήσεις. Αυτές είναι:

- RI(i) Ανάγνωση τού υδρομέτρου, που μπορεί να είναι τύπου 152 H ή 151 H.
- TI(I) Ο χρόνος στόν οποίο λαμβάνονται οι αναγνώσεις σε λεπτά.

- \* Στις γραμμές 107 - 114 γίνονται μερικές εκτυπώσεις που αφορούν το έργο.

- \* Στή γραμμή 115 πρέπει ο χρήστης να δώσει μία απάντηση για το υδρόμετρο που χρησιμοποιήθηκε κατά τη δοκιμή. Εάν ήταν τύπου 152 H δίνει 1. Εάν ήταν τύπου 151 H δίνει 2.



(εχ ) Το υδατόλουστρο και ο ακινηταιών κύλινδρος ενώ  
(φωτι) αναταπάθεσται.  
(Εργαστήριο εδαφούντυπων του ΤΕΙ Πάτρας)



(εχ ) Τοποθετημένος ο κυλίνδρος μέσα στο υδατόλουστρο  
(φωτι) απαθετητικό διαλυματοδοτικός. Και βιβλίον του υδρούντυπου  
στο κύλινδρο (Εργαστήριο εδαφούντυπων του ΤΕΙ  
Πάτρας).

```
20 DIM RI(20), TI(20), D1(20), D(20), P(20)
30 CLS
40 INPUT "TOTAL MEASUREMENTS="; N
50 INPUT "SPECIFIC GRAVITY  $\frac{\text{gr}}{\text{cm}^3}$ "; GS
60 INPUT "WET WEIGHT  $\frac{\text{gr}}{\text{cm}^3}$ "; WW
61 INPUT "MOISTURE %"; W
64 WD = WW - (100 / (100 - W))
65 INPUT "KG"; KG
66 CLS
70 A = .98 + ((2.75 - GS) * .002) / .01
80 FOR I = 1 TO N
90 PRINT "I="; I
95 INPUT "RI(I) ANAGN HYDROMETRUM"; RI(I)
100 INPUT "TI(I) XRONOS MIN ="; TI(I)
105 NEXT I
106 CLS
107 PRINT " STOKES TEST A PRODUCTION BY G. MONOGYIOS 1993 "
108 PRINT "-----"
109 PRINT "PROJECT ....."
110 PRINT "BORING ..... DEPTH ..... DATE....."
112 PRINT " "
113 PRINT " "
114 PRINT " "
115 INPUT "DOSE 1 GIA YDROMETRO 152 H. 2 GIA 151 H"; YD
122 CLS
123 IF YD = 1 GOTO 155
130 FOR I = 1 TO N
140 RI(I) = (RI(I) - 1) * 1578.8296
150 NEXT I
151 PRINT "HYDROMETER 151 H. TEMPER 20 C. NAPO3 CALGON"
152 GOTO 156
155 PRINT "HYDROMETER 152 H. TEMPER 20 C. NAPO3 CALGON"
156 PRINT " "
157 PRINT " "
158 INPUT " DOSE 1 NA SINEXISI "; M
159 IF M = 1 GOTO 160
160 FOR I = 1 TO N
170 D = SQR((5.27625) / (980 * (GS - 1) * TI(I)))
180 IF RI(I) >= 37 GOTO 210
190 KL = (15 - RI(I)) * .0064 + .931
200 GOTO 220
210 KL = (15 - RI(I)) * .0061 + .931
220 D(I) = D * KL * KG * .988
230 RI(I) = RI(I) - 6.9
240 P(I) = RI(I) * A * 100 / WD
260 NEXT I
261 CLS
262 PRINT : PRINT "TIME READING DIAMETER PERCENTAGE"
263 PRINT : PRINT "MIN HYDROME OF GRAIN OF GRAINS"
271 FOR I = 1 TO N
290 PRINT TI(I); " "; RI(I); " "; D(I); " "; P(I)
300 NEXT I
310 PRINT " "
320 PRINT "SPECIFIC GRAVITY  $\frac{\text{gr}}{\text{cm}^3}$ "; GS
330 PRINT "WEIGHT DRY SOIL  $\frac{\text{gr}}{\text{cm}^3}$ "; WD
331 PRINT "WEIGHT WET SOIL  $\frac{\text{gr}}{\text{cm}^3}$ "; WW
332 PRINT "WATER CONTENT %"; W
340 END
```

- \* Σε περίπτωση που το υδρόμετρο είναι τύπου 152 H το πρόγραμμα τρέπει τις αναγνώσεις σε ανάλογες τού τύπου 152 H με τη σχέση:

$$\begin{array}{r} RI(i) = ( RI(i) - 1 ) * 1578.8296 \\ 152H \quad \quad \quad 151H \end{array}$$

( Αυτό γίνεται στο βρόγχο που συγροτούν οι εντολές 120 - 150 ).

- \* Στις γραμμές 160 - 260 γίνονται υπολογισμοί για να βρεθούν οι διάμετροι και τα ποσοστά τών κοκκών που αιωρούνται.

Θα πρέπει να πληρούνται κατά τη δοκιμή οι παραδοχές

- Σταθερή κατά τη δοκιμή θερμοκρασία 20 C και
- Παράγοντας διασποράς Calgon. ( Ετοι οι υπολογισμοί είναι απλοί )

$$\text{Διάμετρος κοκκών: } D(I) = D * KL * KG * Kn$$

( Το Kn είναι ένας συντελεστής συναρτήσον τής θερμοκρασίας, δταν αυτή είναι 20 C το Kn = .988 )

( Το KL εξαρτάται από την ανάγνωση τού υδρομέτρου εάν είναι τύπου 152 H τότε :

$$Av \quad RI(i) >= 37 \quad KL = (15 - RI(I)) * 0.0061 + 0.931$$

$$Av \quad RI(i) < 37 \quad KL = (15 - RI(i)) * 0.0064 + 0.931$$

- Τούς τύπους συνέταξα με βάση τα νούμερα που δινούν οι πίνακες των προδιαγραφών [27] -.

$$D = SQR ( 5.27625 / ( 980 * ( GS - 1 ) * TI(i) ) )$$

Ποσοστό κόκκων σε αιώρηση ως πρός το WD  
( συγρατούμενο ) :

$$P(i) = ( RI(i) - x ) * A * 100 / WD$$

( Το x είναι η διόρθωση τών ενδείξεων τού υδρομέτρου για χρήση στο τύπο του P(i). Εξαρτάται από το τύπο τού υδρομέτρου το παράγοντα διασποράς και τη θερμοκρασία. Για 152 H, Calgon, 20 C το x είναι ίσο με 6.9 ).

- \* Στή συνέχεια το πρόγραμμα τυπώνει σε στήλες τούς χρόνους τών μετρήσεων, τις αναγνώσεις ανοιγμένες σε αυτές τού υδρομέτρου 152 H και διορθωμένες, τις διαμέτρους που αιωρούνται - πλασματικά κόσκινα - το ποσοστό που είναι το πλασματικά συγρατούμενο αλλά το ξηρό βάρος και το ειδικό βάρος τού υλικού.

Στή συνέχεια μπορούμε να υπολογίσουμε το διερχόμενο βάρος τού υλικού - από τα πλασματικά κόσκινα -, αλλά και

το ποσοστό του διερχόμενου ως πρός το ξηρό βάρος του υλικού με το οποίο έγινε η δοκιμή.

Για να ανάγουμε το διερχόμενο από το Stokes στό συνολικό υλικό τής δοκιμής ακολουθούμε τον ίδιο τρόπο με αυτόν του λεπτόκοκκου τής σελίδος (σελ16).

Ενας ολοκληρωμένος υπολογισμός κοκκομέτρησης υπάρχει στή δεύτερη, υποτυπώδη, εδαφοτεχνική μελέτη.

Γ.) Ορία τού Atterberg [27], [14], (ΥΠΕΧΩΔΕ "Οροι εκτελεστικής εδαφοτεχνικών ερευνών" Αθήνα 1966)

Το δείγμα μπορεί να είναι διαταραγμένο.

Για τη δοκιμή παίρνουμε δείγμα 200 gr διερχόμενο από το No 40 κόδοκινο (σελ14 ).

Η δοκιμή χωρίζεται:

- α.) Προσδιορισμός τού ορίου υδαρότητας.
- β.) Προσδιορισμός τού ορίου πλαστικότητας.
- γ.) Προσδιορισμός τού ορίου συρρίκνωσης.

Ο σκοπός τής δοκιμής είναι η ταξινόμηση τού εδάφους ( κατά GEUSA σελ ), ακόμα διάφορες συσχετίσεις υπάρχουν μεταξύ αυτών και γωνίας εσ. τριβής, συνοχής, διόγκωσης και εδαφοδυναμικών παραμέτρων.

#### ΠΟΡΕΙΑ ΔΟΚΙΜΗΣ " ορίου υδαρότητας "

- 1.) Παίρνουμε 100 gr υλικού, το τοποθετούμε σε κάψα και το ανακατεύουμε πολύ καλά με μιά σπαθίδα μαζί με 15 ml νερού.
- 2.) Τοποθετούμε το δείγμα στον υγραντήρα για μια ώρα
- 3.) Στή συνέχεια το τοποθετούμε στο κύπελο της συσκευής, το ισοπεδώνουμε αλλά δεν εγκλείουμε φυσαλίδες.
- 4.) Με το ιδικό όργανο σχηματίζουμε μιά χαραγή κατά μήκος τής διαμέτρου που διέρχεται από το μέσο τού στηρίγματος τού κυπέλου.
- 5.) Με τη συσκευή, ανυψώνεται και πέφτει το κύπελο με το υλικό μέχρι η χαραγή να ενωθεί, ενώ αναγράφεται ο αριθμός των κτύπων N .

Σημ: Ο αριθμός των κτύπων πρέπει να είναι από 15 - 35, εάν δεν είναι η δοκιμή επαναλαμβάνεται.

- 6.) Μπορούν τρεις δοκιμές να γίνουν.

- 7.) Μετά από κάθε δοκιμή παίρνουμε λίγο δείγμα από το κύπελο το ζυγίζουμε το ξηρένουμε και πάλι το ζυγίζουμε για το προσδιορισμό τής υγρασίας W .

## ΥΠΟΛΟΓΙΣΜΟΙ

Το δριό υδαρότητας είναι:  $WL = W^* (N / 25) + 0.121$   
Εάν έχουμε τρεις δοκιμές βρίσκουμε το  $WL$  τής κάθε μίας και μετά το μέσο δρο.

## ΠΟΡΕΙΑ ΔΟΚΙΜΗΣ "Ορίου πλαστικότητας"

- 1.) Παίρνουμε 20 gr εδαφικού υλικού.
- 2.) Τοποθετούμε σε μια κάψα το υλικό και το ανακατεύουμε με πολύ λίγο νερό μέχρι να γίνει μια πλαστική μάζα.
- 3.) Παίρνουμε ένα μέρος τής πλαστικής μάζας, τη μορφώνουμε σε βώλο και μετά τη κυλινδρώνουμε μεταξύ τής παλάμης και μιάς χυάλινης συμφιγδωμένης πλάκας ή ενώς κομματιού χαρτιού που βρίσκεται πάνω σε μια ομαλή οριζόντια επιφάνεια μέχρι να γίνει ραυδίσκος με διάμετρο 3 mm .
- 4.) Οταν ο βώλος γίνει ραυδίσκος με το κυλινδρωμα, το συμπιέζουμε πάλι σαν βώλο και τόν ζανακυλινδρώνουμε ώστε να γίνει πάλι ο ραυδίσκος 3 mm .
- 5.) Οταν ο ραυδίσκος δε μπορεί άλλο να κυλινδρωθεί και θρυμματίζεται συγκεντρώνουμε μέρη τού θρυσθέντος υλικού για τον υπολογισμό τής υγρασίας. Η υγρασία που υπολογίσαμε είναι το δριό πλαστικότητας.

Σημ: Καλό είναι να γίνουν δύο δοκιμές για κάθε δείγμα και έτσι το δριό πλαστικότητας θα είναι ο μέσος δρος τών δύο υγρασιών.

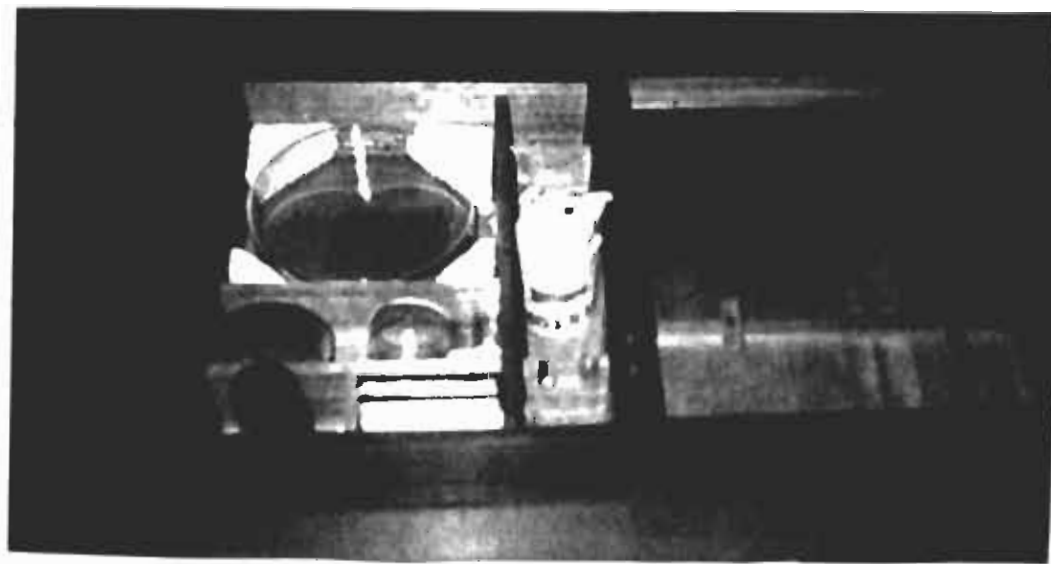
Εάν το δριό πλαστικότητας είναι μεγαλύτερο από το δριό υδαρότητας αναγράφεται το υλικό N.P. ( δχι πλαστικό ). Το ίδιο αναγράφεται εάν το δριό πλαστικότητας ή το δριό υδαρότητας ή και τα δύο δε μπορούν να προσδιορισθούν.

## ΠΟΡΕΙΑ ΔΟΚΙΜΗΣ "Ορίο συρρίκνωσης"

- 1.) Παίρνουμε 30 gr από το υλικό τών 200 gr που έχαμε πάρει για το Atterberg test .
- 2.) Το υλικό τοποθετήται σε μια κάψα και αναμιγνύεται καλά με πολύ νερό .
- 3.) Ποσότητα από το δείγμα τοποθετείται σε μικρή κάψα μέχρι αυτή να γεμίσει τελείως .
- 4.) Η κάψα με το υλικό θα ζυγιστούν, το βάρος αυτό ονομάζεται  $B_1$  σε gr.

- 5.) Το εδαφικό υλικό αφήνεται να ξηρανθεί στη θερμοκρασία του δωματίου μέχρι το χρώμα του γίνει ανοικτό. Στη συνέχεια το ξηραίνουμε σε κλίβανο ( 110 C ). Το ξηρό βάρος του υλικού μαζί με τη κάψα το ονομάζουμε B2 σε gr.
- 6.) Προσδιορίζουμε τη χωρητικότητα της κάψας. Αυτό μπορεί να γίνει με τη πλήρωσή της με υδράργυρο και μέτρηση του όγκου του με ογκομετρικό σωλήνα. Ο όγκος αυτός ονομάζεται 01 σε cm<sup>3</sup>.
- 7.) Γεμίζουμε το ειδικό κύπελο ( διαμέτρου 50 mm ) με υδράργυρο. Αυτό τοποθετήται μέσα σε άλλο μεγαλύτερο.
- 8.) Μέσα στο ειδικό κύπελο βάζουμε το εδαφικό υλικό, το βυθίζουμε με τη βοήθεια της γυάλινης πλάκας.
- 9.) Ο όγκος του υδραργύρου που εκτοπίστηκε υπολογίζεται και ονομάζεται 02 σε gr.

Σημ: Το set τών συσκευών που απαιτούνται κατά τη δοκιμή φαίνεται στη ( φωτ 4 ) .



(φωτ 4 )

#### ΥΠΟΛΟΓΙΣΜΟΙ

Οριο συρρίκνωσης:  $\Sigma L = W * (01 - 02) * 100 / S$

Όπου % W = 100 \* (B1 - B2) / B2  
Και gr S = B2 - Βάρος κάψας .

Δ.) Ειδικό Βάρος κόκκων GS [19], ( ΥΠΕΧΩΔΕ "Οροι εκτέλεσης εδαφοτεχνικών ερευνών". Αθήνα 1966 ).

Το δείγμα μπορεί να είναι διαταραγμένο. Για το test αυτό παίρνουμε 50 gr διερχόμενο από το No 10 κόσκινο.

Ο σκοπός της δοκιμής είναι να ορισθεί αυτή η παράμετρος για να υπολογίζουμε τον δύκο τών κόκκων και τών κενών πάνω σε ένα δοκίμιο. Πράγμα χρήσιμο κατά τον υπολογισμό τού λόγου κενών για τη διερεύνηση τού συμπιεστού κάποιου εδάφους.

#### ΠΟΡΕΙΑ ΔΟΚΙΜΗΣ

- 1.) Συγίζουμε μιά φιάλη γνωστής χωρητικότητας ( π. χ. 250 ml ) και τοποθετούμε σε αυτή 40 - 50 gr εδαφικού υλικού που έχει ζηραθεί στους 110 C. Το Βάρος τού εδάφους ονομάζεται B.
- 2.) Η φιάλη μαζί με το έδαφος πληρούται με νερό απεσταγμένο περίπου 100 ml. Ακολουθεί καλό τάραγμα για δύο λεπτά πρός απομάκρυνση τού εγκλεισμένου αέρα.
- 3.) Υποβάλεται σε θέρμανση μέχρι βρασμού, η φιάλη με το περιεχόμενό της, στους 150 C για 45 λεπτά.
- 4.) Κάνουμε πάλι ένα καλό τάραγμα στή φιάλη. Βάζουμε λίγο απεσταγμένο νερό, και τη τοποθετούμε μέσα σε ένα υδατόλουτρο για 1 ώρα στους 20 C.
- 5.) Απομακρύνουμε τη φιάλη από το υδατόλουτρο. Την υποβάλλουμε σε ένα καλό τάραγμα και στη συνέχεια μέχρι τη χαραγή τη γεμίζουμε με νερό απεσταγμένο. Ακόμα αφαιρούμε τούς αφρούς που υπάρχουν σε αυτή και τη στεγνόνουμε καλά εξωτερικά με ένα ψυφασμα.
- 6.) Ζυγίζουμε τη φιάλη. Εστω BI το Βάρος αυτό.

#### ΥΠΟΛΟΓΙΣΜΟΙ

Ειδικό Βάρος : GS = B / X { tn/m<sup>3</sup> }  
Οπου : X = δύκος φιάλης + Βάρος φιάλης + BI

Σημ : Το ειδικό Βάρος τών κόκκων είναι συνήθως μεταξύ 2.6 και 2.75 tn/m<sup>3</sup>. Εάν μετά τη δοκιμή είναι μικρότερο τότε η δοκιμή θα ζαναγίνει, εάν πάλι έχουμε το ίδιο αποτέλεσμα το κρατάμε. Οταν το ειδικό Βάρος είναι μικρό < 2.6 μπορεί κατά τούς υπολογισμούς τού Stokes test να λάβουμε αρνητικά ( λάθος ) αποτελέσματα.

Σημ : Το ειδικό Βάρος τών κόκκων μπορεί να προσδιοριστεί από το πίνακα ( σελ 214 ).

E.) Υγρασία [4], [19], [27]

Το δείγμα πρέπει να είναι αδιατάρακτο ώς πρός την ψυσική του υγρασία, αυτό γίνεται όταν το λαμβανόμενο από τη γεώτρηση δείγμα βρίσκεται μέσα σε αεροστεγή πλαστικό περίβλημα ή κάποιο άλλο μέσω.

Ο σκοπός της δοκιμής είναι να ορίσουμε μία παράμετρο με την οποία θα υπολογίζουμε το βαθμό κορεσμού, τη ποσότητα τού νερού για μία καλή συμπύκνωση αλλά και για να εξάγουμε συμπεράσματα πάνω στήν αντοχή τού εδάφους.

ΠΟΡΕΙΑ ΔΟΚΙΜΗΣ

1.) Λαμβάνουμε ποσότητα αδιαταράκτου εδάφους με βάση:  
\* 100 gr για λεπτόκοκκα και ομοιογενή.  
\* 50 gr για χονδρόκοκκα και ετερογενή.

2.) Τοποθετούμε το υλικό μέσα σε ένα υποδοχέα τού οποίου ξέρουμε το βάρος. Και με ζύγιση βρίσκουμε το βάρος τού υλικού WW σε gr.

3.) Ξηρένουμε το έδαφος στο φούρνο για 24 ώρες στους 60 C εάν υπάρχουν οργανικά ή στους 110 C αν όχι. Και ζυγίζουμε το ξηρό βάρος του υλικού WD σε gr.

ΥΠΟΛΟΓΙΣΜΟΙ

$$\text{Υγρασία} : W \% = (WW * WD) * 100 / WD.$$

- Τα βάρη σε gr -

ΠΑΡΑΔΕΙΓΜΑ

$$\text{Υγρό εδαφικό υλικό + υποδοχέας} = 60.00 \text{ gr.}$$

$$\text{Υποδοχέας} = 4.30 \text{ gr} .$$

$$\text{Ξηρό βάρος υλικού + υποδοχέας} = 57.21 \text{ gr} .$$

$$\begin{array}{rcl} WW = 60.00 - 4.30 = 55.70 \\ WD = 57.21 - 4.30 = 52.91 \end{array} \quad | \quad W = 5.27 \% .$$

Ενας άλλος τρόπος υπολογισμού της υγρασίας είναι η μέθοδος τού ανθρακασθεστίου. Η δοκιμή στηρίζεται στήν ιδιότητα τού ανθρακασθεστίου να αποσυντίθεται από το νερό και να παράγει ασετυλίνη. Η συσκευή υπάρχει στο εργαστήριο εδαφομηχανικής τού TEI Πάτρας ( φωτS ).

ΠΟΡΕΙΑ ΔΟΚΙΜΗΣ

1.) Λαμβάνουμε ώς δείγμα μέσο όρο αντιπροσωπευτικού υλικού και το τοποθετούμε σε ένα φύλλο χαρτιού.  
- προσοχή σε κάθε απώλεια υγρασίας -.

2.) Υποθέτω τὴν εδαφικήν υγρασία, και ἔτσι καθορίζω  
(φωτ 5 ) τη ποσότητα τού δείγματος.

Υπόθεση τῆς υγρασίας %	Βάρος δείγματος gr
5	20
10	10
20	5
30	3

Το βάρος τού υλικού ζυγίζεται με το ζυγό πού υπάρχει στο set τῆς συσκευής.

3.) Χωρίς διακοπή φέρουμε το δείγμα μέσα στὴ φιάλη μαζί με δυο χαλιβδίνες σφαίρες. Με ελαφριά κλίση τῆς φιάλης εισάγουμε μια αμπούλα ανθρακασθεστίου και κλείνουμε τη φιάλη αφού πρώτα έχουμε τοποθετήσει στο στόμιο μια φλάνζα.

4.) Η φιάλη ανακινείται ζωηρά, πάνω - κάτω. Όταν η πίεση που δείχνει το μανόμετρο γίνει σταθερή τη καταγράφουμε.

5.) Ανοίγουμε τη φιάλη αργά και μακριά από φωτιά και έντονο φώς. Καθαρίζουμε καλά τη φιάλη για να είναι καθαρή και στεγνή για τηνέα δοκιμή.

6.) Εάν :

- \* Η πίεση είναι μικρότερη από 0.2 At η δοκιμή επαναλαμβάνεται με πιο πολύ υλικό.
- \* Η πίεση είναι μεγαλύτερη από 1.5 At η δοκιμή επαναλαμβάνεται με πιο λίγο υλικό.

7.) Ο υπολογισμός τῆς υγρασίας γίνεται με το πίνακα ( Table τού εντύπου τῆς συσκευής ) με βάση το βάρος τού υλικού και την πίεση.



(Φωτ 5)

Z.) Proctor test [27], [19]

Το δείγμα για τη δοκιμή είναι διαταραχμένο.

Ο σκοπός τής δοκιμής είναι ο προσδιορισμός τής υγρασίας με την οποία έχουμε τη καλύτερη συμπύκνωση. Με τη συμπύκνωση έχουμε αυξηση τής διατυπωτικής αντοχής τού εδάφους, μείωση τών κενών, μείωση τών καθιζήσεων και τής διαπερατότητας του.

Στήν επόμενη σελίδα υπάρχει ένας οδηγός εκτέλεσης τής δοκιμής. Στόν οδηγό αυτό όπου \*1 : Η συμπύκνωση μπορεί να γίνει με μία σφύρα ( κατά AASHO ) με διάμετρο Βάσης 50.8 mm, με βάρος 2.5 kg και ύψος πτώσης τού βάρους 304.8 mm μέσα σε 3 στρώσεις. Άκομα όταν απαιτούνται μεγάλες ενέργειες συμπύκνωσης - λόγο π.χ. βαριάς κυκλοφορίας [12] - γίνεται χρήση τής τροποποιημένης μεθόδου δηλαδή εργαστηριακή συμπύκνωση με σφύρα ( κατά AASHO ) με διάμετρο Βάσης 50.8 mm, βάρος 4.54 kg, ύψος πτώσης 457 mm μέσα σε 5 στρώσεις.

Υπολογισμός ενέργειας συμπύκνωσης :

$$* \text{Περίπτωση με κτύπους } E = N * H * P / V$$

Οπου  $N$  = κτύποι \* αριθμό στρώσεων.

$P$  = βάρος πτώσης. kg

$H$  = ύψος πτώσης . cm

$V$  = όγκος ολικός δοκιμίου. cm<sup>3</sup>

$$* \text{Περίπτωση οδοστρωτήρα } E = \Delta * F / B * P$$

Οπου  $\Delta$  = διελεύσεις .

$B$  = πλάτος κυλίνδρου . cm

$F$  = βάρος κυλίνδρου . kg

$P$  = πάχος τής στρώσης. cm

Σημ : Εάν το υλικό που θα συμπυκνωθεί είναι αργιλικό τότε η βέλτιστη υγρασία είναι περίπου ίση με το δριού υδαρότητας WL ή LL .

### ΠΑΡΑΔΕΙΓΜΑ

Να βρεθεί η βέλτιστη υγρασία σε μια σειρά από δοκίμια

Δοκίμιο	υγρασία W %	ξηρό φαινόμενο βάρος γd t/m <sup>3</sup>
1	3.85	2.03
2	5.45	2.09
3	7.70	2.06
4	8.85	2.02

Λύση:  $\gamma_d [t/m^3]$

2.1

2.08

2.06

2.04

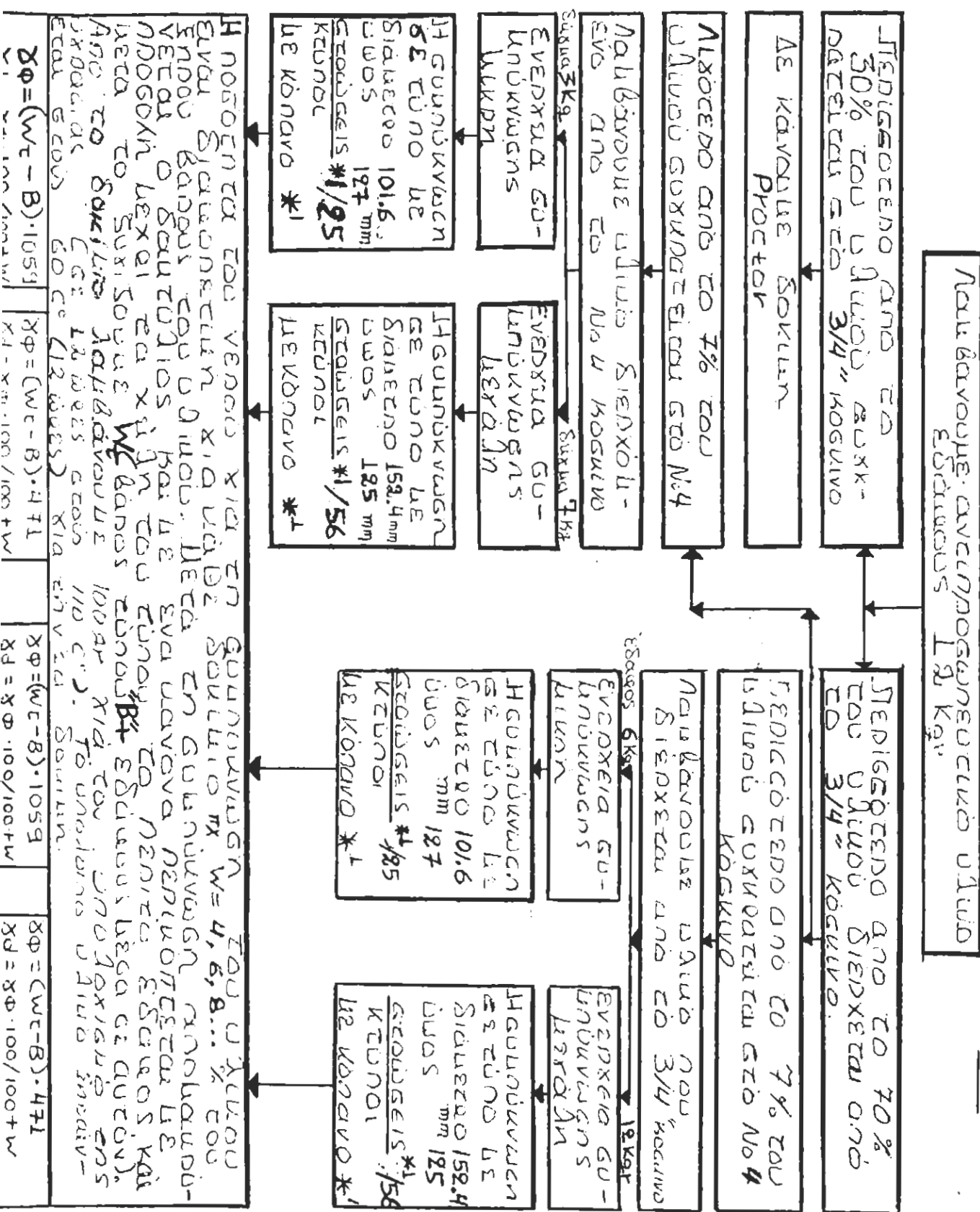
2.02

2.00



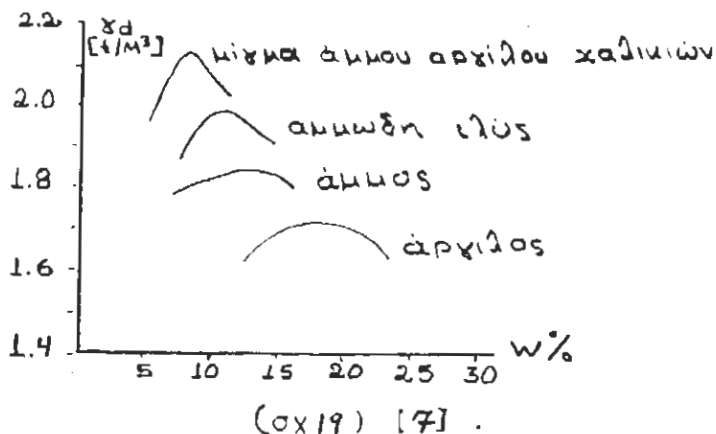
ПРОСТОР ДОКУМЕНТІВ Proctor

ZnH: \*1, S<sub>6</sub>S (S<sub>6</sub>H<sub>6</sub>)



Ανάλογα με το βαθμό συμπύκνωσης που θέλουμε να πετύχουμε στο έδαφος μπορούμε να εκλέξουμε διαφορετική μέθοδο συμπύκνωσης (σελ26).

Το υλικό που μπορεί να πάρει τη μεγαλύτερη συμπύκνωση είναι ένα μίγμα αργίλου άμμου και χαλικιών (σχ 19).



(σχ 19) [7].

Oi [ Benson C.H. and Daniel D.E. "Influence of clods on hydraulic conductivity of compacted clay". Journal of geotechnical engineering, ASCE, vol 116. No 8 pp 1231 - 1248. (1990) ] συνέστησαν ότι για να πετύχουμε μικρή διαπερατότητα σε εδάφη που σχηματίζουν συσσωματώματα πρέπει να γίνει συμπύκνωση με υγρασία μεγαλύτερη από τη θέλτιστη και με σχετικά μεγάλη ενέργεια συμπύκνωσης καθώς και χρήση οδοστρωτήρα με εξωγκώματα.

Σε περίπτωση που πρέπει να κάνουμε δοκιμή σταθεροποίησης, αναμιγνύουμε στο εδαφικό υλικό ποσότητα νερού - ώστε να υγρανθεί κατά τη θέλτιστη υγρασία - και ποσοστό τιμέντου ή άλλου υλικού. Στη συνέχεια γίνεται συμπύκνωση Proctor στα δοκίμια και ακολουθεί η συντήρησή τους. Μετά τη συντήρηση γίνεται η θραύση τους για να βρεθεί η αντοχή σε ανεμπόδιστη θλίψη.

#### H.) Δοκιμή του Καλιφορνιακού λόχου φέρουσας ικανότητας [27], [14].

Το δείγμα για τη δοκιμή CBR είναι διαταραγμένο.

Ο σκοπός της δοκιμής είναι να επιδιώκεται ο καθορισμός της τιμής της φέρουσας ικανότητας εδαφών.

#### ΠΟΡΕΙΑ ΔΟΚΙΜΗΣ

1.) Λαμβάνουμε εδαφικό υλικό 35 kg.

2.) Εάν το υλικό διέρχεται από το 2" κόσκινο και συγρατείται από το 3/4" θα το αντικαταστήσουμε με υλικό που διέρχεται από το 3/4" και συγρατείται από το No 4.

- 3.) Προσδιορίζουμε τη βέλτιστη υγρασία με τη μέθοδο Proctor (σελ 26).
- 4.) Ζυγίζουμε το ειδικό καλούπι της συσκευής και το βάρος αυτό το ονομάζουμε  $B_1$  σε kg.
- 5.) Βιδώνουμε το καλούπι στή διάτρητη βάση και μέσα σε αυτό βάζουμε το διαχωριστικό δίσκο, πάνω στον οποίο τοποθετούμε ένα χάρτινο φίλτρο.
- 6.) Τοποθετούμε το δακτύλιο προέκτασης στο καλούπι.
- 7.) Αναμιγνύουμε ποσότητα εδάφους - που έχει ξηρανθεί για 12 ώρες στους  $60^{\circ}C$  - με νερό ώστε να ληφθεί η βέλτιστη υγρασία.
- 8.) Συμπυκνώνουμε το υλικό μέσα στο καλούπι. (Πρέπει να κάνουμε 3 δοκίμια με διαφορετικές ενέργειες συμπύκνωσης).
- 9.) Αφαιρούμε τη προέκταση, τη βάση και το διαχωριστικό δίσκο. Ζυγίζουμε το συμπυκνωμένο υλικό μαζί με το καλούπι, το βάρος του οποίου είναι  $B_2$  σε kg.
- 10.) Από το περίσιο υλικό υπολογίζουμε την υγρασία  $W\%$ . Το φαινόμενο ειδικό βάρος είναι  $\gamma_f = B_2 - B_1 / \text{όγκο του δοκιμίου}$ . Το ξηρό ειδικό βάρος είναι  $\gamma_d = \gamma_f * 100 / W + 100$ .
- 11.) Τοποθετούμε πάνω στη βάση ένα χαρτί και πάνω σε αυτό το καλούπι ανάποδα ώστε το εδαφικό υλικό να ακουμπά πάνω στο χαρτί.
- 12.) Στο πάνω μέρος του εδάφους τοποθετούμε ένα φίλτρο από χαρτί και τη πλάκα διόγκωσης. Δημιουργούμε υδρεμποτισμό σε δύο το υλικό.
- 13.) Βάζουμε βάρη πάνω στο δοκίμιο με τιμή 1ση πρός τη πραγματοποιούμενη από το βάρος των υπερκείμενων μονίμων (π.χ. βάση, υπόβαση, στρώση κυκλοφορίας) και ποτέ λιγότερο από 4.54 kg.
- 14.) Τοποθετείται ο τρίποδας με το μηκυνσιόμετρο στη κορυφή του δοκιμίου και λαμβάνεται η αρχική ανάγνωση.
- 15.) Το δείγμα μένει μέσα στο νερό μέχρι να σταματήσει η διόγκωση - για ορισμένα αργιλικά εδάφη μπορεί να χρειαστούν ακόμα και 5 μέρες -. Το ποσοστό διόγκωσης = αρχική ανάγνωση - τελική / το αρχικό ύψος του δοκιμίου.
- 16.) Εξάγουμε από το νερό το δοκίμιο και το αφήνουμε 15 λεπτά για να στραγγίσει. Αφαιρούμε τα βάρη και τη διάτρητη πλάκα διόγκωσης.

17.) Τοποθετούμε το έμβολο διείσδυσης με φορτίο 100 με αυτό κατά τον υδρεμποτισμό και μηδενίζουμε τις ενδείξεις τού οργάνου.

18.) Εξασκούνται πάνω στο έμβολο διείσδυσης, φορτία ώστε η ταχύτητα διείσδυσης να είναι 1.3 mm/min, και λαμβάνουμε τις ενδείξεις φορτίου για διεισδύσεις 0.64 - 1.27 - 1.91 - 5.06 - 7.62 mm.

19.) Σχεδιάζουμε τη καμπύλη ( τάσεων - διεισδύσεων ).

#### ΥΠΟΛΟΓΙΣΜΟΙ

CBR = (Πίεση [kg/cm<sup>2</sup>] για διείσδυση 2.54 mm / 70.3) \* 100.

CBR = (Πίεση [kg/cm<sup>2</sup>] για διείσδυση 5.08 mm / 105.5) \* 100

\* Εάν η δεύτερη τιμή είναι μεγαλύτερη από τη πρώτη πρέπει να ξαναγίνει η δοκιμή. Εάν πάλι δώσει ίδια αποτελέσματα χρησιμοποιούμε τη δεύτερη τιμή.

\* Εάν η πρώτη τιμή είναι μεγαλύτερη, αυτήν επιλέγω.

\* Ετσι κατά τη δοκιμή Βγάζουμε 3 διαφορετικά CBR. Επιλέγουμε αυτό που αντιστοιχεί στό ελάχιστο επιτρεπόμενο ποσοστό συμπύκνωσης που μπορεί να γίνει στο έργο.

Σημ: Συσχετίσεις με βάση το CBR :

$$E_s = 100 \cdot CBR \quad CBR = \frac{R_d}{3S} \quad R_d = \text{αντίσταση κώνου του στασιανού πενετομέτρου.}$$

#### ΕΡΓΑΣΤΗΡΙΑΚΕΣ ΔΟΚΙΜΕΣ ΣΕ ΑΔΙΑΤΑΡΑΚΤΑ ΔΕΙΓΜΑΤΑ

Πρίν αναψαρθώ στις δοκιμές θα περιγράψω το τρόπο, με τον οποίο διαμορφώνουμε και συντηρούμε ένα δοκίμιο.

Εστω οτι λάβαμε ένα αδιατάρακτο δείγμα από μια γεώτρηση, το δείγμα βρίσκεται στό πλαστικό πουκάμισο του δειγματολήπτη, και παραφινώνουμε τα δύο άκρα του αφού καθαριστούν καλά και τα πωματίζουμε με πλαστικά πώματα που εφαρμόζουν ακριβώς, τα χείλη αυτών καλύπτωνται με μονωτική ταινία. Εάν το δείγμα είναι ένα block sample τότε καλύπτουμε την επιφάνειά του με ένα υγρό χαρτί και με στρώμα παραφίνης. Πάνω στα δείγματα σημειώνουμε το άνω και κάτω άκρο του, το έργο, τη γεώτρηση, την ημερομηνία λήψης και το βάθος που πάρθηκε, το ίδιο γίνεται και σε ένα χαρτί πού τα συνοδεύει. Τα δείγματα τοποθετούνται σε ένα ξύλινο κυβώτιο ανάλογα το βάθος τους, και με προσοχή τα μεταφέρουμε στο εργαστήριο.

Στο εργαστήριο τα δείγματα με προσοχή χωρίς κραδασμούς τοποθετούνται σε σκιερό δροσερό χώρο όπου παραμένουν μέχρι να ανοικτούν.

Κατά τη μόρφωση των δοκιμών δίνεται μεγάλη προσοχή να μη διαταραχτούν. Οταν το δείγμα είναι μέσα σε πλαστικό σωλήνα είναι καλύτερα γιατί αυτό κόβεται κατά μήκος του - μόνο το πλαστικό - και έτσι δε γίνεται εξόλκευση - περίπτωση μεταλλικού πουκαμίσου - η οποία διαταράσσει το δείγμα.

Η μόρφωση να γίνεται σε υγρούς χώρους για να εμποδίζεται η αλλαγή της φυσικής υγρασίας τού υλικού. Το δοκίμιο πρέπει να μορφώνεται σε κύλινδρο με άξονα παράλληλο ως προς τον άξονα τού δείγματος με ένα μορφωτή που έχει κοπτερό άκρο. Στη συνέχεια επιπεδόνουμε τις δύο επιφάνειες τού δοκιμίου.

Μέχρι το δοκίμιο να χρησιμοποιηθεί το συντηρούμε μέσα σε έναν υγραντήρα. Σε αυτόν το δοκίμιο μπορεί να μείνει μέχρι και 30 λεπτά.

Σε χαλαρά αργιλοαμμώδη στρώματα μικρού πάχους (περίπου 6 μέτρα) μεταξύ πιο διαπερατών στρωμάτων πάντα κάτω από τον υδροφόρο-από ότι είναι το στρώμα που εξετάζουμε- πρέπει να κάνουμε δοκιμές με στράγγιση (με στερεοποίηση) γιατί στο μέλλων με την επιρροή της πίεσης το έδαφος θα σδαγγίσει μέχρι την εξάλειψη των πιέσεων των πόρων. Πρέπει δηλαδή σε αυτή τη περίπτωση να ξέρουμε τη συμπεριφορά του εδάφους μακροχρόνια (με στράγγιση) και βραχυχρόνια (χωρίς στράγγιση).

Σε αντίθετη περίπτωση, κατασκευή στραγγιστιρίων.

#### A.) Δοκιμή στερεοποίησης [2], [1]

Το δοκίμιο για τη δοκιμή είναι αδιατάρακτο. Οι διαστάσεις του είναι:

- \* D min = 50.8 mm.
- \* D = Δείγματος - 6.4 mm.
- \* H min = 12.5 mm.
- \* H > Δεκαπλάσιο τού μεγέθους τού μεγαλύτερου κόκκου.
- \* D / H min = 2.5

Το δοκίμιο να λαμβάνεται από το πιο συμπιεστό μέρος τού δείγματος ( π.χ. αργιλικότερο, οργανικά ).

Η δοκιμή αυτή έχει σκοπό το προσδιορισμό τού δείκτη στερεοποίησης Cc, των συντελεστών στερεοποίησης Cv, των μέτρων συμπίεσης, τούς συντελεστές διαπερατότητας K, τη τάση διόγκωσης ( όπου με συνεργασία της δοκιμής έλευθερης διόγκωσης βρίσκουμε και το ποσοστό διόγκωσης ), και τη τάση προφόρτησης.

Οταν ένα έδαφος φορτιστεί, κατά τη πορεία φόρτισης διακρίνουμε τήν αρχική ή άμεση τη κύρια καθίζηση λόγο στερεοποίησης και τη δευτερεύουσα.

- \* Η άμεση οφείλεται στην ελαστικότητα τού εδάφους, - εδώ ισχύει ο νόμος τού Hooke  $\epsilon = \sigma / E$ .
- \* Η κύρια οφείλεται στό ότι κατά την επιβολή μιάς φόρτησης, σε ένα πλήρως κορεσμένο με νερό έδαφος ομοιογενές, το νερό των πόρων λαμβάνει τόση πίεση σην είναι η φόρτιση στήν επιφάνειά τού νερού. Το νερό αποκτά μια ενέργεια που εξαναγκάζει να α-

ποστραγγιστεί τόση ποσότητα μέχρι να 'χουμε ισορροπία των δυνάμεων στο υλικό - το νερό και οι εδαφικοί κόκκοι είναι ασυμπίεστα. Το φαινόμενο αυτό έχει μεγάλη πρακτική σημασία σε αργιλικά, ιλιώδη και οργανικά εδάφη, γιατί αυτά έχουν πολύ μικρή διαπερατότητα και έτσι αυτή η καθίζηση μπορεί να διαρκέσῃ ακόμα και χρόνια - εδώ ισχύει ο νόμος του Darcy  $Q = K * i * A * t$  - .

- \* Η δευτερεύσα οφείλεται στην ιζώδη συμπεριφορά τού εδάφους, ερπυσμό, και είναι πιό έντονη σε εδάφη με υψηλό δείκτη πλαστικότητας.

Για τη μελέτη των υποχωρήσεων υπάρχουν οι δοκιμές στερεοποίησης. Αυτές διακρίνονται :

- a.) Στη συμβατική μέθοδο με επιβολή βαθμίδων φόρτισης (S.T.D.) (σχ3,17). Η δοκιμή αυτή έχει δύο μειονεκτήματα, το ένα είναι ότι οι δοκιμές διαρκούν πολλές μέρες και το δεύτερο ότι τα σημεία στη καμπύλη τάσεων - δείκτη πόρων δεν είναι αρκετά για το προσδιορισμό με ακρίβεια της τάσης προστερεοποίησης - η εφαρμογή λόγου φόρτισης 5 kg/cm<sup>2</sup> μειώνει την αβεβαιότητα αυτή αλλά διπλασιάζει το χρόνο τής δοκιμής [3].
- b.) Αυτά τα μειονεκτήματα καλύπτουν οι δοκιμές συνέχους επιβολής φόρτισης, που δεν έχουν ακόμα τύχει εφαρμογής στην Ελλάδα. Η δοκιμή αυτές εκτελούνται με τη συσκευή (σχ 18) και βάση τής προδιαγραφής (ASTM D 4186 - 82). Μια δοκιμή αυτού του είδους είναι η ακόλουθη :

Δοκιμή με σταθερή ταχύτητα παραμόρφωσης (C.R.S.)

- 1.) Η χρήση μιάς ανάστροφης πίεσης πρώτα για κορεσμό αλλά και κατά τη δοκιμή είναι υποχρεωτική.
- 2.) Η επιλογή τής ταχύτητας παραμόρφωσης με βάση το δριούσιο υδαρότητος.

Σημ : Για επιδιωξη διατήρησης μέχρι 20% τής πίεσης πόρων οι ταχύτητες είναι :

WL ή LL	ταχύτητα παραμόρφωσης ανά λεπτό
0 - 40	.04
40 - 60	.01
60 - 80	.004
80 - 120	.0004
120 - 140	.0001

- 3.) Η φόρτιση εφαρμόζεται βαθιαία στο δείγμα αυξάνοντας την αξονική μετατόπιση σταθερά.
- 4.) Η αύξηση τής κατακόρυφης τάσης και η πίεση τού ύδατος τών πόρων, στη βάση τού δείγματος, ο χρόνος

από την αρχή τής επιβολής τής φόρτησης καταγρά-  
φονται συνεχώς ενώ ταυτόχρονα λαμβάνεται χώρα η  
στράγγηση από το πάνω μέρος του δείγματος με φορά  
αντίθετη στήν ανάστροφη πίεση.

## ΥΠΟΛΟΓΙΣΜΟΙ

Για ένα έδαφος μη χραμικό ( όχι σταθερό Cc ) ο συντε-  
λεστής στερεοποίησης προσδιορίζεται γνωρίζοντας τις ο-  
λικές τάσεις σ1, σ2 στις χρονικές στιγμές t1, t2 αντί-  
στοιχα ( Dt = t1 - t2 ) από την εξισώση :

$$Cv = \frac{H^2 \log (\sigma_2 / \sigma_1)}{2 * Dt \log [1 - (Du / \sigma_v)]} \text{ [cm}^2/\text{sec]}$$

Οπου Du = η μέση πίεση πόρων kg/cm<sup>2</sup>.

σv = ( σ1 + σ2 ) / 2 -//-. .

Οι τάσεις σε Kg/cm<sup>2</sup>, οι χρόνοι σε sec.

Δοκιμή συμβατική :

## ΠΟΡΕΙΑ ΔΟΚΙΜΗΣ [19], [27]

- 1.) Βράζουμε τούς πορολίθους για να καθαρίσουν. Και υγραίνουμε όλες τις επιφάνειες τής συσκευής που θα έρθουν σε επαφή με το δοκίμιο για να μην απορροφούν υγρασία.
- 2.) Από το δείγμα που έχινε το δοκίμιο παίρνουμε άμοιο υλικό για το προσδιορισμό τής ψυσικής υγρασίας (σελ 14) και τού ειδικού βάρους των κόκκων (σελ 13). Υπολογίζουμε τοφαινόμενο βάρος του δοκιμίου ψφ = βάρος / όγκο .
- 3.) Τοποθετούμε τον ειδικό μορφωτή με το δοκίμιο στη συσκευή δύο πορόλιθοι ένας πάνω και ένας κάτω καλύπτουν τις επιφάνειες του δοκιμίου.
- 4.) Εφαρμόζουμε μια πίεση την με .05 kg/cm<sup>2</sup> για 5 λεπτά και στη συνέχεια τοποθετούμε το μηνκυσιόμετρο ή το transduser που είναι συνδεμένο με καταγραφικό.
- 5.) Βάζουμε πίεση .125 kg/cm<sup>2</sup> και διαβρέχουμε το δοκίμιο για να μην έχουμε εξάτμηση τού νερού τού δείγματος. Η πίεση θα μείνει μέχρι η καμπύλη υποχώρηση - χρόνος γίνεται ευθεία ή πρακτικά 24 ώρες. Εάν έχουμε διόγκωση βάζουμε νέο φορτίο.
- 6.) Οτι και στη (5) αλλά με άλλο φορτίο. Τα φορτία είναι :  
.125, .25, .5, 1, 2, 4, 8, ή και 16 kg/cm<sup>2</sup>  
Και 2. .125 για αποφόρτιση.  
Τα χρονικά διαστήματα που παίρνουμε τις υποχω-

ρήσεις είναι :

15'', 60'', 2', 2.15', 3.20', 4', 6.40', 9', 12.15'  
15', 16', 25', 33.2', 36', 49', 1 h, 2 h, 5 h, 24

7.) Μετά τη δοκιμή από το δοκιμασμένο δοκίμιο υπολογίζουμε την υγρασία του.

Σημ : Κατά την αποφόρτιση γίνεται η αντίστροφη πορεία με αυτή της στερεοποίησης. Στην αποφόρτιση το δείγμα παίρνει νερό.

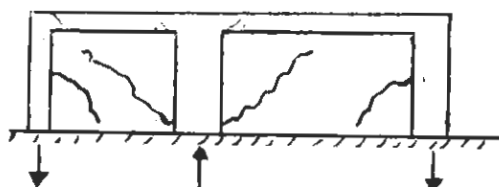
#### Δοκιμή ελεύθερης διόγκωσης [10].

Η δοκιμή αυτή είναι μιά συνέχεια της δοκιμής στερεοποίησης. Είναι πολύ απλή, αλλά μας παρέχει το ποσοστό της διόγκωσης που μπορεί να προκληθεί σε ένα έδαφος ως πρός το αρχικό του ύψος όταν αυτό διαβραχνή με νερό. Ενώ παράλληλα η δοκιμή στερεοποίησης, μαζί με τα άλλα αποτελέσματα, δίνει τη μέγιστη τάση κάτω από την οποία θα έχουμε διόγκωση. Σχέσεις με την Σιάσκωση (σελ 39).

#### ΠΟΡΕΙΑ ΔΟΚΙΜΗΣ

- 1.) Τοποθετούμε σε ένα ογκομετρικό σωλήνα των 100 ml εδαφικό υλικό 10 ml διερχόμενου από το No 40 κοσκινό.
- 2.) Βάζουμε 50 ml νερό στόν ογκομετρικό.
- 3.) Μετράμε τό πάχος τού εδάφους στήν αρχή  $\pi_1$  και στο τέλος  $\pi_2$  της διόγκωσης.

Σχέδια βλαβών από διόγκωση:

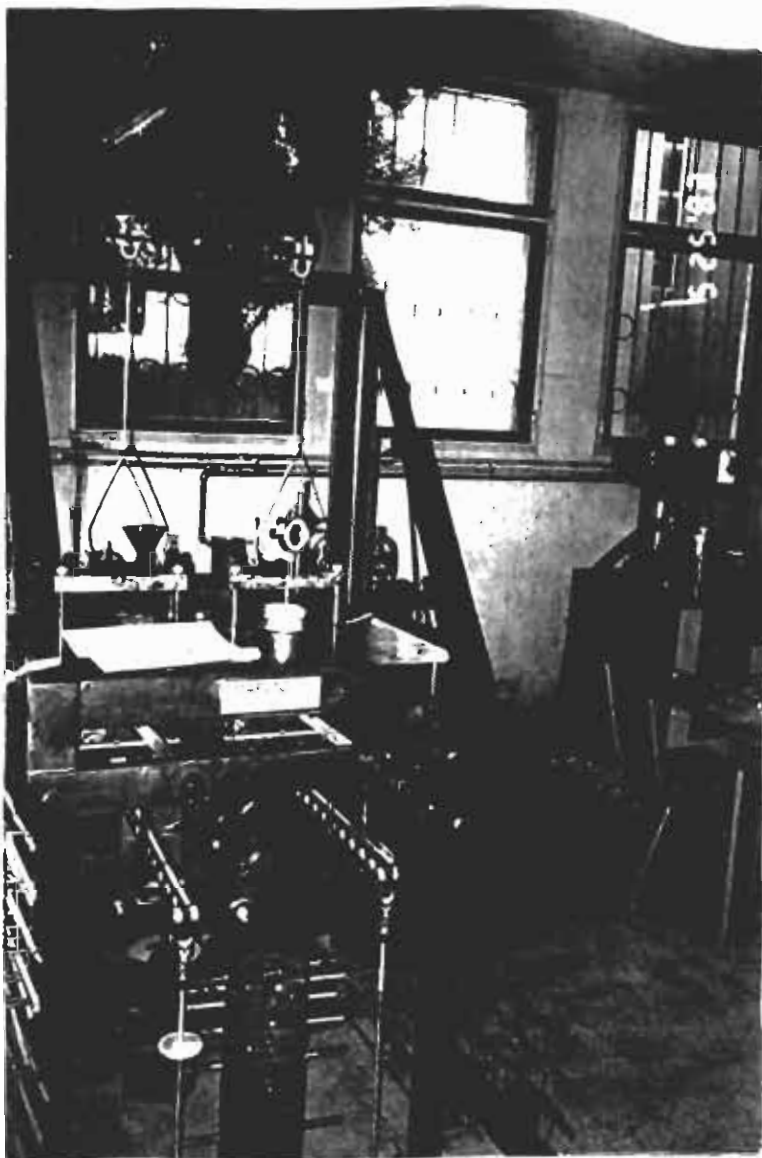


#### ΥΠΟΛΟΓΙΣΜΟΙ [27], [7], [19]

$$\text{Ποσοστό διόγκωσης, } S = \left[ \left( \pi_2 - \pi_1 \right) / \pi_1 \right] * 100$$

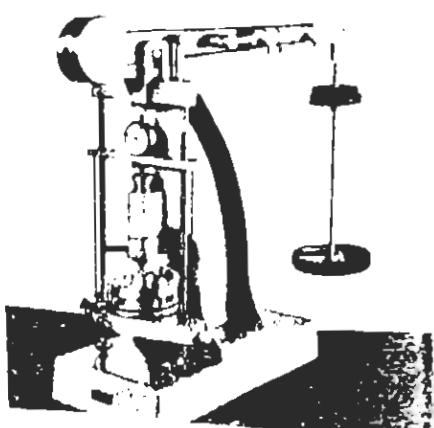
Οι υπολογισμοί της δοκιμής στερεοποίησης μπορούν να γίνουν με το πρόγραμμα consol (Μονογυιός 1993) που διατίθεται στο εργαστήριο τού TEI Πάτρας. Το πρόγραμμα δίνεται στη (σελ35α) και είναι σε γλώσσα basic.

Στήν αρχή εισάγουμε το ύψος τού δοκιμίου Η σε cm.



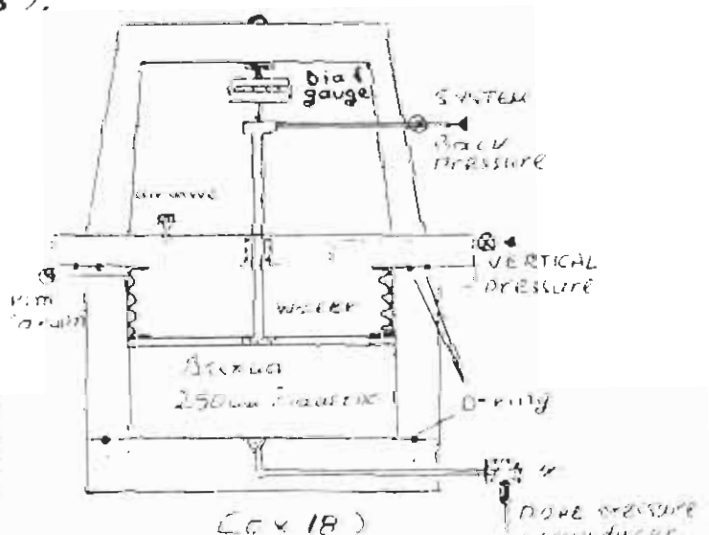
(φωτ 3)

(Έργαστρο εδαφομηχανικής του ΤΕΙ  
Πάτρας).



(φωτ 3)

Νεότερη συσκευή στερεοποίησης



(φωτ 18)

Rowe hydraulic  
consolidation cell  
(From Head 1986)  
Πα γυρεξή επιβολή φορσίου

```
5 CLS
10 INPUT "ψψος δειγματος" cm . H="" : H
20 INPUT "διαμετος δειγ." cm . D="" : D
30 INPUT "θαρος δειγμ + educator gr . ="" : B
40 INPUT "θαρος του educator gr . ="" : X
41 PRINT "εαν λαθος Z=1"
42 INPUT "Z=" : Z
43 IF Z = 1 GOTO 10
50 INPUT "υχρασια του δειγματος % . ="" : W1
60 INPUT " -/- -/-" % . ="" : W2
70 INPUT "ειδικο θαρος κοκκων Gs="" : GS
71 INPUT "οριο υδαροτητος % WL="" : WL
72 INPUT "οριο πλαστικοτ WP="" : WP
80 INPUT "ποσες βαθυτητες φορτιου =" : N
90 PRINT "εαν λαθος Z=1"
100 INPUT "Z=" : Z
110 IF Z = 1 GOTO 50
120 A = .7854 * D ^ 2
130 UD = (B - X) / (A * H)
140 W = (W1 + W2) / 2
150 BSAM = B - X
160 EO = (GS * (1 + W / 100) / UD) - 1
170 VS = (A * H) / (1 + EO)
180 I = 1
190 PRINT "I=" : I
200 INPUT "STRESS KG/CM2 =": STR(I)
210 INPUT "YIELD AT 100 % CM =": Y100(I)
220 INPUT "YIELD AT 50 % CM =": Y50(I)
230 INPUT "TIME AT 50 % SEC =": T50(I)
240 PRINT "εαν λαθος Z=1"
250 INPUT "Z=" : Z
260 IF Z = 1 GOTO 190
270 IF I = N GOTO 300
280 I = I + 1
290 GOTO 190
300 I = 1
310 D100(I) = H - Y100(I)
320 D50(I) = H - Y50(I)
330 VK(I) = (D100(I) * A) - VS
340 E(I) = VK(I) / VS
350 STRA(I) = (Y100(I) / H) * 100
360 IF I = N GOTO 373
370 I = I + 1
372 GOTO 310
373 CLS
374 PRINT " CONSOLIDATION TEST "
375 PRINT "A PRODUCTION BY MONOGIOS D. GEORGIOS ATHENS 1993"
376 PRINT "-----"
377 PRINT "PROJECT....."
378 PRINT "CHARACT....."
379 PRINT "BORING.....DEPTH.....DATE....."
380 PRINT " WL =": WL
381 PRINT " WP =": WP
382 PRINT "INITIAL HEIGHT H. CM =": H
383 PRINT "DIAMETER OF SAMPL. D. CM =": D
384 PRINT "AREA OF SAMPLE A. CM2 =": A
385 PRINT "WEIGHT OF SAMPLE GR =": BSAM
386 PRINT "SPESIFIC GRAVITY GS GR/CM3 =": GS
387 PRINT "UNIT MASS γψ GR/CM3 =": UD
```

```

388 PRINT "NATURAL MOISTURE W. %": W
389 PRINT "NAT. VOID RATIO E0": E0
390 GD = GS / (1 + E0)
391 PRINT "DRY UNIT WEIGHT gd GR/CM3": GD
396 PRINT "SWELLING LOAD.....KG/CM2. ....% ."
397 PRINT " Z=1"
398 INPUT "Z=": Z
399 IF Z = 1 GOTO 400
400 CLS
408 I = 1
409 PRINT "STRESS ":" H100 CM": " e": " STRAIN"
410 PRINT STR(I), D100(I), E(I), STRA(I)
420 IF I = N GOTO 441
430 I = I + 1
440 GOTO 410
441 FOR I = 1 TO N
446 IF STR(I) > STR(I + 1) GOTO 448
447 NEXT I
448 CC1 = (E(I - 1) - E(I))
449 CC2 = LOG(STR(I) / STR(I - 1)) / 2.302585
450 CC = CC1 / CC2
451 PRINT "CC": CC
460 INPUT Z
470 IF Z = 1 GOTO 460
480 CLS
505 I = 1
520 CU(I) = (.192 * (D50(I) / 2) ^ 2) / T50(I)
530 AV(I) = .435 * CC / STR(I)
540 MV(I) = AV(I) / (1 + E0)
550 ES(I) = 1 / MV(I)
560 K(I) = CU(I) * MV(I)
585 F = I
586 IF STR(I) > STR(I + 1) GOTO 610
587 I = I + 1
590 GOTO 520
610 CLS
615 FOR I = 1 TO F
616 GD(I) = GS / (1 + E(I))
620 PRINT "STRESS KG/CM2= : STR(I)": " CU CM2/SEC= : CU(I)"
621 PRINT "Es KG/CM2= : ES(I)": " K CM/SEC =": K(I): ". gd =": GD(I)
622 PRINT "-----"
630 NEXT I
650 END

```

Σε περίπτωση διόγκωσης αυτό είναι το αρχικό ύψος συν το ύψος που έδωσε η διόγκωση στο δοκίμιο μέσα στη συσκευή στερεοποίησης. Ακόμα εισάγουμε τη διάμετρο D σε cm το βάρος τού δείγματος και τού υποδοχέα B αλλά και το βάρος τού υποδοχέα X μόνο, σε gr.

Ακολουθεί μια ερώτηση "εάν λάθος  $\zeta=1$ " σε περίπτωση που κάποιο λάθος έχει γίνει δίνω  $\zeta=1$  και αρχίζει πάλι από την αρχή.

Στη συνέχεια ο διάλογος συνεχίζεται. Ετσι εισάγουμε την υγρασία W1,2 τού δείγματος που έχει βρεθεί από δύο δοκιμές, το ειδικό βάρος των κόκκων GS, τα όρια υδαρότητας και πλαστικότητας. Στην ερώτηση "πόσες βαθμίδες φόρτισης" τις δίνουμε ως εξεις:  
Για παράδειγμα αν έχουμε τις βαθμίδες .25, .50, 1, 2, 4, 2, .25 kg/cm<sup>2</sup> τότε δίνουμε 7, εάν στη τάση .25 είχαμε διόγκωση δίνουμε 6.

Εάν κάποιο λάθος έχουμε κάνει δίνουμε  $\zeta=1$  και ξανά πάμε στην είσοδο της υγρασίας.

Ακολουθεί ο υπολογισμός της επιφάνειας του δοκιμίου A = .7854 \* D ^ 2 σε cm<sup>2</sup>.

Ο υπολογισμός τού φαινόμενου βάρους

$$UD = ( B - X ) / ( A * H ) \text{ σε gr/cm}^3.$$

Ο υπολογισμός της μέσης τιμής της υγρασίας

$$W = W1 + W2 / 2$$

Ο υπολογισμός τού αρχικού δείκτη κενών

$$Eo = ( GS * ( 1 + W / 100 ) / UD ) - 1$$

Ο υπολογισμός τού όγκου στερεών

$$US = A * H / 1 + Eo$$

Τώρα εισάγουμε σταδιακά δλες τις τάσεις τού σταδίου φόρτισης και αποφόρτισης αλλά όχι τις τάσεις στις οποίες έχουμε διόγκωση κατά το στάδιο της φόρτισης. Παράδειγμα, αν έχουμε τις βαθμίδες :

Φόρτισης .25, 1, 2, 4

και αποφόρτισης 2, .25

και στη τάση .25 της φόρτισης έχουμε διόγκωση τότε δίνουμε τις βαθμίδες 1, 2, 4, 2, .25.

Για κάθε τάση τού σταδίου φόρτισης δίνουμε τη τιμή της υποχώρησης που αντιστοιχεί στο 100 % της στερεοποίησης και αυτή που αντιστοιχεί στο 50 %

και το χρόνο της τελευταίας, t50 % σε sec - αυτά τα βρίσκουμε από τη καμπύλη καθιζήσεις προς το λογάριθμο του χρόνου (σχ 20). Κατά το στάδιο της αποφόρτισης δίνουμε μόνο την υποχώρηση Y100 % η οποία είναι η τελευταία τιμή της υποχώρησης ( σε χρόνο 24 ώρες ) για κάποιο φορτίο.

Ακολουθεί υπολογισμός για κάθε φορτίο τού δείκτη κενών, και της παραμόρφωσης  $\epsilon = DH * 100 / H$ .

Γίνονται κάποιες εκτυπώσεις, υπολογισμός και

\*

εκτύπωση τού Cc με βάση τις δύο μεγαλύτερες τάσεις που αντιστοιχούν στο στάδιο φόρτισης. Cc = Δε/Διογός όπου Cc = Δείκτης στερεοποίησης.

Δε = ε(j) - ε(i)

ε = Ο δείκτης κενών.

Δσ = σ(i) - σ(j)

σ = Η τάση σε kg/cm<sup>2</sup>.

(i) = Τιμή που αντιστοιχεί στη μέγιστη τάση.

(j) = Τιμή που αντιστοιχεί στη προηγούμενη τής μέγιστης τάσης.

Στη συνέχεια ακολουθούν οι υπολογισμοί και οι εκτυπώσεις τών δεδομένων από το στάδιο φόρτισης για κάθε τάση i=1...n.

CU(i) = .192 \* ((H50(i) / 2) ^ 2) / T50(i)

mv(i) = (.435 \* Cc / σ(i)) / (1 + eo)

Es(i) = 1 / mv(i)

k(i) = CU(i) \* mv(i)

όπου CU = Συντελεστής στερεοποίησης cm<sup>2</sup>/sec με στράγγιση από τα δύο άκρα.

T50 = Ο χρόνος στον οποίο έχουμε 50 % στερεοποίηση για κάποιο φορτίο.

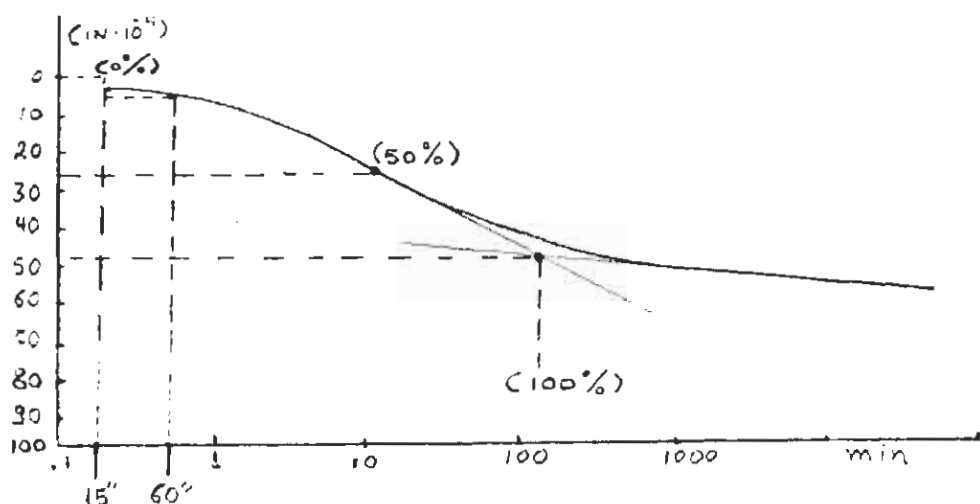
H50 = Το ύψος τού δοκιμίου δταν έχουμε 50 % στερεοποίηση για κάποιο φορτίο.

mv = Συντελεστής στερεοποίησης σε δύκο cm<sup>2</sup>/kg για κάποια τάση.

Es = Μέτρο συμπιεστότητας kg/cm<sup>2</sup>.

k = Συντελεστής διαπερατότητας cm/sec.

eo = Αρχικός δείκτης κενών.

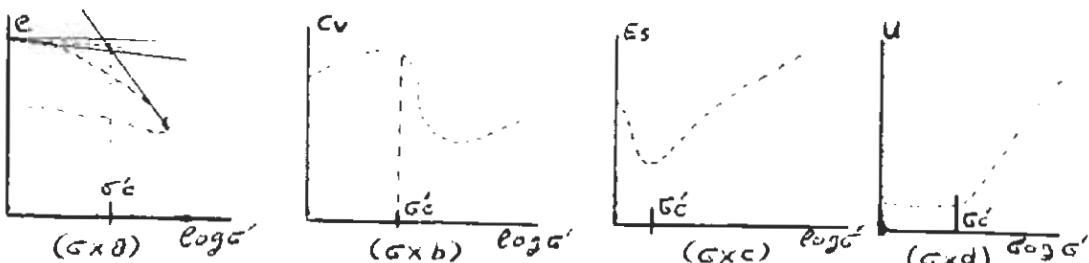


(Cx20) Το διάγραμμα τάσεων υποχωρήσεων

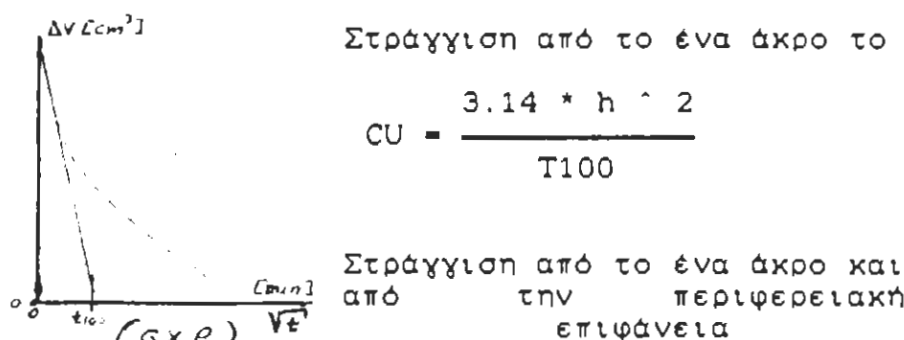
### ΣΥΜΠΕΡΑΣΜΑΤΑ

Η δοκιμή στερεοποίησης είναι ο καλύτερος τρόπος για τον υπολογισμό τού μέτρου συμπιεστότητος τού εδάφους Es.

- Η τάση προστερεοποίησης, σ' c, μπορεί να βρεθεί :
- Από το διάγραμμα δείκτη κενών / λογάριθμο τής τάσης (σχ d).
  - Από το διάγραμμα τού συντελεστή στερεοποίησης / λογάριθμο τής τάσης (σχ b).
  - Από το διάγραμμα μέτρο συμπιεσης / λογάριθμο τής τάσης (σχ c).
  - Από το διάγραμμα πίεση πόρων / λογάριθμο τής τάσης (σχ d).



Η δοκιμή στερεοποίησης εκτελείται κατά τη μονοδιάστατη συμπιεση τού εδάφους που βρίσκεται ως πλευρικά μη παραμορφώσιμο. Μπορεί όμως να γίνει και με μια ολομερή πίεση στο κελί τής τριαζονικής συσκευής καταγράφοντας για κάθε πίεση το νερό που στραγγίζει ανά κάποια χρονικά διαστήματα. Ετσι παίρνουμε το διάγραμμα (σχ e). Από αυτό βρίσκουμε το χρόνο στόν οποίο έχουμε 100 % στερεοποίηση και υπολογίζουμε το CU.



$$T100 = \frac{3.14 * h^2}{4 * CV} * \left[ 1 / \left( 1 + 2 * h / R \right)^2 \right]$$

όπου  $h$  = Το ύψος τού δοκιμίου cm.  
 $R$  = Η ακτίνα τής επιφανείας τού δοκιμίου cm.

Οι διαστάσεις τού δοκιμίου μετά από κάποια αποστράγγιση είναι :

$$h = ho * (1 - 1 / 3 * dv / vo)$$

$$d = do * (1 - 1 / 3 * dv / vo)$$

όπου	$h$	= Το νέο ύψος του δοκιμίου σε cm
	$ho$	= Το αρχικό του ύψος σε cm
	$dv$	= Το νέο πού στράγγιζε σε ml
	$vo$	= Αρχικός όγκος σε ml
	$d$	= Η νέα διάμετρος σε cm
	$do$	= Η αρχική διάμετρος σε cm

Το πρόβλημα είναι ότι όταν κάνουμε κορεσμό στό δοκιμίο με μια ( back pressure ) θα έχουμε μια διόγκωση σε αυτό που δε θα τη ξέρουμε. Οι Ζερβοχιάννης, Καλτεζιώτης, Νάσκος (1988) υπέδειξαν ότι σε χαμηλές τάσεις περίπου 2 MPa οι δοκιμή ισοτροπής στερεοποίησης δίνει περίπου τα ίδια αποτελέσματα με τη κανονική δοκιμή.

Παρατηρήσεις πάνω στή τιμή του CU έδιξαν ότι όσο πιο υγιές είναι το έδαφος τόσο το CU είναι πιο μεγάλο. Όταν το μεγάλο μέρος των υπογωρήσεων - πάνω από το 75 % πραγματοποιήθηκε τα πρώτα 15 περίπου λεπτά - πραγματοποιήθηκε σε μικρό χρόνο έχουμε μεγάλο CU.

#### ΣΥΣΧΕΤΙΣΕΙΣ

Μεταξύ ποσοστού διόγκωσης και δείκτη πλαστικότητας έδωσε ο Seed (1962).

Ip	διόγκωση	
0 - 15	0 - 10 %	μικρή
10 - 35	10 - 50 %	μέση
20 - 55	50 - 100 %	μεγάλη
55 - ...	100 - ... %	πολύ μεγάλη

Πρακτικά μια ένδειξη εδάφους που μπορεί να διογκωθεί είναι η ύπαρξη ρωγμών εύρους 1 cm στην επιφάνειά του και το έδαφος παρουσιάζει σκληρή μορφή. Οι ρωγμές στα πρώτα 1 - 2 μέτρα είναι οριζόντιες και κατακόρυφες, στη συνέχεια ακολουθούν κεκλημένη πορεία. Ο μοντμοριλλονίτης είναι ένα αργιλικό ορυκτό που σε αυτό οφείλονται οι μεγάλες διογκώσεις ( Ευάγ. Βασιλόπουλος 1988 (22)).

Μεταξύ δείκτη πορων και δείκτη συμπιεστότητας Cc.

$$Cc = .54 * ( eo - .35 ) \quad (\text{after Nishida})$$

#### B.) Δοκιμή ανεμπόδιστης θλιψης (27)

Ο σκοπός της δοκιμής είναι ο προσδιορισμός της αντοχής του εδάφους, όταν αυτό είναι πλευρικά ελεύθερο. Άλλα και του μέτρου ελαστικότητας που είναι το αστράγγιστο.

Το δείγμα είναι αδιατάρακτο ή ημιδιαταραχμένο -προ-ερχόμενο από τη δοκιμή S.P.T. (σελ43)-. Οι διαστάσεις του είναι:

- \* Η διάμετρος των κόκκων μικρότερη από το 1 / 10 τής διαμέτρου τού δοκιμίου.
- \* Ύψος / διάμετρος = 2 ως 3.

Το δοκίμιο υποθέλεται σε αξονική φόρτιση 2 % ανά λεπτό ( στή χειροκίνητη συσκευή του ΤΕΙ τής Πάτρας η αστοχία πρέπει να επέρχεται μέσα σε δύο λεπτά ). Παράλληλα καταγράφουμε τη τάση και την υποχώρηση ανά .03 mm μέχρι να παρουσιασθεί επιφάνεια θραύσης ή αύξηση τής παραμόρφωσης χωρίς αύξηση τού φορτίου ή μέχρι να έχουμε παραμόρφωση 20 % .

#### ΥΠΟΛΟΓΙΣΜΟΙ

$$\text{Τάση } \text{kg} / \text{cm}^2 \quad \sigma(i) = \text{φορτίο } (i) \text{ kg} / \text{A } (i)$$

$$\text{Ανοιγμένη παραμόρφωση } \epsilon(i) = dh(i) * 100 / h$$

$$\text{Ανοιγμένη επιφάνεια } A(i) = Ao / 1 - \epsilon(i) \text{ cm}^2$$

$$\text{όπου } dh \text{ η υποχώρηση cm.}$$

$$h \text{ το αρχικό ύψος cm.}$$

$$Ao \text{ αρχική επιφάνεια cm}^2.$$

Σχεδιάζουμε το διάγραμμα τάσεων / παραμορφώσεων. Η κλίση τής οποίας είναι το μέτρο ελαστικότητας "E" τού εδάφους υπάρχει μια σχέση μεταξύ αυτού και τού μέτρου συμπίεσης "Es" :  $Es = E \cdot 1,35$  .

Από το διάγραμμα λαμβάνουμε τη μέγιστη τάση που είναι η αντοχή σε ανεμ/στη θλίψη . Ακόμα υπολογίζουμε και το δείκτη πόρων

$$e = \frac{\gamma s * (1 + W)}{\gamma \psi} - 1$$

$$\text{όπου } \gamma s \text{ το ειδικό τών κόκκων βάρος kg/cm}^3$$

$$W \text{ η υγρασία}$$

$$\gamma \psi \text{ το φαινόμενο βάρος kg/cm}^3.$$

#### Γ.) Τριαξονική δοκιμή [19] , [27]

Ο σκοπός της δοκιμής είναι ο προσδιορισμός τής διατητικής αντοχής τού εδάφους.

Για τις διαστάσεις τού δοκιμίου ισχύει ότι και στήν προϊγούμενη δοκιμή. Εδώ το δείγμα πρέπει να είναι αδιατάρακτο.

Για την επίτευξη τής δοκιμής πρέπει να αποφύγουμε κάθε διατάραξη στο δείγμα. Η πορεία τής δοκιμής είναι συμπίεση μέχρι θραύση ή σημαντική πλεύρική διόγκωση μεταξύ δύο παράλληλων επιφανειών από τις οποίες η μια κινήται με ταχύτητα .5 - 1 % αξονική παραμόρφωση ανά λεπτό. Η δοκιμή μπορεί να γίνει χωρίς αποστράγιση και μέτρηση τής πίεσης των πόρων όταν εξετάζουμε βραχυχρόνια ένα έργο ή όταν το έδαφος δε θα απαλλακτεί από νερά του. Για κάθε δείγμα κάνουμε τρεις δοκιμές που κατά τη διάρκειά τους καταγράφουμε το φορτίο και την υποχώρηση - σαν στην ανε-

μπόδιστη θλίψη - αλλά και τη πλευρική πίεση διαφορετική για κάθε δοκίμιο.

Η μακρούχρονια εξέταση ενώς εδαφικού στρώματος, με τη προηγόθεση ότι θα απαλλακτεί από τα νερά του μαζί οδηγεί σε μια άλλη δοκίμιο κατά την οποία υποβάλλουμε σε κορεσμό το δοκίμιο, αποστράγγιση και μετά σε θλίψη με αργή ταχύτητα και σύγχρονη καταχραφή τού φορτίου τής υποχώρησης αλλά και τής πίεσης των πόρων. Για τον υπολογισμό τής ταχύτητας υπολογίζουμε το  $T100\%$  τής στερεοποίησης (σελ 38) ( σχ 6 ) και με το τύπο:

$\tau = 20 * \text{ύψος δοκίμιου} ^{-2} / m * CV$

Θρισκουμε το χρόνο μέχρι τη θραύση τού δοκίμιου. Το  $m$  είναι ίσο με .75 όταν η στράγγιση γίνεται από τη βάση τού δοκίμιου ή 2 όταν γίνεται από τη βάση και τη παράπλευρη επιφάνεια. Οι διαστάσεις τού δοκίμιου μετά την αποστράγγιση υπολογίζονται όπως στη (σελ39). Για κάθε δοκίμιο θρισκουμε τις τάσεις όπως στην δοκίμη ανεμπόδισης θλίψης, φτιάχνουμε τα διαγράμματα τάσεων / παραμορφώσεων - για κάθε πλευρική τάση - και με τη μέγιστη αξονική τάση σ1 και την σταθερή σ3 παριστάνουμε τους κύκλους του MOHR, ένα για κάθε δοκίμιο. Στη περίπτωση δοκίμης με στράγγιση θρισκουμε τις ενεργές τάσεις ως εξεις :  $\sigma_1' = \sigma_1 - u$  όπου  $u$  η ενεργή τάση  $\sigma_3' = \sigma_3 - u$  και με την πίεση των πόρων που εμφανίζεται σταν η κατακόρυφη τάση πάρει τη μέγιστη τιμή, και με τον ίδιο τρόπο χαράσουμε τους κύκλους θραύσης τού MOHR - που είναι για τις ενεργές τάσεις - .

## ΣΥΜΠΕΡΑΣΜΑΤΑ

Για τη δοκίμη χωρίς στράγγιση απαιτούνται οι εξεις συσκευέων :

- \* Μηχανή θλίψης με ρυθμιστή ταχύτητας.
- \* Οργανό για τη μέτρηση τού αξονικού φορτίου.
- \* Οργανό για τη μέτρηση των υποχωρήσεων.

Για τη δοκίμη με στράγγιση απαιτούνται :

- \* Οτι στη προϊστούμενη. Συν,
- \* Οργανό μέτρησης τού ογκου τού νερού που στραγγίζει.
- \* Οργανό για τη μέτρηση τής πίεσης των πόρων.

Σημ : Απαιτείται η χρησιμοποίηση ενός συστήματος για την επιβολή ανάστροφης πίεσης ( back pressure ).

## A.) ΔΟΚΙΜΗ ΣΥΝΤΟΝΙΣΜΟΥ ΣΤΗΛΗΣ [30], [6].

Αυτή η δοκίμη (resonant column test) είναι μια καλή εκλογή τού κυκλικού τριαξονικού τέστ. Ενα αδιατάρακτο κυλινδρικό δοκίμιο εδάφους δονίται από το ένα του άκρο σε μικρά εύρη - οι παραμορφώσεις είναι  $10E-2$  ως  $10E-4\%$  -, περιστροφικά ή κατακόρυφα. σε διάφορες συχνότητες μέχρι να επέλθει συντονισμός ( στη κύρια ή σε κάποια αρμονική ). Η συσκευή αυτή μπορεί να επιβάλει στο δείγμα πλευρική πίεση και ανάστροφη πίεση.

Μπορούμε να υπολογίσουμε τις κύριες συχνότητες συντονισμού του εδαφικού δοκιμίου που εξετάζουμε. Ετσι κατά τη περιστροφή  $ft$  ή κατά τη κατακόρυφη δόνιση  $fv$ .

- Αυτές είναι οι θεμελιώδη συχνότητες συντονισμού -.

Και έτσι το μέτρο διάτυπης  $Go$  [MN/MM2]

$Go = 1.59 \times 10^{-8} * ft [Hz] ^2 * h [mm]^2 * \rho [Mg/M3]$ .

Το μέτρο ελαστικότητας  $Eo$  [MN/MM2]

$Eo = 1.59 \times 10^{-8} * fv [Hz] ^2 * h [mm]^2 * \rho [Mg/M3]$ .

το  $h$  είναι το ύψος του δοκιμίου.

το  $\rho$  είναι η φαινόμενη μάζα του δοκιμίου. Παράδειγμα πυκνή άμμος  $\rho = 2.00 [Mg/M3]$ .

Ιλιωδες έδαφος  $\rho = 1.75 [Mg/M3]$ .

Μαλακή άργιλος  $\rho = 1.75 [Mg/M3]$ .

Σκληρή άργιλος  $\rho = 2.07 [Mg/M3]$ .

Ακόμα τη πίεση των πόρων που υπάρχει στό δοκίμιο. Το λόγο του Poisson  $v$  από το τύπο  $Eo = Go * 2 * (v + 1)$  τη ταχύτητα των διατυπητικών κυμάτων από τις σχέσεις:

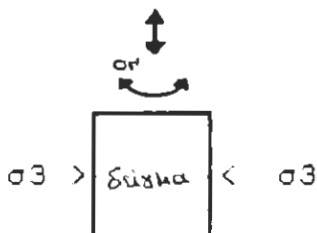
$Go = \rho * vs^2$  ή  $vs = ft * 4 * h$

Καθώς και τούς λόγους εσωτερικής απόσβεσης (damping ratio  $\lambda$ ),  $\lambda = ln(x(i) / x(i+1))$  (όπου  $x(i)$  και  $x(i+1)$  τα δύο πλάτη της ταλάντωσης που απέχουν μία περίοδο). Το χρονικό διάστημα της κατά το οποίο μία ταλάντωση (φθίνουσα) ελαττώνεται στο  $1 / \lambda$  του αρχικού πλάτους της ονομάζεται σταθερά χρόνου ή χρόνος αποκατάστασης και ισούται με  $\tau = 2 * m / b$ , το  $b$  είναι σταθερά απόσβεσης το  $m$  η μάζα.

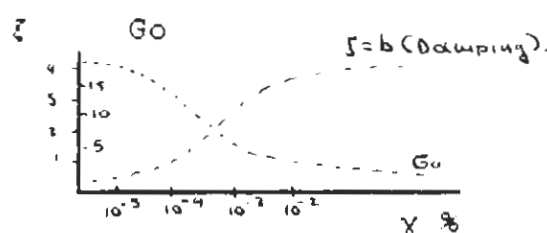
Οι k. Terzaghi and R.B. Peck, αναφέρουν ότι όσο πιο μεγάλους κόκκους έχει ένα υλικό τόσο η συχνότητα συντονισμού του αυξάνει:

Υλικό	συχνότητα συντονισμού
Μέτρια πυκνή άμμος	24 Hz
Ασβετικός μαλακός	30 Hz
Ψαμμίτης	34 Hz

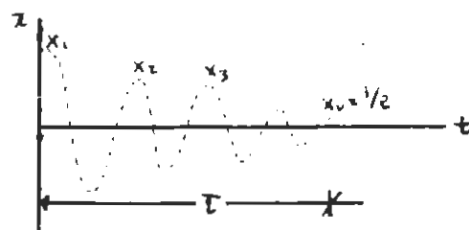
Κρίσιμη περιοχή συντονισμού είναι αυτή που εκτείνεται από  $1/2$  ως  $3/2$  της συχνότητας συντονισμού.



(σx21)



(σx22)



(σx23)

ΕΠΙ ΤΟΠΟΥ ΔΟΚΙΜΕΣ

A.) ΔΟΚΙΜΗ ΔΙΕΙΣΔΥΣΗΣ Σ.Ρ.Τ.

Ο σκοπός της δοκιμής είναι ο προσδιορισμός της αντίστασης του εδάφους στη διεύσδυση ενός πρότυπου δειγματολήπτη που λαμβάνει διαταραχμένα δείγματα για σκοπούς κατάταξης. Η δοκιμή παρέχει τη δυνατότητα της συσχέτισης των αποτελεσμάτων της με εδαφοτεχνικές παραμέτρους (σελ. 21). Μια δοκιμή / 3 μέτρα το πολύ.

ΠΟΡΕΙΑ ΔΟΚΙΜΗΣ

1.) Καθαρίζεται η γεώτρηση μέχρι τη στάθμη που θα γίνει η δοκιμή. Η στάθμη του νερού να διατηρείται σταθερή. Ο σωλήνας επένδυσης να μη προωθείται κάτω από τη στάθμη στην οποία θα αρχίσει η δοκιμή. Η διατομή της γεώτρησης να είναι το πολύ 20 cm.

2.) Ο δειγματολήπτης προσαρμόζεται στά στελέχη και κατεβάζεται στο πυθμένα της γεώτρησης.

Τα στελέχη να είναι για γεώτρηση μέχρι βάθος 15 μέτρα, τύπου AX D in = 34.1 mm

D out = 43.7 mm

Bάρος = 6.0 kg / m.

Για βάθος μεγαλύτερο από 15 μέτρα τα στελέχη να είναι τύπου BW D IN = 44.4 mm

d out = 54.0 mm

Bάρος = 8.0 kg / m.

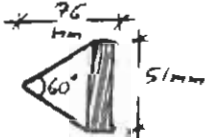
3.) Η διεύσδυση γίνεται με κρούσεις. Το βάρος της σφύρας είναι 63.5 kg και το υψος πτώσης .76 μ.

4.) Στην αρχή γίνεται μια διεύσδυση 15 cm ο αριθμός των κτύπων καταγράφεται μόνο εάν απαιτούνται πάνω από 50 κτύποι.

5.) Συνεχίζουμε τη διεύσδυση για 30 cm και καταγράφουμε τους κτύπους.

Σημ : Εάν έχουμε συμπαγή κώνο (σχ24) αντί δειγματολήπτη υπάρχει η αντιστοιχία:  
100 κρούσεις του κώνου = 50 τού δειγματολήπτη.

Σημ : Ο κώνος είναι για χαλικώδη εδάφη. Η δοκιμή αυτή δε δίνει πολύ αξιόπιστα αποτελέσματα σε συνεκτικά εδάφη.



(σχ 24 )

Εάν η δοκιμή γίνεται κάτω από τον υδροφόρο ορίζοντα  
 τότε  $N = 15 + .5 * ( N_1 - 15 )$   
 όπου  $N_1 = \text{Αριθμός κτύπων, από τη δοκιμή.}$   
 $N = \text{Πραγματικοί κτύποι.}$

Εάν έχουμε άλλη συσκευή η αναγωγή των αποτελεσμάτων αυτής στη πρότυπη γίνεται ως εξεις

$$N = \frac{.07 * N_1 * E}{D_{out}^2 * D_{in}^2}$$

όπου  $D = \text{Οι διαστάσεις τού δειγματολήπτη.}$   
 $E = \text{Η ενέργεια, Βάρος πτώσης * ύψος πτώσης.}$   
 $(b * h)$

Αναγωγή των αποτελεσμάτων τής δοκιμής S.P.T. σε αντίσταση αιχμής στατικού πενετομέτρου C.P.T.

$$R_d = 4 * N \quad [\text{Kg/cm}^2]$$

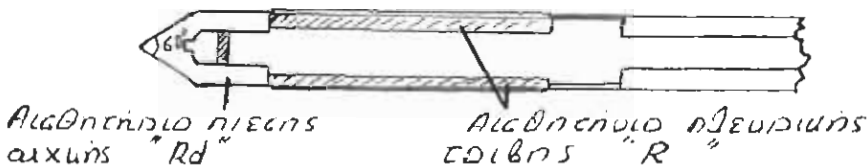
Σημ: Τρόπος υπολογισμού τής αντίστασης αιχμής με κωνική συσκευή διείσδυσης.

$$R_d = \frac{b^2 * h}{F * S * (b + G')} \quad [\text{kg/cm}^2]$$

όπου  $b = \text{Το βάρος πτώσης [kg].}$   
 $h = \text{Το ύψος πτώσης [cm].}$   
 $F = \text{Η διατομή τής βάσης τής κωνικής αιχμής σε [cm}^2].$   
 $S = \text{Η μετρούμενη βύθιση για μια πτώση κριού σε [cm].}$   
 $G' = \text{Το βάρος των στελεχών τής στήλης και τής αιχμής σε [kg].}$

### B.) ΔΟΚΙΜΗ ΣΤΑΤΙΚΟΥ ΠΕΝΕΤΡΟΜΕΤΡΟΥ

Στατικοί μέθοδοι επινοήθηκαν στη Σουηδία (1917), Δανία (1922) και Ολλανδία (1936). Αποτελείται από ένα κώνο με γωνία κορυφής 60 μοίρες και διάμετρο βάσης 35mm. Συνίσταται στη προώθηση μέσα στο έδαφος με συνεχή υδραυλική πίεση με ταχύτητα 2 cm/sec ενώς κώνου προσαρμοσμένου στο (σχ25) κατώτερο άκρο μιάς σειράς από στελέχη.



Μετράται η αντίσταση διεύσδυσης τού κώνου ή αντίσταση τριβής σε ένα μανδύα που είναι πιο πάνω από το κώνο - που ολισθένει ελεύθερα πάνω στα εσωτερικά στελέχη - η πίεση τού νερού των πόρων και το βάθος στο οποίο γίνονται οι μετρίσεις. Άκομα παίρνουμε πληροφορίες που αναφέρονται :

- \* Στην εδαφική στρωματογραφία
- \* Στην ομοιογένεια των σχηματισμών
- \* Στο πιθανό χαρακτηρισμό τού εδάφους
- \* Στην επισήμανση τού ανθεκτικού υποβάθρου

Ο Begemann έκανε τις ακόλουθες εκτιμήσεις, μεταξύ αντοχής κώνου Rd και τριβής πλευρικής fs.

$$Rf = 100 * fs/Rd$$

ακόλουθούν οι τιμές τού Rf:

Αργιλός	Rf > 3	%	Αμμοί αργιλώδεις	< .5	- 8 %
Ιλύς	1 - 7	%	Ιλιώδη αμμοχά/κα	< 2	%
Αμμός	< 2.5	%	Αργιλώδη -//-	< 5	%



(σχ 25)

Υπάρχει και το Pocket Penetrometer (SOILTEST in USA) με το οποίο μπορούμε γρήγορα και οικονομικά να συσχετίσουμε τα αποτελέσματά του με διάφορες παραμέτρους. Το μειονέκτημα του είναι ότι δε δίνει αξιόπιστα αποτελέσματα μιά και έχει μικρή επιρροή στό έδαφος - γύρω στούς δύο πόντους - και έτσι λαμβάνουμε μόνο τις παραμέτρους που αντιστοιχούν στην επιφάνεια του εδάφους πράγμα που μπορεί να οδηγήσει σε ολέθρια αποτελέσματα.

#### Γ.) ΕΠΙ ΤΟΠΟΥ ΠΡΟΣΔΙΟΡΙΣΜΟΣ ΤΩΝ ΤΑΧΥΤΗΤΩΝ ΚΥΜΑΤΩΝ ΧΩΡΟΥ

Κύματα χώρου ονομάζονται αυτά που προκαλούν διατμητικές (shear) και συμπιεστικές (longitudinal) παραμορφώσεις. Για τη διεζαγωγή τής δοκιμής απαιτήται η διάνοιξη δύο κατακόρυφων και παράλληλων γεωτρήσεων σε απόσταση x (περίπου 5 μέτρα) η μία από την άλλη. Η μία γεωτρηση, κατά τη διάνοιξή της με S.P.T., προκαλεί την διάδοση κυμάτων χώρου τα οποία λαμβάνουν τα γεώφωνα που βρίσκονται στην άλλη που έχει διανοικτή. Τα γεώφωνα τοποθετούνται στο ίδιο βάθος με αυτό που δημιουργείται η

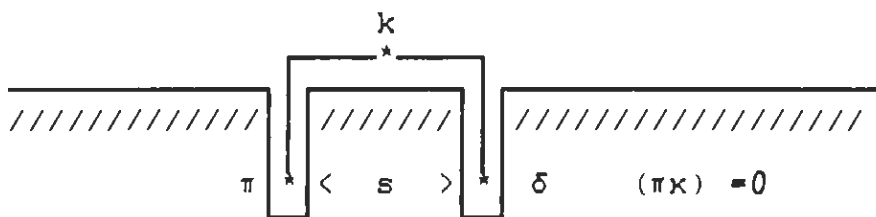
διέγερση. Αυτή η δοκιμή ονομάζεται cross - hole ( D4428 M-84, ASTM 1988 ) (σχ26).

Με κατάλληλο συγχρονισμό μεταξύ εκπομπής και ληψης βρίσκουμε το χρόνο διαδρομής για κάθε κύμα αλλά και τη ταχύτητα  $v_s = x/t_s$ ,  $v_p = x/t_p$  διατυπώντας "s" και συμπίεσης "p" κυμάτων. Από τους χρόνους αφαιρούμε το χρόνο υστέρησης του μεταλλικού καλωδίου.

### ΥΠΟΛΟΓΙΣΜΟΙ

$$\begin{aligned} \text{Δυναμικό μέτρο διάτυπης} & G_o = \rho * v_s ^ 2 \\ \text{Δυναμικό μέτρο ελαστικότητας} & E_o = G_o * 2 * (v + 1) \\ \text{Λόγος του Poisson} & \end{aligned}$$

$$v = \frac{v_p ^ 2 - 2 * v_s ^ 2}{2 * (v_p ^ 2 - v_s ^ 2)}$$



(σχ 26)

Η διάταξη της δοκιμής cross-hole,  $\pi$  = εκπομπή κυμάτων  
 $\delta$  = γεώφωνα.  
 $k$  = κέντρο λήψης.

### ΠΑΡΑΔΕΙΓΜΑ

Η δοκιμή Cross Hole έδωσε τα εξεις αποτελέσματα.

Απόσταση μεταξύ των γεωτρήσεων  $s = 4.05 \text{ m}$

Χρόνος μεταξύ εκπομπής - λήψης κυμάτων διάτυπης .

$t_s = 20.00 \text{ msec}$  .

Χρόνος μεταξύ εκπομπής - λήψης κυμάτων συμπίεσης .

$t_p = 3.40 \text{ msec}$  .

Φαινόμενο ειδικό βάρος του εδαφικού υλικού

$\gamma \varphi = 20.00 \text{ kN/m}^3$ .

Βάθος δοκιμής  $Z = 2.00 \text{ m}$  .

Χρόνος υστέρησης για αυτό το Βάθος (είναι το ίδιο και για τα "p" και για τα "s" κύματα).

$\delta t = 0.60 \text{ msec}$  .

### ΛΥΣΗ

$$\begin{aligned} \text{Πραγματικός χρόνος διατυπητικών κυμάτων} \\ t_s' = (t_s - \delta t) / 1000 = (20 - 0.6) / 1000 = .0194 \text{ sec.} \end{aligned}$$

$$\begin{aligned} \text{Πραγματικός χρόνος κυμάτων συμπίεσης} \\ t_p' = (t_p - \delta t) / 1000 = (3.4 - 0.6) / 1000 = .0028 \text{ sec.} \end{aligned}$$

Ταχύτητα διατυπωτικών

$$vs = S / ts' = 4.05 / .0194 = 208.76 \text{ m/sec.}$$

Ταχύτητα συμπίεσης κυμάτων

$$vp = S / tp' = 4.05 / .0028 = 1446.43 \text{ m/sec.}$$

Μέτρο διάτυπης

$$Go = vs^2 * \gamma \varphi / g = 208.76^2 * 20 / 9.81 = 88849.62 \text{ KN/M}^2 = 88.85 \text{ MPa} = 888.50 \text{ Kg/cm}^2$$

(vs = m/sec,  $\gamma \varphi$  = KN/M<sup>3</sup>, g = 9.81 m/sec<sup>2</sup>, Go = KN/M<sup>2</sup>)

Λόγος τού Poisson

$$\nu = \frac{vp^2 - 2 * vs^2}{2 * (vp^2 - vs^2)} = .49$$

Μέτρο ελαστικότητας

$$Eo = Go * 2 * (\nu + 1) = 88.85 \text{ [MPa]} * 2 (0.49 + 1)$$

$$Eo = 264.77 \text{ MPa.}$$

Με τη γνώση της ταχύτητας των κυμάτων διάτυπης και τού πάχους τού κάθε στρώματος μέχρι το σταθερό υπόβαθρο - για μια εδαφική τομή - μπορύμε να υπολογίσουμε την ιδιοπερίοδο τού εδάφους [9], [17].

$$Tn = 4 * H / (2 * n - 1) * vs \quad [\text{sec}]$$

όπου  $Tn$  = Η ιδιοπερίοδοι τού εδάφους ( $n = 1, 2, 3, \dots$ )  
-πρώτη, δεύτερη ... η, αρμονική - [sec].

$H$  = Το συνολικό βάθος τού εδάφους πάνω από το σταθερό υπόβαθρο [m].

$vs$  = Οταν το έδαφος μέχρι το υπόβαθρο αποτελείται από  $v$  στρώματα πάχους  $H(i)$ , αυτό ισούται με:  
 $vs = \sum vs(i) (i=1 \text{ to } v) * H(i) / H.$

Το σταθερό υπόβαθρο (bedrock) μπορεί να οριστεί το στρώμα που επεκτείνεται σε πάχος μεγαλύτερο από 6 μέτρα και έχει ταχύτητα διατυπωτικών κυμάτων (low strain)  $vs > 760 \text{ m/sec}$  [9].

Ταχύτητες διατυπωτικών κυμάτων σε μερικά εδαφικά υλικά [6].

Υλικό	vs [m/sec]
χαλαρή άμμος	< 150
πυκνή πολύ, άμμος	450
άργιλος σκληρή	450
-/- μέση	250
-/- μαλακή	150
αποσαθ.	1000
Βράχος υγιής	> 1500

## Ευρκατικός ηλεκτρικός δοκιμών

Cutter Robertson test in situ test 2

A = ωντην ανατικατανομένη

B = λεπτή (moderate operability)

C = διάδικτη (limited)

- = κανία (not)

- 48 -

	Q	Φ	G	D	E	C	C	K	G	K	Q*
Electromic Friction			CPT	B	A	-	B	C	C	-	C
electronic piezo friction (mesururos) CPTU	A	A	A	B	B	C	C	A	B	C	-
electronic seismic-piezo-friction SCPTU	A	A	A	B	B	C	C	A	B	B	-
flat plate dilatometer Marchetti DMT	B	A	C	B	B	C	B	B	B	B	C
field vane shear (συγχύνσης περιονία) VST	C	C	-	A	-	-	-	C	B	-	-
standard penetration test SPT	A	B	-	B	C	B	-	-	B	-	C
(ηειρηπονιος αριθμος ειρηγησης)											
electromic conductivity probe	A	B	-	C	C	A	B	-	B	C	C
creep on the vane	-	-	-	-	-	-	-	-	-	-	-
total self stress	-	-	-	-	-	-	-	-	-	-	-
backfill stress	-	-	-	-	-	-	-	-	-	-	-
sheared blade Ko	-	-	-	-	-	-	-	-	-	-	-
screw plane (κυρτής αδεια)	C	C	-	C	B	B	B	C	A	C	B
borehole permeability (λεπτοπεριφέρεια)	C	-	A	-	-	-	B	A	-	-	A
prepared pressuremeter (πρεσβιμετρη) PMT	B	B	-	C	B	C	C	-	A	C	C
push-in pressuremeter (πρεσβιμετρη) PPMT	A	B	B	C	C	A	B	A	C	B	B
full-displacement pressuremeter (πρεσβιμετρη) FDMT	C	B	B	C	C	A	B	A	C	C	C
self-Boring pressuremeter (πρεσβιμετρη) SBCM	B	B	A	B	B	A	B	A	A	B	B
Ko meter	B	B	-	-	-	-	-	A	A	-	-
lateral penetrometer (συγχύνση αλκυων)	B	B	-	B	B	-	-	B	C	C	-
Shear vane (συγχύνση διάστοκα)	B	B	-	A	-	-	-	C	B	-	-
Plane test (διάδικτη στιγμια)	B	B	-	C	B	B	C	A	B	A	B
Creep hole test	C	C	-	-	-	-	-	A	-	-	A
Nuclear probes (συγχύνση στρατια)	-	-	B	-	A	-	-	A	A	A	A
plane load test (διάδικτη στρατια)	C	C	-	C	B	B	C	A	C	B	B
Mechanical static cone (κυρτής κανιβαλιος)	B	A	-	B	C	B	C	C	-	C	-
	A	A	A	A	A	A	A	A	A	A	A

\*OCR = ταχηνη αποτελεσματικης στην υποδοχη στην οποιαντελεγχοντας.

ΕΔΑΦΟΤΕΧΝΙΚΗ ΜΕΛΕΤΗ

ΓΥΜΝΑΣΙΟ ΜΕΣΣΗΝΗΣ

— 5 —

**ΓΕΩΤΕΧΝΙΚΗ ΜΕΛΕΤΗ - ΠΑΡΟΥΣΙΑΣΗ - ΑΞΙΟΛΟΓΗΣΗ -  
ΓΝΩΜΑΤΕΥΣΗ**

( Me Bám to Eurocode Ec - 7 "Geotechnics design")

Генка

Η παρούσα εκθεση παρουσιάζεται και αξιολογεί τα αποτελέσματα της έρευνας του εδάφους στη περιοχή της Μεσσήνης έτου πρόκειται να κατασκευαστεί ένα σχολικό κτίριο.

### Recurzadon epxou

Το μελετούμενό έργο θα έχει ψηφεία από σπλισμένο σκυρόδεμα και θα αποτελεί ένα μικτό σύστημα με τοιχώματα και υποστυλώματα. Το ολό έργο πρόκειται να περιλαμβάνει έναν υπόγειο χώρο για βοηθητική χρήση, υπόγειο και έναν άροφο. Η επιφάνεια που θα καλύπτει είναι τση με ( $25 * 15 = 375 \mu^2$ ) και ίδια για κάθε άροφο. Το βαθός έδρασης είναι γύρω στα τεσσερα μέτρα. Τα φορτία που φέρουν στη θεμελίωση τα κατακόρυφα στοιχεία είναι μεταξύ 136 και 18 τη. Ο υπολογισμός των φορτίων έγινε με τις εξεις παραδοχές :

2.5	$\text{tn/m}^3$	Ειδικό βάρος σκυροδέματος
0.2	$\text{tn/m}^2$	Φορτίο επικαλυψης
0.35	$\text{tn/m}^2$	Ωφέλιμο φορτίο στις αιθουσες
0.50	$\text{tn/m}^2$	Ωφέλιμο φορτίο σε διαδρόμους
0.50	$\text{tn/m}^2$	Ωφέλιμο φορτίο σε σκάλες

καὶ τὸ συνδιασμός δρᾶσεων Ψο \* 6 + Ψι \* 8

## O akotos tñs epeuvias

Η έρευνα του υπεδάφους έχει σα σκοπό την εξαγωγή παραμετρών χία τον επιτυχή υπολογισμό διάφορων τυπων θεμελίωσης και συμπεράσματα πάνω στην μακροχρόνια και βραχυχρόνια συμπεριφορά του έργου κάτω από την επίδραση στατικών και κυκλικών φορτίων. Ακόμα δίνει αδηγίες χία τη θέση και το τρόπο που θα γίνει το τεχνικό αυτό έργο.

Αναθεση της έρευνας.

Η εντολή αναθεσης της γεωτεχνικης έρευνας είχε δωθει στο Εργαστήριο Δημοσίων Έργων το οποίο εκτέλεσε την έρευνα με βάση τα στοιχεία της προμελέτης του έργου που η νομαρχία είχε συντάξει.

Η παρουσίαση της έρευνας.

Η έρευνα του εδάφους έγινε με την εκτέλεση τριών γεωτρόπεων βάθους 23 ή πρώτη, 28.3 ή δεύτερη και 24.3 μέτρα ή τρίτη. Με τη βοήθεια δειγματοληπτικού γεωτρυπάνου Crealius D 750 φερούμενο σε φορτηγό. Κατα την εκτέλεση έχιναν υπολογικά, 43, δοκιμές τυπεποιημένης διεισδύσης SFT με βάση τη προδιαγραφή, Ε 106 - 64. Οι δοκιμές αυτές έγιναν με διατρέπο δειγματοληπτη εξωτερικής διαμέτρου 5.08 cm και εσωτερικής 3.49 cm. Οι κρούσεις στο στέλεχος που κρατά το δειγματοληπτη έγινε με φορτίο κυλινδρικού σχήματος βάθους 63.5 kg που ελευθερά επεφτε από κατακόρυφη απόσταση 76 cm με δύο τυλίγματα του σχοινιού στο βαρούλκο (USA, τύπος αφύρας Safety). Τα ημιδιαταραγμένα δείγματα παρθηκαν κατά τη δοκιμή SFT.

**ΤΙΝΑΚΑΣ ΔΟΚΙΜΩΝ - ΔΕΙΓΜΑΤΩΝ**

Γεώτροπος Γ1

Ημιδιαταραγμένα δείγματα τέσσερα, από αυτά έγιναν τέσσερεις κοκκομετρικές και Atterberg. Ενα αδιατάρακτο τυπου Shelby με το οποίο έγινε μία κοκκομετρική και Atterberg και μία ανεμπόδιστη θλίψη.

Γεώτροπος Γ2

Επτα ημιδιαταραγμένα, που με αυτά έγιναν επτά κοκκομετρικές και Atterberg. Τέσσερα αδιατάρακτα Shelby που έδωσαν υλικό για τρεις κοκκομετρικές και Atterberg αλλά και τέσσερεις ανεμπόδιστες με ισαριθμες στερεοποιήσεις.

Γεώτροπος Γ3

Επτά ημιδιαταραγμένα, με τα οποία έγιναν επτά κοκκομετρισεις και επτά Atterberg. Και τρεια αδιατάρακτα στα οποία έγιναν τρεις κοκκομετρήσεις και Atterberg αλλά και τρεις τοιλαζονικές (UU) και δύο στερεοποιήσεις.

Τα πυιδιαταράχμενα που πάρθηκαν κατά τη δοκιμή SPT ή κατά τη περιστροφική προχώρηση δειγματολήπτη τοποθετηθηκαν κατά γεώτροπον και βάθος μέσα σε κιβώτια (ψωτ 5,6) και σταλθηκαν στο εργαστήριο. Στα δειγματα που θέλαμε να κάνουμε δοκιμές ανεμπόδιστης θλίψης αλλά και υγρασίας τα παραφινώσαμε. Ακόμα σε αυτά τα κιβώτια αλλά μαζί με το πλαστικό πουκάμισό τους και παραφινώμενα στίς άκρες τους τοποθετήσαμε και τα αδιατάρακτα δειγματα Shelby. Στό εργαστήριο έγινε περιγραφή της τουμής του εδάφους με βάση τα υλικά που είχε το κάθε κιβώτιο και ακολούθησαν οι εργαστηριακές δοκιμές. Στίς σελίδες 54 ως 113,

υπάρχουν αναλυτικά οι εργαστηριακές δοκιμές για κάθε γεώτροπον, ακολουθεί η τουμή της καθε μίας και στη συνέχεια η εξαγωγή διαφόρων παραμέτρων και ο προσδιορισμός των όμοιων στρωμάτων για τη κατασκευή μίας κατά μήκους τουμής (σελ 126).



(φωτ 5)

ΕΡΓΑΣΤΗΡΙΑΚΩΝ ΔΟΚΙΜΩΝ ΑΠΟΤΕΛΕΣΜΑΤΑ

O.T. 91

8

4

10

47.65

$\Sigma_A (8\mu)$

$\Sigma_B (+\mu)$

O.T. 219

XWPOS

Fluvación

3.377.35 m<sup>2</sup>

4.22

$R_1 (8\mu)$

$R_3 (6\mu)$

$\Sigma_r (6\mu)$

$R_2 (6.3)$

49.10

9

O.T. 223

XWPOS  
EXOGENOU



KASZAV  
ANXIDOS



AKKOS  
AOERDEZAWASH  
KASZAV

ATTERBERG LIMITS - PARTICLE SIZE DISTRIBUTION  
(Όρια του Atterberg και κοκκομετρική ανάλυση)

PROJECT.....ΓΥΜΝΑΣΙΟ...ΜΕΣΣΗΝΗΣ.....  
BORING .....G1.....DEPTH...5.5-6.1.....DATE.....

		liquid	plastic		
A EDUCATOR NUMBER (νούμ. υποδοχέα)	: 100		20	21	
B TOTAL RAP 15-35 (Σύνολο κτύπων)	: 23				
C WEIGHT WET SAMPLE AND EDUC (Βάρος υγρού δειγ. και υποδο.)	gr : 22.26		11.57	11.99	
D WEIGHT DRY SAMPLE AND EDUC (Βάρος ξηρού δειγ. και υποδο.)	gr : 19.24		11.31	11.69	
E WATER WEIGHT (Βάρος νερού)	(E=C-D) gr : 3.02		0.26	0.30	
F EDUCATOR WEIGHT (Υποδοχέα βάρος)	gr : 14.49		10.00	10.20	
G WEIGHT OF DRY SAMPLE (G=D-F) gr : 4.75 (Βάρος ξηρού δειγμάτων)			1.31	1.49	
H MOISTURE (Υγρασία)	(W=E*100/G) % : 63.58		19.85	20.13	
I LIQUID LIMIT (WL=H*(B/25)^.121): 63 (Όριο υδαρότητας)		PLASTIC L. WP:	20		
		(Όριο πλαστ.)			

PLASTIC INDEX (Ip=Wp-WL) : 43 ΠΟΛΥ ΠΛΑΣΤΙΚΟ

(Δεικτής πλαστ.)

DIAMET. mm	SIEVE κόσκινο	CONTROL. συγραταύμενο gr	PASS διερεχόμενο gr	%
9.52	3/8"			
4.75	No 4			
2.00	No 10	-	-	
0.425	No 40	10		
0.074	No.200	5		
			490	98
			485	97

CLASSIFICATION OF SOILS (After A.U.S.C.S.): CH  
(Ταξινόμηση) ANORGANIC CLAY

UNCONFINED COMPRESSION

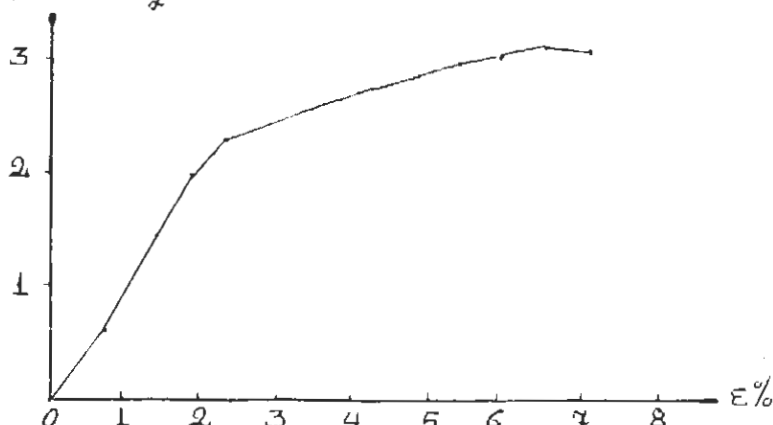
(Ανευτόνοστη θλίψη)

PROJECT ... Γύρνασιο Μεσογείου .....  
BORING ..... G1 ..... DEPTH .. 5.5-6.0 ..... DATE.....  
DESCRIPTION ... Αυμέδη αρχικής καστανής σε λίγα λεπτά γαλήνια.....

DIAMETER cm :	8.700	SPESIFIC GRAVITY tn/cm <sup>2</sup> :	2.800
(Διάμετρος D )		(Ειδικό βάρος Gs)	
AREA cm <sup>2</sup> :	59.420	APPARENT WEIGHT tn/cm <sup>2</sup> :	1.977
(Επιφάνεια A)		(Φαινούμενο βάρος ψφ.)	
HEIGHT cm :	17.070	DRY WEIGHT tn/cm <sup>2</sup> :	1.601
(Υψος)		(Σηρό φαίν. βάρος ψd)	
COEFFICIENT C :	0.885	MOISTURE % :	29.500
O- RING		W <sub>o</sub> :	.750
VOID RATIO e <sub>o</sub> :			

YIELD di mm.	$\epsilon\%$ $(di/l) * 100$	READING O- RING	STRESS READING * C / AREA (C) kg/cm <sup>2</sup>
1	.586	35	.518
2	1.172	96	1.410
3	1.757	134	1.960
4	2.343	154	2.240
5	2.929	170	2.457
6	3.515	181	2.600
7	4.101	191	2.727
8	4.687	200	2.838
9	5.272	207	2.919
10	5.858	213	2.985
11	6.444	215	2.995
12	7.030	216	2.990

STRESS kg/cm<sup>2</sup>



qc = 3.00 kg/cm<sup>2</sup>

ΠΟΔΥ ΖΤΙΦΡΗ

E = 60.60 KG/CM<sup>2</sup>

## ATTERBERG LIMITS - PARTICLE SIZE DISTRIBUTION (Όρια του Atterberg και κοκκομετρική ανάλυση)

PROJECT..... ΓΥΜΝΑΣΙΟ ΜΕΣΣΗΝΗΣ.....  
BORING..... G1..... DEPTH.... 7.0-7.6..... DATE.....

## liquid plastic

A EDUCATOR NUMBER  
(νούμ. υποδοχέα)

B TOTAL RAP 15-35  
(Σύνολο κτύπων)

C WEIGHT WET SAMPLE AND EDUC gr :  
(Βάρος υγρού δειχ. και ωτοβο.)

D WEIGHT DRY SAMPLE AND EDUC gr :  
(Βάρος ξηρού δειγματος και υπεδο.)

E WATER WEIGHT (E-C-D) gr :  
(Báros veprő)

F EDUCATOR WEIGHT  
(Υποδοχέα Βάρος) gr :

G WEIGHT OF DRY SAMPLE (G=D-F) gr :  
(Βάρος ξηρού δείγματος)

H MOISTURE (W-E\*100/G) % :

I LIQUID LIMIT (WL=H\*(B/25)^1.121): PLASTIC L. WP:  
(Όρος υδρότητας) (Όρος πλαστ.)

PLASTIC INDEX (Ip=Wp-WL) :  
 (Δεικτης πλαστ.) N.P.

DIAMET. mm	SIEVE κόσκινο	CONTROL συγραπτούμενο gr	PASS διερχόμενο gr	%
9.52	3/8"	-	500	100
4.75	No 4	10	490	98
2.00	No 10	25	465	93
0.425	No 40	170	295	59
0.074	No 200	65	230	46

## CLASSIFICATION OF SOILS (After A.U.S.C.S.): (Taft Youngen)

ATTERBERG LIMITS - PARTICLE SIZE DISTRIBUTION  
(Όρια του Atterberg και κοκκομετρική ανάλυση)

PROJECT.....ΓΥΜΝΑΣΙΟ...ΜΕΣΣΗΝΗΣ.....  
BORING .....G1.....DEPTH...11.0-11.6.....DATE.....

liquid plastic

A EDUCATOR NUMBER (νούμ. υπόδοχεα)	:	
B TOTAL RAP 15-35 (Σύνολο κτύπων)	:	
C WEIGHT WET SAMPLE AND EDUC gr : (Βάρος υγρού δειγ. και υπόδο.)		
D WEIGHT DRY SAMPLE AND EDUC gr : (Βάρος ξηρού δειγ. και υπόδο.)		
E WATER WEIGHT (E=C-D) gr : (Βάρος νερού)		
F EDUCATOR WEIGHT gr : (Υπόδοχεα βάρος)		
G WEIGHT OF DRY SAMPLE (G=D-F) gr : (Βάρος ξηρού δειγμάτος)		
H MOISTURE (W=E*100/G) % : (Υγρασία)		
I LIQUID LIMIT (WL=H*(8/25)+.121) : (Όριο υδαρότητας)		PLASTIC L. WP; (Όριο πλαστ.)

PLASTIC INDEX (Ip=WP-WL) :  
(Δεικτική πλαστ.) N.P.

DIAMET. mm	SIEVE κόσκινο	CONTROL συγγρατούμενο gr	PASS διερχόμενο gr	%
9.52	3/8"			
4.75	No 4	-	500	100
2.00	No 10	5	495	99
0.425	No 40	0	495	99
0.074	No200	270	225	45

CLASSIFICATION OF SOILS (After A.U.S.C.S.):  
(Ταξινόμηση)  
SM  
SILTY SAND

ATTERBERG LIMITS - PARTICLE SIZE DISTRIBUTION  
(Ορια του Atterberg και κοκκομετρική ανάλυση)

PROJECT..... ΓΥΜΝΑΣΙΟ... ΜΕΣΣΗΝΗΣ.....  
BORING ..... G1..... DEPTH.... 17.0-17.6..... DATE.....

		liquid	plastic		
A	EDUCATOR NUMBER (νούμ. υποδοχέα)	: 0.3	30	11	
B	TOTAL RAP 15-35 (Σύνολο κτύπων)	: 25			
C	WEIGHT WET SAMPLE AND EDUC gr : (Βάρος υγρού δειγ. και υποδο.)	24.60	13.77	13.50	
D	WEIGHT DRY SAMPLE AND EDUC gr : (Βάρος ξηρού δειγ. και υποδο.)	21.35	13.28	13.00	
E	WATER WEIGHT (Βάρος νερού)	(E=C-D) gr : 3.25	0.49	0.50	
F	EDUCATOR WEIGHT (Υποδοχέα βάρος)	gr : 11.50	10.65	10.22	
G	WEIGHT OF DRY SAMPLE (G=D-F) gr : (Βάρος ξηρού δειγμάτος)	9.85	2.63	2.78	
H	MOISTURE (Υγρασία)	(W=E*100/G) % : 33.00	18.63	17.99	
I	LIQUID LIMIT (WL=H*(B/25)^.121): (Οριο υδαρότητας)	33	PLASTIC L. WP; (Οριο πλαστ.)	18	

PLASTIC INDEX (Ip=Wp-WL) : 15 ΛΙΓΟ ΠΛΑΣΤΙΚΟ  
(Δεικτης πλαστ.)

DIAMET. mm	SIEVE ΚΟΚΚΙΝΟ	CONTROL συγκρατούμενο gr	PASS διερεύσαντο gr	%
9.52	3/8"			
4.75	No 4			
2.00	No 10			
0.425	No 40	0	500	100
0.074	No 200	20	480	96
CLASSIFICATION OF SOILS (After A.U.S.C.S.): (Ταξινόμηση)			CL 2a	SILTY GLAY

ATTERBERG LIMITS - PARTICLE SIZE DISTRIBUTION  
(Ορια του Atterberg και κοκκομετρική ανάλυση)

PROJECT.....ΓΥΜΝΑΣΙΟ...ΜΕΣΣΗΝΗΣ.....  
BORING .....G1.....DEPTH....18.9-19.5....DATE.....

		liquid	plastic
A EDUCATOR NUMBER (νούμ. υποδοχέα)			
B TOTAL RAP 15-35 (Σύνολο κτύπων)			
C WEIGHT WET SAMPLE AND EDUC gr : (Βάρος υγρού δειγ. και υποδ.)			
D WEIGHT DRY SAMPLE AND EDUC gr : (Βάρος ξηρού δειγ. και υποδ.)			
E WATER WEIGHT (E=C-D) gr : (Βάρος νερού)			
F EDUCATOR WEIGHT (Υποδοχέα Βάρος)		gr :	
G WEIGHT OF DRY SAMPLE (G=D-F) gr : (Βάρος ξηρού δειγματος)			
H MOISTURE (W=E*100/G) % : (Υγρασία)			
I LIQUID LIMIT (WL=H*(B/25)^.121) : (Οριό υδαρότητας)		PLASTIC L. WP: (Οριό πλαστ.)	

PLASTIC INDEX (Ip=Wp-WL) : N.P.  
(Δείκτης πλαστ.)

DIAMET. mm	SIEVE κόσκινο	CONTROL συγχρούμενο gr	PASS διερχόμενο gr	%
9.52	3/8"			
4.75	No 4			
2.00	No 10			
0.425	No 40	-	500	100
0.074	No 200	15	485	97

CLASSIFICATION OF SOILS (After A.U.S.C.S.): ML  
(Ταξινόμηση) SILTY

ΣΥΓΚΕΝΤΡΩΤΙΚΑ ΑΠΟΤΕΛΕΣΜΑΤΑ ΔΟΚΙΜΩΝ

ΕΡΓΟ: 51  
ΓΥΜΝΑΣΙΟ ΝΙΣΣΕΙΝΗΣ  
ΓΕΩΤΡΗΣΗ:

ΗΜΕΡΟΜΗΝΙΑ:  
*May*

Δικτυακός ορός της δούλης  
σε παραδοσιακό  
(disturbed)  
(disturbia disturbed)

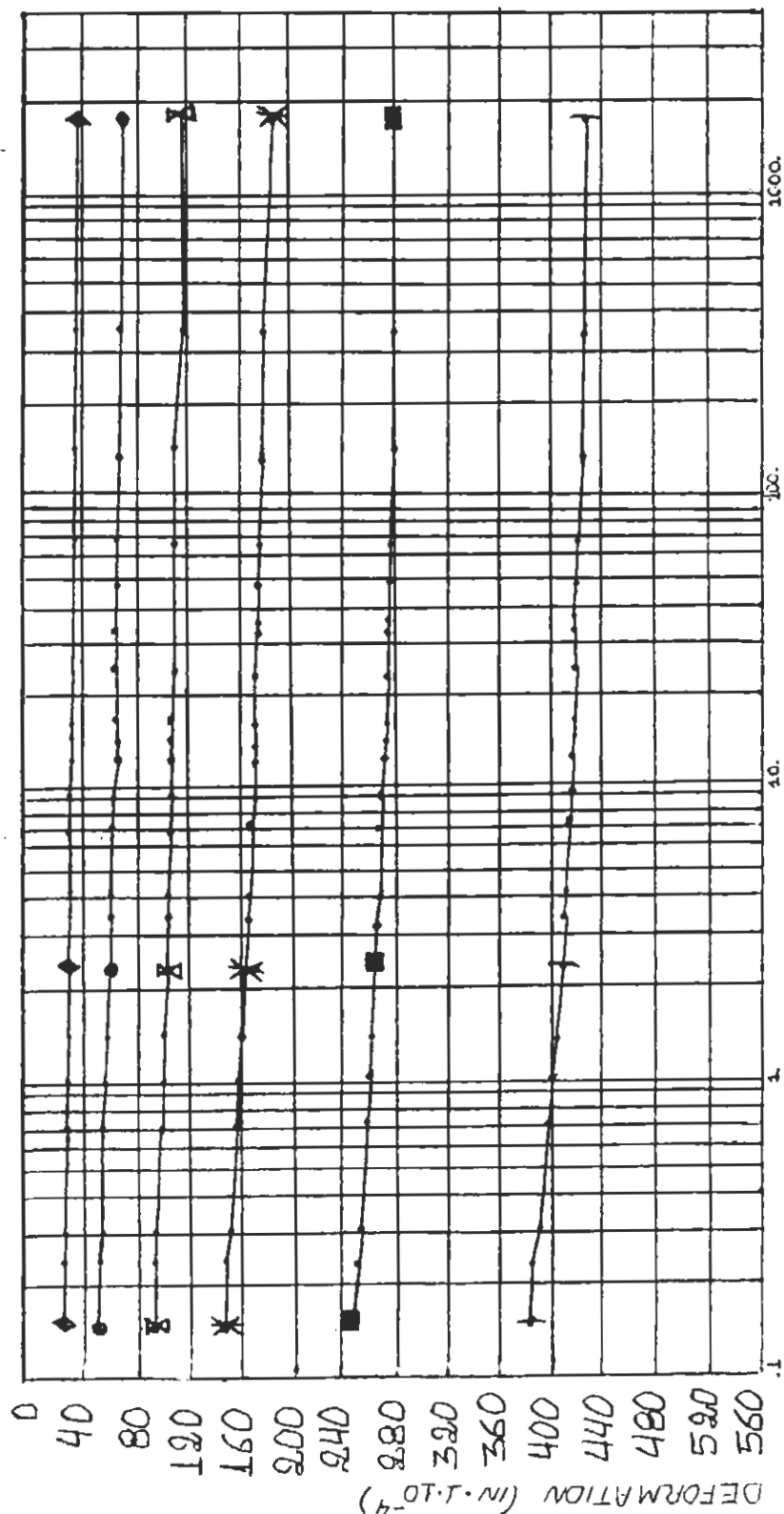
Βάθος m	Εδάφος	Περιεργασία		Χαρακτηρισμός		Κοκκορέζοντα		Ορία A.		Ανεμοστροβίλων		Κύρασια		Δοκήνες				
		D	διεργάμενο	3"	4	10	40	200	Wt	Wp	Ip	S.P.T.	σ' kg/cm²	ε%	W	δομή Gs	σ' kg/cm²	Cc
1	διεργαστικός αποδιδικός απόκαστος																	
2																		
3	clarer sand Brown																	
4	Akkidha Kaccam CH																	
5	Apricot sand clayey																	
6									100 98 93	63	20 43							
7	Kaccam chalcida	U	100 98 93 59	46	NP													
8																		
9																		
10																		
11																		
12	Brown silty	U	100 97 99 45	NP														
13	brown sand																	
14																		
15																		
16	Kaccam clayey	CL																
17	brown clay	CL																
18	Kaccam chalcida	CH																
19																		
20																		
21																		
22	Brown silt	M																
23	- - - - -																	

CONSOLIDATION TEST

PROJECT : *Lukang L.O. Measuring.....*  
 CHARACT : *Dolom. Olivine. Argillite. Kaolinite. bentonite.*  
 BORING : *....G.2.....* DEPTH : *2.4 - 3.0*. DATE : *.....*

YIELD (1 \* 10E-4 IN)

	STRESS									
	.125	.250	.500	1.	2.	4.	8.	2.	.125	
0 :	0	18	37	66	112	178	279	426	390	
9" :	10	29	51	91	148	244	385	395	346	
15" :	11	29	52	93	150	248	389	395	345	
20" :	11	29	53	94	152	251	391	395	344	
40" :	12	30	55	97	157	255	397	395	342	
1' :	13	30	56	98	158	258	401	395	342	
1'30" :	14	31	57	100	160	260	404	394	341	
2'15" :	15	31	58	102	162	262	406	394	340	
3'20" :	15	32	59	103	164	263	409	394	339	
4' :	15	32	60	103	164	264	410	394	338	
6'40" :	16	32	61	105	166	267	412	394	338	
9" :	17	32	61	105	168	267	415	393	337	
12'15" :	17	33	61	105	169	268	416	393	337	
15' :	17	33	61	106	169	269	417	393	336	
16' :	17	33	61	106	169	269	417	393	336	
25' :	19	34	62	107	170	270	418	393	336	
33'20" :	19	34	62	107	170	271	419	393	336	
36' :	19	34	62	107	170	271	419	392	336	
49 :	18	34	63	107	171	272	420	392	335	
1H 6'40" :	18	34	63	107	172	274	421	392	335	
2H 30 :	18	35	64	108	173	279	425	391	334	
5H 55' :	17	37	65	112	175	279	426	391	334	
24H :	18	37	66	112	176	279	426	390	333	



PROJECT : CURVAÇÃO DESENVOLVIMENTO CONSOLIDAÇÃO TESTE		
STRESSES	SIGN	REMARK
• 250	→	
• 500	→	
• 1.000	→	
• 2.000	*	
• 4.000	↔	
• 8.000	+	
BORE HOLE : 62		
DEPTH : 2.40 - 3.00		
DATE :		

CONSOLIDATION TEST  
A PRODUCTION BY MONOGIOS D. GEORGIOS ATHENS 1993

PROJECT.. ΓΟΥΜΑΓΟ ΙΙΕΓΓΛΩΝ  
CHARACT.. Ποδός απομόνωσης αρχιτεκτονικής  
BORING... G2. DEPTH. 2.4-3.0 DATE.....

WL = 25  
WP = 13.6  
INITIAL HEIGHT H. CM = 1.905  
DIAMETER OF SAMPL. D. CM = 7.5  
AREA OF SAMPLE A. CM<sup>2</sup> = 44.17875  
WEIGHT OF SAMPLE GR = 122.5  
SPESIFIC GRAVITY GS GR/CM<sup>3</sup> = 2.65  
UNIT MASS  $\Gamma_0$  GR/CM<sup>3</sup> = 1.455552  
NATURAL MOISTURE W. % = 13.6  
NATU. VOID RATIO E<sub>0</sub> = 1.068219  
DRY UNIT WEIGT  $\Gamma_D$  GR/CM<sup>3</sup> = 1.281296  
SWELLING LOAD.... KG/CM<sup>2</sup>. .... % .

Z=1

Z=?

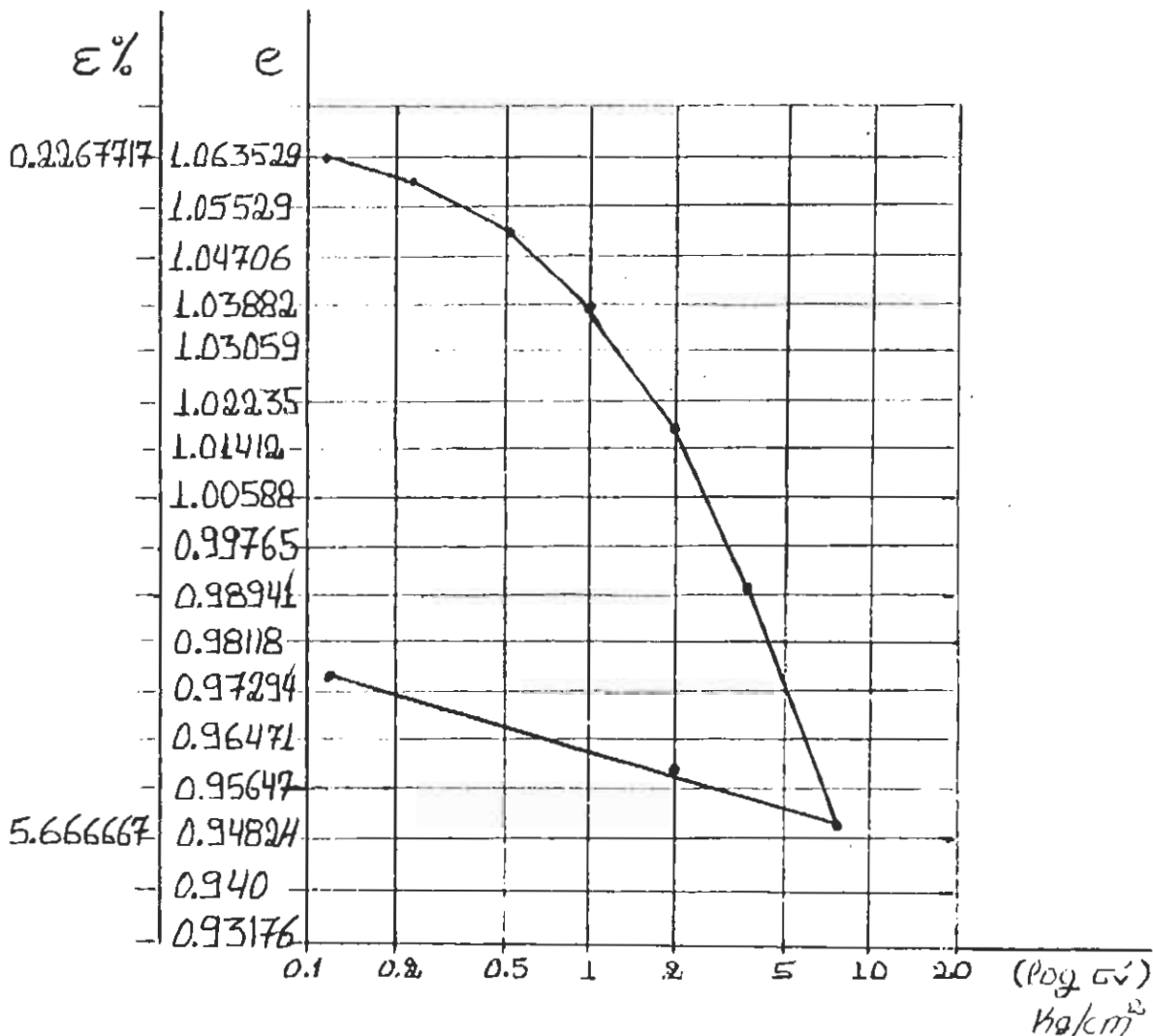
STRESS	H100 CM	E	STRAIN
.125	1.90068	1.063529	.2267717
.25	1.89611	1.058567	.4666667
.5	1.88874	1.050566	.8535433
1	1.87757	1.038439	1.439895
2	1.86106	1.020514	2.306562
4	1.83413	.9912769	5.72021
8	1.79705	.95102	5.666667
2	1.80569	.9604001	5.213124
.125	1.82016	.9761099	4.453543

CC=? ,13375

STRESS KG/CM <sup>2</sup> = .125	CU CM <sup>2</sup> /SEC= 2.89317E-03
Es KG/CM <sup>2</sup> = 4.434069	K CM/SEC = 6.524865E-04 , $\Gamma_D$ = 1.284208
STRESS KG/CM <sup>2</sup> = .25	CU CM <sup>2</sup> /SEC= 4.112133E-04
Es KG/CM <sup>2</sup> = 8.846816	K CM/SEC = 4.64815E-05 , $\Gamma_D$ = 1.287303
STRESS KG/CM <sup>2</sup> = .5	CU CM <sup>2</sup> /SEC= 2.860039E-03
Es KG/CM <sup>2</sup> = 17.62486	K CM/SEC = 1.62273E-04 , $\Gamma_D$ = 1.292326
STRESS KG/CM <sup>2</sup> = 1	CU CM <sup>2</sup> /SEC= 4.242904E-03
Es KG/CM <sup>2</sup> = 35.04125	K CM/SEC = 1.210831E-04 , $\Gamma_D$ = 1.300014
STRESS KG/CM <sup>2</sup> = 2	CU CM <sup>2</sup> /SEC= 4.175571E-03
Es KG/CM <sup>2</sup> = 69.46626	K CM/SEC = 6.010934E-05 , $\Gamma_D$ = 1.311547
STRESS KG/CM <sup>2</sup> = 4	CU CM <sup>2</sup> /SEC= 3.250105E-03
Es KG/CM <sup>2</sup> = 136.9221	K CM/SEC = 2.373689E-05 , $\Gamma_D$ = 1.330804
STRESS KG/CM <sup>2</sup> = 8	CU CM <sup>2</sup> /SEC= 3.123027E-03
Es KG/CM <sup>2</sup> = 268.308	K CM/SEC = 1.163971E-05 , $\Gamma_D$ = 1.358264

ΓΡΑΦΙΚΗ ΠΑΡΑΣΤΑΣΗ ΤΟΥ ΔΕΙΚΤΗ ΠΟΡΩΝ ΣΥΝΑΡΤΗΣΗ ΤΗΣ ΚΑΤΑΚΟΡΥΦΗΣ ΤΑΣΗΣ

ΕΡΓΟ : ... Γυμνάσιο ... Μεσσήνης  
ΓΕΩΤΡΗΣΗ : ..... 62 ..... ΒΑΘΟΣ : ..... 2,4 ± 3,0 .....



ΤΑΣΗ ΠΡΟΣΤΕΡΕΟΠΟΙΗΣΗΣ  $\sigma_p = 1.3$  [KG/CM<sup>2</sup>]

ΔΕΙΚΤΗΣ ΣΥΜΠΙΞΕΣΤΟΤΗΤΑΣ  $C_C = 0.13373$

ATTERBERG LIMITS - PARTICLE SIZE DISTRIBUTION  
(Ορια του Atterberg και κοκκομετρική ανάλυση)

PROJECT..... ΓΥΜΝΑΣΙΟ... ΜΕΣΣΗΝΗΣ.....  
BORING ..... G2..... DEPTH.... 3.0-3.6..... DATE.....

		liquid	plastic		
A	EDUCATOR NUMBER (νούμ. υποδοχέα)	:	1	2	11
B	TOTAL RAP 15-35 (Σύνολο κτύπων)	:	32		
C	WEIGHT WET SAMPLE AND EDUC gr : (Βάρος υγρού δειγ. και υποδο.)	22.59		12.05	12.39
D	WEIGHT DRY SAMPLE AND EDUC gr : (Βάρος ξηρού δειγ. και υποδο.)	20.19		11.83	12.14
E	WATER WEIGHT (Βάρος νερού)	(E=C-D) gr :	2.40	0.22	0.25
F	EDUCATOR WEIGHT (Υποδοχέα βάρος)	gr :	10.22	10.28	10.22
G	WEIGHT OF DRY SAMPLE (G=D-F) gr : (Βάρος ξηρού δειγμάτος)	9.97		1.55	1.92
H	MOISTURE (Υγρασία)	(W=E*100/G) % :	24.07	14.19	13.02
I	LIQUID LIMIT (WL=H*(B/25)^.121): (Οριό υδαρότητας)	25	PLASTIC L. WP: (Οριό πλαστ.)	13.6	
PLASTIC INDEX (Ip=Wp-WL) :			11	ΛΙΓΟ ΠΛΑΣΤΙΚΟ	
(Δείκτης πλαστ.)					

DIAMET. mm	SIEVE ΚΩΣΤΙΚΟ	CONTROL συγκρατούμενο gr	%	PASS διερχόμενο gr	%
9.52	3/8"				
4.75	No 4	0	-	500	100
2.00	No 10	25		475	95
0.425	No 40	130		345	69
0.074	No 200	185		160	32

CLASSIFICATION OF SOILS (After A.U.S.C.S.):  
(Ταξινόμηση)  
SC  
CLAYEY SAND

ATTERBERG LIMITS - PARTICLE SIZE DISTRIBUTION  
 (Όρια του Atterberg και κοκκομετρική ανάλυση)

PROJECT..... ΓΥΜΝΑΣΙΟ .. ΜΕΣΣΗΝΗΣ .. .  
 BORING ..... G2 ..... DEPTH.... 3.7-4.3 ..... DATE.....

		liquid	plastic
A EDUCATOR NUMBER (νούμ. υποδοχέα)	:	07	8 9
B TOTAL RAP 15-35 (Σύνολο κτυπών)	:	20	
C WEIGHT WET SAMPLE AND EDUC gr : 22.62 (Βάρος υγρού δειγ. και υποδο.)		11.84	11.39
D WEIGHT DRY SAMPLE AND EDUC gr : 19.62 (Βάρος ξηρού δειγ. και υποδο.)		11.64	11.21
E WATER WEIGHT (Βάρος νερού)	(E=C-D) gr :	3.00	0.20 0.18
F EDUCATOR WEIGHT (Υποδοχέα βάρος)	gr :	10.19	10.53 10.05
G WEIGHT OF DRY SAMPLE (G=D-F) gr : 9.43 (Βάρος ξηρού δειγμάτος)		1.31	1.16
H MOISTURE (Υγρασία)	(W-E*100/G) % :	31.80	15.30 15.52
I LIQUID LIMIT (WL=H*(B/25)^.121): 32 (Όριο υδαρότητας)		PLASTIC L. WP: 15.4 (Όριο πλαστ.)	

PLASTIC INDEX (Ip=Wp-WL) : 17 ΛΙΡΟ ΠΛΑΣΤΙΚΟ  
 (Δείκτης πλαστ.)

DIAMET. mm	SIEVE Κόδικινο	CONTROL ουγρατούμενο gr	PASS διεργάδμενο gr	%
9.52	3/8"			
4.75	No 4	0	500	100
2.00	No 10	30	470	94
0.425	No 40	87	385	77
0.074	No 200	180	205	41

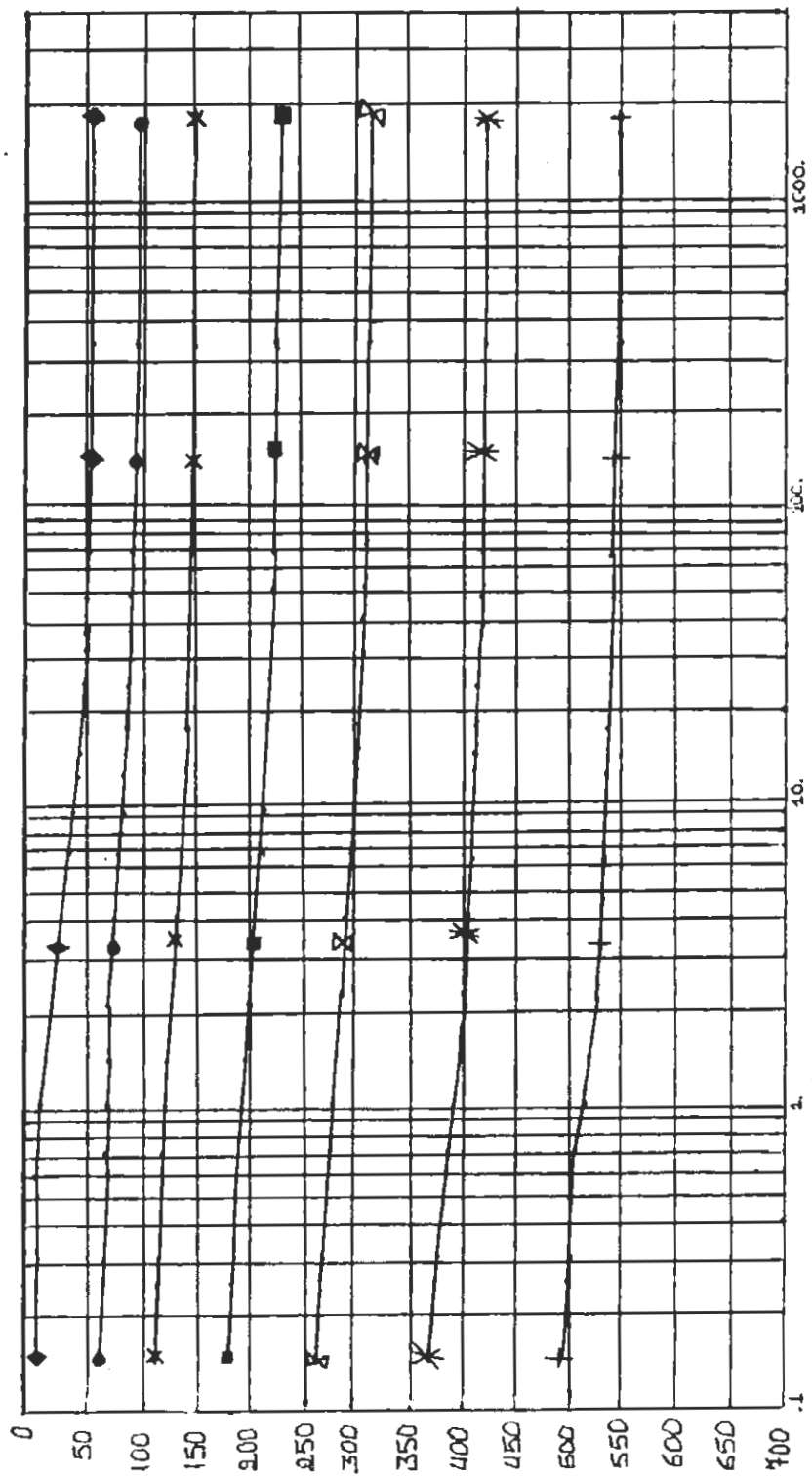
CLASSIFICATION OF SOILS (After A.U.S.C.S.):  
 (Ταξινόμηση)  
 SC  
 CLAYEY SAND

CONSOLIDATION TEST

PROJECT : *Sukhavigra Meghnans*  
 CHARACT : *Akhudan, Arambol & Dira, Kadikoi, Isacava, W. Guwahati, Assam*  
 BORING : *G 2*, DEPTH : *4.9-5.2*, DATE : *Geo Dept*

YIELD (1 \* 10E-4)

		STRESS									
		.125	.250	.500	1.	2.	4.	6.	2.	.125	
0'		56	94	150	225	312	425	550	514		
3"		63	113	180	265	371	495	519	443		
15"		65	114	183	270	375	499	519	442		
20"		65	114	183	273	377	503	519	442		
40"		67	116	190	279	387	511	518	440		
50"		68	121	194	282	391	515	517	438		
1'00"		70	122	196	285	395	522	517	438		
2'12"		72	126	200	290	400	528	517	437		
3'00"		73	129	204	293	402	529	516	436		
4'		75	130	206	294	405	531	516	435		
6'40"		78	135	210	299	408	534	516	432		
9"		80	137	212	301	410	536	516	431		
12'15"		82	138	213	302	411	536	516	429		
15"		84	139	214	303	412	538	516	428		
18"		84	140	214	303	412	538	516	426		
2'27"		86	142	215	304	414	541	516	426		
3'00"		87	142	216	305	415	542	516	425		
3'50"		87	143	216	305	415	542	516	425		
4'50"		88	143	216	306	416	542	516	424		
5'00"		88	144	216	307	416	543	516	424		
5'10"		90	147	219	309	419	545	515	422		
6'00"		92	148	221	310	422	549	514	420		
7'00"		94	150	215	312	425	550	514	420		



DEFORMATION ( $\text{cm} \cdot 10^{-4}$ )

TIME CURVES		
STRESSES	SIGN	REMARK
.125	◆	PROJECT : High school in Messini
.250	◆	Consolidation measurements
.500	*	BORE HOLE : G2
1.000	■	DEPTH : 4.90 - 5.20 m
2.000	—	DATE :
4.000	*	
8.000	—	

TIME (MIN)

CONSOLIDATION  
TEST

4.90 - 5.20 m

DATE :

- 70 -

CONSOLIDATION TEST

A PRODUCTION BY MONOGIOS D. GEORGIOS ATHENS 1993

PROJECT. ΓΕΩΜΥΔΙΟ... ΗΛΕΓΓΑΝΗΣ.....  
CHARACT ΑΠΗΛΩΣΗΣ ΔΡΑΣΙΣΟΣ ΉΣ ΔΙΑ ΧΑΛΙΚΙΑ ΚΑΙ ΣΑΡΗΣ ΙΕΥΚΟΤΕΧΝΗ  
BORING.. G2 .. DEPTH. 4.9-5.2 DATE. .... GTO ΤΕΣΔΟΣ

WL = 24.8  
WP = 11.2  
INITIAL HEIGHT H. CM = 1.905  
DIAMETER OF SAMPL. D. CM = 7.5  
AREA OF SAMPLE A. CM<sup>2</sup> = 44.17875  
WEIGHT OF SAMPLE GR = 124.3  
SPECIFIC GRAVITY GS GR/CM<sup>3</sup> = 2.65  
UNIT MASS γ<sub>D</sub> GR/CM<sup>3</sup> = 1.47694  
NATURAL MOISTURE W. % = 13.6  
NATU. VOID RATIO E<sub>0</sub> = 1.038269  
DRY UNIT WEIGHT γ<sub>D</sub> GR/CM<sup>3</sup> = 1.300123  
SWELLING LOAD... KG/CM<sup>2</sup>. .... % .  
FOR CONTINUE Z=1  
Z=?

STRESS	H100 CM	E	STRAIN
.125	1.89128	1.023589	.72021
.25	1.88214	1.01381	1.2
.5	1.86766	.9983165	1.960105
1	1.84937	.9787471	2.92021
2	1.82651	.9542878	4.12021
4	1.79883	.9246715	5.573228
8	1.76581	.8893414	7.306562
2	1.77419	.8983076	6.866666
.125	1.79781	.9235801	5.626771

CC=? .11736

STRESS KG/CM<sup>2</sup>= .125 CU CM2/SEC= 5.758564E-04  
Es KG/CM<sup>2</sup>= 4.954763 K CM/SEC = 1.162228E-04 . γ<sub>D</sub> = 1.309555

STRESS KG/CM<sup>2</sup>= .25 CU CM2/SEC= 7.113615E-04  
Es KG/CM<sup>2</sup>= 9.861638 K CM/SEC = 7.213421E-05 . γ<sub>D</sub> = 1.315914

STRESS KG/CM<sup>2</sup>= .5 CU CM2/SEC= 9.349916E-04  
Es KG/CM<sup>2</sup>= 19.57154 K CM/SEC = 4.777303E-05 . γ<sub>D</sub> = 1.326116

STRESS KG/CM<sup>2</sup>= 1 CU CM2/SEC= 2.203372E-03  
Es KG/CM<sup>2</sup>= 38.75974 K CM/SEC = 5.684692E-05 . γ<sub>D</sub> = 1.339231

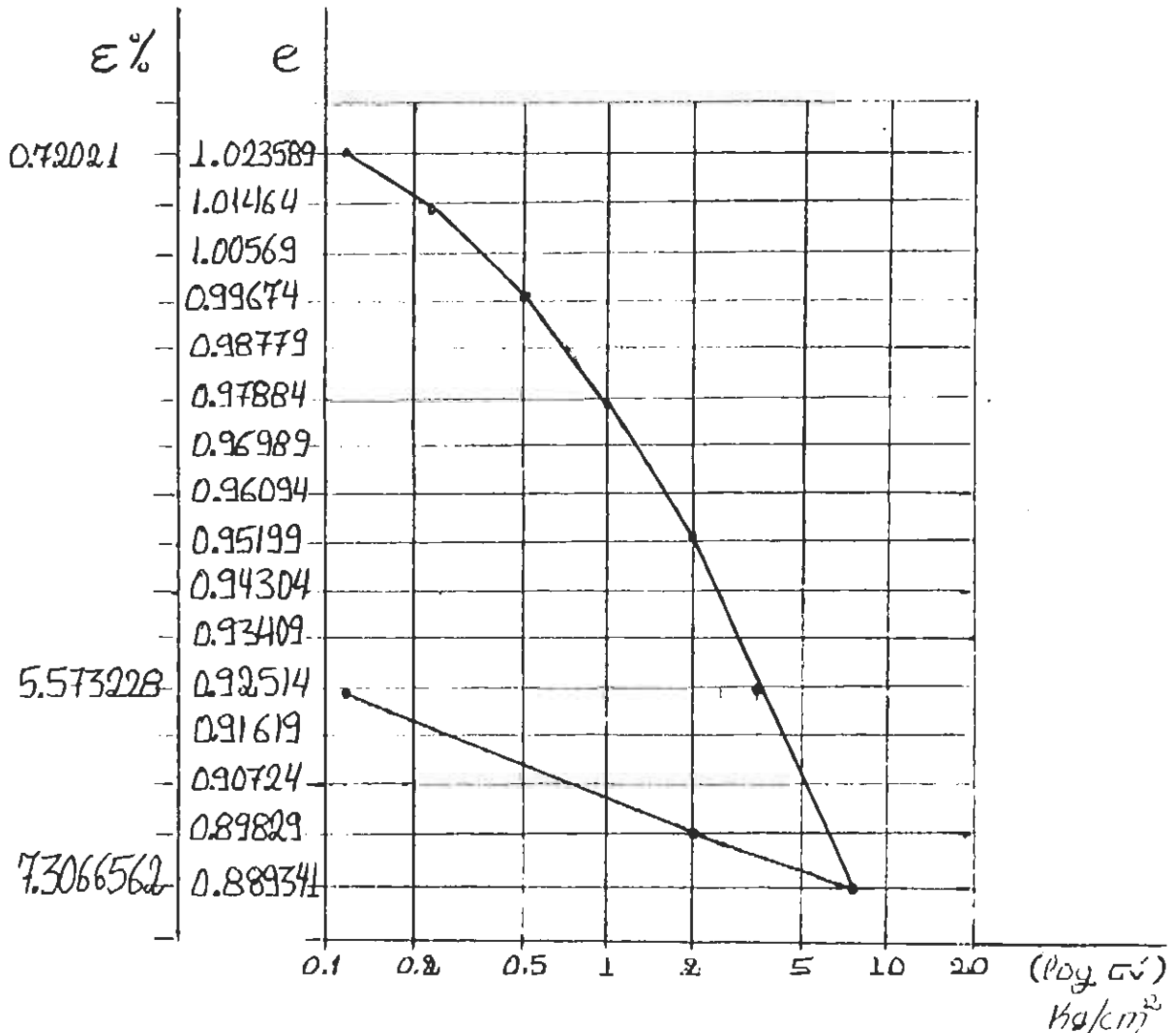
STRESS KG/CM<sup>2</sup>= 2 CU CM2/SEC= 2.690493E-03  
Es KG/CM<sup>2</sup>= 76.56127 K CM/SEC = 3.514169E-05 . γ<sub>D</sub> = 1.355993

STRESS KG/CM<sup>2</sup>= 4 CU CM2/SEC= 3.916998E-03  
Es KG/CM<sup>2</sup>= 150.802 K CM/SEC = 2.597444E-05 . γ<sub>D</sub> = 1.376858

STRESS KG/CM<sup>2</sup>= 8 CU CM2/SEC= 3.022692E-03  
Es KG/CM<sup>2</sup>= 296.0677 K CM/SEC = 1.020946E-05 . γ<sub>D</sub> = 1.402605

ΓΡΑΦΙΚΗ ΠΑΡΑΣΤΑΣΗ ΤΟΥ ΔΕΙΚΤΗ ΠΟΡΩΝ ΣΥΝΑΡΤΗΣΗ ΤΗΣ ΚΑΤΑΚΟΡΥΦΗΣ ΤΑΣΗΣ

ΕΡΓΟ : .. μυνάστιο .. μεσ. σύνησης  
ΓΕΩΤΡΗΣΗ : ..... 0.2 ..... ΒΑΘΟΣ : ..... 4.9 - 5.0 .....



ΤΑΣΗ ΠΡΟΣΤΕΡΕΟΠΟΙΗΣΗΣ  $\sigma_p = 1.5$  [KG/CM<sup>2</sup>]

ΔΕΙΚΤΗΣ ΣΥΜΠΙΕΣΤΟΤΗΤΑΣ  $C_c = 0.11736$

ATTERBERG LIMITS - PARTICLE SIZE DISTRIBUTION  
(Όρια του Atterberg και κοκκομετρική ανάλυση)

PROJECT..... ΓΥΜΝΑΣΙΟ... ΜΕΣΣΗΝΗΣ.....  
BORING ..... G2..... DEPTH.... 6.0-6.6..... DATE.....

		liquid	plastic	
A EDUCATOR NUMBER	:	108	101	67
(νούμ. υποδοχέα)				
B TOTAL RAP 15-35	:	30		
(Σύνολο κτύπων)				
C WEIGHT WET SAMPLE AND EDUC gr :	18.36		15.12	15.16
(Βάρος υγρού δειγ. και υπόδ.)				
D WEIGHT DRY SAMPLE AND EDUC gr :	15.28		14.12	14.18
(Βάρος ξηρού δειγ. και υπόδ.)				
E WATER WEIGHT (E=C-D) gr :	3.08		1.00	0.98
(Βάρος νερού)				
F EDUCATOR WEIGHT gr :	10.20		10.00	10.21
(Υποδοχέα Βάρος)				
G WEIGHT OF DRY SAMPLE (G=D-F) gr :	5.08		4.12	3.97
(Βάρος ξηρού δειγμάτος)				
H MOISTURE (W=E*100/G) % :	60.63		24.30	24.70
(Υγρασία)				
I LIQUID LIMIT (WL=H*(B/25)^.121):	62	PLASTIC L. WP:	24.5	
(Όριο υδαρότητας)		(Όριο πλαστ.)		

PLASTIC INDEX (Ip=Wp-WL) : 38 ΠΛΑΣΤΙΚΟ  
(Δεικτής πλαστ.)

DIAMET. mm	SIEVE ΚΟΚΚΙΝΟ	CONTROL συγκρούμενο gr	PASS διερχόμενο gr	%
9.52	3/8"			
4.75	No 4	0	500	100
2.00	No 10	15	485	97
0.425	No 40	65	420	84
0.074	No 200	25	395	79

CLASSIFICATION OF SOILS (After A.U.S.C.B.): CH  
(Ταξινόμηση) CLAY

ATTERBERG LIMITS - PARTICLE SIZE DISTRIBUTION  
(Όρια του Atterberg και κοκκομετρική ανάλυση)

PROJECT..... ΓΥΜΝΑΣΙΟ... ΜΕΣΣΗΝΗΣ.....  
BORING .. G2..... DEPTH.... 7.0-7.6..... DATE.....

		liquid	plastic		
A EDUCATOR NUMBER		: 69	22	23	
.	(νούμ. υποδοχέα)				
B TOTAL RAP 15-35	(Σύνολο κτύπων)	: 17			
C WEIGHT WET SAMPLE AND EDUC	gr :	23.27	14.32	12.37	
.	(Βάρος υγρού δειγ. και υποδο.)				
D WEIGHT DRY SAMPLE AND EDUC	gr :	18.54	13.77	12.85	
.	(Βάρος ξηρού δειγ. και υποδο.)				
E WATER WEIGHT	(E=C-D) gr :	4.73	0.55	0.52	
.	(Βάρος νερού)				
F EDUCATOR WEIGHT	gr :	10.10	10.80	10.02	
.	(Υποδοχέα βάρος)				
G WEIGHT OF DRY SAMPLE	(G=D-F) gr :	8.44	2.97	2.83	
.	(Βάρος ξηρού δειγμάτος)				
H MOISTURE	(W=E*100/G) % :	56.06	18.50	16.40	
.	(Υγρασία)				
I LIQUID LIMIT (WL=H*(B/25)^.121):		53.5	PLASTIC L. WP:	18.5	
.	(Όριο υδαρτητισμού)		(Όριο πλαστ.)		

PLASTIC INDEX (Ip=Wp-WL) : 35 ΠΛΑΣΤΙΚΟ  
(Δεικτής πλαστ.)

DIAMET. mm	SIEVE ΚΟΚΚΙΛΩ	CONTROL συγκρούμενο gr	PASS διεργούμενο gr	%
9.52	3/8"			
4.75	No 4	0	500	100
2.00	No 10	5	495	99
0.425	No 40	90	405	81
0.074	No 200	55	350	70

CLASSIFICATION OF SOILS (After A.U.S.C.S.): CH  
(Ταξινόμηση) clay

ATTERBERG LIMITS - PARTICLE SIZE DISTRIBUTION  
 (Όρια του Atterberg και κοκκομετρική ανάλυση)

PROJECT.....GYMNAΣΙΟ...ΜΕΣΣΗΝΗΣ.....  
 BORING .....G2.....DEPTH....10.0-10.5....DATE.....

		liquid	plastic
A EDUCATOR NUMBER (νούμ. υπόδοχέα)	:		
B TOTAL RAP 15-35 (Σύνολο κτύπων)	:		
C WEIGHT WET SAMPLE AND EDUC gr : (Βάρος υγρού δειγ. και υπόδο.)			
D WEIGHT DRY SAMPLE AND EDUC gr : (Βάρος ξηρού δειγ. και υπόδο.)			
E WATER WEIGHT (E=C-D) gr : (Βάρος νερου)			
F EDUCATOR WEIGHT gr : (Υπόδοχέα βάρος)			
G WEIGHT OF DRY SAMPLE (G=D-F) gr : (Βάρος ξηρού δειγμάτος)			
H MOISTURE (W=E*100/G) % : (Υγρασία)			
I LIQUID LIMIT (WL=H*(B/25)^.121) : (Όριο υδαρότητας)		PLASTIC L. WP: (Όριο πλαστ.)	

PLASTIC INDEX (Ip=Wp-WL) : N.P.  
 (Δεικτής πλαστ.)

DIAMET. mm	SIEVE ΚΩΔΙΚΟ No	CONTROL ΟΥΓΓΑΤΟΥΜΕ ΝΟ gr	PASS διεργάδε νο gr	%
9.52	3/8"			
4.75	No 4			
2.00	No 10	0	500	100
0.425	No 40	35	465	93
0.074	No 200	350	115	23

CLASSIFICATION OF SOILS (After A.U.S.C.S.): SM  
 (Ταξινόμηση) SILTY SAND

ATTERBERG LIMITS - PARTICLE SIZE DISTRIBUTION  
(Όρια του Atterberg και κοκκομετρική ανάλυση)

PROJECT.....GYMNASIO...MEΣΣΗΝΗΣ.....  
BORING .....GB.....DEPTH....14.0-14.6....DATE.....

		liquid	plastic
A EDUCATOR NUMBER (νούμ. υπόδοχεα)	:		
B TOTAL RAP 15-35 (Σύνολο κτυπων)	:		
C WEIGHT WET SAMPLE AND EDUC gr (Βάρος υγρού δειγ. και υπόδο.)	:		
D WEIGHT DRY SAMPLE AND EDUC gr (Βάρος ξηρού δειγ. και υπόδο.)	:		
E WATER WEIGHT (E=C-D) gr (Βάρος νερού)	:		
F EDUCATOR WEIGHT gr (Υπόδοχεα Βάρος)	:		
G WEIGHT OF DRY SAMPLE (G=D-F) gr (Βάρος ξηρού δειγματος)	:		
H MOISTURE (W=E*100/G) % (Υγρασία)	:		
I LIQUID LIMIT (WL=H*(B/25) + 121) (Δείκτης υδαρότητας)		PLASTIC L. WP: (Οριό πλαστ.)	

PLASTIC INDEX (Ip=Wp-WL) : N.F.  
(Δείκτης πλαστ.)

DIAMET. mm	SIEVE κόσκινο	CONTROL συγκρούμενο gr	PASS διερχόμενο gr	%
9.52	3/8"			
4.75	No 4			
2.00	No 10			
0.425	No 40	0	500	100
0.074	No 200	120	380	76

CLASSIFICATION OF SOILS (After A.U.S.C.S.): ML  
(Ταξινόμηση) SILTY

ATTERBERG LIMITS - PARTICLE SIZE DISTRIBUTION  
(Όροι του Atterberg και κόκκομετοική ανάλυση)

PROJECT.....ΓΥΜΝΑΣΙΟ...MEZZHNHZ.....  
BORING .....G2.....DEPTH...18.0-18.55....DATE.....

		liquid	plastic	
A EDUCATOR NUMBER (νούμ. υποδοχέα)	:	100	1	2
B TOTAL RAP 15-35 (Σύνολο κτύπων)	:	24		
C WEIGHT WET SAMPLE AND EDUC gr : (Βάρος υγρού δειγ. και υποδο.)	26.62	12.13	13.10	
D WEIGHT DRY SAMPLE AND EDUC gr : (Βάρος ξηρού δειγ. και υποδο.)	23.74	11.83	12.09	
E WATER WEIGHT (Βάρος νερού)	(E=C-D) gr :	2.88	0.30	0.41
F EDUCATOR WEIGHT (Υποδοχέα Βάρος)	gr :	14.49	10.22	10.28
G WEIGHT OF DRY SAMPLE (G=D-F) gr : (Βάρος ξηρού δειγματος)	9.25	1.61	2.41	
H MOISTURE (Υγρασία)	(W=E*100/G) % :	31.15	18.6	17.00
I LIQUID LIMIT (WL=H*(B/25).121): (Όροι υδαρότητας)	31	PLASTIC L. WP: (Όροι πλαστ.)	17.8	

PLASTIC INDEX (Ip=WP-WL) : 13 ΛΙΓΟ ΠΛΑΣΤΙΚΟ  
(Δεικτης πλαστ.)

DIAMET. mm	SIEVE ΚΟΚΚΙΝΟ	CONTROL συγκρατούμενο gr	PASS διερχόμενο gr	%
9.52	3/8"			
4.75	No 4			
2.00	No 10			
0.425	No 40	0	500	100
0.074	No 200	5	495	99

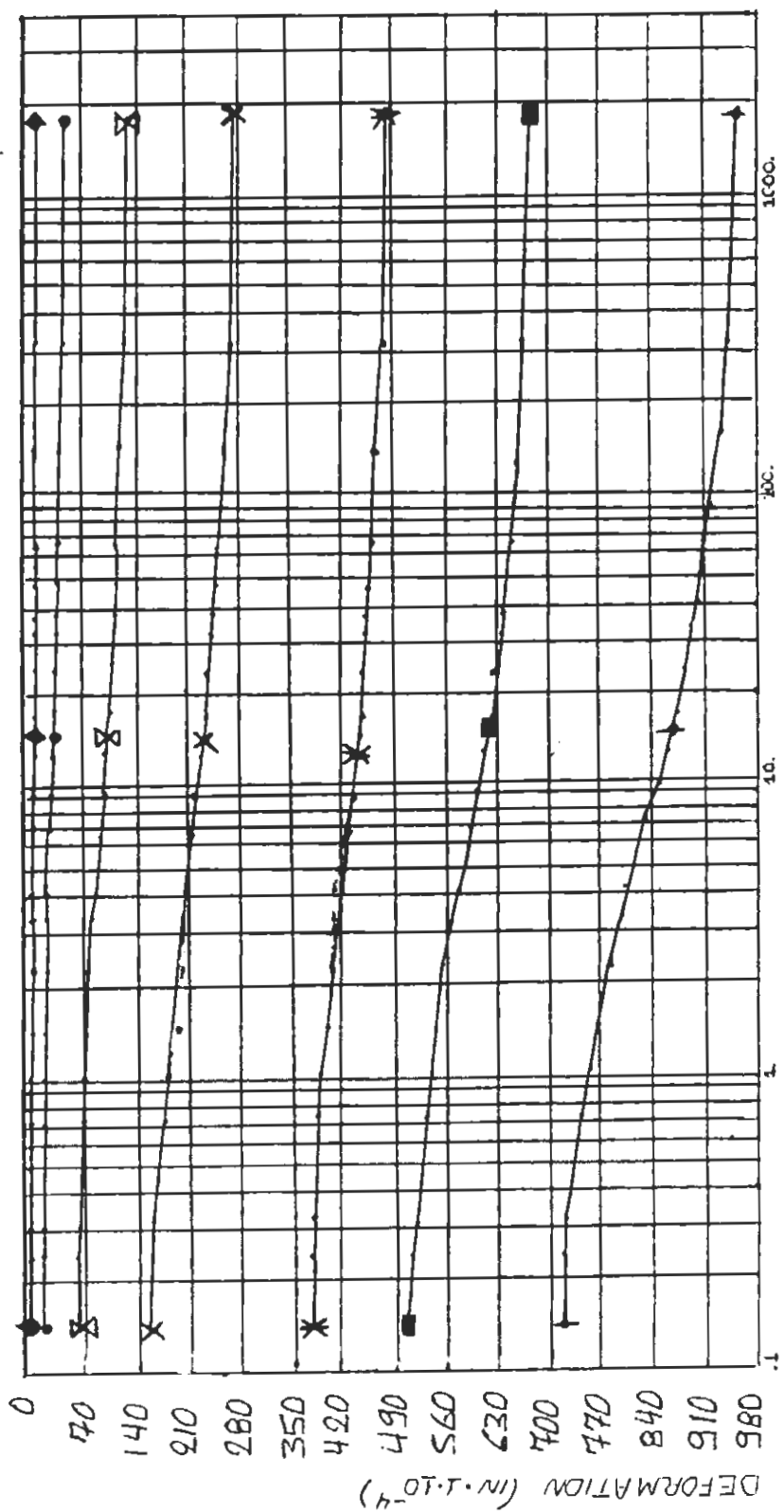
CLASSIFICATION OF SOILS (After A.I.S.C.S.): CL 2a  
(Ταξινόμηση) CLAY

CONSOLIDATION TEST

PROJECT : ...  
CHARACT : ...  
BORING : ... G2 ..... DEPTH : 18.0 - 18.6 DATE : .....

YIELD (1 \* 10E-4 IN)

	.125	.250	.500	1.	2.	4.	8.	2.	.125
0 :	0	12	46	125	273	478	685	950	858
9":	5	20	62	157	382	511	719	909	823
15":	6	20	63	162	384	516	725	906	821
20":	7	20	64	165	386	519	728	905	819
40":	8	22	67	178	392	533	750	907	810
1' :	8	23	71	185	396	540	758	898	801
1'30":	8	24	75	196	403	550	771	892	793
2'15":	8	25	78	202	408	557	784	888	786
3'20":	9	26	83	208	412	569	801	883	775
4' :	9	27	88	212	414	575	804	878	773
6'40":	10	28	92	219	427	596	828	873	761
9' :	11	30	95	228	434	603	848	876	747
12'15":	11	31	98	231	438	613	862	869	720
15' :	11	34	100	234	441	625	871	868	729
16' :	11	34	106	234	442	627	872	867	728
25' :	11	36	107	240	448	634	886	866	713
33'20":	11	37	109	245	452	638	888	865	695
36' :	11	37	110	245	452	640	903	865	695
49' :	12	38	111		455	650	905	864	680
1H 6'40":	12	39	112	250	457	660	909	864	673
2H 30' :	12	40	117	256	465	666	931	851	646
5H 33' :	12	45	123	270		678	948	858	644
24H :	12	46	125	273	478	685	950	858	644



PROJECT : Ruvaracio Decimun		CONSOLIDATION TEST
STRESSES	SIGN	REMARK
125	◆	
250	◆	
500	✗	
1.000	*	G2
2.000	*	
4.000	■	
8.000	+	
		TIME CURVES
		DEPTH : 1B.O - 1B.G
		DATE :

CONSOLIDATION TEST  
A PRODUCTION BY MONOGIOS D. GEORGIOS ATHENS 1993

PROJECT..ΓΕΩΒΑΣΙΟ.....ΜΕΓΑΛΟΝΣ.....  
CHARACT. ΑΡΧΙΤΟΣ... ΚΑΓΑΝΕΠΟΥΡΗ.....  
BORING...G.24 DEPTH.18.0-18.6 DATE.....

WL = 31  
WP = 17.8  
INITIAL HEIGHT H. CM = 1.905  
DIAMETER OF SAMPL. D. CM = 7.5  
AREA OF SAMPLE A. CM<sup>2</sup> = 44.17875  
WEIGHT OF SAMPLE GR = 117  
SPESIFIC GRAVITY GS GR/CM<sup>3</sup> = 2.7  
UNIT MASS ΓΦ GR/CM<sup>3</sup> = 1.390201  
NATURAL MOISTURE W. % = 18.5  
NATU. VOID RATIO E<sub>0</sub> = 1.301466  
DRY UNIT WEIGHT Γ<sub>D</sub> GR/CM<sup>3</sup> = 1.173165  
SWELLING LOAD...KG/CM<sup>2</sup>. ....% .

Z=1

Z=?

STRESS	H100 CM	E	STRAIN
.125	1.90195	1.297782	.160105
.25	1.89484	1.289192	.5333334
.5	1.87528	1.265561	1.560105
1	1.83998	1.222914	3.413124
2	1.78689	1.158776	6.2
4	1.73584	1.097101	8.879789
8	1.66853	1.015782	12.41312
2	1.68631	1.037263	11.47979
.125	1.74092	1.103238	8.613123

CC=? .27014

STRESS KG/CM<sup>2</sup>= .125 CU CM<sup>2</sup>/SEC= 1.448518E-03  
Es KG/CM<sup>2</sup>= 2.444222 K CM/SEC = 5.926295E-04 , Γ<sub>D</sub> = 1.175046

STRESS KG/CM<sup>2</sup>= .25 CU CM<sup>2</sup>/SEC= 3.600999E-04  
Es KG/CM<sup>2</sup>= 4.870169 K CM/SEC = 7.393993E-05 , Γ<sub>D</sub> = 1.179456

STRESS KG/CM<sup>2</sup>= .5 CU CM<sup>2</sup>/SEC= 7.735227E-04  
Es KG/CM<sup>2</sup>= 9.639791 K CM/SEC = 8.024268E-05 , Γ<sub>D</sub> = 1.191758

STRESS KG/CM<sup>2</sup>= 1 CU CM<sup>2</sup>/SEC= 1.835649E-03  
Es KG/CM<sup>2</sup>= 18.91667 K CM/SEC = 9.703869E-05 , Γ<sub>D</sub> = 1.214622

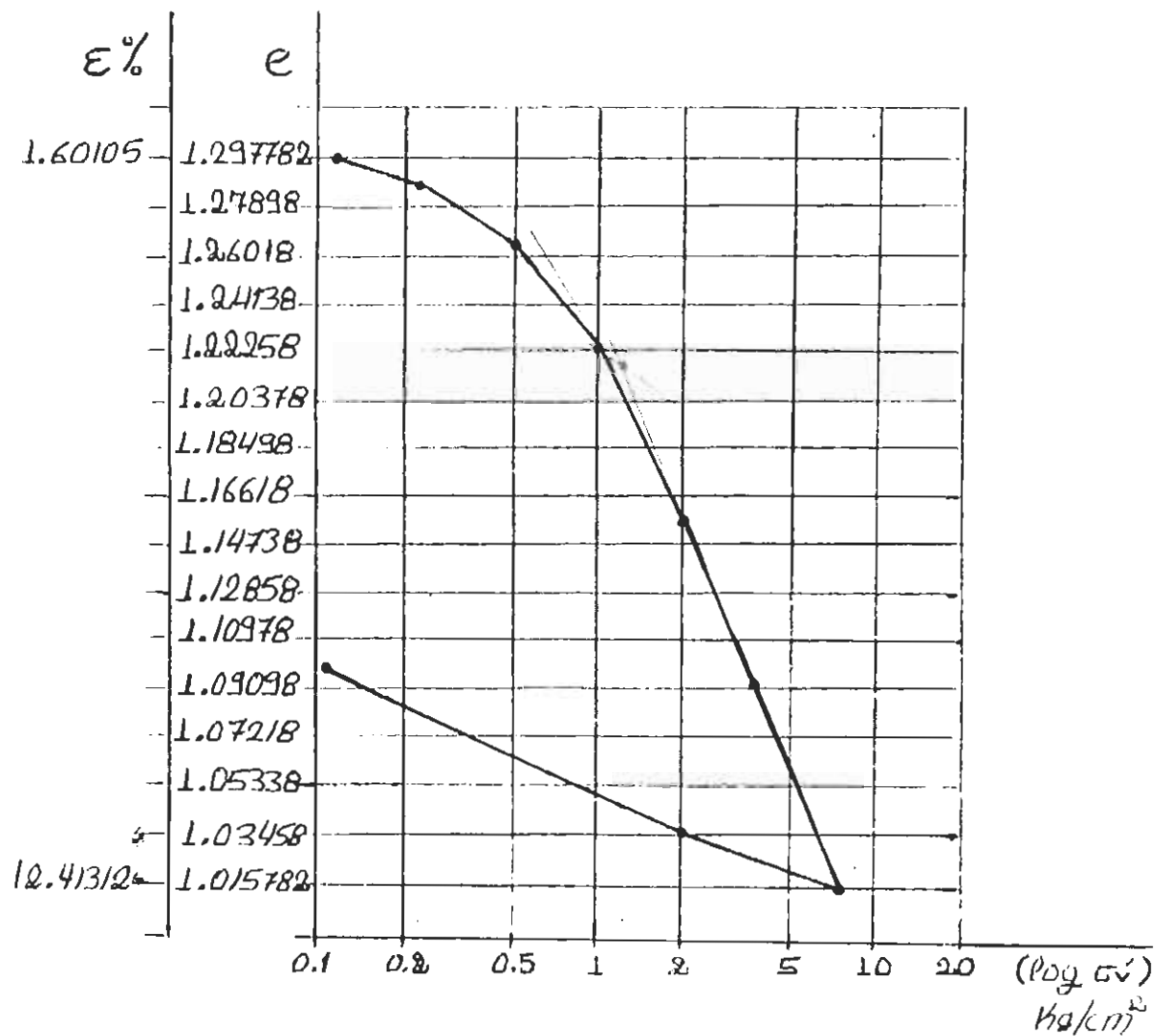
STRESS KG/CM<sup>2</sup>= 2 CU CM<sup>2</sup>/SEC= 5.175766E-04  
Es KG/CM<sup>2</sup>= 36.74171 K CM/SEC = 1.40869E-05 , Γ<sub>D</sub> = 1.250709

STRESS KG/CM<sup>2</sup>= 4 CU CM<sup>2</sup>/SEC= 4.945971E-04  
Es KG/CM<sup>2</sup>= 71.38405 K CM/SEC = 6.928678E-06 , Γ<sub>D</sub> = 1.287492

STRESS KG/CM<sup>2</sup>= 8 CU CM<sup>2</sup>/SEC= 4.619975E-04  
Es KG/CM<sup>2</sup>= 137.232 K CM/SEC = 3.366543E-06 , Γ<sub>D</sub> = 1.33943

ΓΡΑΦΙΚΗ ΠΑΡΑΣΤΑΣΗ ΤΟΥ ΔΕΙΚΤΗ ΠΟΡΩΝ ΣΥΝΑΡΤΗΣΗ ΤΗΣ ΚΑΤΑΚΟΡΥΦΗΣ ΤΑΣΗΣ

ΕΡΓΟ : .... Γυκνάσιο .... Μεσσήνης  
ΓΕΩΤΡΗΣΗ : .... 5.2 ..... ΒΑΘΟΣ : .... 18.0 - 18.6 .....



ΤΑΣΗ ΠΡΟΣΤΕΡΕΟΠΟΙΗΣΗΣ  $\sigma_p = 1.2$  [KG/CM<sup>2</sup>]

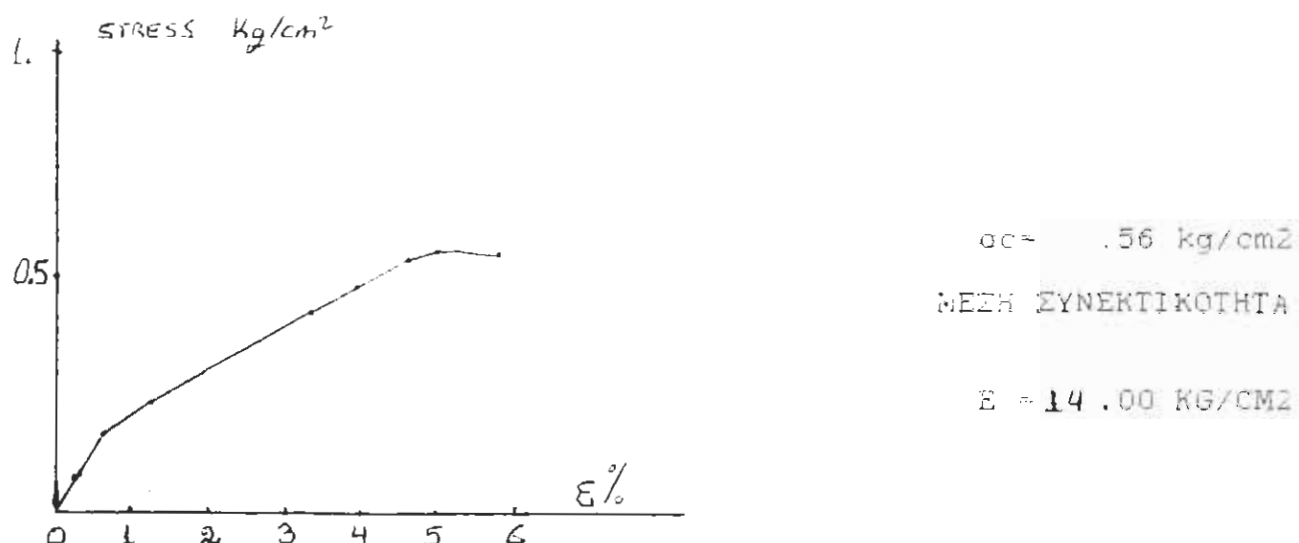
ΔΕΙΚΤΗΣ ΣΥΜΠΙΕΣΤΟΤΗΤΑΣ  $C_C = 0.27014$

UNCONFINED COMPRESSION  
(Ανευπόδιστη Θλίψη)

PROJECT . . . Γυμνάσιο Μεσσήνης . . . . .  
BORING . . . . . G2 . . . . . DEPTH . . . 20.2-20.8 . . . DATE . . . . .  
DESCRIPTION . . . καστανή αργιλός . . . . .

DIAMETER	cm : 7.00	SPESIFIC GRAVITY	tn/cm <sup>2</sup> : 2.700
(Διάμετρος D)		(Ειδικό Βάρος Gs)	
AREA	cm <sup>2</sup> : 38.47	APPARENT WEIGHT	tn/cm <sup>2</sup> : 1.979
(Επιφάνεια A <sub>o</sub> )		(Φαιμόμενο Βάρος γ <sub>A</sub> )	
HEIGHT	cm : 16.32	DRY WEIGHT	tn/cm <sup>2</sup> : 1.600
(Υψος L)		(Ενρέ ψαίν. Βάρος γ <sub>D</sub> )	
COEFFICIENT C	: .888	MOISTURE	% : 23.700
O-RING		(Υγρασία w)	
		VOID RATIO e <sub>o</sub>	: .690

YIELD	$\epsilon\%$	READING	STRESS
d <sub>1</sub>	(d <sub>1</sub> /l) $\times 100$	O-RING	READING*C/AREA
mm			kg/cm <sup>2</sup>
1	.65	7	.160
2	1.31	10	.228
3	1.96	13	.294
4	2.61	16	.360
5	3.26	19	.424
6	3.92	22	.488
7	4.57	25	.550
8	5.22	26	.569
9	5.87	26	.565

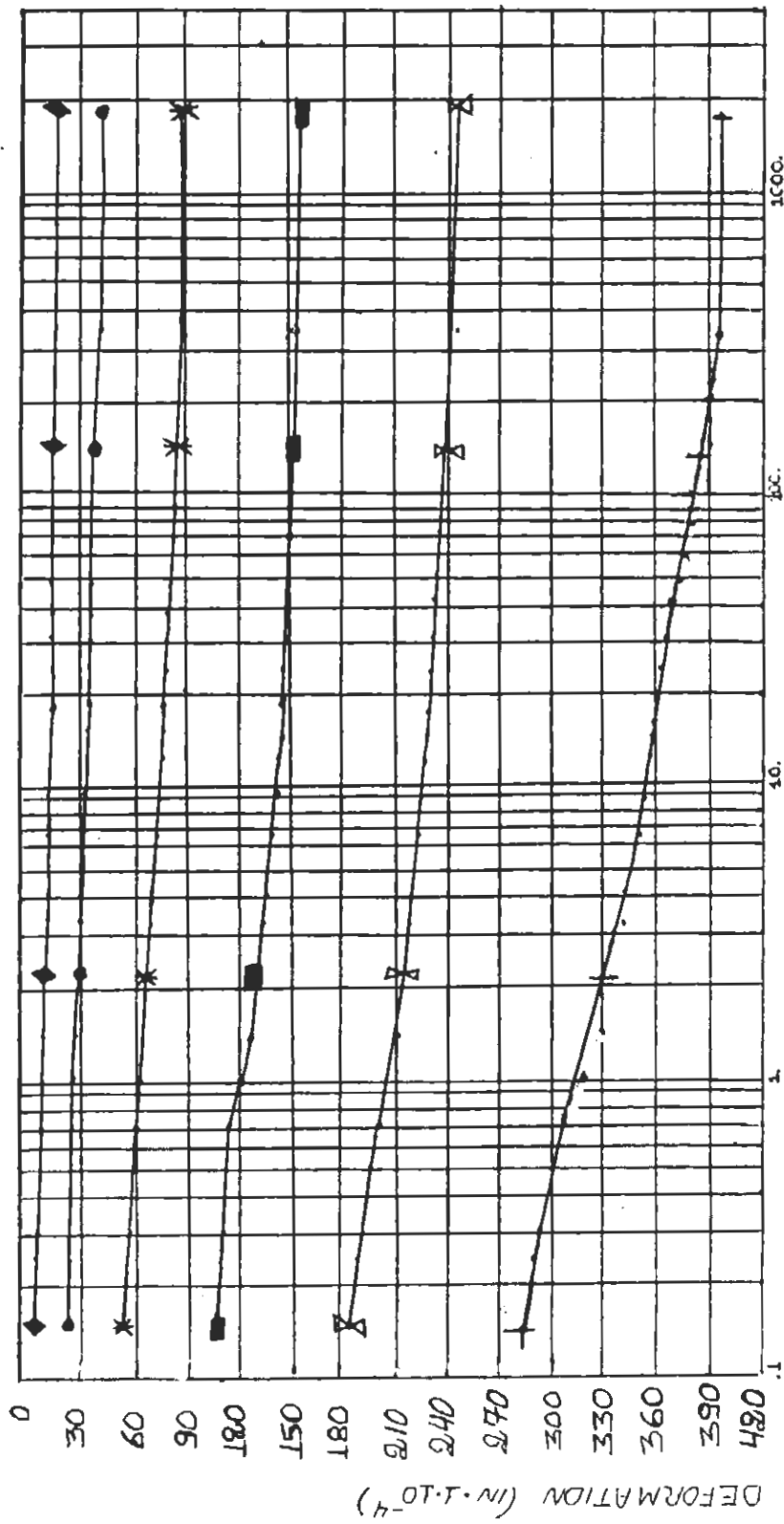


CONSOLIDATION TEST

PROJECT : Apylos, Kastavni.....  
CHARACT : .....  
BORING : ..... DEPTH : 20.2-20.8 DATE : .....

YIELD (1 \* 10E-4 IN)

	STRESS									
	.125	.250	.500	1.	2.	4.	8.	2.	.250	
0 :	0	0	16	41	87	159	247	395	336	
9" :	3	6	23	53	106	184	285	362	312	
15' :	4	7	24	55	108	188	290	359	308	
20" :	4	8	24	56	110	190	294	357	305	
40" :	4	10	25	59	113	201	308	352	297	
1' :	4	10	26	62	120	204	320	360	293	
1'30" :	4	10	28	63	125	211	330	347	286	
2'15" :	4	11	29	66	128	215	334	345	279	
3'20" :	4	12	30	69	132	218	341	343	272	
4' :	3	12	30	70	133	219	343	343	266	
6'40" :	3	12	32	72	138	224	351	341	261	
9' :	2	12	33	74	140	226	354	341	254	
12'15" :	2	15	34	75	141	227	356	341	250	
15' :	1	15	34	76	142	228	359	340	247	
16' :	1	15	34	76	142	228	359	340	246	
25' :	1	15	35	77	143	230	363	340	240	
33'20' :	1	15	35	78	145	231	365	339	238	
36' :	1	15	35	78	145	231	366	339	237	
49' :	0	14	35	79	145	233	370	339	234	
1H 6'40" :		15	36	80	147	235	375	339	233	
2H 30' :		16	36	81	149	238	390	338	222	
5H 33' :		16	40	87	157	247	395	336	222	
24H :		16	41	87	159	247	395	336	221	



PROJECT : Ruvarado Deccan			CONSOLIDATION TEST
STRESSES	SIGN	REMARK	TIME CURVES
.250	◆		
.500	●		
1.000	*		
2.000	■	62	
4.000	8		20.2 - 20.8
8.000	+		
			DATE :

CONSOLIDATION TEST  
A PRODUCTION BY MONOGIOS D. GEORGIOS ATHENS 1993

PROJECT.. ΣΥΛΥΡΓΙΟ.. ΜΕΓΑΛΙΝΑΣ.....  
CHARACT.. ΑΔΙΚΔΟΣ.. ΚΟΛΓΤΑΒΗ.....  
BORING.. G.2. DEPTH. 20.2-20.8 DATE.....

WL = 31  
WP = 12.2  
INITIAL HEIGHT H. CM = 1.905  
DIAMETER OF SAMPL. D. CM = 7.5  
AREA OF SAMPLE A. CM2 = 44.17875  
WEIGHT OF SAMPLE GR = 121.4  
SPESIFIC GRAVITY GS GR/CM3 = 2.7  
UNIT MASS γd GR/CM3 = 1.442482  
NATURAL MOISTURE W. % = 24  
NATU. VOID RATIO eo = 1.321  
DRY UNIT WEIGHT γd GR/CM3 = 1.163292  
SWELLING LOAD Q.125 KG/CM2. ....% .

STRESS	H100 CM	E	STRAIN
.25	1.90094	1.316054	.2131234
.5	1.89586	1.309864	.47979
1	1.88443	1.295938	1.07979
2	1.86715	1.274885	1.986877
4	1.84455	1.24735	3.173228
8	1.80594	1.200308	5.2
2	1.81915	1.216403	4.506562
25	1.84861	1.252296	2.960105

CC=? .15627

STRESS KG/CM2= .25                  CU CM2/SEC= 5.792488E-03  
Es      KG/CM2= 8.517727                  K CM/SEC = 6.800509E-04 . γD = 1.165776

STRESS KG/CM2= .5                  CU CM2/SEC= 1.280355E-03  
Es      KG/CM2= 16.98993                  K CM/SEC = 7.535966E-05 . γD = 1.1689

STRESS KG/CM2= 1                  CU CM2/SEC= 1.712323E-03  
Es      KG/CM2= 33.775                  K CM/SEC = 5.069793E-05 . γD = 1.17599

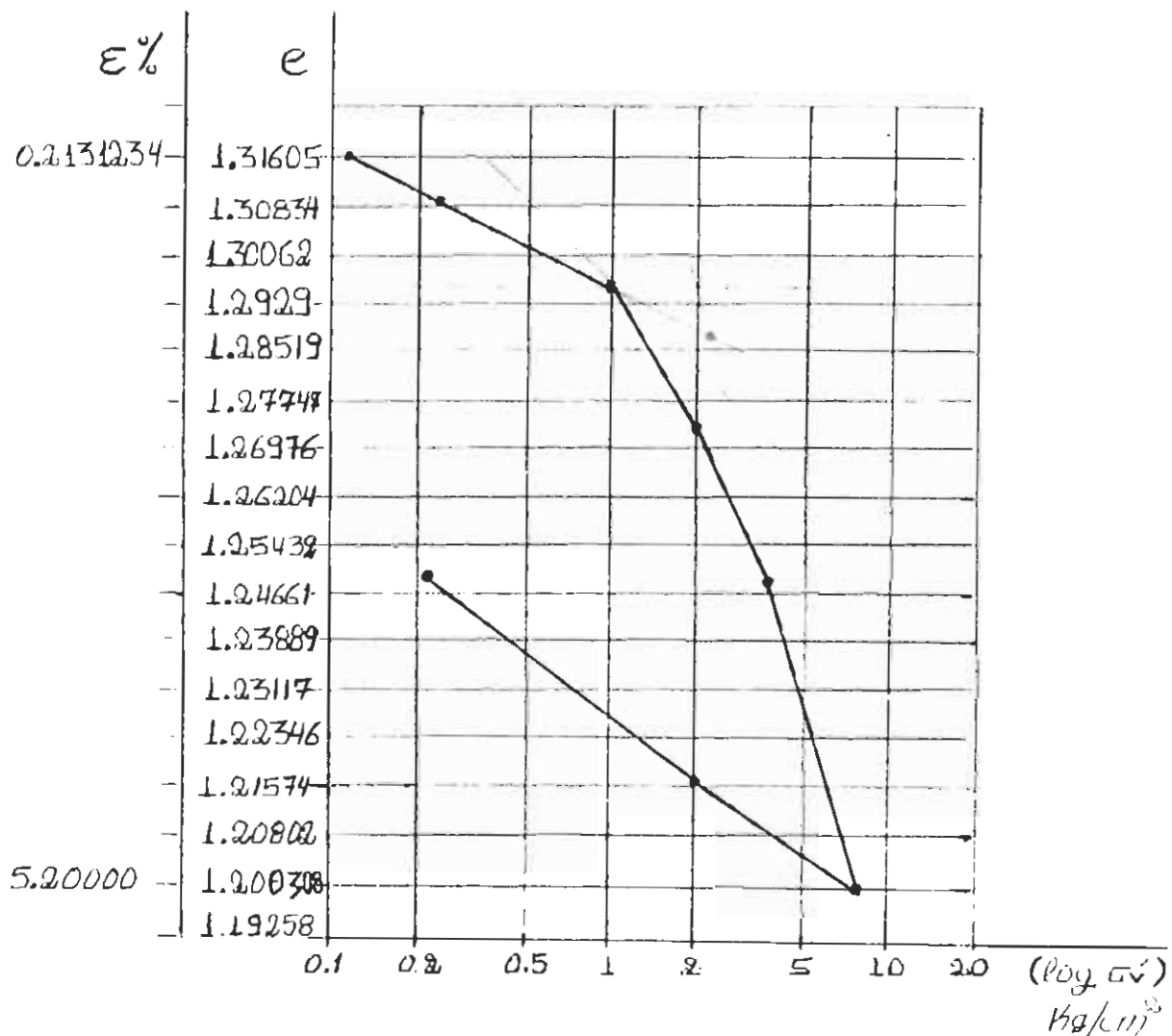
STRESS KG/CM2= 2                  CU CM2/SEC= 2.106001E-03  
Es      KG/CM2= 66.93057                  K CM/SEC = 3.146546E-05 . γD = 1.186873

STRESS KG/CM2= 4                  CU CM2/SEC= 2.998027E-03  
Es      KG/CM2= 132.2409                  K CM/SEC = 2.267095E-05 . γD = 1.201415

STRESS KG/CM2= 8                  CU CM2/SEC= 1.992248E-03  
Es      KG/CM2= 258.9456                  K CM/SEC = 7.69369E-06 . γD = 1.227101

ΓΡΑΦΙΚΗ ΠΑΡΑΣΤΑΣΗ ΤΟΥ ΔΕΙΚΤΗ ΠΟΡΩΝ ΣΥΝΑΡΤΗΣΗ ΤΗΣ ΚΑΤΑΦΟΡΥΦΗΣ ΤΑΣΗΣ

ΕΡΓΟ : ... Γιακάσσο Μεσσήνης .....  
ΓΕΩΤΡΗΣΗ : ..... 62 ..... ΒΑΘΟΣ : ..... 20.2 - 20.8 .....



ΤΑΣΗ ΠΡΟΣΤΕΡΕΟΠΟΙΗΣΗΣ  $\sigma_p = 3.0$  [KG/CM<sup>2</sup>]

ΔΕΙΚΤΗΣ ΣΥΜΠΙΕΣΤΟΤΗΤΑΣ  $C_c = 0.15627$

ATTERBERG LIMITS - PARTICLE SIZE DISTRIBUTION  
 (Όρια του Atterberg και κονκρετούκη ανάλυση)

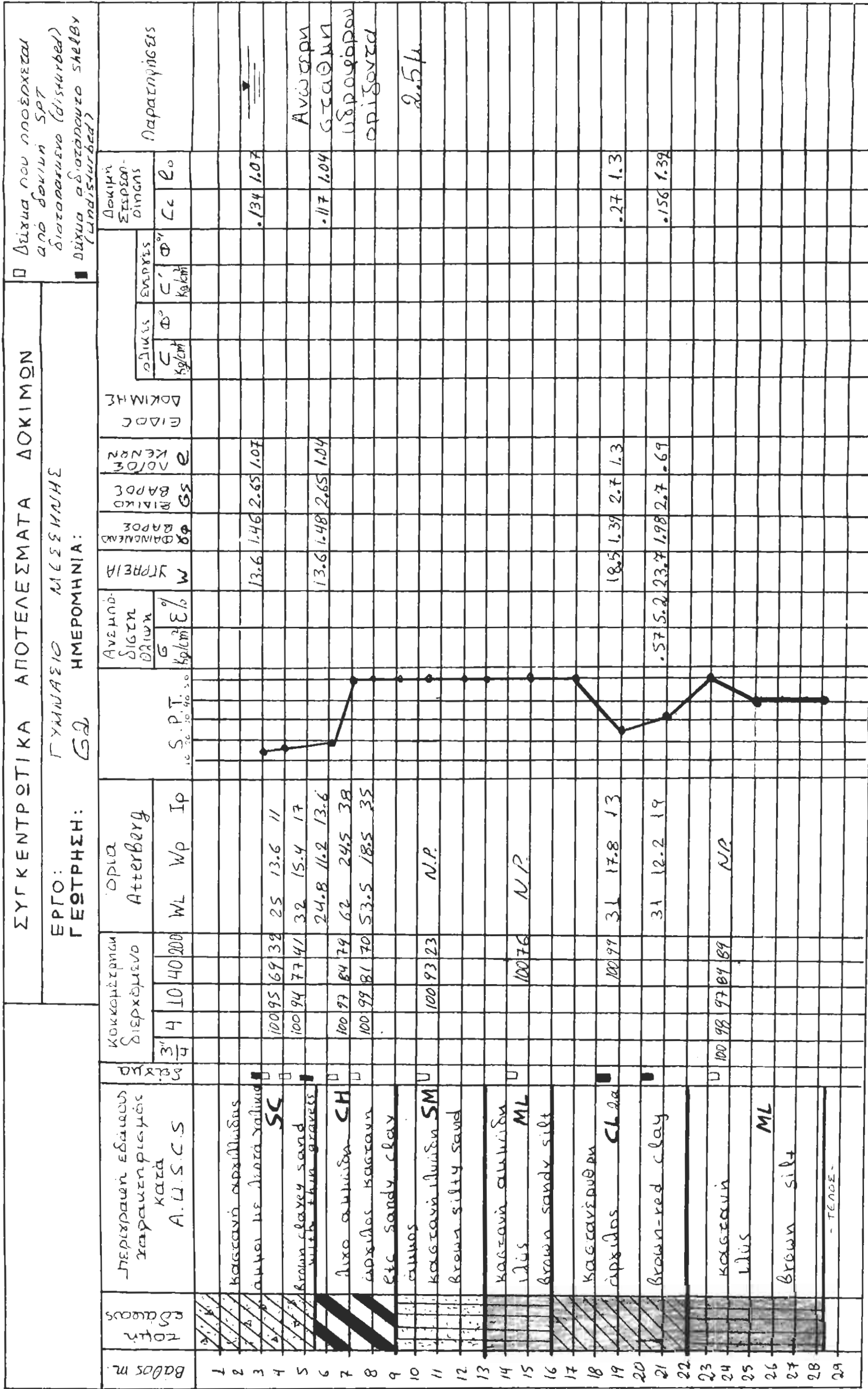
PROJECT.....GYMNAZIO...MEΣΣΗΝΗΣ.....  
 BORING.....GD.....DEPTH....23.0-23.6....DATE.....

		liquid	plastic
A EDUCATOR NUMBER (Ενόμη. Ηποδοχέα)			
B TOTAL RAP 15-35 (Συνολο κτύπων)			
C WEIGHT WET SAMPLE AND EDUC gr : (Βάρος υγρού δειγ. και ηποδ.)			
D WEIGHT DRY SAMPLE AND EDUC gr : (Βάρος ξηρού δειγ. και ηποδ.)			
E WATER WEIGHT (E-C-D) gr : (Βάρος νερού)			
F EDUCATOR WEIGHT gr : (Υποδοχέα βάρος)			
G WEIGHT OF DRY SAMPLE (D-F) gr : (Βάρος ξηρού δειγματού)			
H MOISTURE (W-E*100/G) % : (Υγρασία)			
I LIQUID LIMIT (WL-H*(B/25)) .121 : (Κύριο ουδαρότητα)		PLASTIC L. WL :	
			(Όριο πλαστ.)

PLASTIC INDEX (Ip=Wp-WL) : N. r.  
 (Δεικτής πλαστ.)

DIAMET. mm.	SIEVE κόσκινο	CONTROL ΠΡΟΕΤΑΙΝΕΝΟ	PASS	
			Σίερανση	Σίερανση
2.50	No. 5	1	500	100
4.75	No. 4	11	490	—
7.50	No. 3	2	485	—
15.00	No. 40	40	445	—
0.074	No.200	0	445	89

CLASSIFICATION OF SOILS (After A.I.C.E.P. : ML  
 (Ταξινόμηση) SILTY



- τελες -

ATTERBERG LIMITS - PARTICLE SIZE DISTRIBUTION  
(Όρια του Atterberg και κοκκωμετρική ανάλυση)

PROJECT..... GYMNAZIO... MESENHNHE.....  
BORING ..... GR. .... DEPTH.... 2.0-2.5. .... DATE.....

		liquid	plastic
A	EDUCATOR NUMBER (νούμ. υποδοχέα)	: 03	23 29
B	TOTAL RAP 15-35 (Συνολό κτύπων)	: 27	
C	WEIGHT WET SAMPLE AND EDUC (Βάρος ογρου δειγ. και υποδο.)	gr : 20	13.6 14.27
D	WEIGHT DRY SAMPLE AND EDUC (Βάρος ξηρού δειγ. και υποδο.)	gr : 16.2	13.06 13.67
E	WATER WEIGHT (Βάρος νερου)	(E=C-D) gr : 1.3	0.52 0.60
F	EDUCATOR WEIGHT (Υποδοχεα βαρος)	gr : 11.5	10.02 10.58
G	WEIGHT OF DRY SAMPLE (G=D-F) gr : 6.7		3.06 3.09
H	MOISTURE (Υγρασία)	(W=E*100/G) % : 26.85	17.00 19.40
I	LIQUID LIMIT (WL=H*(B/25)^.121): 27.10	PLASTIC L. WP: 18 (Οριο υδαρότητας)	(Οριο πλαστ.)

PLASTIC INDEX (Ip=Wp-WL) : 9 ALTO ΠΛΑΣΤΙΚΟ  
(Δεικτης πλαστ.)

DIAMET. mm	SIEVE ΚΟΚΚΙΝΩ No	CONTROL Ουχατούμενο gr	PASS διερχόμενο gr	%
9.52	5/8"			
4.75	No 4			
2.00	No 10	0	500	100
0.425	No 40	5	495	99
0.074	No 200	150	345	69

CLASSIFICATION OF SOILS (After A.U.S.C.E.); CL I  
(Ταξινόμηση) CLAY

ATTERBERG LIMITS - PARTICLE SIZE DISTRIBUTION  
 (Ωδα του Atterberg και κοκκινετρική ανάλυση)

PROJECT.....ΓΥΜΝΑΣΙΟ... ΜΕΣΣΗΝΗΣ.....  
 BORING .....63..... DEPTH....3.0-3.6..... DATE.....

		Liquid	plastic		
A	EDUCATOR NUMBER (Ινστιτ. υπόδοχεα)	: 10	001	26	
B	TOTAL RAP 15-35 (Σύνολο κτυπών)	: 22			
C	WEIGHT WET SAMPLE AND EDUC (Βάρος υγρού δειγμ. και υπόδο.)	gr : 17.2	13.85	12.97	
D	WEIGHT DRY SAMPLE AND EDUC (Βάρος ξηρού δειγμ. και υπόδο.)	gr : 15.3	12.40	12.59	
E	WATER WEIGHT (Βάρος νερού)	(E=C-D) gr : 1.9	0.45	0.38	
F	EDUCATOR WEIGHT (Υπόδοχεα βάρος)	gr : 10.0	10.21	10.00	
G	WEIGHT OF DRY SAMPLE (G=D-F) gr : 5.3	3.19	3.59		
H	MOISTURE (Υγρασία)	(W=E*100/G) % : 35.8	14.10	14.70	
I	LIQUID LIMIT (WL=H*(B/25)+121): 35.25	PLASTIC L. WP: 14.4			
		(Ισχυρότητας)	100% πλαστ.)		

PLASTIC INDEX (Ip=Wp-WL) : 21 ΠΛΑΣΤΙΚΟ  
 (Δείκτης πλαστ.)

DIAMET. mm	SIEVE ΚΟΚΚΙΝΟ	CONTROL συχρατούμενο gr	PASS διερχόμενο gr	PASS %
9.52	3/8"	0	500	100
4.75	No. 4	100	400	60
2.00	No. 10	90	310	62
0.425	No. 40	115	195	39
0.074	No.200	65	130	26

CLASSIFICATION OF SOILS (After A.I.C.S.) : SC  
 (Ταξινόμηση) CLAYEY SAND

ATTERBERG LIMITS - PARTICLE SIZE DISTRIBUTION  
 (Ορια του Atterberg και κόκκομετρη ανάλυση)

PROJECT.....ΓΥΜΝΑΣΙΟ...ΜΕΣΣΗΝΗΣ.....  
 BORING .....G3.....DEPTH....5.4~5.9.....DATE.....

		liquid	plastic		
A	EDUCATOR NUMBER (νούμ. υποδοχέα)	: 30	11	15	
B	TOTAL RAP 15-35 (Σύνολο κτύπων)	: 15			
C	WEIGHT WET SAMPLE AND EDUC gr : (Βάρος υγρού δειγ. και υποδο.)	20.1	12.14	11.76	
D	WEIGHT DRY SAMPLE AND EDUC gr : (Βάρος ξηρού δειγ. και υποδο.)	16.5	11.82	11.46	
E	WATER WEIGHT (Βάρος νερού)	(E=C-D) gr : 3.6	0.32	0.30	
F	EDUCATOR WEIGHT (Υποδοχέα βάρος)	gr : 10.65	10.22	10.10	
G	WEIGHT OF DRY SAMPLE (G=D-F) gr : (Βάρος ξηρού δειγμάτος)	5.35	1.60	1.36	
H	MOISTURE (Υγρασία)	(W=E*100/G) % : 61.54	20	22	
I	LIQUID LIMIT (WL=H*(B/25)^.121): (Οριο υδαρότητας)	58	PLASTIC L. WP: 21 (Οριο πλαστ.)		

PLASTIC INDEX (Ip=Wp-WL) : 37 ΠΛΑΣΤΙΚΟ  
 (Δεικτής πλαστ.)

DIAMET. mm	SIEVE ΚΩΣΤΙΚΟ	CONTROL συγρατούμενο gr	PASS διερχόμενο gr	%
9.52	3/8			
4.75	No 4			
2.00	No 10	0	500	100
0.425	No 40	10	490	98
0.074	No 200	15	475	95
CLASSIFICATION OF SOILS (After A.C.S.C.S.): (Ταξινόμηση)				CH CLAY

TRIAXIAL TEST  
(Τριαξιακή δοκιμή)

PROJECT ..... ΓΥΜΝΑΣΙΟ ΜΕΣΣΗΝΗΣ .....  
 BORING ..... G3.....DEPTH ... 5.4-5.9.....DATE .....  
 DESCRIPTION Αργίλος με στρώσεις λεπτές άμυνου λεπτής. Καστανή ως  
 καστανούτεφρη.

SAMPLE	TEST 1		TEST 2		TEST 3	
COEFFICIENT C	:	7.88		7.88		7.88
DIAMETER D	:	3.48 cm		3.48 cm		3.48 cm
HEIGHT H	:	7.03 cm		7.03 cm		7.03 cm
AREA $A_0$	:	9.51 cm <sup>2</sup>		9.51 cm <sup>2</sup>		9.51 cm <sup>2</sup>
$\sigma_3$	:	100.00 kpa		200.00 kpa		300.00 kpa
MOISTURE	W%	22.50		22.80		22.90
YIELD mm	READING O- RING	$\sigma_{1-\sigma_3}$ kpa	READING O- RING	$\sigma_{1-\sigma_3}$ kpa	READING O- RING	$\sigma_{1-\sigma_3}$ kpa
1.7	115.0	94.33	129.0	105.81	170.5	139.85
2.4	142.0	115.30	150.0	121.80	201.5	163.61
2.1	160.5	129.90	168.0	135.03	216.0	173.60
2.8	177.5	141.20	178.8	142.23	225.5	179.38
3.5	192.0	151.15	190.0	149.57	223.5	183.62
4.2	199.5	155.41	199.8	155.64	239.0	186.18
3.6	202.0	154.02	204.5	155.93	248.5	189.48
7.0	193.0	143.97	205.0	152.93	253.0	188.73
8.4	192.0		202.5	147.72	255.5	186.38
9.8			202.0		257.5	183.59
11.2					257.0	
12.00					256.5	
14.00						

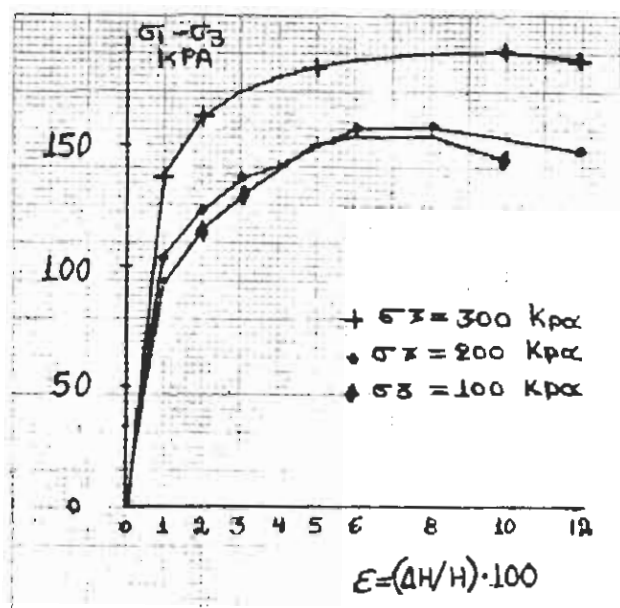
FORMULA : INITIAL DIAMETER αρχική διάμετρος :  $A_0 = 0.785 \cdot d^2$   
 STRAIN Παραμόρφωση :  $\epsilon(i) = \text{yield} / H$   
 AREA Επιφάνεια :  $A(i) = A_0 / (1 - \epsilon(i))$

$$\sigma_{1-\sigma_3} = \text{READING} \cdot C / A(i)$$

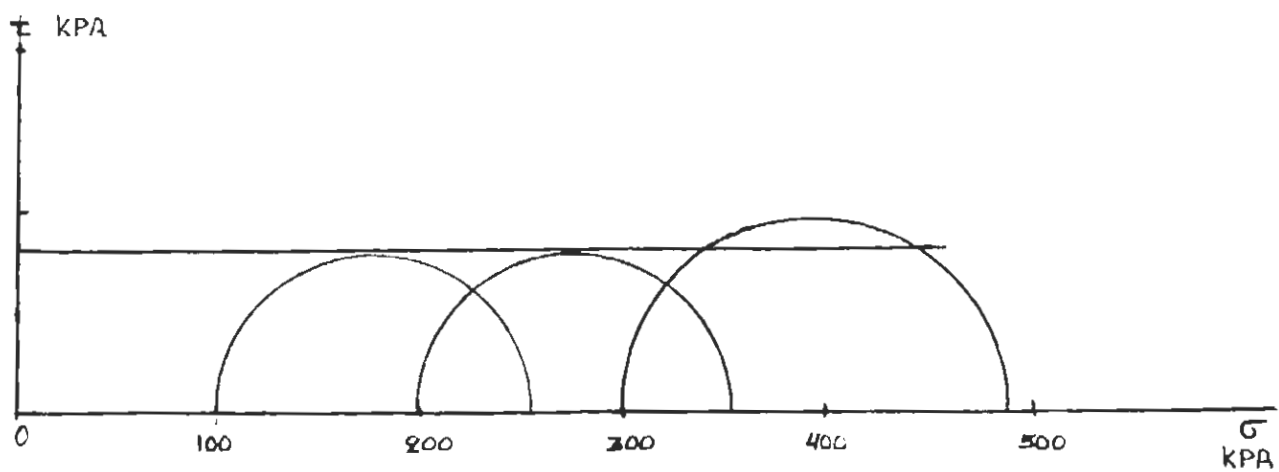
-92-

TRIAXIAL TEST  
(Τριαξιακή δοκτυπη)

PROJECT ..... Γυμνάσιο MEASUREMENTS .....  
BORING ..... G3 ..... DEPTH ..5.4-5.9..... DATE .....



SAMPLE	1	2	3
$\sigma_1 - \sigma_3$ kPa	153	156	169
$\sigma_3$ kPa	160	200	300
$\sigma_1$ kPa	253	356	469
Y4 $\tau$ / lb/in <sup>2</sup>			2.00
$c =$ 76 kPa			
$\phi =$ 0			

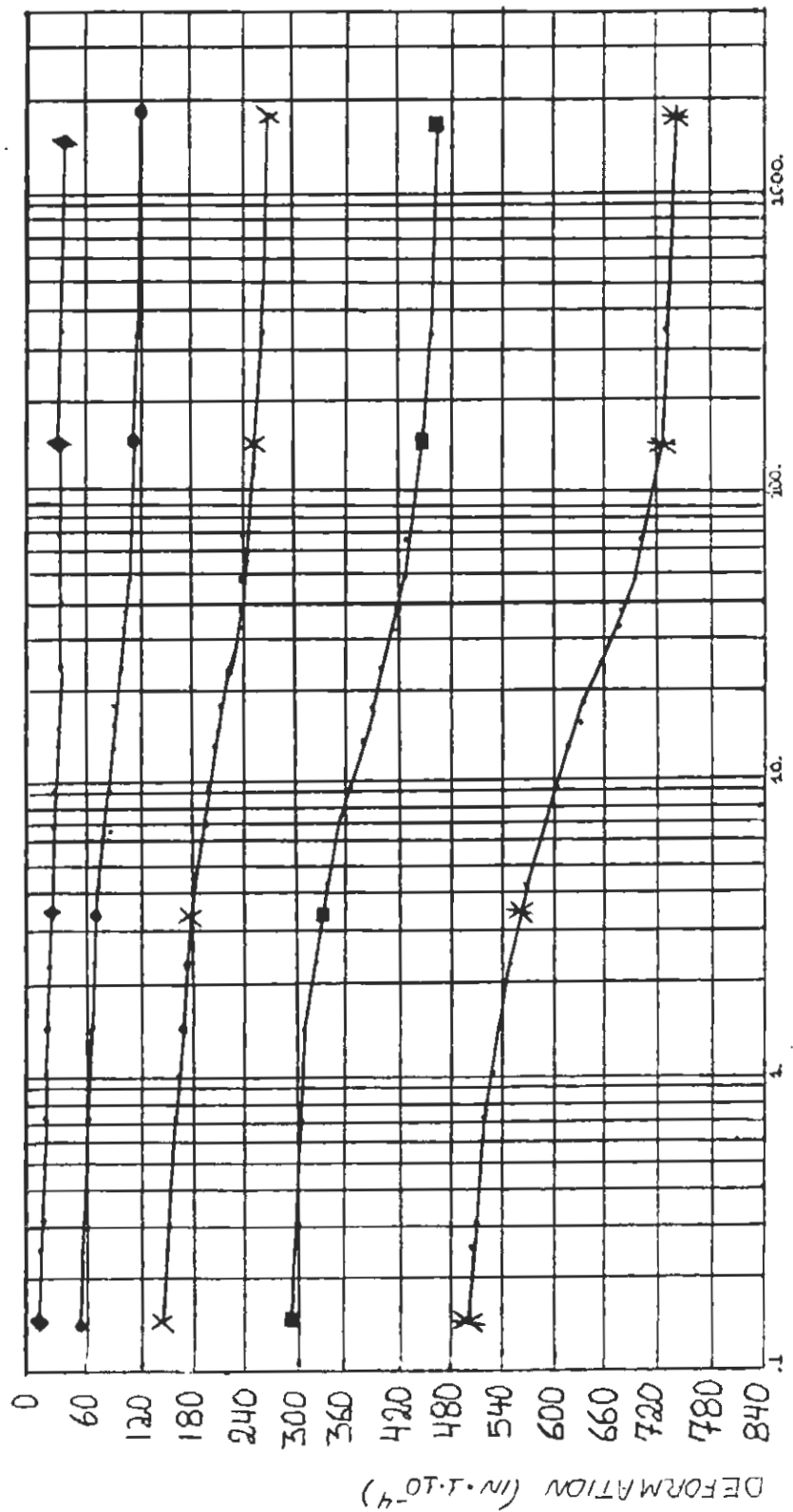


CONSOLIDATION TEST

PROJECT : *Guarajao - Megávros*,.....  
 CHARACT : *Kageayotzepan, ap. x. das*,.....  
 BORING : *G.3*,..... DEPTH : *5.4 - 5.9*, DATE : .....

YIELD (1 \* 10E-4 IN)

	STRESS									
	.250	.500	1.	2.	4.	8.	16.	4.	1.	
0 :	0	0	0	36	121	265	461	738	563	
9" :	4	13	14	53	148	293	500	693	542	
15" :	4	15	15	55	151	297	505	691	539	
20" :	4	15	16	56	153	299	508	688	538	
40' :	4	15	17	60	159	305	518	680	533	
1' :	4	15	18	63	162	311	530	676	530	
1'30" :	2	15	19	66	167	317	538	671	524	
2'15" :	2	17	22	69	171	326	547	665	518	
3'20" :	0	20	23	72	178	336	559	658	512	
4' :		20	24	74	182	341	567	655	509	
6'40" :			26	81	191	356	592	645	496	
9' :			27	84	197	367	604	637	491	
12'15" :			28	88	205	377	621	628	483	
15' :	16	29	90	210	385	633	624	477		
16' :		29	91	211	387	637	632	475		
25' :		31	99	224	400	663	609	456		
33'20" :		32	101	231	416	678	602	446		
36' :	8	32	102	233	418	679	601	441		
49' :		32	105	240	427	696	592	423		
1H 6'40" :		32	109	244	434	700	585	410		
2H 30' :	5	32	114	251	447	725	579	370		
5H 53' :		32	117	254	454	729	568	355		
24H :		36	121	265	461	738	563	345		



TIME (MIN)

CONSOLIDATION TEST		
STRESSES	SIGN	REMARK
4,000	◆	
2,000	●	
4,000	X	
8,000	■	
16,000	*	
		PROJECT : High school in Mesini (Tiruvātigai or Mesign)
		BORE HOLE : G3
		DEPTH : 5.40-5.90
		DATE :

CONSOLIDATION TEST  
A PRODUCTION BY MONOGIOS D. GEORGIOS ATHENS 1993

PROJECT... ΤΙΜΟΝΙΟ... ΗΕΓΓΙΡΥ. Σ. ....  
CHARACT ΚΩΣΤΑΝΤΙΝΟΠΟΛΗ. ΑΥΓΙΔΑΣ....  
BORING... G3.. DEPTH 5.4-5.9. DATE.....

WL = 58  
WP = 21  
INITIAL HEIGHT H. CM = 1.905  
DIAMETER OF SAMPL. D. CM = 7.5  
AREA OF SAMPLE A. CM2 = 44.17875  
WEIGHT OF SAMPLE GR = 119.6  
SPESIFIC GRAVITY GS GR/CM3 = 2.7  
UNIT MASS  $\Gamma_0$  GR/CM3 = 1.421094  
NATURAL MOISTURE W. % = 24.7  
NATU. VOID RATIO E0 = 1.369231  
DRY UNIT WEIGT  $\Gamma_D$  GR/CM3 = 1.13961  
SWELLING LOAD. 0.5. KG/CM2. ....% .

Z=1  
Z=?

STRESS	H100 CM	E	STRAIN
1	1.89687	1.35912	.4267717
2	1.87604	1.333214	1.52021
4	1.84125	1.289946	3.346457
8	1.79146	1.228022	5.960105
16	1.72085	1.140205	9.666667
4	1.75793	1.186321	7.720211
1	1.81102	1.252349	4.933333

CC=? .29172

STRESS KG/CM2= 1 CU CM2/SEC= 1.282759E-03  
Es KG/CM2= 18.59065 K CM/SEC = 6.900021E-05 ,  $\Gamma_D$  = 1.144495

STRESS KG/CM2= 2 CU CM2/SEC= 5.166573E-04  
Es KG/CM2= 36.773 K CM/SEC = 1.404991E-05 ,  $\Gamma_D$  = 1.157202

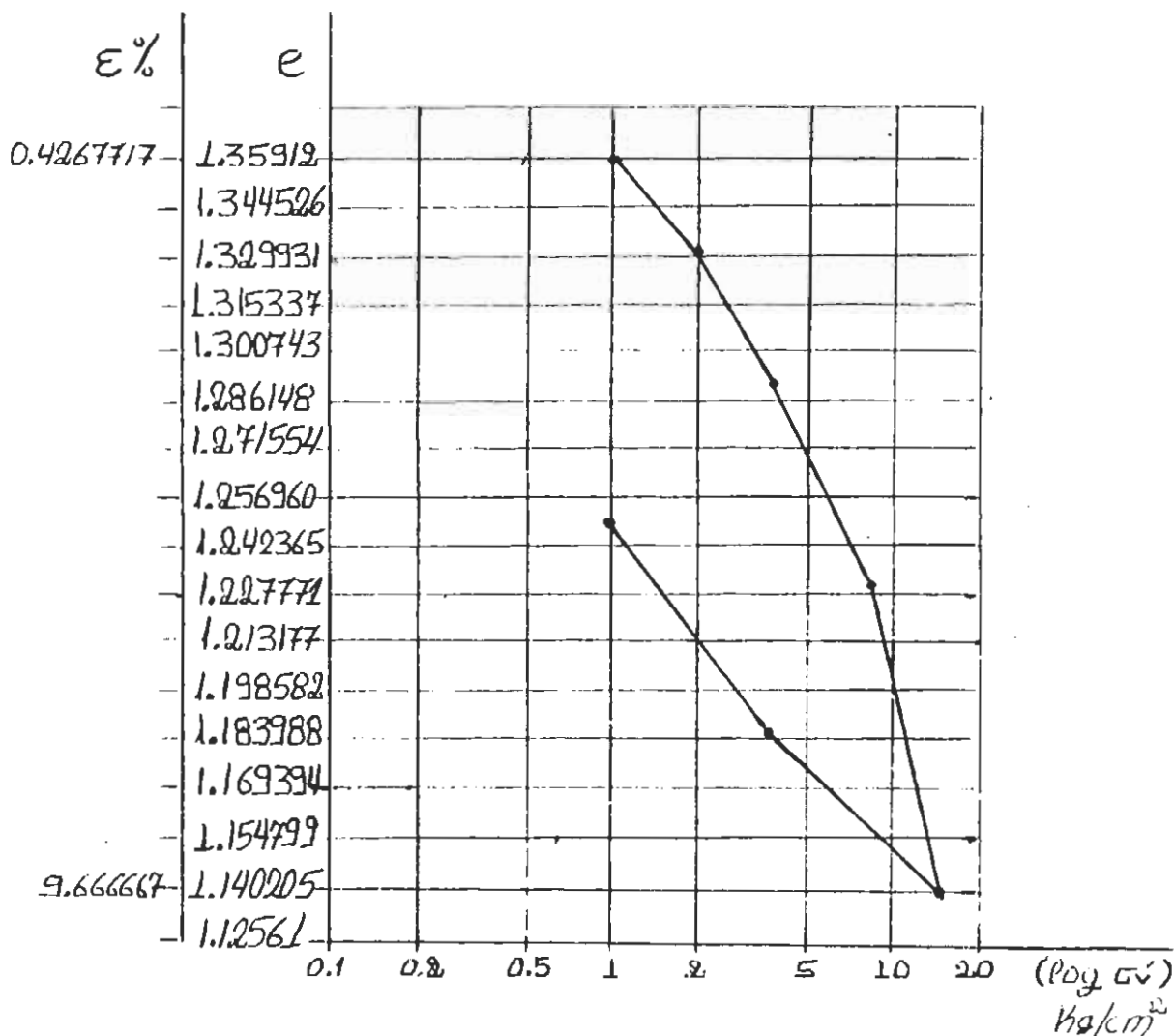
STRESS KG/CM2= 4 CU CM2/SEC= 3.443696E-04  
Es KG/CM2= 72.18213 K CM/SEC = 4.770844E-06 ,  $\Gamma_D$  = 1.179067

STRESS KG/CM2= 8 CU CM2/SEC= 3.032586E-04  
Es KG/CM2= 140.4604 K CM/SEC = 2.159032E-06 ,  $\Gamma_D$  = 1.211837

STRESS KG/CM2= 16 CU CM2/SEC= 2.72714E-04  
Es KG/CM2= 269.8485 K CM/SEC = 1.010619E-06 ,  $\Gamma_D$  = 1.261561

ΓΡΑΦΙΚΗ ΠΑΡΑΣΤΑΣΗ ΤΟΥ ΔΕΙΚΤΗ ΠΟΡΩΝ ΣΥΝΑΡΤΗΣΗ ΤΗΣ ΚΑΤΑΚΟΡΥΦΗΣ ΤΑΣΗΣ

ΕΡΓΟ : . . . Γυμνάσιο . . . . Μεσσηνίας . . . . 5.4 - 5.9 . . . .  
ΓΕΩΤΡΗΣΗ : . . . . 63 . . . . . ΒΑΘΟΣ : . . . . 5.4 - 5.9 . . . .



ΤΑΣΗ ΠΡΟΣΤΕΡΕΟΠΟΙΗΣΗΣ  $\sigma_p = 1.0$  [KG/CM<sup>2</sup>]

ΔΕΙΚΤΗΣ ΣΥΜΠΙΕΣΤΟΤΗΤΑΣ  $C_c = 0.29172$

## ATTERBERG LIMITS - PARTICLE SIZE DISTRIBUTION (Öpia tõõ Atterberg ja kokkuvetalki avālunot.)

PROJECT..... GYMNASIO.. MEZZHNHE.....  
BORING ....., 63..... DEPTH... 6.0-6.6..... DATE.....

		liquid	plastic
A	EDUCATOR NUMBER (νούμ. υποδοχέα)	:	
B	TOTAL RAP 15-35 (Σύνολο κτευπών)	:	
C	WEIGHT WET SAMPLE AND EDUC gr (Βάρος υγρού δειγ. και υποδο.)	:	
D	WEIGHT DRY SAMPLE AND EDUC gr (Βάρος ξηρού δειγ. και υποδο.)	:	
E	WATER WEIGHT (E=C-D) gr (Βάρος νερού)	:	
F	EDUCATOR WEIGHT gr (Υποδοχέα βάρος)	:	
G	WEIGHT OF DRY SAMPLE (G=D-F) gr (Βάρος ξηρού δειγμάτος)	:	
H	MOISTURE (W=E*100/G) % (Υγρασία)	:	
I	LIQUID LIMIT (WL=H*(B/25)^-1.121) (Οριό υδαρότητας)	:	PLASTIC L. WP (Οριό πλαστ.)

PLASTIC INDEX (Ip=Wp-WL) : N.F.  
(Atkins 1991.)

DIAMET. mm	SIEVE KOKILVO	CONTROL Ουγρατουμένο gr	PASS διερχόμενο gr	PASS %
9.52	3/8"			
4.75	No 4	0	500	100
2.00	No 10	2	495	99
0.425	No 40	95	400	80
0.074	No 200	290	110	32

## CLASSIFICATION OF SOILS (After A.U.S.C.S.): (Taichung)

ATTERBERG LIMITS - PARTICLE SIZE DISTRIBUTION  
(Όρια του Atterberg και κοκκουετρίκη ανάλυση)

PROJECT.....GYMNAZIO.....MEΣΖΗΝΗΣ.....  
BORING.....GE.....DEPTH....8.7-9.3.....DATE.....

		liquid	plastic		
A EDUCATOR NUMBER (νούμ. υποδοχέα)	:	07	3	9	
B TOTAL RAP 15-35 (Σύνολο κτύπων)	:	17			
C WEIGHT WET SAMPLE AND EDUC (Βάρος ογρού δειγ. και υποδο.)	gr :	19.8	12.66	12.56	
D WEIGHT DRY SAMPLE AND EDUC (Βάρος ξηρού δειγ. και υποδο.)	gr :	16.8	12.36	12.21	
E WATER WEIGHT (Βάρος νερού)	(E=C-D) gr :	3.0	0.30	0.35	
F EDUCATOR WEIGHT (Υποδοχέα Βάρος)	gr :	10.19	10.53	10.05	
G WEIGHT OF DRY SAMPLE (G=D-F) gr :	6.61	2.03	2.16		
H MOISTURE (Υγρασία)	(W=E*100/G) % :	45.37	14.80	16.2	
I LIQUID LIMIT (WL=H*(B/25)^.121):	43	PLASTIC L. WP: 15.5 (Όριο υδαρότητας)			
PLASTIC INDEX (Ip=Wp-WL) :	28	ΠΛΑΣΤΙΚΟ (Δεικτής πλαστ.)			

DIAMET. mm	SIEVE ΚΟΣΚΙΝΟ	CONTROL Ουγρασιώμενο gr	PASS διερχόμενο gr	%
9.52	3/8			
4.75	No 4	0	500	100
2.00	No 10	15	485	97
0.425	No 40	160	325	65
0.074	No 200	105	220	44

CLASSIFICATION OF SOILS (After A.U.S.C.S.);  
(Ταξινόμηση)  
CL 2b  
CLAY

TRIAXIAL TEST  
(Τριαξιακή δοκιμή)

PROJECT ..... ΓΥΜΝΑΣΙΟ ΜΕΣΖΗΝΗΣ .....  
BORING ..... G3 ..... DEPTH ..... 8.7-9.0 ..... DATE .....  
DESCRIPTION .. Αμμωδης αργιλός με λίγα γαλικιά περιστρεφτική μετώπη  
της αριστού με το βαθός. Στο πάνω μέρος κατανηθεί από  
βαθύτερο τεφρή. Λόγο ανομοιογενειας εγίνε μια νέα  
δοκιμή τριαξιακή.

SAMPLE	TEST 1	TEST 2	TEST 3			
COEFFICIENT C	: 7.88					
DIAMETER D	: 3.43					
HEIGHT H	: 7.04					
AREA $A_o$	: 9.24					
$\sigma_3$	: 100.00					
MOISTURE W%	: 17.90					
YIELD mm	READING O-RING	$\sigma_{1-\sigma_3}$ kpa	READING O-RING	$\sigma_{1-\sigma_3}$ kpa	READING O-RING	$\sigma_{1-\sigma_3}$ kpa
1.7	72.5	61.21				
1.4	89.5	74.81				
2.1	99.5	82.32				
2.8	108.0	88.44				
3.5	116.0	94.00				
4.2	122.5	98.48				
5.6	136.0	106.76				
7.0	149.5	114.82				
8.4	159.5	119.79				
9.8	169.5	124.43				
11.2	180.5	129.08				
12.00	189.0	132.33				
14.00	196.5	134.25				

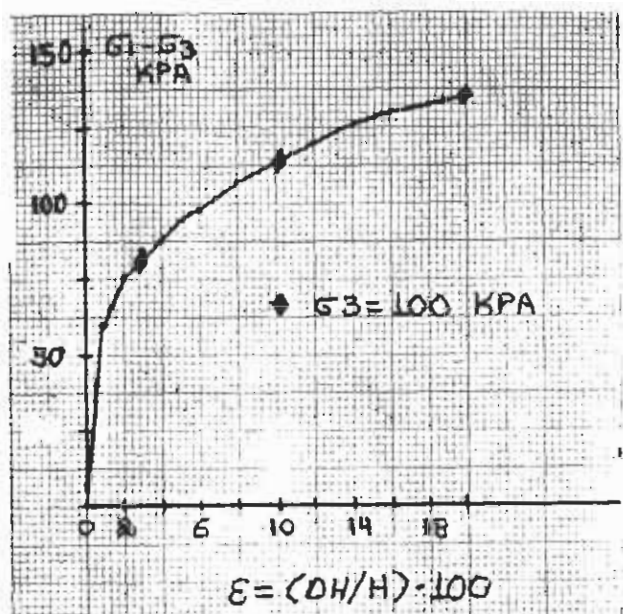
FORMULA : INITIAL DIAMETER αρχική διάμετρος :  $A_o = 0.785 \cdot d^2 \cdot z$   
 STRAIN Παραμόρφωση :  $\epsilon_{eff} = yield / H$   
 AREA Επιφάνεια :  $A_{eff} = A_o / (1 + e_{eff})$

$$\sigma_{1-\sigma_3} = reading \cdot C / A_{eff}$$

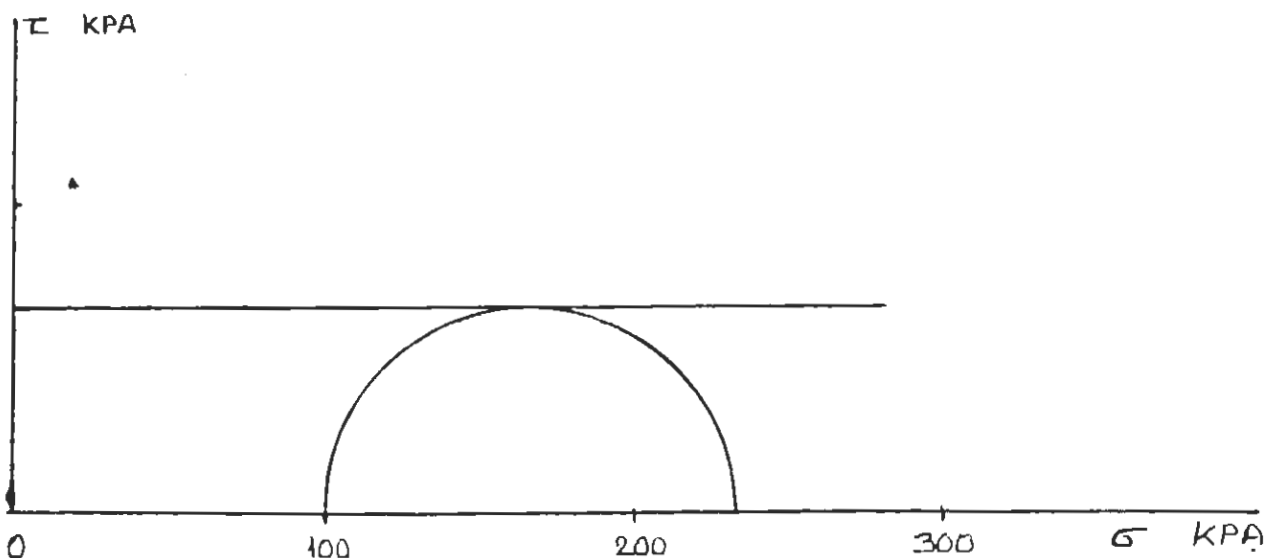
-100-

TRIAXIAL TEST  
(Τριαξιανικη δοκιμή)

PROJECT ..... Γυμνάσιο  
BORING ..... G3 ..... MEASUREMENTS .....  
DEPTH ..... 8.7-9.0 ..... DATE .....



SAMPLE	1	2	3
$\sigma_1-\sigma_3$ kpa	134		
$\sigma_3$ kpa	100		
$\sigma_1$ kpa	234		
$\gamma \phi$ t/m <sup>2</sup>		2.11	
$c$ =	67 kpa		
$\phi$ =	0		



CONSOLIDATION TEST

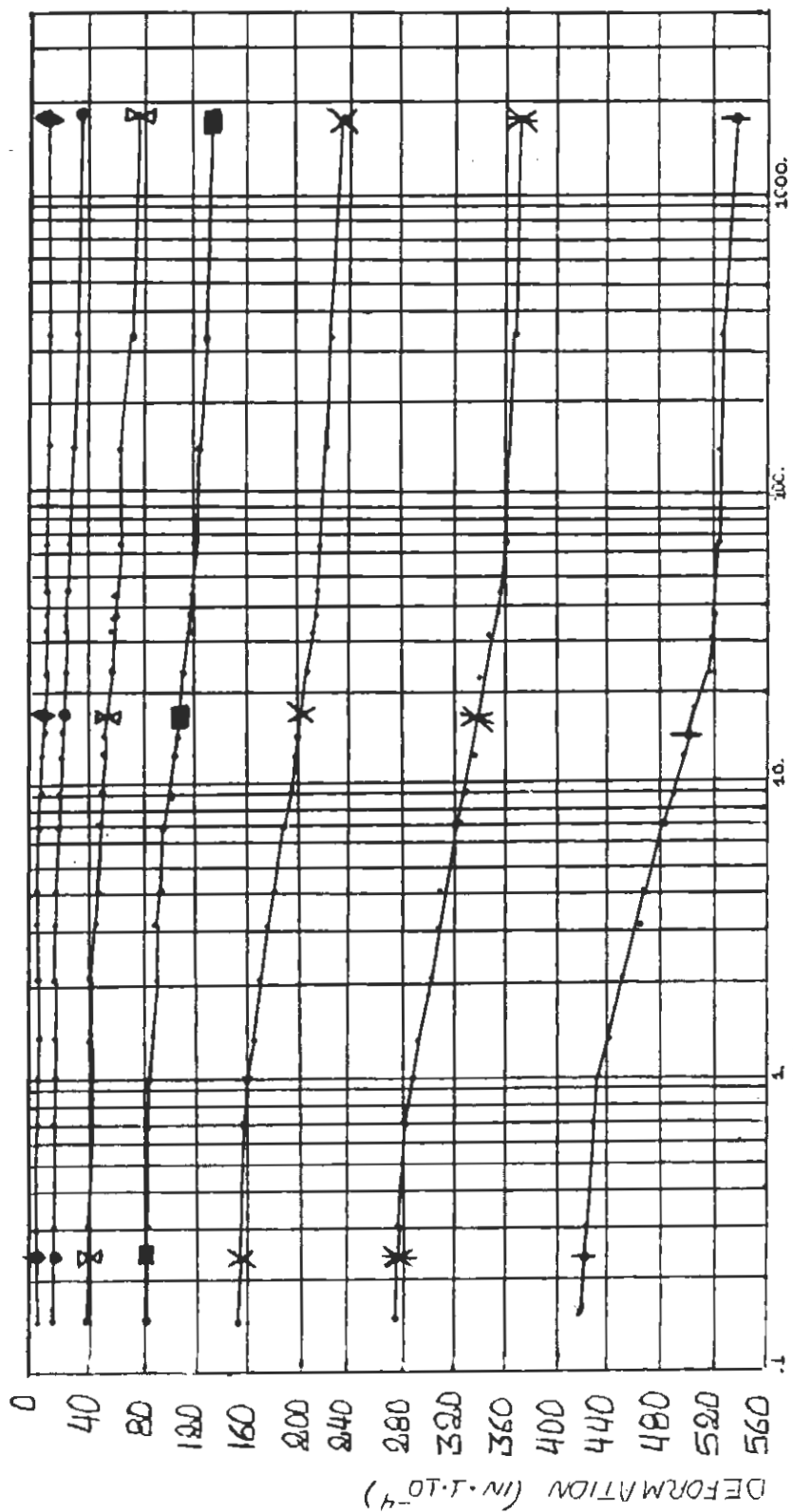
PROJECT : ...  
CHARACT : ...  
BORING : ... B3 ... DEPTH : ... 8.7-9.0 DATE : ...

YIELD (1 \* 10E-4 IN)

STRESS

: .125; .250; .500; 1. : 2. : 4. : 8. : 2. : .125;

	0	12	32	72	133	235	371	532	508
9":	4	14	37	80	153	274	418	520	486
15":	4	14	37	81	155	276	420	520	485
20":	4	15	37	82	157	278	422	520	485
40":	4	15	39	85	159	285	430	519	483
1' :	4	16	39	87	161	290	435	518	480
1'30":	5	16	40	88	165	296	444	517	478
2'15":	5	16	41	90	169	303	453	516	475
3'20":	5	17	42	93	174	308	466	515	472
4' :	5	17	43	94	179	310	467	515	470
6'40":	6	18	45	97	185	322	482	514	463
9' :	6	19	47	100	191	330	488	513	459
12'15":	7	20	49	103	197	336	498	513	453
15' :	8	20	50	105	202	340	504	512	447
16' :	8	21	50	106	204	341	506	512	446
25' :	9	22	55	110	211	352	516	512	438
33'20":	9	23	57	116	215	356	519	512	434
36' :	9	23	57	117	217	356	520	512	430
49' :	9	24	60	119	220	360	523	511	426
1H 6'40":	11	26	60	121	222	361	524	511	417
2H 30' :	12	27	62	125	225	361	525	510	403
5H 33' :	12	31	69	128	230	367	525	508	403
24H :	12	32	72	133	235	371	532	508	402



PROJECT : SURFACE MEGAMONS			CONSOLIDATION TEST	TIME CURVES
BORE HOLE :			G3	
DEPTH :	8.70 - 9.00			
DATE :				

CONSOLIDATION TEST  
A PRODUCTION BY MONOGIOS D. GEORGIOS ATHENS 1993

PROJECT.. Συντήρησης... Μεγαλύτερης... Αποθήκευσης απόρων  
CHARACT. Κορεάτης... απομόνωτης πίστας. Χαρακτηριστικά απόρων  
BORING.. G.3. DEPTH.. 8.7-9.0 DATE.....

INITIAL HEIGHT H. CM = 1.905  
DIAMETER OF SAMPL. D. CM = 7.5  
AREA OF SAMPLE A. CM<sup>2</sup> = 44.17875  
WEIGHT OF SAMPLE GR = 127.9  
SPECIFIC GRAVITY GS GR/CM<sup>3</sup> = 2.65  
UNIT MASS γ φ GR/CM<sup>3</sup> = 1.519715  
NATURAL MOISTURE W. % = 16.5  
NATU. VOID RATIO E<sub>0</sub> = 1.031467  
DRY UNIT WEIGHT γ<sub>D</sub> GR/CM<sup>3</sup> = 1.304476  
SWELLING LOAD... KG/CM<sup>2</sup>. % .

Z=1

Z=?

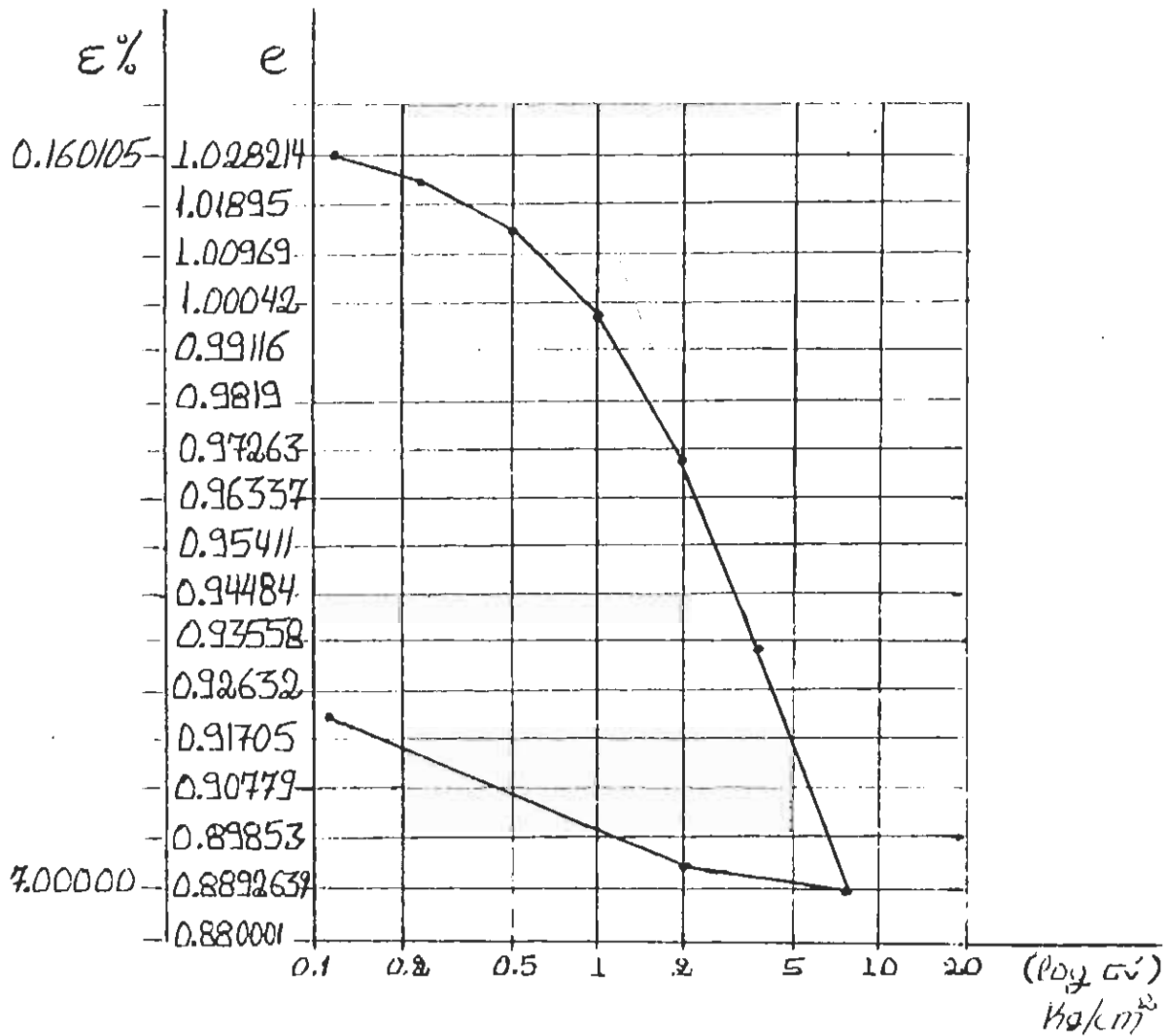
STRESS	H100 CM	E	STRAIN
.125	1.90195	1.028214	.160105
.25	1.89814	1.024151	.360105
.5	1.88925	1.014671	.8267717
1	1.87325	.9976089	1.666667
2	1.84785	.9705226	3
4	1.81331	.9336897	4.813123
8	1.77165	.8892639	7
2	1.77546	.8933269	6.8
.125	1.80264	.9223112	5.373229

CC=? .14758

STRESS KG/CM <sup>2</sup> = .125	CU CM <sup>2</sup> /SEC= 1.931357E-04
E <sub>s</sub> KG/CM <sup>2</sup> = 3.949181	K CM/SEC = 4.890525E-05 . vd = 1.306562
STRESS KG/CM <sup>2</sup> = .25	CU CM <sup>2</sup> /SEC= 1.925171E-04
E <sub>s</sub> KG/CM <sup>2</sup> = 7.88254	K CM/SEC = 2.442323E-05 . vd = 1.309191
STRESS KG/CM <sup>2</sup> = .5	CU CM <sup>2</sup> /SEC= 2.339099E-04
E <sub>s</sub> KG/CM <sup>2</sup> = 15.69124	K CM/SEC = 1.499704E-05 . vd = 1.315351
STRESS KG/CM <sup>2</sup> = 1	CU CM <sup>2</sup> /SEC= 3.140352E-04
E <sub>s</sub> KG/CM <sup>2</sup> = 31.11671	K CM/SEC = 1.009217E-05 . vd = 1.326565
STRESS KG/CM <sup>2</sup> = 2	CU CM <sup>2</sup> /SEC= 4.141527E-04
E <sub>s</sub> KG/CM <sup>2</sup> = 61.36957	K CM/SEC = 6.746303E-06 . vd = 1.344821
STRESS KG/CM <sup>2</sup> = 4	CU CM <sup>2</sup> /SEC= 5.333381E-04
E <sub>s</sub> KG/CM <sup>2</sup> = 120.4842	K CM/SEC = 4.426624E-06 . vd = 1.370457
STRESS KG/CM <sup>2</sup> = 8	CU CM <sup>2</sup> /SEC= 7.660997E-04
E <sub>s</sub> KG/CM <sup>2</sup> = 235.4322	K CM/SEC = 3.254014E-06 . vd = 1.402663

ΓΡΑΦΙΚΗ ΠΑΡΑΣΤΑΣΗ ΤΟΥ ΔΕΙΚΤΗ ΠΟΡΩΝ ΣΥΝΑΡΤΗΣΗ ΤΗΣ ΚΑΤΑΚΟΡΥΦΗΣ ΤΑΣΗΣ

ΕΡΓΟ : ... Γυμνασίο ... Μεσσήνης .....  
ΓΕΩΤΡΗΣΗ : ..... ΒΑΘΟΣ : ..... 8.7 - 9.0  
G3



ΤΑΣΗ ΠΡΟΣΤΕΡΕΟΠΟΙΗΣΗΣ  $\sigma_p = 1.6$  [KG/CM<sup>2</sup>]

ΔΕΙΚΤΗΣ ΣΥΜΠΙΕΣΤΟΤΗΤΑΣ  $C_C = 0.14758$

ATTERBERG LIMITS - PARTICLE SIZE DISTRIBUTION  
 (Όρια του Atterberg και κοκκομετρική ανάλυση)

PROJECT.....ΤΥΜΝΑΣΙΟ.....ΜΕΣΣΗΝΗΣ.....  
 BORING .....G3.....DEPTH....10.0-10.6.....DATE.....

		liquid	plastic
A	EDUCATOR NUMBER (νούμ. υπόδοχεα)	:	
B	TOTAL RAP 15-35 (Σύνολο κτυπών)	:	
C	WEIGHT WET SAMPLE AND EDUC gr (Βάρος υγρού δειγ. και υπόδο.)	:	
D	WEIGHT DRY SAMPLE AND EDUC gr (Βάρος ξηρού δειγ. και υπόδο.)	:	
E	WATER WEIGHT (E=C-D) gr (Βάρος νερού)	:	
F	EDUCATOR WEIGHT gr (Υπόδοχεα βάρος)	:	
G	WEIGHT OF DRY SAMPLE (G=D-F) gr (Βάρος ξηρού δειγματος)	:	
H	MOISTURE (W=E*100/G) % (Υγρασία)	:	
I	LIQUID LIMIT (WL=H*(B/25)^.121) (Όριο υδαρότητας)		PLASTIC L. WP: (Όριο πλαστ.)

PLASTIC INDEX (Ip=Wp-WL) : N.P.  
 (Δείκτης πλαστ.)

DIAMET. mm	SIEVE ΚΟΣΚΛΩΝ	CONTROL συγκρούενο gr	PASS διερχόμενο gr	%
9.52	3/8 "	0	500	100
4.75	No 4	5	495	99
3.00	No 10	0	495	99
0.425	No 40	10	485	97
0.074	No 200	360	125	25

CLASSIFICATION OF SOILS (After A.U.S.C.S.): SM  
 (Ταξινόμηση) SILTY SAND

ATTERBERG LIMITS - PARTICLE SIZE DISTRIBUTION  
(Όρια του Atterberg και κοκκομετρική ανάλυση)

PROJECT..... ΓΥΜΝΑΣΙΟ... ΜΕΣΣΗΝΗΣ.....  
BORING ..... G3..... DEPTH.... 17.0-17.6..... DATE.....

liquid plastic

A EDUCATOR NUMBER (νούμ. υπόδοχεα)	:	
B TOTAL RAP 15-35 (Σύνολο κτύπων)	:	
C WEIGHT WET SAMPLE AND EDUC gr : (Βάρος υγρού δειγ. και υπόδο.)		
D WEIGHT DRY SAMPLE AND EDUC gr : (Βάρος ξηρού δειγ. και υπόδο.)		
E WATER WEIGHT (E=C-D) gr : (Βάρος νερού)		
F EDUCATOR WEIGHT gr : (Υπόδοχεα βάρος)		
G WEIGHT OF DRY SAMPLE (G=D-F) gr : (Βάρος ξηρού δειγμάτος)		
H MOISTURE (W=E*100/G) % : (Υγρασία)		
I LIQUID LIMIT (WL=H*(B/25)+.121) : (Όριο υδαρότητας)		PLASTIC L. WP: (Όριο πλαστ.)

PLASTIC INDEX (Ip=Wp-WL) : N.F.  
(Δεικτης πλαστ.)

DIAMET. mm	SIEVE ΚΩΔΙΚΟΣ	CONTROL αυχαραστουμένο gr	PASS διερχόμενο gr	%
9.52	3/8"			
4.75	No 4			
2.00	No 10			
0.425	No 40	0	500	100
0.074	No 200	30	470	94

CLASSIFICATION OF SOILS (After A.U.S.C.S.): ML  
(Ταξινόμηση) SILT

ATTERBERG LIMITS - PARTICLE SIZE DISTRIBUTION  
(Όρια του Atterberg και κοκκομετρική ανάλυση)

PROJECT.....GYMNAΣΙΟ... ΜΕΣΣΗΝΗΣ.....  
BORING .....GB..... DEPTH...,18.0-18.6,... DATE.....

		liquid	plastic
A EDUCATOR NUMBER (Νομ. υποδοχέα)		:	
B TOTAL RAP 15-35 (Συνολό κτυπών)		:	
C WEIGHT WET SAMPLE AND EDUC gr (Βάρος υγρού δειγ. και υποδο.)		:	
D WEIGHT DRY SAMPLE AND EDUC gr (Βάρος ξηρού δειγ. και υποδο.)		:	
E WATER WEIGHT (E=C-D) gr (Βάρος νερού)		:	
F EDUCATOR WEIGHT (Υποδοχέα βάρος)		gr :	
G WEIGHT OF DRY SAMPLE (G=D-F) gr (Βάρος ξηρού δειγματος)		:	
H MOISTURE (W=E*100/G) % (Υγρασία)		:	
I LIQUID LIMIT (WL=H*(B/25)^.121): (Όριο υδαρότητας)		PLASTIC L. WP: (Όριο πλαστ.)	

PLASTIC INDEX (Ip=Wp-WL) : N.F.  
(Δείκτης πλαστ.)

DIAMET. mm.	SIEVE κόσκινο	CONTROL συγχρούμενο gr	PASS διερχόμενο gr	%
9.52	3/8"			
4.75	No 4			
2.00	No 10			
0.425	No 40	0	500	100
0.074	No 200	20	480	96

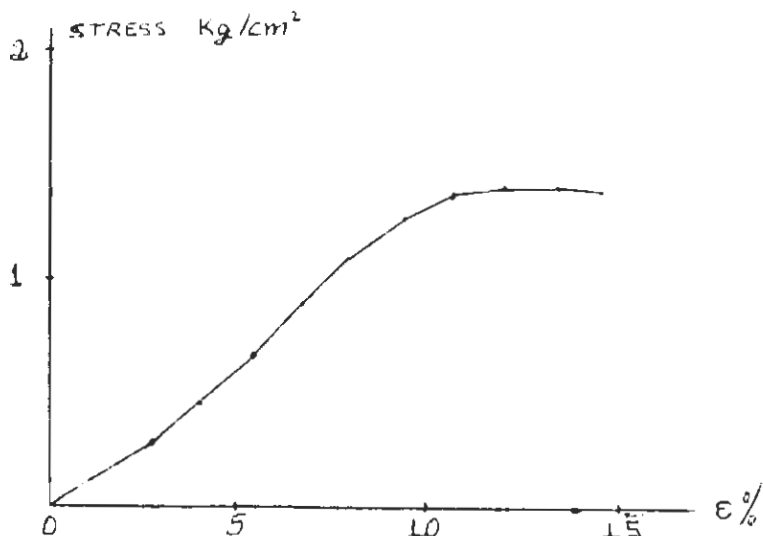
CLASSIFICATION OF SOILS (After A.U.S.C.S.): ML  
(Ταξινόμηση) SILT

UNCONFINED COMPRESSION  
(Ανευτόδιοτη Θλίψη)

PROJECT ... Γυμνάσιο Μεσσήνης .....  
BORING ... G3 ..... DEPTH ... 18.5-18.95 ..... DATE .....  
DESCRIPTION ... Ιλασ με λιγό αρχικό τεφρό .....

DIAMETER	cm :	3.58	SPESIFIC GRAVITY	tn/cm <sup>2</sup> :	2.700
	(Διαμέτρος D)		(Ειδικό Βάρος)	(Gs)	
AREA	cm <sup>2</sup> :	10.06	APPARENT WEIGHT	tn/cm <sup>2</sup> :	2.039
	(Επιφάνεια A)		(Φαινούμενο Βάρος)	(γρ)	
HEIGHT	cm (l)	7.58	DRY WEIGHT	tn/cm <sup>2</sup> :	1.615
	(Υψος)		(Ξηρό ψατν. Βάρος)	(γδ)	
COEFFICIENT	C :	.146	MOISTURE	% :	23.700
O-RING			(Υγρασία)	(w)	
			VOID RATIO	e <sub>o</sub>	:
					.670

YIELD d <sub>1</sub> mm	ε% (d <sub>1</sub> /l) * 100	READING O-RING	STRESS READING * C / AREA (σ)
1	2.32	9	.129
2	2.64	19	.268
3	3.96	32	.446
4	5.28	49	.673
5	6.60	67	.908
6	7.92	83	1.109
7	9.23	98	1.290
8	10.55	108	1.401
9	11.87	111	1.419
10	13.19	113	1.423
11	14.51	114	1.414



qc = 1.42 kg/cm<sup>2</sup>

ZΤΙΦΡΗ

E = 14.00 KG/CM<sup>2</sup>

ATTERBERG LIMITS - PARTICLE SIZE DISTRIBUTION  
(Όρια του Atterberg και κοκκομετρική ανάλυση)

PROJECT.....GYMNAZIO...MEΣΣΗΝΗΣ.....  
BORING .....GB.....DEPTH....19.8-20.4....DATE.....

		liquid	plastic	
A	EDUCATOR NUMBER (νούμ. υποδοχέα)	: 22	03	080
B	TOTAL RAP 15-35 (Σύνολο κτύπων)	: 25		
C	WEIGHT WET SAMPLE AND EDUC (Βάρος υγρού δειγ. και υπόδο.)	gr : 35.40	10.56	10.33
D	WEIGHT DRY SAMPLE AND EDUC (Βάρος ξηρού δειγ. και υπόδο.)	gr : 21.82	13.06	12.62
E	WATER WEIGHT (Βάρος νερού)	(E=C-D) gr : 3.58	0.50	0.51
F	EDUCATOR WEIGHT (Υποδοχέα Βάρος)	gr : 10.80	10.10	10.00
G	WEIGHT OF DRY SAMPLE (Βάρος ξηρού δειγμάτος)	(G=D-F) gr : 11.02	2.96	2.82
H	MOISTURE (Υγρασία)	(W=E*100/G) % : 32.50	16.89	18.09
I	LIQUID LIMIT (WL=H*(B/25)^.121): 32.5	PLASTIC L. WF: 17.5 (Όριο υδαρότητας)	(Όριο πλαστ.)	

PLASTIC INDEX (Ip-Wp-WL) : 15 ΛΙΓΟ ΠΛΑΣΤΙΚΟ  
(Δεξικτής πλαστ.)

DIAMET. mm	SIEVE ΚΟΣΚΙΛΟ	CONTROL συχρητούμενο gr	PASS διερχόμενο gr	%
9.52	3/8"			
4.75	No 4			
2.00	No 10	0	500	100
0.425	No 40	5	495	99
0.074	No 200	5	490	98

CLASSIFICATION OF SOILS (After A.U.S.C.S.); CL. 2a  
(Ταξινόμηση) CLAY

TRIAXIAL TEST  
(Τριαξιακή δοκιμή)

PROJECT ..... ΓΥΜΝΑΣΙΟ ΜΕΣΣΗΝΗΣ.....  
 BORING ..G3.....DEPTH ...20.4-21.0.....DATE .....  
 DESCRIPTION Ιλυώδης αργιλός τεφρή ως τεφρομέλανη με λίγα λεπτά  
 χαλικιά.

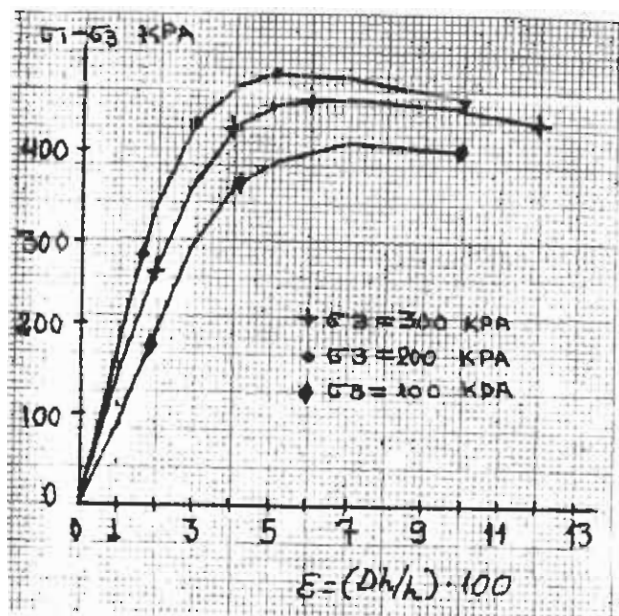
SAMPLE	: TEST 1	TEST 2	TEST3			
COEFFICIENT	C : 7.88	7.88	7.88			
DIA METER	D : 3.48	3.48	3.48			
HEIGHT	H : 7.03	7.03	7.03			
AREA	A <sub>o</sub> : 9.51	9.51	9.51			
σ <sub>3</sub>	: 100.00	200.00	300.00			
MOISTURE	W% : 24.10	23.20	23.20			
YIELD mm	READING O- RING	σ <sub>1-σ<sub>3</sub></sub> kpa	READING O- RING	σ <sub>1-σ<sub>3</sub></sub> kpa	READING O- RING	σ <sub>1-σ<sub>3</sub></sub> kpa
.7	112.0	91.86	227.0	186.19	176.0	144.36
1.4	236.0	191.63	400.0	324.79	309.0	250.90
2.1	360.0	289.34	522.0	419.54	437.0	351.23
2.8	435.0	346.03	570.0	453.42	516.0	410.46
3.5	470.0	370.00	590.0	464.46	551.0	433.76
4.2	490.0	381.70	600.5	467.78	567.0	441.68
5.0	508.0	390.93	607.0	467.12	577.0	444.03
7.0	519.5	387.54	590.5	440.50	577.5	430.80
8.4	519.0		582.0		575.5	419.82
9.8						
11.2						
12.00						
14.00						

FORMULA : INITIAL DIAMETER αρχική διάμετρος : A<sub>o</sub> = 0.785 \* d<sup>2</sup>  
 STRAIN Παραμόρφωση : ε(i) = yield / H  
 AREA Επιφάνεια : A(i) = A<sub>o</sub> / (1 - ε(i))

$$\sigma_{1-\sigma_3} = \text{READING} * C / A(i)$$

TRIAXIAL TEST  
(Τριαξιακή δοκιμή)

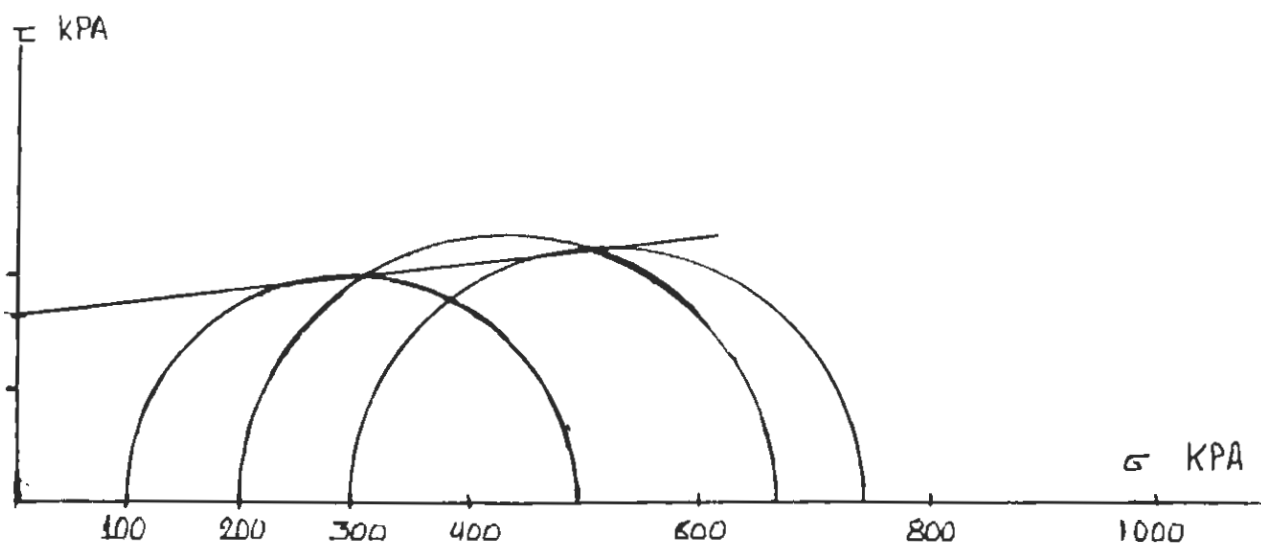
PROJECT ..... Γυμνάσιο ..... MEASUREMENTS .....  
BORING ..... G3 ..... DEPTH .. 20.4-21.0 ..... DATE .....



SAMPLE	1	2	3
$\sigma_1-\sigma_3$ kPa	391	468	444
$\sigma_3$ kPa	100	200	300
$\sigma_1$ kPa	491	668	744

$\gamma\varphi$        $\tau / \text{m}^2$       2.05

$c =$       160 kPa  
 $\varphi =$       7



ATTERBERG LIMITS - PARTICLE SIZE DISTRIBUTION  
(Όρια του Atterberg και κοκκομετρική ανάλυση)

PROJECT.....ΓΥΜΝΑΣΙΟ.....ΜΕΣΣΗΝΗΣ.....  
BORING .....G3.....DEPTH....24.0-24.5.....DATE.....

		liquid	plastic
A	EDUCATOR NUMBER (νούμ. υποδοχέα)	:	
B	TOTAL RAP 15-35 (Σύνολο κτυπών)	:	
C	WEIGHT WET SAMPLE AND EDUC gr : (Βάρος υγρού δειγ. και υποδο.)		
D	WEIGHT DRY SAMPLE AND EDUC gr : (Βάρος ξηρού δειγ. και υποδο.)		
E	WATER WEIGHT (E=C-D) gr : (Βάρος νερού)		
F	EDUCATOR WEIGHT (Υποδοχέα Βάρος)	gr :	
G	WEIGHT OF DRY SAMPLE (G=D-F) gr : (Βάρος ξηρού δειγματος)		
H	MOISTURE (W=E*100/G) % : (Υγρασία)		
I	LIQUID LIMIT (WL=H*(B/25)^.121) : (Όριο υδαρότητας)		PLASTIC L. WP: (Όριο πλαστ.)

PLASTIC INDEX (Ip=Wp-WL) : N.P.  
(Δεικτής πλαστ.)

DIAMET.	SIEVE ΚΟΣΚΙΝΟ	CONTROL Ουγρατούμενο gr	PASS διερχόμενο gr	%
9.52	3/8"			
4.75	No 4			
2.00	No 10			
0.425	No 40	0	500	100
0.074	No 200	45	455	91

CLASSIFICATION OF SOILS (After A.D.S.C.S.): ML  
(Ταξινόμηση) SILT

ΣΥΓΚΕΝΤΡΩΤΙΚΑ ΑΠΟΤΕΛΕΣΜΑΤΑ ΔΟΚΙΜΩΝ

1  
二  
四  
一

ΥΠΟΛΟΓΙΣΜΟΣ ΕΔΑΦΙΚΩΝ ΠΑΡΑΜΕΤΡΩΝ ΓΙΑ ΚΑΘΕ ΣΤΡΩΣΗ

ΓΕΩΤΡΗΣΗ Γ1 ΣΤΡΩΣΗ Α

Στην αρχή της γεωτρησης (Γ1) και μέχρι το βάθος των (4 μέτρων) υπάρχει η στρώση της ανοικτοκάστανης αργιλλώδους άμμου που βρίσκεται πάνω από τον υδροφόρο. Το υλικό αυτό καλύπτει το μεγαλύτερο μέρος της επιφάνειας του οικοπέδου.

Τα χαρακτηριστικά της στρώσης αυτής είναι:  
N = 30 (κτύποι/30cm. Δοκιμή SPT).

Οι παράμετροι υπολογίζονται ως εξής:  
Μέτρο συμπίεσης Es=3.33\*(N+5)=117 [tn/ft<sup>2</sup>] = 125 [kg/cm<sup>2</sup>] (κατά Webb, για άμμο με αργιλο).

Δυναμικό μέτρο διάτυπης Go=us<sup>2</sup>\*ρ  
Ταχύτητα διατυπικών κυμάτων us=19\*(N)^0.61= 151 [m/sec]  
ρ=γφ/g=14.7/9.81=1.5 [KN/M3]. Go=151^2\*1.5=34202 [KN/M2]  
Go=342 [kg/cm<sup>2</sup>]

Μέτρο ελαστικότητας δυναμικό Eo=Go\*(v+1)  
v=poisson=0.27 Eo=342\*2\*(0.27+1)=869

Η στρώση αυτή είναι όμοια με την Α της Γ2 και από αυτή μπορούμε να πάρουμε το δείκτη πλαστικότητας Ip=14.

Γωνία εσωτερικής τριβής tanφ=0.58-0.0045\*Ip, φ=27  
θλιπτική αντοχή qu=0.013\*N\*10=3.9 [kg/cm<sup>2</sup>]  
Συνοχή cu=tan(45-φ/2)\*qu/2=1.19

Κτύποι / 30 cm	=> N = 30
δείκτης πλαστικότητας	=> Ip=14
Μέτρο συμπίεσης	=> Es=125 [kg/cm <sup>2</sup> ]
φαινόμενο ειδικό Βάρος	=> γφ=1.47 [tn/m <sup>3</sup> ]
θλιπτική αντοχή	=> qu=3.9 [kg/cm <sup>2</sup> ]
συνοχή	=> c =1.19 [kg/cm <sup>2</sup> ]
γωνία τριβής	=> φ =27
poisson ratio	=> v =0.27
μέτρο διάτυπης δυναμ.	=> Go=342 [kg/cm <sup>2</sup> ]
μέτρο ελαστικότητας	=> Eo=869 [kg/cm <sup>2</sup> ]

Το έδαφος αυτό είναι τύπου SC. CEUSA, είναι καλό υλικό για θεμελίωση όταν δεν υπόκεινται σε παγετό. Εχει μέτρια διογκωσιμότητα και πολύ μικρή διαπερατότητα.

ΓΕΩΤΡΗΣΗ ΓΙ ΣΤΡΩΣΗ Β

Η δεύτερη κατά σειρά στρώση είναι μια αμμώδη καστανή άργιλος κάτω από τον υδροφόρο. Η στρώση αυτή αρχίζει σε βάθος (4 μέτρων) και το τέλος της παρουσιάζεται στα (6,2) έχει δηλαδή πάχος (2.2 μέτρα).

Τα χαρακτηριστικά της στρώσης αυτής είναι:  $N = 50$  (κτύποι/30cm. Δοκιμή SPT). Οι κτύποι ίμως έγιναν κάτω από τον υδροφόρο, άρα θέλουν διόρθωση.  $N' = 15 + 0.5 * (N - 15)$ , με  $N = 50$  το  $N' = 32$

Η δοκιμή ανεμπόδιστης θλίψης έδωσε τάση θραύσης  $\sigma = 3.0$  [kg/cm<sup>2</sup>] με παραμόρφωση  $\epsilon = 6.4\%$ , φαινόμενο ειδικό βάρος  $\gamma_f = 1.98$  [tn/m<sup>3</sup>]. δείκτη πόρων  $e = 0.75$ , μέτρο ελαστικότητας  $E = 60$  [Kg/cm<sup>2</sup>].

Ο δείκτης πλαστικότητας είναι ίδος με  $I_p = 43$ . Και το δότο υδαρότητας  $LL = WL = 20$ .

Οι παράμετροι υπολογίζονται ως εξεις:  
 Δυναμικό μέτρο διάτυπης  $G_o = us^2 \rho$   
 Ταχύτητα διατυπικών κυμάτων  $us = 19^*(N')^{0.61} = 157$  [m/sec]  
 $\rho = \gamma_f / g = 19.8 / 9.81 = 2.02$  [KN/M<sup>3</sup>]  $G_o = 157^*2^*2.02 = 49791$  [KN/M<sup>2</sup>]  
 $G_o = 498$  [kg/cm<sup>2</sup>]

Μέτρο ελαστικότητας δυναμικό  $E_o = G_o^2(v+1)$   
 $v = poisson = 0.40$   $E_o = 498^*2^*(0.40+1) = 1394$

Η στρώση αυτή είναι όμοια με την Γ της Γ3 (ως προς τα SPT, Atterberg κοκκομετρική, η Γ της Γ3 ίμως είναι πιο συμπιεστή αφού έχει μεγαλύτερο δείκτη πόρων είτε μπορούμε να πάρουμε τα χαρακτηριστικά συμπιεστότητας της Γ Γ3 αντί να τα υπολογίσουμε από εμπειρική σχέση). Από τη Γ Γ3 λαμβάνουμε και τη διατυπική αντοχή, σ και ψ.

Κτύποι / 30 cm	$\Rightarrow N = 50$	$N' = 32$
δείκτης πλαστικότητας	$\Rightarrow I_p = 43$	
Μέτρο ελαστικότητας	$\Rightarrow E = 60$	[kg/cm <sup>2</sup> ]
φαινόμενο ειδικό βάρος	$\Rightarrow \gamma_f = 1.98$	[tn/m <sup>3</sup> ]
θλιπτική αντοχή	$\Rightarrow qu = 3$	[kg/cm <sup>2</sup> ]
συνοχή	$\Rightarrow c = 0.78$	[kg/cm <sup>2</sup> ]
γωνία τριβής	$\Rightarrow \phi = 0$	
poisson ratio	$\Rightarrow v = 0.4$	
μέτρο διάτυπης δυναμ.	$\Rightarrow G_o = 498$	[kg/cm <sup>2</sup> ]
μέτρο ελαστικότητας	$\Rightarrow E_o = 1394$	[kg/cm <sup>2</sup> ]

$\sigma'$	1	2	4	8	16
$E_s$	19	37	72	140	270
$c_v$	$= 1.3E-3$	$5.2E-4$	$3.4E-4$	$3E-4$	$2.7E-4$
Τάση διόργκωσης	0.5	[kg/cm <sup>2</sup> ]		$C_c = 0.292$	
Τάση προστε/ης	1.0	[kg/cm <sup>2</sup> ]		$c = 0.75$	

Το έδαφος αυτό είναι τύπου CH, CEUSA, είναι μέτοιο υλικό θεμελίωσης σταν δεν υπόκεινται σε παγετό. Εχει πολύ μικρή διαπερατότητα.

ΓΕΩΤΡΗΣΗ	Γ1	ΣΤΡΩΣΗ	Γ
----------	----	--------	---

Η τρίτη κατά σειρά στρώση είναι μια καστανή ιλυώδη άμμος κάτω από τον υδροφόρο. Η στρώση αυτή αρχίζει σε βάθος (6.2 μέτρων) και το τέλος της παρουσιάζεται στα (16) έχει δηλαδή πάχος (9.8 μέτρα).

Τα χαρακτηριστικά της στρώσης αυτής είναι:  $N = (4*50+30)/5=46$  (κτύποι/30cm. Δεκιμή SPT). Οι κτύποι άμμων έγιναν κάτω από τον υδροφόρο, άρα θέλουν διόρθωση.  $N' = 15 + 0.5 * (N-15)$ , με  $N=46$  το  $N'=31$ . Το υλικό είναι μη πλαστικό (N.P.).

Οι παραμετροί υπολογίζονται ως εξής: Μέτρο συμπίεσης  $E_s=a+c*(N'+6)=128$  και 170 (Τάσσιος Αναγνωστόπουλος, με  $N' > 15$  το  $a=40$  και το  $c=3.5$  για λεπτή άμμος).  $E_s=(128+170)/2=149$  [kg/cm<sup>2</sup>].

Το μη συνεκτικό ( $I_p=0 \Rightarrow c=0$ ) αυτό υλικό έχει με βάση εμπειρικά σχήματα, για  $N'=31$   $D_r=65\%$   $\varphi=36$ .

Δυναμικό μέτρο διάτμησης  $G_o=us^{1/2} \cdot o$   
 Ταχύτητα διάτυπης κυμάτων  $us=19*(N')^{1/0.61}=154$  [m/sec]  
 $\rho=\gamma\varphi/g=20.9/9.81=2.13$  [KN/m<sup>3</sup>]  $G_o=154^{1/2} \cdot 2.13=50526$  [KN/m<sup>2</sup>]  
 $G_o=505$  [kg/cm<sup>2</sup>]

Μέτρο ελαστικότητας δυναμικό  $E_o=G_o^{1/2}(v+1)$   
 $v=poisson=0.33$   $E_o=505^{1/2}*(0.33+1)=1344$

Η στρώση αυτή είναι ίδια με την Δ και Ζ της Γ3 αλλά και τη Γ της Γ2 (ως προς τα SPT, Atterberg, κοκκουετρική).

Κτύποι / 30 cm	$\Rightarrow N=46$	$N'=31$
δείκτης πλαστικότητας	$\Rightarrow I_p=0$	
ψαινόμενο είδικό Βάρος	$\Rightarrow \gamma\varphi=2.09$ [tn/m <sup>3</sup> ]	
συνοχή	$\Rightarrow c=0$	
γωνία τοιβής	$\Rightarrow \varphi=36$	
poisson ratio	$\Rightarrow v=0.33$	
μέτρο διάτυπης δυναμ.	$\Rightarrow G_o=505$ [kg/cm <sup>2</sup> ]	
μέτρο ελασ/ητας δυναμ.	$\Rightarrow E_o=1344$ [kg/cm <sup>2</sup> ]	

Το έδαφος αυτό είναι τύπου SM, CEUSA, είναι καλό υλικό θεμελιώσης όταν δεν υπόκεινται σε παγετό. Η διογκωσιμότητά του είναι ελάχιστη. Και έχει μέτρια διαπερατότητα.

ΓΕΩΤΡΗΣΗ Γ1 ΣΤΡΩΣΗ Δ

Η τέταρτη κατά σειρά στρώση είναι μια καστανή αργιλός κάτω από τον υδροφόρο. Η στρώση αυτή αρχίζει σε Βάθος (16 μέτρων) και το τέλος της παρουσιάζεται στα (18.5) έχει δηλαδή πάχος (2.5 μέτρα).

Τα χαρακτηριστικά της στρώσης αυτής είναι:  $N=35+30/2=33$  (κτύποι/30cm. Δοκιμή SPT). Οι κτύποι όμως έγιναν κάτω από τον υδροφόρο, άρα θέλουν διόρθωση.  $N'=15+0.5*(N-15)$ , με  $N=33$  το  $N'=24$ . Η δοκιμή ανεμπόδιστης θλιψης έδωσε τάση θραύσης  $\sigma=0.57$  με παραμόρφωση 5.2%, φαινόμενο ειδικό βάρος  $\gamma_f=(1.98+1.39)/2=1.70$  [ $\text{tn/m}^3$ ]. Λόγο κενών  $e=1.3$  (ως δυσμενέστερο).

Η στοώση αυτή είναι όμοια με την Ε της Γ2 (ως προς τα SPT, Atterberg, κοκκομετρική). Από τη τελευταία πατρούμε τα στοιχεία συμπλεστότητας.

Οι παραμετροί υπολογίζονται ως εξής:  
Η γωνία εσωτερικής τριβής  $\tan\phi=0.58-0.0045*I_p$ ,  $\phi=27$   
Η συνοχή (όπου  $qu=\alpha \text{ανεμπόδι. Θλιψης αντοχή}$ )  $c=\tan\phi(45-\phi/2)*qu/2=0.17$  [ $\text{kg/cm}^2$ ].

Δυναμικό μέτρο διάτυπης  $G_o=us^2*\rho$   
Ταχύτητα διάτυπης κυμάτων  $us=19*(N')^{0.61}=132$  [ $\text{m/sec}$ ]  
 $\rho=\gamma_f/g=17/9.81=1.73$  [ $\text{KN/M}^3$ ]  $G_o=132^2*1.73=30195$  [ $\text{KN/M}^2$ ]  
 $G_o=302$  [ $\text{kg/cm}^2$ ]  
Μέτρο ελαστικότητας δυναμικό  $E_o=G_o*(v+1)$   
 $v=poisson=0.40$   $E_o=302*2*(0.40+1)=846$

Κτύποι / 30 cm	$\Rightarrow N = 33$	$N' = 24$
δείκτης πλαστικότητας	$\Rightarrow I_p=16$	
φαινόμενο ειδικό βάρος	$\Rightarrow \gamma_f=1.70$ [ $\text{tn/m}^3$ ]	
συνοχή	$\Rightarrow c = 0.17$ [ $\text{kg/cm}^2$ ]	
γωνία τριβής	$\Rightarrow \phi = 27$	
μέτρο ελαστικότητας	$\Rightarrow E = 14$ [ $\text{kg/cm}^2$ ]	
θλιπτική αντοχή	$\Rightarrow qu=0.57$ [ $\text{kg/cm}^2$ ]	
poisson ratio	$\Rightarrow v = 0.40$	
μέτρο διάτυπης δυναμ.	$\Rightarrow G_o=302$ [ $\text{kg/cm}^2$ ]	
μέτρο ελασ/ητας δυναμ.	$\Rightarrow E_o=846$ [ $\text{kg/cm}^2$ ]	
$\sigma' = 0.125$	0.25	0.5
$E_s = 2.4$	7	14
$cv = 1.4E-3$	3.1E-3	1E-3
$\sigma' = 2$	4	8
$E_s = 51$	102	198
$cv = 1.8E-3$	1.3E-3	1.8E-3
τάση διόγκωσης	0.125	[ $\text{kg/cm}^2$ ]
τάση προστε/ης	2.1	[ $\text{kg/cm}^2$ ]
		$e = 1.30$
Το έδαφος αυτό είναι τύπου CL, CEUSA, είναι μέτριο υλικό θεμελίωσης σταν δεν υπόκεινται σε δραση παγετού. Μέτρια διογκωσιμότητα. Πολύ μικρή υδατοπερατότητα.		

ΓΕΩΤΡΗΣΗ	Γ1	ΣΤΡΩΣΗ	E
----------	----	--------	---

Η πέμπτη κατά σειρά στρώση είναι μια καστανή ιλύς κάτω από τον υδροφόρο. Η στρώση αυτή αρχίζει σε βάθος (18.5 μέτρων) συνεχίζει και μετά το βάθος των (23 μέτρων).

Η στρώση αυτή είναι ομοία με την Z της Γ2 και τη I της Γ3 (ως πρός τα SPT, Atterberg, κοκκομετοική). Τα χαρακτηριστικά της στρώσης αυτής είναι ο μέσος όρος αυτής και τών ουσιών της στρώσεων.

$$N(\Gamma_1, E) = (20+30+50+50)/4 = 38$$

$$N(\Gamma_2, Z) = (40+40+50)/3 = 43$$

$$N(\Gamma_3, I) = 50$$

$$N = (38+43+50)/3 = 44 \text{ (κτύποι/30cm. Δοκιμή SPT).}$$

Οι κτύποι ίδιας έχουν κάτω από τον υδροφόρο, άρα θέλουν διόρθωση.  $N' = 15 + 0.5 * (N - 15)$ , με  $N = 33$  το  $N' = 30$ .

Από εμπειρικές σχέσεις έχουμε, με  $N' = 33 \Rightarrow Dr = 65\%$ ,  $\psi = 36$ . Το μέτρο συμπίεσης  $Es = a + c * (N' - 15) = 100$  και  $130$  [ $\text{kg/cm}^2$ ] (Τάσσιος Αναγνωστόπολος, με  $N > 15$   $a = 40$ ,  $c = 2.5$  για ιλύς).  $Es = (100 + 130)/2 = 115$  [ $\text{kg/cm}^2$ ].

Φαινόμενο ειδικό βάρος  $\gamma\psi = 2.04$  [ $\text{tn/m}^3$ ]

Δυναμικό μέτρο διάτησης

$$Go = us^{1/2} \rho$$

$$us = 19 * (N')^{1/0.61} = 191 \text{ [m/sec]} \\ Go = 191^{1/2} * 2.08 = 75880 \text{ [KN/M}^2]$$

Μέτρο ελαστικότητας δυναμικό  $v = \text{poisson} = 0.35$

$$Go = 759 \text{ [kg/cm}^2]$$

$$Eo = Go^{1/2} (v+1)$$

$$Eo = 759^{1/2} (0.35+1) = 2049$$

Κτύποι / 30 cm	$\Rightarrow N = 33$	$N' = 30$
δείκτης πλαστικότητας	$\Rightarrow I_p = 0$	
φαινόμενο ειδικό βάρος	$\Rightarrow \gamma\psi = 2.04$ [ $\text{tn/m}^3$ ]	
συνοχή	$\Rightarrow c = 0$ [ $\text{kg/cm}^2$ ]	
γωνία τριβής	$\Rightarrow \psi = 36$	
σχετική πυκνότητα	$\Rightarrow Dr = 65\%$	
poisson ratio	$\Rightarrow v = 0.35$	
μέτρο διάτησης δύναμη	$\Rightarrow Go = 759$ [ $\text{kg/cm}^2$ ]	
μέτρο ελαστικότητας δύναμη	$\Rightarrow Eo = 2049$ [ $\text{kg/cm}^2$ ]	

Το έδαφος αυτό είναι τύπου ML. CEUSA. μέτριο υλικό θεμελιώσεων σαν δεν υπόκεινται σε δραστική παραγετού. Μέτρια διογκωσιαστητικά. Μέτρια υδατοπερατότητα.

ΓΕΩΤΡΗΣΗ	Γ2	ΣΤΡΩΣΗ	A
----------	----	--------	---

Η πρώτη κατά σειρά στρώση είναι μια καστανή αργυρίλλωδη άμμος. Το στρώμα αυτό έχει δύο μέρη το πρώτο είναι πάνω από τον υδροφόρο και έχει όμοια περιγραφή με τού Γι.Α και το δεύτερο είναι κάτω από υδροφόρο.

Τα χαρακτηριστικά του μέρους της στρώσης που είναι κάτω από το νερό είναι:  $N = (15+18)/2 = 17$  Οι κτύποι όμως εγίναν κάτω από τον υδροφόρο, άρα θέλουν διόρθωση.  $N' = 15 + 0.5 * (N - 15)$ , με  $N = 17$  το  $N' = 16$ .  $\gamma\psi = 1.47$ .

Οι παράμετροι συμπιεστότητας λαμβάνονται από τα αποτελέσματα (μέσο δρο) δύο δοκιμών στερεοποίησης που αφορούν το τμήμα κάτω από τον υδροφόρο.

Από εμπειρικές σχέσεις έχουμε, με  $N' = 16$  η αντοχή σε ανεμπόδιστη θλιψη είναι  $qu = 0.013 * N' = 0.21$  [MPA] = 2.1 [kg/cm<sup>2</sup>] η συνοχή είναι  $c = \tan\phi(45 - \phi/2) * qu/2 = 0.64$  [kg/cm<sup>2</sup>] Η γωνία τριβής  $\tan\phi = 0.58 - 0.0045 * I_p$ ,  $\phi = 27$ .

Δυναμικό μέτρο διάτυπης	$Go = us^2 * \rho$
Ταχύτητα διατυπητικών κυμάτων	$us = 19 * (N')^{0.61} = 103$ [m/sec]
$\rho = \gamma\psi / g = 14.7 / 9.81 = 1.50$ [KN/m <sup>3</sup> ]	$Go = 103^2 * 1.50 = 15929$ [KN/m <sup>2</sup> ]
	$Go = 160$ [kg/cm <sup>2</sup> ]
Μέτρο ελαστικότητας δυναμικό	$Eo = Go * 2(v+1)$
$v = poisson = 0.27$	$Eo = 103^2 * 2 * (0.27+1) = 406$

(Μόνο για το μέρος που είναι κάτω από το νερό)

Κτύποι / 30 cm	=> $N = 17$	$N' = 16$
δείκτης πλαστικότητας	=> $I_p = 14$	
ψαινόμενο ειδικό βάρος	=> $\gamma\psi = 1.47$ [tn/m <sup>3</sup> ]	
συνοχή	=> $c = 0.64$ [kg/cm <sup>2</sup> ]	
γωνία τριβής	=> $\phi = 27$	
poisson ratio	=> $v = 0.27$	
μέτρο διάτυπης δυναμ.	=> $Go = 160$ [kg/cm <sup>2</sup> ]	
μέτρο ελασ/ητας δυναμ.	=> $Eo = 406$ [kg/cm <sup>2</sup> ]	

$\sigma' = .125$	$.25$	$.5$	$1$	$2$	$4$	$8$
$Ea = 5$	$10$	$19$	$37$	$73$	$144$	$282$
$cv = 1.8E-3$	$5.6E-4$	$2E-3$	$3E-3$	$3.6E-3$	$4E-4$	$3E-3$

$$\text{τάση προστερ/ης } 1.4 \text{ [kg/cm}^2\text{]} \quad Cc = 0.13 \\ e = 1.06$$

Το έδαφος αυτό είναι τύπου SC. CEUSA, είναι καλό υλικό θεμελιώσης εάν δεν υπόκεινται σε βράση παγετού. Μικρή διογκωσιμότητα. Πολύ μικρή υδατοπερατότητα.

ΓΕΩΤΡΗΣΗ Γ2 ΣΤΡΩΣΗ Β

Η στρώση αυτή παρουσιάζει τα ίδια χαρακτηριστικά με τις στρώσεις Β (της Γ1) και τη Γ (της Γ3).

ΓΕΩΤΡΗΣΗ Γ2 ΣΤΡΩΣΗ Γ

Η στρώση αυτή παρουσιάζει τα ίδια χαρακτηριστικά με τις στρώσεις Γ (της Γ1) και τις Δ και Ζ (της Γ3).

ΓΕΩΤΡΗΣΗ Γ2 ΣΤΡΩΣΗ Δ

Η στρώση αυτή αποτελείται από καστανή αμμώδη άλιμη. Αρχίζει στα (13 μέτρα) και έχει πάγος (3 μέτρα).

Τα χαρακτηριστικά της είναι  $N=50$  και με διόρθωση λόγο του ότι έχιναν κάτω από τόν μεροφόρο  $N'=15+0.5*(N-15)$ .  $N'=33$ . Ακόμα, το υλικό είναι μη πλαστικό (N.P.).

Οι παράμετροι υπολογίζονται ως βάση εμπειρικές συσχετήσεις. Με  $N'=33 \Rightarrow \phi=37$ ,  $C=0$  (μη συνεκτικό). Το μέτρο συμπλεσός  $E_s=a+c*(N'+6)=108$  και  $138$  [kg/cm<sup>2</sup>]. (Τάσσιος Αναγνωστόπουλος, για  $N'>15$   $a=40$ , και  $c=2.5$  άλιμος). Εποιητικό  $E_s=(108+138)/2=123$  [kg/cm<sup>2</sup>].

Δυναμικό μέτρο διάτυπης	$G_o=us^2\rho$
Ταχύτητα διατυπικών κυμάτων	$us=19*(N')^{0.61}=160$ [m/sec]
$\rho=\gamma\varphi/g=20.4/9.81=2.08$ [KN/m <sup>3</sup> ]	$G_o=160^2*2.08=53248$ [KN/m <sup>2</sup> ]
	$G_o=533$ [kg/cm <sup>2</sup> ]
Μέτρο ελαστικότητας δυναμικό	$E_o=G_o*(v+1)$
$v=poisson=0.35$	$E_o=533*2*(0.35+1)=1439$ .

Κτύποι / 30 cm	$\Rightarrow N = 50 \quad N' = 33$
δείκτης πλαστικότητας	$\Rightarrow I_p=0$
ψαινόμενο ειδικό Βάρος	$\Rightarrow \gamma\varphi=2.04$ [tn/m <sup>3</sup> ]
συνοχή	$\Rightarrow c = 0$ [kg/cm <sup>2</sup> ]
γωνία τριβής	$\Rightarrow \phi = 37$
poisson ratio	$\Rightarrow v = 0.35$
μέτρο διάτυπης δυναμ.	$\Rightarrow G_o=533$ [kg/cm <sup>2</sup> ]
μέτρο ελασ/ητας δυναμ.	$\Rightarrow E_o=1439$ [kg/cm <sup>2</sup> ]

Το έδαφος αυτό είναι τύπου ML, GEUSA, μέτρια κατάλληλο υλικό θεμελίωσης εάν δεν υπάρχει πάγος σε δράση παγετού. Μικρή διογκωσιμότητα. Μέτρια υδατοπερατότητα.

ΓΕΩΤΡΗΣΗ Γ2 ΣΤΡΩΣΗ Ε

Η στρώση αυτή παρουσιάζει τα ίδια χαρακτηριστικά με τη στρώση Δ της (Γ1).

ΓΕΩΤΡΗΣΗ Γ2 ΣΤΡΩΣΗ Ζ

Η στρώση αυτή παρουσιάζει τα ίδια χαρακτηριστικά με τις στρώσεις Ε (της Γ1) και τη Ι (της Γ3).

ΓΕΩΤΡΗΣΗ Γ3 ΣΤΡΩΣΗ Α

Η στρώση αυτή αποτελείται από καστανή άργιλο. Το υλικό αυτό καλύπτει το υπόλοιπο της επιφανείας του οικοπέδου -αυτό δηλαδή που δε καλύπτει η Α της Γ1- και έχει πάχος (2.5 μέτρα). Όλη η στρώση αυτή είναι πάνω από τόν υδροφόρο ορίζοντα.

Τα χαρακτηριστικά της είναι  $N=50$ . Και οδεικτης πλαστικότητας  $I_p=9$ .

Οι παραμετροί υπολογίζονται ως βάση εμπειρικές συσχετήσεις. Γνωστά τριθής  $\tan\phi=0.58-0.0045*I_p \Rightarrow \phi=28$   
θλιπτική αντοχή του υλικού  $qu=0.013*N \Rightarrow qu=0.65$  [MPA]  
 $qu=6.5$  [kg/cm<sup>2</sup>].

Συνοχή  $c = \tan(45-\phi/2)*qu/2=1.94$

Το poisson ratio  $v=0.4$   
Το μέτρο συμπίεσης  $E_s=7.5*N*(1-v^2)=315$  [tn/ft<sup>2</sup>]  
 $E_s=338$  [kg/cm<sup>2</sup>].

Δυναμικό μέτρο διάτυπης  $G_o=us^2*p$   
Ταχύτητα διάτυπης κυμάτων  $us=19*(N)^{0.61}=207$  [m/sec]  
 $p=\gamma\psi/g=20/9.81=2.04$  [KN/M<sup>3</sup>]

Μέτρο ελαστικότητας δυναμικό  $G_o=207^2*2.04=87458$  [KN/M<sup>2</sup>]  
 $G_o=878$  [kg/cm<sup>2</sup>]  
 $E_o=G_o^2(v+1)$   
 $E_o=878^2*2*(0.4+1)=2458$ .

Κτύποι / 30 cm	$\Rightarrow N = 50$
δείκτης πλαστικότητας	$\Rightarrow I_p=9$
ψεινόμενο είδικό βάρος	$\Rightarrow \gamma\psi=2.00$ [tn/m <sup>3</sup> ]
συνοχή	$\Rightarrow c = 1.94$ [kg/cm <sup>2</sup> ]
γνωστά τριθής	$\Rightarrow \phi = 28$
αντοχή σε θλίψη	$\Rightarrow qu=6.5$ [kg/cm <sup>2</sup> ]
poisson ratio	$\Rightarrow v = 0.40$
μέτρο διάτυπης δύναμης	$\Rightarrow G_o=878$ [kg/cm <sup>2</sup> ]
μέτρο ελαστικότητας δύναμης.	$\Rightarrow E_o=2458$ [kg/cm <sup>2</sup> ]

Το έδαφος αυτό είναι τύπου CL, GEUSA. Μέτρια κατάλληλο υλικό θεμελιώσεων εάν δεν υπόκεινται σε δραστική παγκετού. Μέτρια διογκωσιμότητα. Πολύ υικοή υδατοπερατότητα.

ΓΕΩΤΡΗΣΗ Γ3 ΣΤΡΩΣΗ Β

Η στρώση αυτή αποτελείται από καστανή άμμος αργιλλώδη και είναι κάτω από τόν υδροφόρο ορίζοντα.

Τα χαρακτηριστικά της είναι  $N=50$  και με διόρθωση λόγο του νερού  $N'=15+0.5*(N-15) \Rightarrow N'=33$   
Ο δεικτης πλαστικότητας  $I_p=21$ .

Οι παράμετροι υπολογίζονται με βάση εμπειρικές συσχετήσεις. Γωνία τριβής  $\tan\varphi = 0.58 - 0.0045 * I_p \Rightarrow \varphi = 26$   
θλιπτική αντοχή  $q_u = 0.013 * N \Rightarrow q_u = 0.43 \text{ [MPA]}$   
συνοχή  $q_u = 4.3 \text{ [kg/cm}^2]$ .  
 $c = \tan(45 - \varphi/2) * q_u / 2 = 1.35$

Το μέτρο συμπίεσης  $E_s = 3.33 * (N' + 5) = 127 \text{ [tn/ft}^2]$   
(Webb, για άμμο+αργιλό)  $E_s = 136 \text{ [kg/cm}^2]$ .

Δυναμικό μέτρο διάτυπος  $G_o = u_s^2 * \rho$   
Ταχύτητα διατυπικών κυμάτων  $u_s = 19 * (N)^{1/0.61} = 160 \text{ [m/sec]}$   
 $\rho = \gamma \varphi / g = 14.7 / 9.81 = 1.5 \Rightarrow G_o = 160^{1/2} * 1.5 = 38525 \text{ [KN/M}^2]$   
 $G_o = 385 \text{ [kg/cm}^2]$   
Μέτρο ελασ/ητας δυναμικό  $E_o = G_o * 2(v+1)$   
Poisson  $v = 0.27 \Rightarrow E_o = 385 * 2 * (0.27+1) = 978$ .

Κτύποι / 30 cm	$\Rightarrow N = 50 \quad N' = 33$
δεικτης πλαστικότητας	$\Rightarrow I_p = 21$
ψαινόμενο ειδικό βάρος	$\Rightarrow \gamma \varphi = 1.47 \text{ [tn/m}^3]$
συνοχή	$\Rightarrow c = 1.35 \text{ [kg/cm}^2]$
γωνία τριβής	$\Rightarrow \varphi = 26$
αντοχή σε θλιψη	$\Rightarrow q_u = 4.3 \text{ [kg/cm}^2]$
poisson ratio	$\Rightarrow v = 0.27$
μέτρο διάτυπος δυναμ.	$\Rightarrow G_o = 385 \text{ [kg/cm}^2]$
μέτρο ελασ/ητας δυναμ.	$\Rightarrow E_o = 978 \text{ [kg/cm}^2]$

Το έδαφος αυτό είναι τύπου SC, GEUSA, μέτρια κατάλληλο υλικό θεμελίωσης εάν δεν υπάρχεινται σε δράση παγκετού. Μέτρια διογκωσιαστήτα. Πολύ μικρή υδατοπερατότητα.

ΓΕΩΤΡΗΣΗ Γ3 ΣΤΡΩΣΗ Γ

Η στρώση αυτή παρουσιάζει τα ίδια χαρακτηριστικά με της Β (Γ1) και Β (Γ2).

ΓΕΩΤΡΗΣΗ Γ3 ΣΤΡΩΣΗ Δ

Η στρώση αυτή παρουσιάζει τα ίδια χαρακτηριστικά με της στρώσεις Ζ (της Γ3), Γ (Γ2) και Γ (Γ1).

ΓΕΩΤΡΗΣΗ Γ3 ΣΤΡΩΣΗ Ε

Η στρώση αυτή αποτελείται από καστανή άργιλο και είναι κάτω από τόν υδροφόρο ορίζοντα.

Τα χαρακτηριστικά της είναι  $N=50$  και με διόρθωση λόγο του νερού  $N'=15+0.5*(N-15) \Rightarrow N'=33$   
Ο δείκτης πλαστικότητας  $I_p=28$ .

Το ειδικό φαινόμενο βάρος είναι  $\gamma\varphi=1.52$  [tn/m<sup>3</sup>]  
Ο λόγος κενών  $e=1.03$   
Συνοχή, γωνία τριβής  $c=0.67$  [kg/cm<sup>2</sup>],  $\varphi=0$

Δυναμικό μέτρο διάτυπης  $G_o=us^2 \cdot \rho$   
Ταχυτητά διατυπικών κυμάτων  $us=19^*(N)^{0.61} =$   
 $us=160$  [m/sec]

$\rho=\gamma\varphi/g=15.2/9.81=1.55$   $G_o=160^2 \cdot 1.55=39835$  [KN/M<sup>2</sup>]  
 $G_o=390$  [kg/cm<sup>2</sup>]

Μέτρο ελαστικό δυναμικό  $E_o=G_o^2(v+1)$   
Poisson ratio  $v=0.40$   $E_o=390^2 \cdot (0.40+1)=1092$ .

Κτύποι / 30 cm	=> $N=50$ $N'=33$
δείκτης πλαστικότητας	=> $I_p=28$
φαινόμενο ειδικό βάρος	=> $\gamma\varphi=1.52$ [tn/m <sup>3</sup> ]
συνοχή	=> $c=0.67$ [kg/cm <sup>2</sup> ]
γωνία τριβής	=> $\varphi=0$
poisson ratio	=> $v=0.40$
μέτρο διάτυπης δυναμ.	=> $G_o=390$ [kg/cm <sup>2</sup> ]
μέτρο ελαστικό δυναμ.	=> $E_o=1092$ [kg/cm <sup>2</sup> ]

$\sigma' = .125 .25 .5 1 2 4 8$
$E_s = 4 8 16 31 61 120 235$
$cv = 2E-4 2E-4 2.3E-4 3.1E-4 4.1E-4 5.3E-4 7.7E-4$

τάση διόγκωσης 0	$C_c = 0.148$
τάση προστείας 1.6	$e = 1.03$

Το έδαφος αυτό είναι τύπου CL, GEUSA, μετρία κατάλληλο υλικό θεμελιώσεων εάν δεν υπάρχεινται σε δράση παγετού. Μέτρια διογκωσιμότητα. Πολύ αικρή υδατοπερατότητα.

ΓΕΩΤΡΗΣΗ Γ3 ΣΤΡΩΣΗ Ζ

Η στρώση αυτή παρουσιάζει τα ίδια χαρακτηριστικά με τις Δ (Γ3), Γ (Γ1), Γ (Γ2).

ΓΕΩΤΡΗΣΗ	ΓΕ	ΣΤΡΩΣΗ	Η
----------	----	--------	---

Η στρωση αυτη αποτελείται από καστανή ιλις κάτω από τον υδροφόρο ορίζοντα. Και εκτίνεται από (13.5 ως 19 μέτρα), έχει διπλαδή ένα πάχος της τάξης των (5.5 μέτρων).

Τα χαρακτηριστικά της είναι  $N = (25+27+40)/3=31$  και με διόρθωση λόγο του νερού  $N' = 15+0.5*(N-15) = N = 23$ .

Είναι μη πλαστικό υλικό (N.F.).

Η δοκιμή ανεμπόδισης θλιψης έδωσε, τάση θραύσης  $a=q_u=1.42$  [kg/cm<sup>2</sup>] με παραμόρφωση  $\epsilon=13.2\%$  και μέτρο ελαστικότητας  $E=14$  [kg/cm<sup>2</sup>]. Το φαινόμενο βάρος είναι 100 με  $\gamma_f=2.04$  [tn/m<sup>2</sup>]. Ο λόγος κενών είχε από τη δοκιμή προσδιορισθεί  $e=.67$

Οι παραμετροι υπολογίζονται ως εξής:

Το poisson ratio, για την ιλι. είναι περίπου  $v=0.35$

Το μέτρο συμπλεγματού  $E_s=E/(3*(1-v^2))=16$  [kg/cm<sup>2</sup>]

$$E_s=a+c*(N'+-6)=74 \text{ και } 98$$

(Τάσσος Αναγνωστόπουλος,  $N' > 15 \Rightarrow a=40$ ,  $c=2$  για ιλι)

$$E_s=(16+74+98)/3=63 \text{ [kg/cm}^2]$$

Με  $N'=23$  έχουμε  $Dr=57\%$ ,  $c=0$ ,  $\varphi=34$ .

Δυναμικό μέτρο διάτυπης  $G_o=u_s^2*\rho$

Ταχύτητα διατυπικών κυμάτων  $u_s=19*(N)^{-0.61}=$   
 $u_s=129 \text{ [m/sec]}$

$\rho=\gamma_f/g=20.4/9.81=2.08 \text{ Go}=129^2*2.08=34417 \text{ [KN/M}^2]$

Μέτρο διάτυπης δυναμικής  $Go=337 \text{ [kg/cm}^2]$

Μέτρο ελαστικής δυναμικής  $E_o=Go^2(v+1)$

$$E_o=337^2*(0.35+1)=910.$$

Κτύποι / 30 cm	=> $N = 31 \quad N' = 23$
δείκτης πλαστικότητας	=> $I_p=0$
φαινόμενο ειδικό βάρος	=> $\gamma_f=2.04 \text{ [tn/m}^3]$
συνοχή	=> $c = 0 \text{ [kg/cm}^2]$
γωνία τοιβής	=> $\varphi = 34\%$
σχετική πυκνότητα	=> $Dr=57\%$
poisson ratio	=> $v = 0.35$
μέτρο διάτυπης δυναμικής	=> $Go=337 \text{ [kg/cm}^2]$
μέτρο ελαστικής δυναμικής	=> $E_o=910 \text{ [kg/cm}^2]$

Το έδαφος αυτό είναι τύπου ML, GEUSA μέτρια κατάλληλο υλικό θεμελιώσεων εάν δεν υποκεινται σε δύση παγετού. Μέτρια δισκωματόπειρα. Μέτρια υδατοπερατότητα.

ΓΕΩΤΡΗΣΗ Γ3 ΣΤΡΩΣΗ θ

Η στρώση αυτή είναι μιά καστανή ιλυωδή αργύιλο. Το υλικό αυτό αρχίζει στο βάθος τών (19 μέτρων) και το τέλος της παρουσιάζεται στα (23) έχει δηλαδή πάχος (4 μέτρα).

Τα χαρακτηριστικά της είναι:  
 $N = (40+50)/2 = 45$  με διόρθωση λόγο του νερού  
 $N' = 15 + 0.5 * (N - 15) \Rightarrow N' = 30$ .

Ο δεικτης πλαστικότητας είναι  $I_o = 15$

Η δοκιμή τριαζονικής θλιψης έδωσε φαινόμενο βάρος ίσο με  $\gamma\varphi = 2.05$  [ $\text{tn/m}^3$ ]. Συνοχή  $c = 1.6$  [ $\text{kg/cm}^2$ ], γωνία τοιβής  $\varphi = 7$ .

Οι παράμετροι συμπιεστότητας μπορούν να δωθούν από τα αποτελέσματα τών δοκιμών που έγιναν στη στρώση Ε τής (Γ2), γιατί παρουσιάζει ομοιότητα με τη παρούσα στρώση ως πρός τη κοκκουετοϊκή Atterberg.

To poisson ratio, για, αργύιλο είναι περίπου  $v = 0.4$

Δυναμικό μέτρο διάτυπης	$G_0 = u_s / 2^{*} \rho$
Ταχύτητα διάτυπης κυμάτων	$u_s = 19 * (N)^{*} 0.61 =$
	$u_s = 151 \text{ (m/sec)}$

$\rho = \gamma\varphi/g = 20.5/9.81 = 2.09 \Rightarrow G_0 = 151 / 2^{*} 2.09 = 47654 \text{ [KN/M}^2]$   
 Μέτρο διάτυπης δυναμ.,  $G_0 = 477 \text{ [kg/cm}^2]$   
 Μέτρο ελασ/ητας δυναμικό  $E_0 = G_0 * 2(v+1)$   
 $E_0 = 477 * 2 * (0.40+1) = 1336$ .

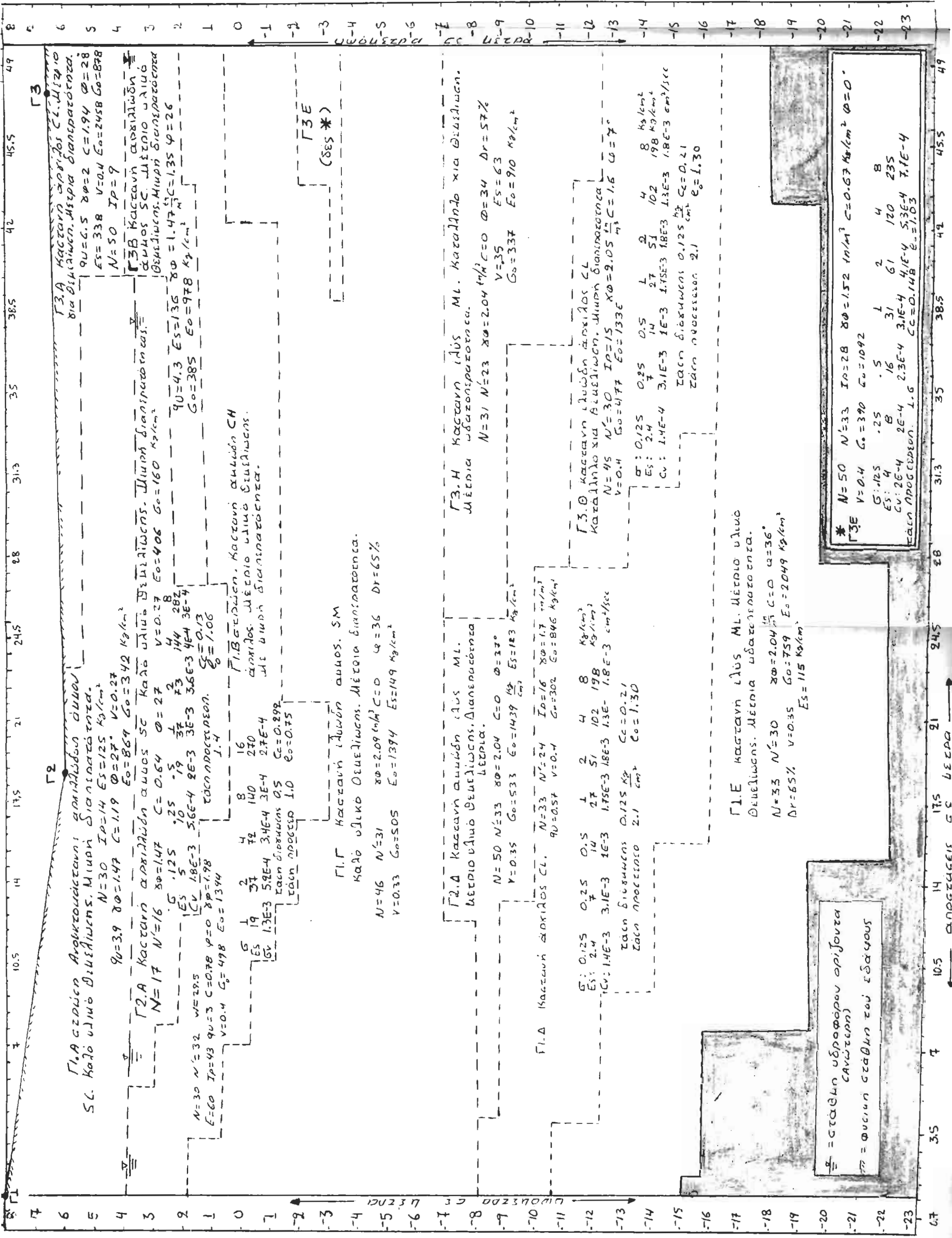
Κτύποι / 30 cm	$\Rightarrow N = 45 \quad N' = 30$
δεικτης πλαστικότητας	$\Rightarrow I_o = 15$
φαινόμενο ειδικό βάρος	$\Rightarrow \gamma\varphi = 2.05 \text{ [tn/m}^3]$
συνοχή	$\Rightarrow c = 1.6 \text{ [kg/cm}^2]$
γωνία τοιβής	$\Rightarrow \varphi = 7$
poisson ratio	$\Rightarrow v = 0.40$
μέτρο διάτυπης δυναμ.	$\Rightarrow G_0 = 477 \text{ [kg/cm}^2]$
μέτρο ελασ/ητας δυναμ.	$\Rightarrow E_0 = 1336 \text{ [kg/cm}^2]$
* Οι παράμετροι συμπιεστότητας ( $E_0$ , $C_0$ , e, $c_v$ , τάση προστερεοποίησης, διόγκωση, λα-μβάνονται από τη Δ τής (Γ1)).	

Το έδαφος αυτό είναι τύπου CL. GEUSA μέτρια κατάλληλο υλικό Θεμελίωσης εάν δεν υπόκεινται σε δράση παγετού. Μέτρια δι-ογκωσιμότητα. Πολύ μικρή υδατοπερατότητα.

ΓΕΩΤΡΗΣΗ Γ3 ΣΤΡΩΣΗ Ι

Ta ίδια χαρακτηριστικά με τις Ε (Γ1), Ζ (Γ2).

Kataίγιας τους μεταξύ των Γ1.Γ2.Γ3.



Σχολιασμός των στρωμάτων

Στη γεώτρη-  
ση Γ1, έχουμε  
το la στρώμα  
ένα υλικό αργί-  
λλώδης άμμου SC  
με υγρασία  
περίπου (ση με  
το όριο πλαστι-  
κότητας, για α-  
υτό παρουσιάζει  
ρωγμές. Το  
υλικό αυτό έχει  
μεγάλη σχετικά  
αντοχή και  
μικρής συμπιε-  
στότητας.

Η στρώση 2a  
έχει πιο μικρή  
αντοχή και με-  
γάλη συμπιεσο-  
τητα. Διόγκωση  
μέχρι .5 kg/cm<sup>2</sup>

Η στρώση 3a  
είναι μια  
ιλυωδής άμμος με  
μικρή σχετικά  
υγρασία. Το  
υλικό αυτό θα  
πρέπει να  
εκμεταλευτεύεται  
στη θεμελιώση  
γιατί παρουσιά-  
ζει αρκετά καλή  
αντοχή, μέτρια  
διαπερατότητα  
συνθήκες στράγγισης καλές και αναπτύσσεται σε μεγάλο  
πάχος, (9.6 μέτρα).

Η στρώση 4a είναι ένα υλικό χαμηλής αντοχής  
και αρκετά συμπιεστό. Ακόμα μέχρι στά .125  
kg/cm<sup>2</sup> παρουσιάζει διόγκωση. Εάν όμως το υλικό  
παραμένει σε σταθερή υγρασία δεν υπάρχει  
πρόβλημα διόγκωσης. Κατά τη φόρτιση του μπορεί να  
στραγγίζει μέσο των 3a και 5a διαπερατών στρωμάτων.

Η στρώση 5a είναι χαμηλής αντοχής αλλά αποτελεί  
ευνοϊκό υλικό για τη στράγγιση της 4a, οπότε να  
μειωθούν οι πιέσεις των πόρων της και να αυξηθεί  
έτοι μιαντοχή του υλικού της (4a).

Η 1b (για το μέρος κάτω από το νερό). Το  
υλικό παρουσιάσει μικρή υγρασία που ίσως οφείλεται  
στη διατάραξη του υλικού ως πρός την υγρασία  
του. Το υλικό αυτό έχει μικρή συμπιεσο-  
τητα σε σχεση με τα άλλα υλικά της περιοχής  
δε παρουσιάζει διόγκωση αλλά ούτε υψηλή αντοχή.

Η 2b παρουσιάζει τα χαρακτηριστικά των 2a και



(φωτ6)

Ωχ, είναι δηλαδή υλικό χαμπλής αντοχής και με φυσική υγρασία μικρύτερη του σφραγίδων πλαστικότητας (λόγο διατάραξης του δειγματού). Σε αυτό το υλικό πρέπει να κρατάμε σταθερή την υγρασία για να μην δισγκωθεί.

Η 38 ομοιάζει με τις 3α και 4γ και έχει και είναι μια αρκετά καλή στρώση ως υλικό θεμελιώδης.

Η 48 είναι υλικό μικρής συμπιεστότητας και αντοχής. Στραγγίζεται τη 5β.

Η 5β παρουσιάζει τα ίδια χαρακτηριστικά με τη 4α. Στραγγίζεται από τις 5β και 6β. Και αυτό το υλικό για να μη δισγκωθεί δε γρεπει να αυξήσει την υγρασία του. Στη στρώση αυτή εγκαίησε δυο διαφορετικούς λόγους κανων επου προσέρχονται από τα αποτελέσματα δοκιμής συμπιεσης το πρώτο .69 και από τη δοκιμή στερεοποίησης 1.32 μια και η τελευταία έγινε, όπως παντα, στο πτο συμπιεστό μέρος του δειγματού. Η υγρασία του στοινού είναι 23.7 πράγμα που δίνει στις τη υλικό είναι κορεσμένο  $Sr = 93$  [  $Sr = (\gamma_S + W) \cdot (\gamma_W + e)$  ].

Η 6β έχει τα ίδια χαρακτηριστικά με τις 5α, 9γ. Είναι υλικό χαμπλής αντοχής αλλά κανεὶ τη στράγγιση της 5β.

Η 1γ είναι αργιλός πόλυ καλής αντοχής μια και έχει αντοχή σε θλιψη 6.5 kg/cm<sup>2</sup> και ελαχιστη συμπιεστότητα. Εάν το υλικό προφυλακτεί με αδιαπέρατη μεμβράνη θα είναι υλικό πόλυ καλό για τη θεμελιώση, τοσο του κτιρίου όσο και των αθλητικών χώρων.

Η 2γ είναι μια αργιλόλιθινη άμμος αρκετά καλής αντοχής.

Η 3γ έχει τα ίδια χαρακτηριστικά με τις 2α, 2β είναι δηλαδή υλικό χαμπλής αντοχής και αυτό το υλικό πρέπει να κρατάμε σταθερή την υγρασία για να μην δισγκωθεί. Μπορει να στραγγίζει με αργό μυθμό μέσο της 2γ και 4γ.

Η 4γ παρουσιάζει τα χαρακτηριστικά των 3α και 3β και 6γ. Παρουσιάζει αρκετά καλή αντοχή, μέτρια διαπερατότητα και έτοι καλές συνθήκες στράγγισης.

Η 5γ σχετικά συμπιεστή στρώση που στραγγίζει μέσο της 4γ και της 6γ.

Η 6γ παρουσιάζει τα ίδια χαρακτηριστικά με τις 4γ, 3α, 3β. Παρουσιάζει αρκετά καλή αντοχή, μέτρια διαπερατότητα και έτοι καλές συνθήκες στράγγισης για τη 5γ.

Η 7γ είναι μια κορεσμένη ιλύς ( $Sr=95.5$ ) χαμπλής αντοχής και μεγάλης συμπιεστότητας ( $Es=63$ ), και καλές συνθήκες στράγγισης για την 8γ.

Η 8γ είναι μια ιλυώδην αργιλός όμοια με τη 4α, είναι ένα υλικό χαμπλής αντοχής και αρκετά συμπιεστό. Ακόμα μέχρι στα .125 kg/cm<sup>2</sup> παρουσιάζει δισγκωση.. Εάν όμως το υλικό παραμενει σε σταθερή υγρασία δεν υπάρχει πρόβλημα δισγκωσης. Η στράγγιση θα γίνει κατά τη φόρτηση μέσο της στρώσης 7γ.

Η στρωση ήγ είναι πολύ συμπιεστή και χαμηλής αντοχής. Είναι όμοια με τις 5a, 6b.

#### Συντερουματα

Τα πιο συμπιεστά υλικά παρουσιάζονται γύρω στη γεωτρηση Γ2. Τα πιο ανθεκτικά υλικά και λιγότερο συμπιεστά γύρω στη γεωτρηση Γ3.

Το νέρο αλλά και τα εδαφικά στρώματα στα οποία έγινε η έρευνα δε παρουσιάσαν θλαβερά στοιχεία για τα υλικά με τα οποία θα γίνει το έργο (օργανικά, PH, θειικά κ.α.).

Για καλύτερη σχεδίαση της τομής, καλό θα ήταν να γινόταν άλλη μια γεωτρηση μεταξύ των Γ2 - Γ3.

Η επέκταση των γεωτρήσεων μέχρι το υπόβαθρο (350 και άνω κτύποι SPT) θα αποτελούσε τη βάση για μια σεισμική της περιοχής απόκριση.

#### Σεισμική εμπειρική απόκριση

Η σεισμικές κινήσεις σχεδιασμού θεωρούνται αμετάβλητες από την επιφάνεια τού εδάφους μέχρι τη σταθμη θεμελιώσης και εντατικές σε όλη την επιφάνεια της. ( Neos αντίσεισμικό κανονισμό "Ενημερωτικό Δελτίο " ΤΕΕ, Τεύχος 1757, 26 - 4 - 93 ).

Με βάση την εκθεση του ΑΠΘ, ΓΙΑΑ, ΙΤΣΑΚ, και τού τομέα γεωφυσικής του Παν/μίου Αθηνών " Εκθεση για το πρόγραμμα τού οργανισμού Αντίσεισμικού Σχεδιασμού και Προστασίας, εκπόνηση χάρτη σεισμικής επικινδυνότητας της Ελλάδας 1989".

Η περιοχή της Μεσσήνης βοσκεται στη κατηγορία III σεισμικής επικινδυνότητας και στη περιοχή 3 του χάρτη επιφανιακών σεισμών που ορίζεται στο χώρο με τις συντεταγμένες

35.3 23.3. 35.7 23.8. 37.8 21.4. 37.3  
20.8.

Ετήσιος αριθμός πιθανών σεισμών	2.00
Μέγιστο πιθανό μέγεθος σεισμού	7.50 R
Μέγιστο μέγεθος σεισμού καθε χρόνο	5.34 R
Μέγιστο μέγεθος σεισμού σε 70 χρόνια	6.80 R

Μέγιστη επιτάχυνση με πιθανότητα μη υπέρβασης 90 % στα επόμενα 100 χρόνια : $a(g) = 425 \Rightarrow a = 0.43$

Μέγιστη επιτάχυνση από τις καμπύλες μεταβολής του ln  $a(g)$ , με περίοδο επανάληψης  $T_m = 100$  χρόνια και κατηγορία σεισμικής επικινδυνότητας III  $\Rightarrow ln a(g) = 5.3 \Rightarrow a(g) = 201 \Rightarrow a = 0.20$

Τελικά λαμβάνω τη μέγιστη:  $a_{max} = 0.43$

Ελεγγός για ρευστοποίηση [13], [61], [9]

Ρευστοποίηση είναι το φαινόμενο της αύξησης της πίεσης των πόρων λόγο της μεγάλης ταχύτητας των κυκλικών φορτίσεων ή σποτα δεν επιρρέπει τη στραγγιση και παράλληλα μειώνονται οι ενεργές τάσεις μεχρι τους μηδενικούς. Η διατηρητική αντοχή του ρευστοποιημένου εδαφούς είναι μηδενική.

Για να ορίσουμε ότι ένα εδαφός μπορεί λιγότερο, περισσότερο ή οχι να ρευστοποιηθεί πρέπει να ελένζουμε τα εξεις :

a.) Με βάση τη κοκκομετοική διαβάθυνση που δίνεται στη σελίδα, (σελ 216).

B.) Για να γίνει το φαινόμενο αυτό θα πρέπει το εδαφός να διαισχεται κάτω από τον υδροψόρο ορίζοντα. Ακόμα τα συνεκτικά εδάφη (άργιλοι ή και πλαστικές υλούς), οι χαλικες και τα αμυοχάλικα είναι μη ρευστοποιησημένα εδάφη.

Από τα προτύγομμα, τα εδαφικά υλικά που πού δος ρευστοποιηθούν είναι τα ακόλουθα:

Τεώτρηση Γ1

- \* Το στρώμα Γ1γ της υλωδούς άμμου ( 6.2 - 16 μ.) N = 46 / 30 cm.
- \* Το στρώμα Γ1ε της υλούς ( 18.5 - .. μ.) N = 33 / 30 cm.

Τεώτρηση Γ2

- \* Το στρώμα Γ2γ υλωδούς άμμου ( 9 - 13 μ.) N = 46 / 30 cm.
- \* Το στρώμα Γ2δ αμμώδη υλούς (13 - 16 μ.) N = 50 / 30 cm.
- \* Το στρώμα Γ2ε υλούς (22 - .. μ.). N = 50 / 30 cm.

Τεώτρηση Γ3

- \* Το στρώμα Γ3δ υλωδης άμμος (6 - 8.5 μ.) N = 50
- \* Το στρώμα Γ3ε - // - (9.5 - 13.5 μ.) N = 50 / 30 cm.
- \* Το στρώμα Γ3η υλούς (13.5 - 19 μ.) N = 31 / 30 cm.
- \* Το στρώμα Γ3ι υλούς (23 - .. μ.) N = 50 / 30 cm.

Για αυτά τα στρώματα πρέπει να υπολογιστεί η διατυπική τάση του ασκείται στο υλικό κατά το σεισμό σχεδιασμού. Η τάση αυτή μπορεί να υπολογιστεί από ακοιδείς αναλύσεις της σεισμικής απόκρισης ή προσεγγιστικά από την ακόλουθη σχέση,

$$\frac{td}{gov'} = \frac{0.65 * a_{max} * gov * rd}{gov'}$$

όπου

- $a_{max}$  = μέγιστη εδαφική επιτάχυνση στην επιφάνεια του εδάφους.
- $rd(i)$  = μειωτικός παράγωντας και είναι προσεγγιστικά  $i_{os}$  με  $1 - 0.015 * Z(i)$ .
- $a(i)$  = εδαφική επιτάχυνση στο μελετούμενο βαθος.
- $gov(i)$  = τάση ολική, κατακόρυφος, των υπερκειμένων γαιών στο μελετούμενο βαθος  $Z(i)$ .

$$\left[ \sum_{i=1}^V y_p(i) * h(i) + \sum_{j=1}^K y_p(j) * h(j) \right]$$

στρώματα πάνω στρώματα κάτω  
από τον μέσορθρο από τον μέσορθρο

- $gov'(i)$  = τάση ενεργός, κατακόρυφη, των υπερκειμένων στο μελετούμενο βαθος.

$$gov' = gov - u \text{ (πίεση πόσων)}$$

$$\left[ \sum_{i=1}^V y_p(i) * h(i) + \sum_{j=1}^K (y_p(j) - y_w(j)) * h(j) \right]$$

στρώματα πάνω στρώματα κάτω από τον μέσορθρο

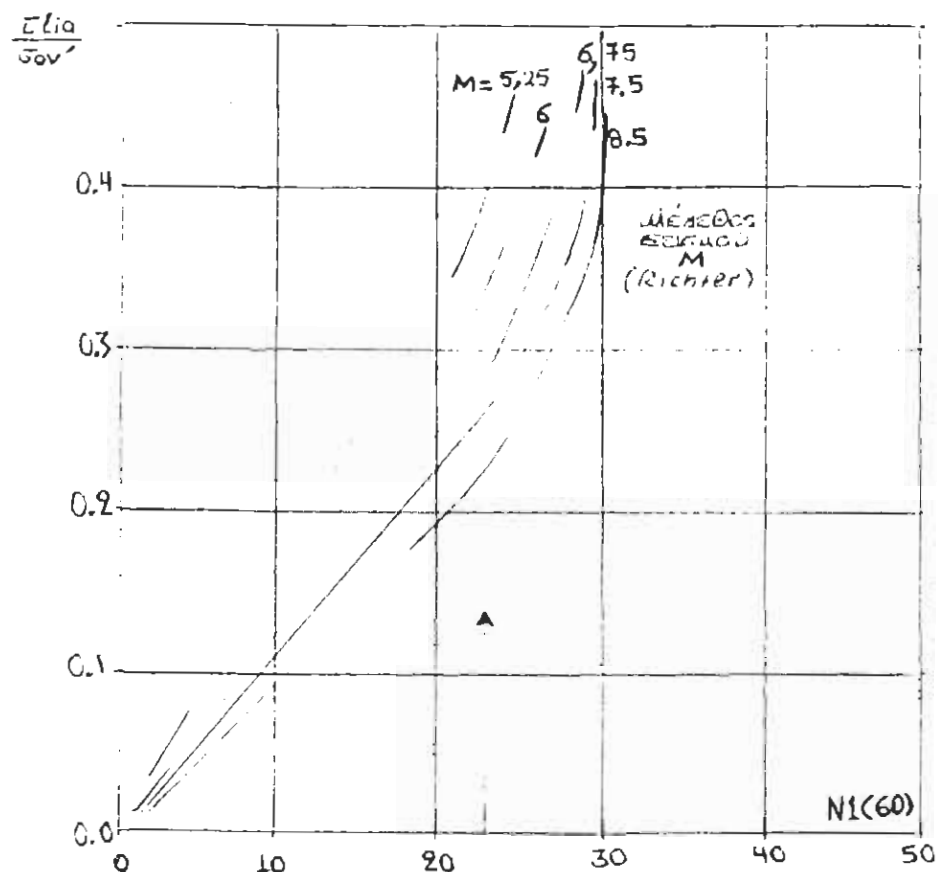
$y_p$  = φαίνομενο ειδικό βαρος στρώματος.

$h$  = ίματος στρώματος.

$y_w$  = Ειδικό του νερού βαρος.

Υπολογισμός διατυπικής τάσης ρευστοποίησης

Η τάση αυτή, την οποία εξισώθηκε με την αντίστοιχη τάση στην SPT και από το μέγεθος του σεισμού σχεδιάζεται, Μ (κατά Richter):



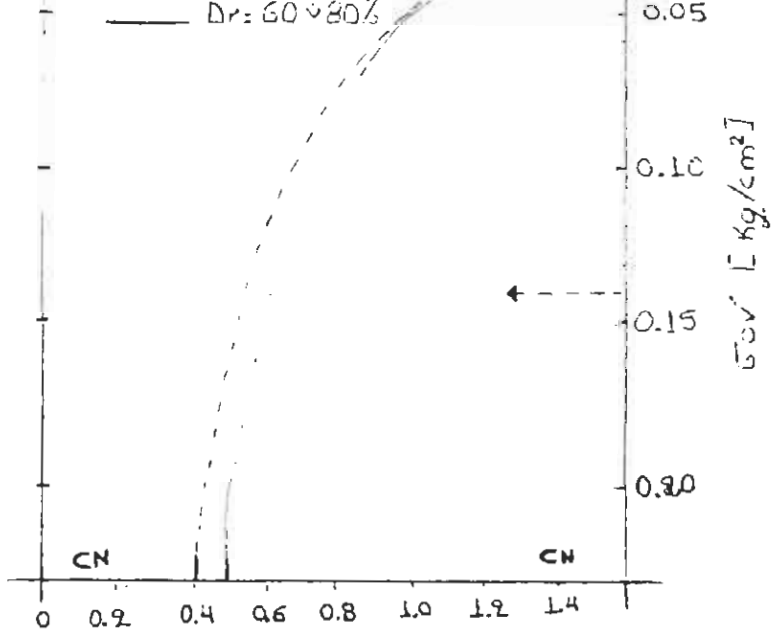
$$N_1(N1(60)) = f(CN + N + 1) \cdot 10^{-6} \text{ erm/60}^{\circ}$$

Οπου

Οπου  $f$  είναι η CN από τη διαγράμμα.

$f = 0.05 \text{ for } Dr = 40\% \sim 60\%$

$f = 0.05 \text{ for } Dr = 60\% \sim 80\%$



N = Μετρούμενος αριθμός κρούσεων, N spt.

D = Ανάλογα με το ποσοστό τής ιλύος που περιέχει το υλικό.

Ποσοστό ιλύος %	< 5	10	25	50	75
D	0	1	2	4	5

ΧΩΡΑ	ΤΥΠΟΣ ΣΦΥΡΑΣ	ΜΗΧΑΝΙΣΜΟΣ	Erm/60
Japan	Donut	Ελεύθερη πτώση	1.30
	Donut	Σχοινί + τροχαλία + μηχανισμός απελευθέρωσης	1.12
USA	Safety	Σχοινί με τροχαλία	1.00
	Donut	Σχοινί με τροχαλία	0.75

Συντελεστής ασφαλείας, έναντι ρευστοποίησης.  
Αυτός καθορίζεται από τη σχέση :

$$F.S. = \frac{\tau_{liq} / \sigma_{ov'}}{\tau_d / \sigma_{ov'}}$$

Εάν  $F.S. >=$  από 1.25 δεν υπάρχει πρόβλημα για ρευστοποίηση κατά το σεισμό σχεδιασμού, (Seed et al 1983). Η χρήση τής μεθόδου αυτής είναι για μέχρι και, 32 μέτρα βάθος.

- 13 -  
Αποτελέσματα της εξιγνώσεως του κινδύνου χια  
ρευστοποίηση.

ΕΡΓΟ : ΓΥΜΝΑΣΙΟ ΜΕΣΣΗΝΗΣ

Τ1						
σον, σον' [kg/cm <sup>2</sup> ]						
Βάθος	rd	σον	σον'	τd/σον'	τl/σον'	F.S.
7 m	.90	1.19	0.89	.34	.32	0.94 *
10	.85	1.82	1.22	.35	.32	0.91 *
15	.78	2.86	1.76	.35	.32	0.91 *
20	.70	3.69	2.10	.34	.25	0.74 *

Τ2						
σον, σον' [kg/cm <sup>2</sup> ]						
Βάθος	rd	σον	σον'	τd/σον'	τl/σον'	F.S.
10 m	.85	1.52	0.80	.41	.50	1.10 *
12	.82	1.95	1.00	.40	.50	1.25
15	.80	2.57	1.32	.40	.50	1.25
23	.66	3.99	1.94	.38	.50	1.32
26	.61	4.61	2.26	.35	.50	1.43

Τ3						
σον, σον' [kg/cm <sup>2</sup> ]						
Βάθος	rd	σον	σον'	τd/σον'	τl/σον'	F.S.
7 m	.90	1.30	0.76	.43	.50	1.16
11	.84	2.08	0.98	.50	.50	1.00 *
15	.78	2.91	1.41	.45	.25	0.56 *
24	.64	3.93	1.93	.36	.26	0.72 *

\* = κίνδυνος ρευστοποίησης

### ΣΥΜΠΕΡΑΣΜΑΤΑ

Με τη βοήθεια της πιο διαδεδομένης διεθνής μεθόδου, που βασίζεται στ' αποτελέσματα δοκιμών SPT (Seed et al. 1985), προσδιορίστηκε ότι στη μελετουμένη περιοχή υπάρχει κίνδυνος, κατά το σεισμό σχεδιασμού ( $M = 7$  Richter,  $a = 0.43$ ) με πρόβληψη 100 χρόνια, να συμβεί ρευστοποίηση.

Επικίνδυνα ίσος είναι και τα στρώματα που υπάρχουν και συνεχίζουν και μετά το τέλος της γεώτρησης. Για παράδειγμα, από τα αποτελέσματα της εκτίμησης τού κινδύνου όπου ρευστοποίηση (σελ 134) βλέπουμε ότι τα στρώματα της Γ2 γεωτόποντος δεν εχουν πρόβλημα μετά από τα 12 μέτρα. Δεν γνωρίζουμε όμως τα εξαφικά στρώματα κάτω από τα 26 μέτρα, (τέλος γεωτρησης) που ίσος παρουσιάζουν πρόβλημα.

Η επεκταση τών ερευνητικών έργων μέχρι το σταθερό υπόβαθρο και η εκτέλεση εργαστηριακών καταλληλών δοκιμών (cross-hole, resonant column, σελ 41, 45) χία τη μείωση τών αβεβαιωτητών, μπορούν να εξάγουν στοιχεία χία να γίνει η επιλύση με τη κυματική θεωρία, οχι μόνο χία τη ρευστοποίηση αλλά και γενικά την απόκριση τού εδάφους κάτω από διάφορους σεισμούς.

Εάν η έρευνα δεν επεκταθεί τότε θα ήταν καλύτερο η κατασκευή στη περιοχή να είναι επιπλέουσες - δηλαδή το ειδικό της θεμελίωσης βάρος, ύθ, να είναι λιγότερο από το ειδικό βάρος τού νερού, γω, ύθ < γω -. Ακόμα η θεμελίωση να υπολογίζεται με μειωμένη γωνία τριβής, γιατί κατά την κυκλική φόρτιση, ανάλογα τόν αριθμό τών κύκλων η διατητική αντοχή τού εδάφους μειούται. Η θεμελίωση θα πρέπει να έχει αντοχή και σε ανομοιόμορφη ανάδυση λόγο της άνωσης πού ασκείται στό υπόγειο κατά τη ρευστοποίηση.

ΕΠΙΔΥΣΗ ΘΕΜΕΛΙΩΣΕΩΝ

### Η ΕΠΙΛΟΓΗ ΤΗΣ ΘΕΣΗΣ

Η θέση στην οποία θα γίνει η έδραση του έργου επιλεγεί μετά την αξιολόγηση των αποτελεσμάτων των δοκιμών. Σαν προσφερότερος χαρακτηρίζεται ο χώρος μεταξύ των γεωτρήσεων, μια και σε αυτόν υπάρχει μεγαλύτερη γνώση όσο αφορά τα εδαφικά του γνωρίσματα.

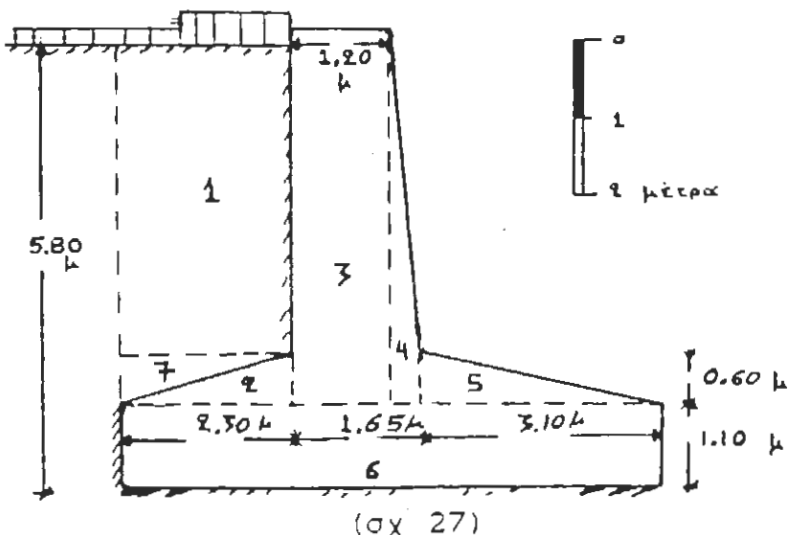
Η θέση που ορίζεται ανάμεσα στις γεωτρήσεις Γ2 - Γ3 λοσ είναι καλύτερη γιατί επιφανειακά τουλάχιστον και μέχρι το βάθος, 7.8 μέτρων, δεν υπάρχει πρόβλημα ρευστοποίησης, ακόμα παρουσιάζει τα λιγότερα συμπιεστά στοώνυμα και επομένως λιγότερες καθιζήσεις.

### ΥΠΟΛΟΓΙΣΜΟΣ ΕΡΓΩΝ ΑΝΤΙΣΤΗΡΙΞΗΣ

Ο σκοπός τους είναι να υποστηρίζουν και να εξασφαλίζουν τη σταθερότητα του πρανούς εμποδίζοντας κατά ένα βαθμό τις μελλοντικές κινήσεις προς την εκσκαφή αλλά και να δίνουν ένα ελεύθερα απαλλαγμένο χώρο.

### ΥΠΟΛΟΓΙΣΜΟΣ ΤΟΙΧΟΥ ΑΝΤΙΣΤΗΡΙΞΗΣ

Η τυπική διατομή του τοίχου παρουσιάζεται στό σχήμα (σχ 27). Αποτελεί ένα τοίχο από οπλισμένο σκυρόδεμα που παραλαμβάνει οριζόντια εδαφικά υφορτία και με απλό τρόπο ισορροπεί ενώ κατανέμει τάσεις θλίψης στο θεμέλιο.



**Κατακόρυφα φορτία :**

---

Αφού τεμαχίσουμε τη κατασκευή σε τμήματα (σχ 27) απλά γεωμετρικά, υπολογίζουμε το βάρος από το κάθε ένα. Τα τμήματα αυτά μπορεί να ανήκουν και στο έδαφος - όπως τα 1 και 7 του σχήματος 27 - ή σταν εξασκούν κάποιο κατακόρυφο φορτίο πάνω στην κατασκευή. Ο υπολογισμός των φορτίων γίνεται με το τύπο

$$G_i = \gamma \varphi_i * V_i$$

όπου  $i$  = το τμήμα που μελετάμε.

$\gamma \varphi$  = το ειδικό βάρος του υλικού.

$V$  = ο όγκος του τμήματος  $i$ .

$G$  = το βάρος του τμήματος  $i$ .

Όλοι οι υπολογισμοί που ακολουθούν λαμβάνουν πλάτος κατασκευής 1 μέτρο. Το ειδικό τού μπετού βάρος είναι ίσο με 2.5 tn/m<sup>3</sup>. Το ειδικό τού εδάφους βάρος για τη παρειά λαμβάνεται ίσο με το μέσο όρο των στρωμάτων που αποτελούν τη παρειά  $\gamma \varphi = 2.9$  tn/m<sup>3</sup> οπότε τα φορτία είναι :

$$G_1 = 2.3 * 1 * 4.1 * 1.9 = 18 \text{ tn}$$

$$G_7 = \frac{2.3 * 1 * 0.6}{2} * 1.9 = 1.3 \text{ tn}$$

$$G_3 = 1.2 * 1 * 5.15 * 2.5 = 15.5 \text{ tn}$$

$$G_4 = \frac{5.15 * 1 * 0.45}{2} * 2.5 = 3.0 \text{ tn}$$

$$G_2 = \frac{2.3 * 0.6 * 1}{2} * 2.5 = 1.7 \text{ tn}$$

$$G_5 = \frac{3.1 * 0.6 * 1}{2} * 2.5 = 2.3 \text{ tn}$$

$$G_6 = 1.1 * 1 * 7 * 2.5 = 19.3 \text{ tn}$$

Σύνολο κατακορύφων φορτίων

$\Sigma G = 61.0 \text{ tn}$

### Στατικές ωθήσεις

Ο τοίχος αυτός ανήκει στη κατηγορία τοίχων με δυνατότητα μετακίνησης ή και παραμόρφωσης τής κορυφής του. Επειδή οι ωθήσεις θα είναι ενεργές - αφού για να επιτευχθεί ενεργός ώθηση Έα χρειάζεται μετακίνηση τής στέψης τού τοίχου τουλάχιστον κατά :

$$s > H / 200$$

όπου  $H$  = το ύψος τού τοίχου.

Για  $H = 5.8$  μέτρα,  $s > 3$  cm.

Στο (σχ 28) παρουσιάζεται η εδαιφική διάταξη τών στρώσεων μαζί με τούς εδαιφολογικούς παραμέτρους.

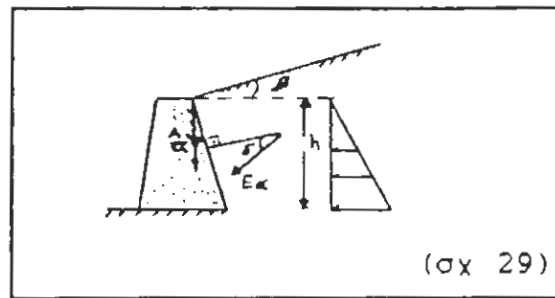
Για τήν ανάλυση των ενεργών ωθήσεων σε μόνιμες εκσκαφές κάνουμε χρήση των ενεργών παραμέτρων (στα στρώματα που παρουσιάζουν θετική πίεση πόρων, πχ αυτά κάτω από τον υδροφόρο) γιατί κρίσιμη είναι η μακροχρόνια περίοδος. Οι ενεργές αυτές παράμετροι σε αυτό τον υπολογισμό λαμβάνονται υποειδικά αφού δεν έχουν προσδιοριστεί με κάποια ειδική δοκιμή. Κάτι τέτοιο πρέπει να αποφεύγεται γιατί μπορεί να δώσει οδυνηρό αποτέλεσμα. Ο υπολογισμός των ωθήσεων γίνεται με τη θεωρία Coulomb η οποία απελεύτει τη συνοχή και παίρνει υπ' όψη μόνο την εσωτερική τριβή τού εδαφούς.

- 0.00 -	στρώση 1η. Αρχιλός $c = 1.94 \text{ kg/cm}^2$ $\varphi = 28 \quad \gamma\varphi = 2 \text{ tn/m}^3$
- 2.50 -	υδροφόρος ορ. → στρώση 2η. Αργυρίλωδη άμμος $c = 1.35 \quad \varphi = 26 \quad \gamma\varphi = 1.47$ $c' = 0 \quad \varphi' = 34$
-5.80 - 5.00 -	στρώση 3η. Αμμώδης άρχιλός $c = 0.78 \text{ kg/cm}^2 \quad \varphi = 0 \quad \gamma\varphi = 1.28 \text{ tn/m}^3$ $c' = 0.00 \quad \varphi' = 33$

(σχ 28)

Το διάγραμμα των ωθήσεων είναι τριγωνικό (σχ 29). Στο ίδιο σχήμα φαίνονται όλα τα σύμβολα που λαμβάνουν μέρος στους υπολογισμούς.

Η "δ" αποτελεί τη γωνία τριβής εδαφούς - τοίχου και δεν επιρρεάζει σημαντικά. Η τιμή της, δ, που μπορεί να είναι μεταξύ 0 και  $\psi'/2$ .



(σχ 29)

Η τιμή της ολικής ενεργού ωθοσης είναι:

$$E_a = 0.5 * \gamma \varphi * H^2 * \lambda a$$

$$\lambda a = \frac{\frac{2}{\operatorname{sin}(\psi + \alpha)}}{\frac{2}{\operatorname{sin}\alpha} * \frac{2}{\lambda} * \operatorname{sin}(\alpha - \delta)}$$

$$\lambda = 1 + \sqrt{\frac{\operatorname{tan}(\psi + \delta) * \operatorname{tan}(\psi - \beta)}{\operatorname{sin}(\alpha - \delta) * \operatorname{sin}(\alpha + \beta)}}$$

Σε περιπτώση κατακόρυφου τοίχου,  $\alpha = 0$ , και άταν,  $\delta = 0$ ,  $\beta = 0$ , τότε τότε το,  $\lambda a$ , ισούται με:

$$\lambda a = \frac{\operatorname{sin} \frac{2}{\psi}}{(1 + \operatorname{tan} \psi)^2}$$

Εποι:

$$\psi' (1η στρώση) = 28 \dots \lambda a 1 = 0.361$$

$$\psi' (2η στρώση) = 34 \dots \lambda a 2 = 0.283$$

$$\psi' (3η στρώση) = 33 \dots \lambda a 3 = 0.295$$

Οι οριζόντιες στατικές τάσεις (σχ 32) σ(Z)

$$\text{Βάθος, } Z = 0 \text{ μ } \sigma = \gamma \psi_1 * Z * \lambda a_1 = \\ = 2 * 0 * 0.361 = 0 \text{ tn/m}^2$$

$$Z = 1 \quad \sigma = 2 * 1 * 0.361 = .72 \text{ tn/m}^2$$

$$Z = 2 \quad \sigma = 2 * 2 * 0.361 = 1.44 \text{ tn/m}^2$$

$$Z = 2.5 \quad \sigma = \dots \dots \dots = 1.81 \text{ tn/m}^2$$

(2η στρώση)

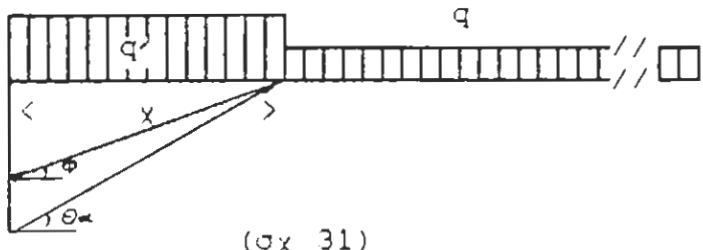
$$\begin{aligned} Z = 2.5 \quad \sigma &= \varphi \cdot H_1 \cdot \lambda_a + \varphi \cdot Z_2 \cdot \lambda_a \cdot 2 \\ &= 1.81 + 1.47 \cdot 0 \cdot 0.283 = 1.80 \\ Z = 3 \quad \sigma &= 1.81 + 1.47 \cdot 0.5 \cdot 0.283 = 2.00 \\ Z = 5 \quad \sigma &= 1.81 + 1.47 \cdot 2.5 \cdot 0.283 = 2.84 \end{aligned}$$

(3η στρώση)

$$\begin{aligned} Z = 5 \quad \sigma &= 2.84 + 1.98 \cdot 0 \cdot 0.295 = 2.84 \\ Z = 5.8 \quad \sigma &= 2.84 + 1.98 \cdot 0.8 \cdot 0.295 = 3.31 \end{aligned}$$

Υδροστατική πίεση δε λαμβάνουμε γιατί προβλέπεται ελεύθερη απορροή του νερού μέσω οπών που υπάρχουν στό τοίχο.

Τα κινητά φορτία. Αυτά προέρχονται από τα κυκλοφορούντα οχήματα και τα δομικά μηχανήματα και μπαίνουν στον υπολογισμό με ένα συμβατικό τρόπο [16] σύμφωνα με το (σχ 31).



(σχ 31)

Εφόσον τα φορτία αυτά εφαρμόζονται σε απόσταση ίση μεγαλύτερη από 0.6 μέτρα, από τη παρεια τής εκσκαφής μπορούν να αντικατασταθούν με τισοδύναμο ομοιόμορφο φορτίο που εφαρμόζεται σε λουρίδα  $x = 1.5$  μέτρα (σχ 31). Ο υπόλοιπος χώρος έξω από τη λουρίδα  $x$ , φορτίζεται με  $q = 1 \text{ tn/m}^2$ .

Φορτίο μηχανήματος	$q'$
10 tn	3 tn/m <sup>2</sup>
30 tn	6 tn/m <sup>2</sup>
50 tn	9 tn/m <sup>2</sup>
70 tn	12 tn/m <sup>2</sup>

Στή παρούσα μελέτη  $q' = 6 \text{ tn/m}^2$   
 $q = 1 \text{ tn/m}^2$ .

Οι γωνίες  $\varphi$  (σχ 31) =  $\varphi_1 = 28^\circ$   
και  $\theta\alpha = 45^\circ + 0.5^\circ$  (μέσο δρο ή των  $\varphi_1, \varphi_2$ ) =  $60^\circ$

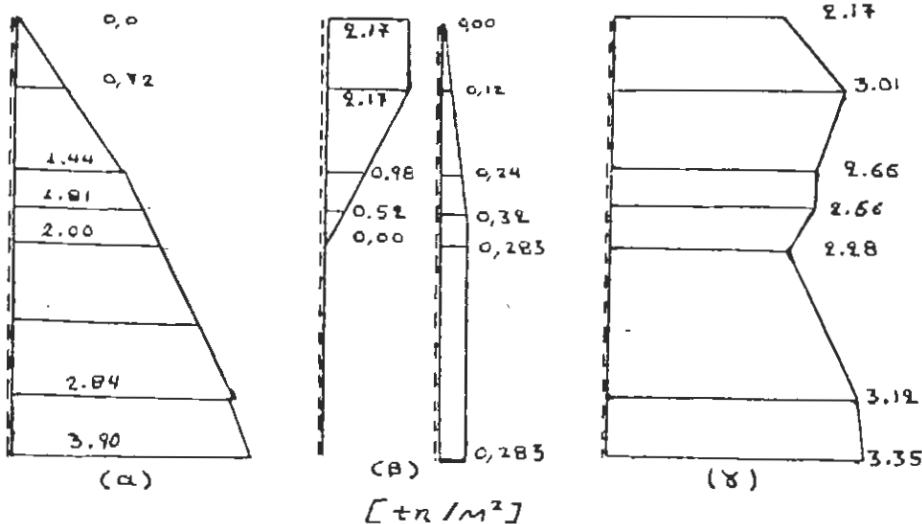
Οι μέγιστες τάσεις (σχ31) είναι οι εξεις:

$$\sigma' = q' * \lambda_{a1} = 6 * 0.361 = 2.17 \text{ tn/m}^2$$

(λα1 γιατί ασκεί επιρροή στη 1η στρώση.)

$$\sigma = q * \lambda_{a2} = 1 * 0.283 = 0.283 \text{ tn/m}^2$$

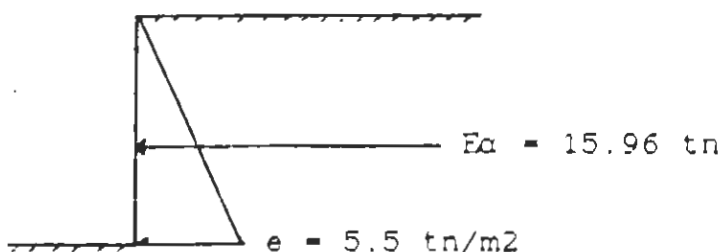
(λα2 γιατί ασκεί μεγαλύτερη επιρροή στη 2η στρώση.)



- (a) Ωθήσεις γαιών. (b) Ωθήσεις από φορτία εξωτερικά, q και q'. (c) Συνολικές ωθήσεις.

(σχ32)

Εάν από τις τεταγμένες των τάσεων του διάγραμματος (γ) υπολογίζουμε τη συνισταμένη μπορούμε να πάρουμε το τριγωνικό διάγραμμα του σχήματος (σχ 33).



(σχ 33). Συνολική ωθηση γαιών και επιφορτίσεων.

Ροτές στατικές, ευστάθειας και ανατροπής.

Από το (σχ27, σελ 137) και τις δυνάμεις, G, (σελ 138) υπολογίζουμε τις ροτές ευστάθειας ως προς το άκρο, A, του τοίχου.

$$\begin{aligned}
 M_1 &= 5.85 * 18 = 105.30 \text{ tn*m} \\
 M_2 &= 5.47 * 1.73 = 9.50 \text{ tn*m} \\
 M_3 &= 4.10 * 15.45 = 63.35 \text{ tn*m} \\
 M_4 &= 3.35 * 2.89 = 9.71 \text{ tn*m} \\
 M_5 &= 2.07 * 2.33 = 4.80 \text{ tn*m} \\
 M_6 &= 3.50 * 19.25 = 67.40 \text{ tn*m} \\
 M_7 &= 6.23 * 1.31 = 8.20 \text{ tn*m} \\
 \hline
 \end{aligned}$$

Σύνολο ροτών ευστάθειας.  $\Sigma M = 268.30 \text{ tn*m}$

Ροτές ανατροπής ως προς το άκρο, A, του τοίχου. Από ωθήσεις γαιών και επιφορτίσεων. Αυτές οι δυνάμεις φαίνονται στό (σχ 33).

$$M = 2.86 * 15.96 = 45.65$$

Ελεγχοι ευστάθειας

Ελεγχος ανατροπής

$$\begin{aligned}
 (\text{Ροτή ανατροπής} / \text{ροτή ευστάθειας}) &=< 1.5 = v1 \\
 45.64 / 268.3 &= 0.17 < 1.5
 \end{aligned}$$

Ελεγχος ολισθησης

$$\begin{aligned}
 \text{Οριζόντιες δυνάμεις} \quad E_a &= 15.96 \text{ tn} \\
 \text{Κατακόρυφες δυνάμεις} \quad \Sigma G &= 61.00 \text{ tn}
 \end{aligned}$$

Σαν γωνία τοίθης μεταξύ θεμελίου - εδάφους "δ" είναι το μισό της ενεργού γωνίας τοίθης φ' 3 δηλαδή  $33 / 2 = 16.5$  με τη σκέψη ότι η σκυροδέτηση θα γίνει επι τόπου.

$$\begin{aligned}
 (\Sigma G / E_a) * \tan \delta &=> 0.4 = v2 \\
 61 / 15.96 * \tan 16.5 &= 1.13 > 0.4
 \end{aligned}$$

### Υπολογισμός τής φέρουσας ικανότητας

Το στρώμα έδρασης είναι ένα αργίλικό υλικό κορεσμένο (Sr-1) όπως δείχνει η εδαφοτεχνική αξιολόγηση. Σε αυτή τη περίπτωση, τής κορεσμένης αργίλου, οι τάσεις επαφής πρέπει να προσδιορίζονται με τής ολικές παραμέτρους αντοχής, γιατί κρίσιμη εδώ είναι η περιόδος κατά το τέλος τής κατασκευής που δεν έχει ακόμα γίνει στερεοποίηση.

$$\varphi = 0, \quad c = 0.78 \text{ kg/cm}^2 \text{ ή } 7.8 \text{ tn/m}^2, \quad D_f = 5.8 \text{ m}$$

$$\gamma\varphi = 1.98 \text{ tn/m}^3, \quad b = 15 \text{ m}, \quad a = 3.8 \text{ m.}$$

Όταν η στάθμη τού νερού είναι πάνω από το επίπεδο θεμελίωσης τότε η επιτρεπόμενη τάση ορίζεται ως εξεις [7] :

$$q = c * N_c + \gamma\varphi * D_f * N_q * W + 0.5 * b * \gamma\varphi' * N_\gamma$$

όπου :  $c$  = Η συνοχή τού εδάφους κάτω από το θεμελιώσει  $\text{tn/m}^2$ .

$\gamma\varphi$  = Το φαινόμενο ειδικό βάρος τού εδάφους θεμελίωσης σε  $\text{tn/m}^3$ .

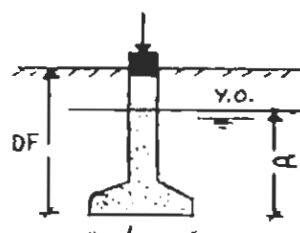
$b$  = Το πλάτος θεμελίωσης σε μέτρα.

$\gamma\varphi'$  = Το φαινόμενο βάρος τού εδάφους κάτω από τον υδροφόρο,  $\gamma\varphi' = \gamma\varphi - \gamma_w$  με όω το ειδικό βάρος τού νερού.

$a$  = Ύψος τού υδροφόρου από τη βάση τού θεμελίου σε μέτρα.

$D_f$  = Βάθος θεμελίωσης σε μέτρα.

$\varphi$	$N_c$	$N_q$	$N_\gamma$
0	5.7	1.0	0.0
5	7.3	1.6	0.5
20	17.7	7.4	5.0
30	37.2	22.5	19.7
40	95.7	81.3	100.4
50	347.5	415.1	1153.2



(σχ 34)

$\alpha / D_f$	$W$
1.0	0.5
0.8	0.6
0.4	0.8
0.2	0.9
0.0	1.0

(σχ 35)

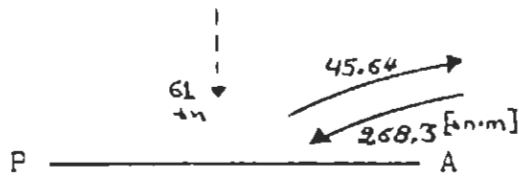
Ετσι η φέρουσα τάση είναι:

$$\begin{aligned} q &= 7.8 * 5.7 + 1.98 * 5.8 * 1 * 0.675 + 0 = \\ &= 52.2 \text{ tn/m}^2, \quad 5.22 \text{ kg/cm}^2. \end{aligned}$$

Ελεγχος τάσεων κάτω από το θεμέλιο

$$\begin{aligned} J_x &= b * h^3 / 12 \quad \text{όπου } b = 1 \text{ m} \text{ και } h = 7 \text{ m.} \\ J_x &= 29 \text{ m}^4 \end{aligned}$$

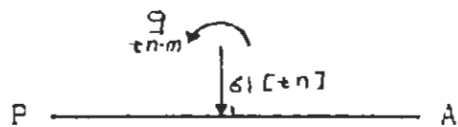
Έχουμε μονοαξονική ένταση οπότε μπορούμε να τη παρουσιάσουμε μονοδιάστατα (σχ 36).



(σχ 36)

Η ροπή που δρα είναι ως πρός το A. (σελ 143):

$$Mδ = 268.3 - 45.64 = 222.7$$



$$\Sigma G = 61 \text{ tn} \quad (\text{σελ 138})$$

Η απόσταση της δύναμης  $\Sigma G$  από το A. είναι  $Mδ / \Sigma G = 3.65$  μέτρα. Και από το κέντρο της βάσης τού θεμέλιου, P A, είναι  $3.65 - (h / 2) = 0.15$  m πρός τη μεριά τού P. Η δύναμη αυτή είναι μέσα στό πυρήνα, αφού  $0.15 < h / 6 = 1.17$  m, ο οποίος για ορθογωνικές διατομές είναι ρόμβος και το άκρο του απέχει  $h / 6$  από το κέντρο βάρους της διατομής που είναι και κέντρο τού πυρήνα. Η ροπή που δίνει η  $\Sigma G$  ως προς το κέντρο της βάσης είναι  $0.15 * 61 = 9$   $M_k = 9$ ,  $y = h/2 = 3.5$ .

$$\sigma_{F.A} = \frac{\Sigma G}{b * h} +, - \frac{M_k}{J_x} * y = \frac{\sigma P}{\sigma A} = 9.8 \text{ tn/m}^2$$

Μικρότερες από την τάση επαφής,  $q = 52 \text{ tn/m}^2$

## ΔΥΝΑΜΙΚΕΣ ΩΘΗΣΕΙΣ ΕΔΑΦΟΥΣ

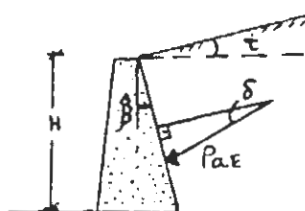
Για τον υπολογισμό των δυναμικών ωθήσεων έχουν προταθεί αρκετές μεθοδοί. Σε αυτή τη μελέτη ο υπολογισμός θα γίνει με τη μέθοδο, Mononobe - Okabe (1929) την οποία προτείνεται και ο νέος αντισεισμικός κανονισμός (Ενημερωτικό δελτίο ΤΕΕ τεύχος 1757, 26 Απριλίου 1993).

Όταν μικρές σεισμικές δονήσεις καταπονούν ένα έδαφος οι τάσεις και οι παραμορφώσεις του εδάφους παραμένουν στην ελαστική περιοχή. Με τήν αύξηση τού μεγέθους των δονήσεων η συμπεριφορά τού εδαφικού υλικού γίνεται σταδιακά όλο και περισσότερο μη γραμμική ενώ οι μετατοπίσεις τού τοίχου αυξάνουν μέχρι να δημιουργηθεί μια επιφάνεια ολισθησης πίσω από το τοίχο, έτοι το σύστημα έδαφος - τοίχος έχουν φθάσει στην οριακή ισορροπία (Μηχ. Γεωργιάδης)

Η συνολική ώθηση στατική και δυναμική,  $P_{ae}$ , υπολογίζεται ως εξεις:

$$P_{ae} = 0.5 * \gamma f * H^2 * \lambda e$$

- |            |            |   |
|------------|------------|---|
| όπου       | $\gamma f$ | = Ειδικό φαινόμενο βάρος $tN/m^3$ .   |
|            | $H$        | = Ύψος του τοίχου σε μέτρα.   |
|            | $\varphi$  | = Ολική γωνία τριβής (χιλιού ο σεισμός είναι μια ταχύα κυκλική φόρτιση και έτοι δεν έχουμε μείωση της πίεσης των πόρων). Λαμβάνουμε ως, $\varphi$ , τη μέση τιμή των στρωμάτων πίσω από το τοίχο.   |
| $K_h, K_v$ |            | = Οριζόντια και κατακόρυφη επιτάχυνση τού εδάφους /g/. Οι τιμές αυτές μπορούν να οριστούν από τα συνθετικά επιταχυνσιογράμματα τού νέου αντισεισμικού κανονισμού ήταν είναι γνωστή η ιδιοπερίοδος τού εδάφους. Εδώ σαν, $K_h$ , έχουμε τη τιμή, 0.43, (σελ 129) και για $K_v$ , τη τιμή από τη σχέση, $K_h/3$ , αν και κάτι τέτοιο δεν είναι απόλυτο. Ακόμα επιτάχυνση, $K_h$ , μπορεί να γίνει, $K_h' = K_h * 0.667$ μόνο για τοίχους με δυνατότητα ολισθησης. |
|            | $\theta_a$ | = τοξ εψ { $K_h' / (1 - K_v)$ }   |



(σχ 37)

$$\lambda = \left[ 1 + \sqrt{\frac{\eta \mu (\varphi + \delta) * \eta \mu (\varphi - \theta - \iota)}{\sigma u v (\delta + \beta + \theta) * \sigma u v (\iota - \beta)}} \right]^2$$

$$\lambda_{\text{αε}} = \frac{(1 - K_v)^2 * \sigma u v (\varphi - \theta - \beta)}{\sigma u v \theta * \sigma u v \beta * \sigma u v (\delta + \beta + \theta) * \lambda}$$

Εποι έχουμε

$$\begin{aligned} K_h' &= 0.43 * 0.667 = 0.29 \\ K_v &= 0.29 / 3 = 0.10 \end{aligned}$$

$$\begin{aligned} \varphi &= 20 \\ \beta &= 0 \\ \delta &= \varphi / 2 = 10 \\ \iota &= 0 \end{aligned}$$

$$\begin{aligned} \theta &= 18 \\ \lambda_{\text{αε}} &= 0.83 \end{aligned}$$

Συνολική ωθηση (στατική + δυναμική)

$$\begin{aligned} P_{\text{αε}} &= 0.5 * 1.9 * 5.8 * 2 * 0.83 = \\ P_{\text{αε}} &= 26.5 \text{ tn} \end{aligned}$$

Η δύναμη,  $P_{\text{αε}}$ , επενεργεί σε ύψος  $Z$ . Ακολουθεί ο υπολογισμός τού.  $Z$ :

Η στατική δύναμη  $P_a = 15.9$  tn επενεργεί σε ύψος από το θεμέλιο,  $I = 2.86$  μέτρων (σελ 142).

Η δυναμική δύναμη τισσούτε με

$$\Delta E_a = P_{\text{αε}} - P_a = 26.5 - 15.9 = 10.6$$

Η  $\Delta E_a$  ενεργεί σε ύψος,  $X$ , από το θεμέλιο

$$X = 0.6 * H = 3.5 \text{ μέτρα.}$$

(κατά Γ. Κανελλαΐδη, Χ. Γαντές, Δ. Καλλιβώκας "Διαστασιολόγηση τοίχων ποδός από οπλισμένο σκυρόδεμα για αντιστροφή συνεκτικών εδαφών", Τεχνικά Χρονικά, Α 1988 τόμος 8 τεύχος 2)

$$Z = \frac{x * \Delta E_a + I * P_a}{P_{\text{αε}}} = 3.1 \text{ μέτρα.}$$

Πίνακας υπολογισμού ροπών ανατροπής

1 Κατακόρυφο φορτίο tn	2 Οριζόντιο 2 = 1 * Kh tn	3 Απόσταση από θεμέλιο m	4 Ροπή 2 * 3 tn*m
G1=18 + 6**	5.2	3.6	19.00
G2= 1.73	0.5	1.3	0.65
G3=15.50	4.5	3.5	16.00
G4= 2.90	0.8	2.6	2.08
G5= 2.30	0.7	1.2	0.80
G6=19.30	5.6	0.6	3.40
G7= 1.30	0.4	1.5	0.60
-----	-----	-----	-----
Pae	26.50	3.1	82.15

Σημ: όπου " \*\* " το φορτίο λόγο εξωτερικής φόρτισης.

Σύνολο οριζόντιων φορτίων  $F = 44.20$   
Σύνολο ροπών ανατροπής  $Ma = 124.70$

Ροπές ευστάθειας (σελ 143)  $Me = 268.30$

#### Ελεγχός ευστάθειας

#### Ελεγχός ανατροπής

$$\frac{Ma}{Me} = 0.5 < v_1 = 1.25$$

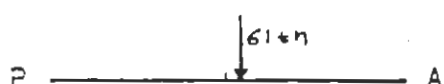
#### Ελεγχός ολισθησης

$$\frac{\Sigma G}{F} * \epsilon_{ψδ} = 0.24 > v_2 = 0.60$$

Υπολογισμός τάσεων στή βάση του θεμέλιου.

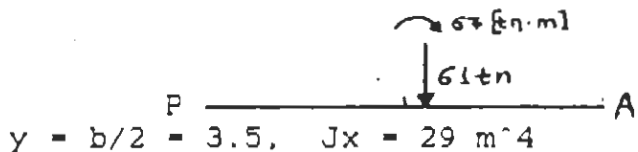
Η διαφορά  $M - Me - Ma = 144$  είναι η υπάρχουσα ροπή ως προς το, A, (σελ 143). Αφού το συνολικό φορτίο είναι ίσο με  $\Sigma G = 61$  tn έχουμε

$M / \Sigma G = 2.4$  μέτρα απέχει η  $\Sigma G$  από το, A



οπότε η ΣG απέχει 1.1 μέτρα από το κέντρο της βάσης και είναι μέσα στο πυρήνα (σελ 154).

Η ροπή της δύναμης, ΣG, ως προς το κέντρο είναι  
 $M_k = 1.1 \cdot 61 = 67 \text{ tn} \cdot \text{m}$



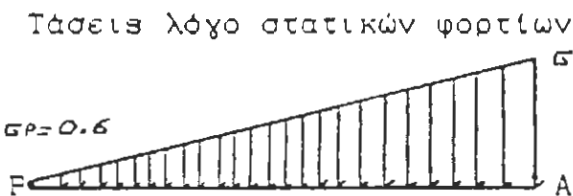
$$\sigma_{P,A} = \frac{\Sigma G}{b \cdot h} +, - \frac{M_k}{J_x} \cdot y = \frac{\sigma_R}{\sigma_P} = \frac{16.8 \text{ tn/m}^2}{0.6 \text{ tn/m}^2}$$

Οι τάσεις αυτές είναι μικρότερες από την επιτρεπόμενη

$$\sigma_P = 9.8$$

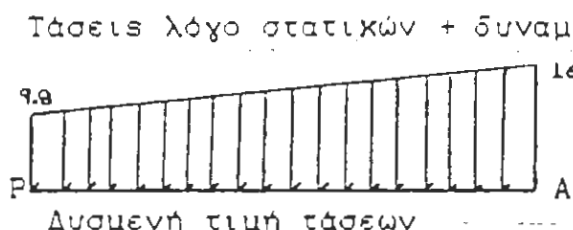


$$\sigma_A = 7.6 \text{ tn/m}^2$$

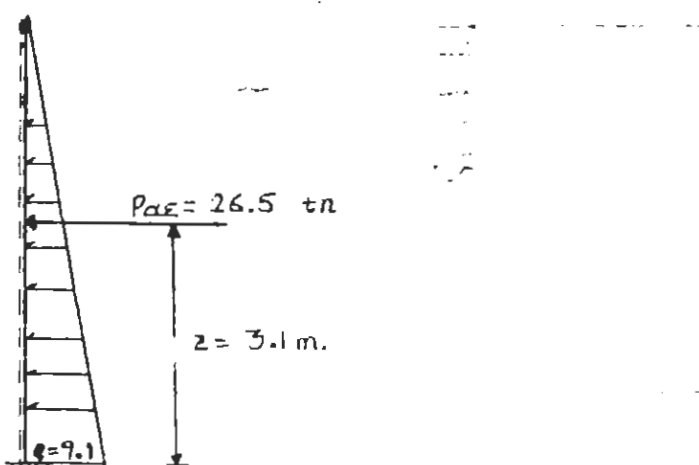


Τάσεις λόγο στατικών φορτίων

$$\sigma_A = 16.8 \text{ tn/m}^2$$



Τάσεις λόγο στατικών + δυναμικών φορτίων



Διαμενή τιμή τάσεων  
 $\sigma = 9.1$

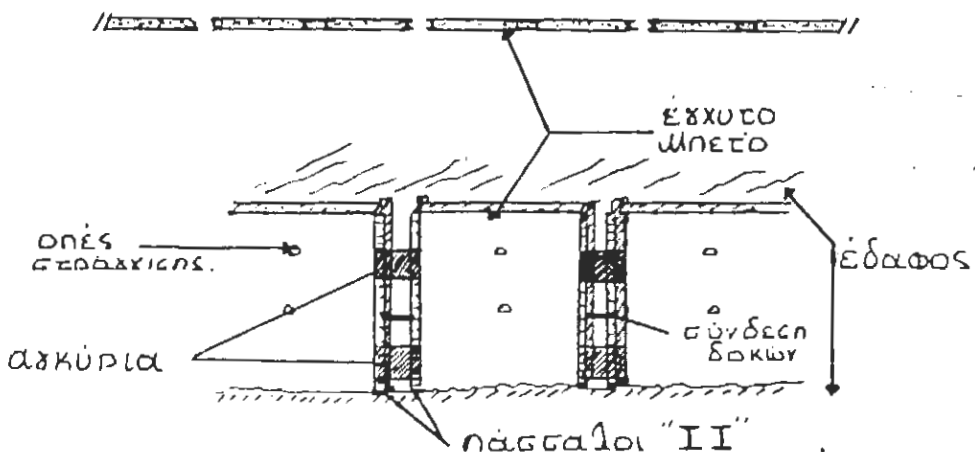
### Συμπεράσματα

Για να υπάρξει ευνοϊκή διανομή των τάσεων από το θεμέλιο στο έδαφος (μόνο θλιπτικές τάσεις) απαιτήται μία μεγάλου όγκου κατασκευή, σύμφωνα με τον υπολογισμό. Κάτι τέτοιο δημιουργείται όμως δεν είναι δυνατό να εξυμπηρετεί της ανάκες κατασκευής κατά τις οποίες ο ελεύθερος χώρος της εκσκαφής είναι απαραίτητος.

### Υπολογισμός αντιστροφιζησ με παρατεταγμένους

αγκυρωμένους πασσάλους και ενδιάμεσα έκχυτο μπετό

Αυτό το σύστημα αντιστροφιζησ έχει αρκετά πλεονεκτήματα. Αρχικά αφήνει ελεύθερο χώρο στην εκσκαφή, και διευκολύνεται η κατασκευή. Ακόμα αναπτύσσει θλιπτικές τάσεις προς τη μεριά του έδαφους και παρουσιάζει μικρές οριζόντιες παραμορφώσεις. Η μορφή του τοιχώματος παρουσιάζεται στο σχήμα (σχ 38)



Κάτων και όων του τοίχου

(σχ 38)

Οι ωθήσεις λόγο γαιών και κυκλοφορίας οχημάτων, δίνονται στις σελίδες (139 - 142) γιατί και εδώ γίνεται χρήση των ενεργών ωθήσεων αφού η μετακίνηση του τοιχώματος πρός το έδαφος είναι μικρότερη από τη μετακίνηση στην οποία εμφανίζονται παθητικές ωθήσεις [16]. Υδροστατικές πιέσεις δε λαμβάνουμε στη μελέτη γιατί προβλέπεται ελεύθερη απορροή μέσω αποστραγγιστικών οπών.

Οι ωθήσεις λόγο σεισμού λογαριάζονται σύμφωνα με τη μέθοδο Μονοποδε - Okabe η οποία εκτενός περιγράφεται στη σελίδα (146)

Η σεισμική οριζόντια επιτάχυνση είναι  $K_h = 0.43$  και η κατακόρυφη  $K_v = K_h / 3$  (αν και κάτι τέτοιο δεν είναι απόλυτο).

Οπότε έχουμε συντελεστή ενεργών ωθήσεων για σεισμό (το μέσον δρόμο των ενεργών γωνιών τοιχής) :

$\varphi' = 30$	$\theta = 27.0$
$\delta = 15$	
$\beta = 0$	$\lambda\alpha\epsilon = 1.1$
$\iota = 0$	

Ωθηση ενεργή (δυναμική + στατική)

$$E_a = 0.5 * K^2 * \gamma\varphi * \lambda\alpha\epsilon$$

---

Και συντελεστή στατικών ωθήσεων, για κάθε στρώμα (σελ 140) :

$$\begin{aligned} \varphi'_1 &= 28 \dots \lambda\alpha_1 = 0.361 \\ \varphi'_2 &= 34 \dots \lambda\alpha_2 = 0.283 \\ \varphi'_3 &= 33 \dots \lambda\alpha_3 = 0.295 \end{aligned}$$

Ωθηση ενεργή στατική

$$E_{as} = 0.5 * K^2 * \gamma\varphi * \lambda\alpha$$

Ετσι βάση των παραπάνω στη παρειά του τοίχου έχουμε :

(σχ 32α) Ολική ωθηση στατική γαιών 11.3 t<sub>n</sub>

$$\begin{aligned} \text{Έξωτ. φόρτιση (σχ 328)} &= 2.5 * 0.32 * 0.5 \\ &+ 2.17 * 1 + (2.17 + 0.52) * 0.5 * 1.6 = \\ &= 4.72 \text{ t}_n \end{aligned}$$

Εστατ. γαιών + εξωτ. φορτίων = 16.02 tn

Εστατ + δυναμ. = 0.5 \* 1.9 \* 5.8 \* 2 \* 1.1 = 35

Εστατ + δυναμ + εξωτ. φορτίων = 35 + 4.72 =  
= 39.72

Εδυναμ = 39.72 - 16.02 = 23.7 tn

Σημ: Για τον υπολογισμό των δυναμικών ωθήσεων έχινε χρήση ενώς μεσου φαινομένου βάρους, γψ = 1.9, και ενώς συντελεστή ενεργών (δυναμικών + στατικών) ωθήσεων, λαε = 1.1, για πιο απλούς υπολογισμούς.

#### Επιλογή θέσης αγκυρών

Η επιλογή μπορεί να γίνει ελεύθερα.

Οριζόντια απόσταση 1.2 μέτρα.

Κατακόρυφη απόσταση 1.2 μέτρα.

Στάθμη πρώτης οειράς αγκυρών 2 μέτρα.

Κλίση των αγκυρών  $B' = 15^\circ$ .

Μήκος πάκτωσης  $L_0 = 6$  μέτρα.

Το πακτωμένο τυήμα πρέπει να βρίσκεται έξω από το πρίσμα ολισθησης, ΔΓΒ (σελ 153).

#### Πρίσματα ολισθησης και προσδιορισμός της

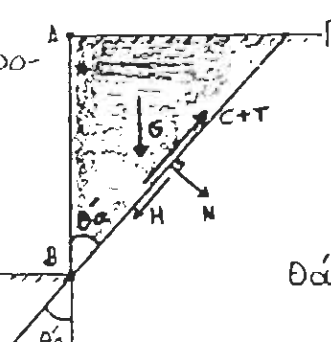
δύναμης αγκύρωσης.

Τα πρίσματα αυτά ορίζονται σύμφωνα με το σχήμα (σχ 39). Οι υπολογισμοί για κάθε ένα είναι στή, (σελ 156).

Δυνάμεις σε αθερό-  
νοις σημ. (C+T):

$$C = C * (B\Gamma)$$

$$T = N * \text{εφφρες.}$$



G = Βάρος ηρίσματος  
N = Γενικό θάλαττο Η = Γενική βύθιση

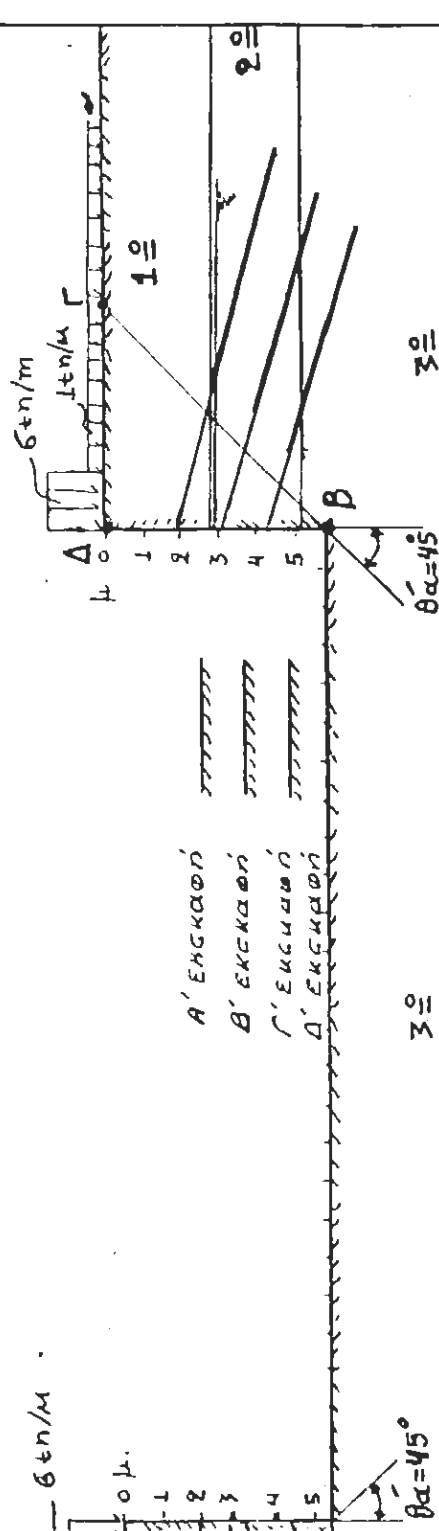
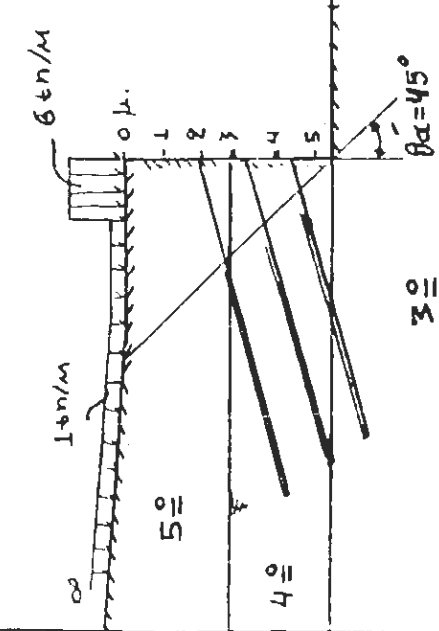
$$\theta_\alpha = 45 - \frac{\phi_{\text{φρες}}}{2}$$

(σχ 39)

Kata unikous toun tnis exouias kai enikous naoudeidou exoudasou

$$KA = \frac{1}{1200} \text{ ουνια}$$

$$KA = \frac{1}{1200} \text{ μηκωρ}$$



$$\theta_\alpha = 45 - \frac{\phi_{res}}{2}$$

$$\theta_\alpha = 45^\circ$$

(φres=0, xia δυνήμα)

ΝΟΟΔΗΣΕΙΡΑ ΔΙΚΙΩΔΑ

νέος ελεύθερο γνάκρωρο

Στρώμα	Παρόντερο εστόκο βάρος	Οδικές C	Ενέδρες C'	φ	φres	Μακριές φρες
1°	2.00	19.4	2.8	2.8	0	2.6
2°	1.47	13.5	4.0	3.4	0	2.4
3°	1.98	7.8	0	2.8	0	2.2
4°	1.47	6.4	2.7	2.0	0	2.0
5°	1.47	11.9	2.7	1.6	2.9	0
						2.5

Φέρουσα ικανότητα αγκυρίου

Αυτός ο υπολογισμός θα γίνει μόνο για τη πρώτη σειρά αγκυρών μία και είναι η δυσμενέστερη.

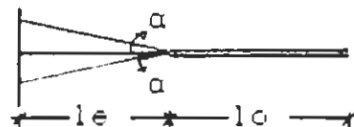
Μήκος πάκτωσης  $lo = 6$  μέτρα.

Ελεύθερο μήκος  $le = 4$  μέτρα.

Η πάκτωσή του (σχ.) βρίσκεται μέσα στο 2ο στρώμα που παρουσιάζει, φρες = 24 cres = 0 γψ = 1.9 το ύψος της πάκτωσης του από την ελεύθερη επιφάνεια τού εδάφους είναι,  $t = 4.4$  μέτρα.

Παραπλευρη επιφάνεια κώνου

$$E\pi = 3.14 * \left( \frac{lo}{2} + le \right)^2 * \text{εφα}$$



$$\text{όπου } a = \varphi_{res} * 2 / 3$$

$$\text{Ελεγχος } R = \left( \frac{lo}{2} + le \right) * \text{εφα}$$

εάν  $2*R > \text{απόσταση μεταξύ δύο αγκυρών}$ , πρέπει μικρότερη τιμή τής,  $E\pi$ .

Οπότε τελικά,  $a = 5$ ,  $E\pi = 13$ .

ελεγχος,  $R = 0.6$ ,  $2*R = 1.2 = \text{απόσταση μεταξύ δύο αγκυρών}$ .

$\tau = \text{δύναμη συνάφειας κώνου}$

$$\tau = [cres + (\gamma\psi * t + p) \text{ εφφρες}] * E\pi$$

$th = \text{η οριακή δύναμη συνάφειας για κάθε αγκύριο}$ .

$tk =$

το ύψος τού μέσου της πάκτωσης του από την ελεύθερη επιφάνεια τού εδάφους

$b = \text{απόσταση αγκυρών}$

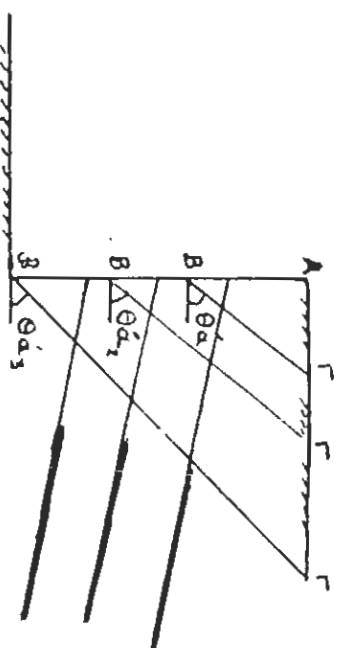
$F = \text{εξωτερικό φορτίο στην επιφάνεια τού εδάφους}$ .

$B = \text{κλίση αγκυρών}$ .

$$th = [(\gamma\psi * tk + p) * \text{εφφρες} + c] * b * lo * \text{συνβ}$$

Δυνάμεις συναρφειας αγκυρών

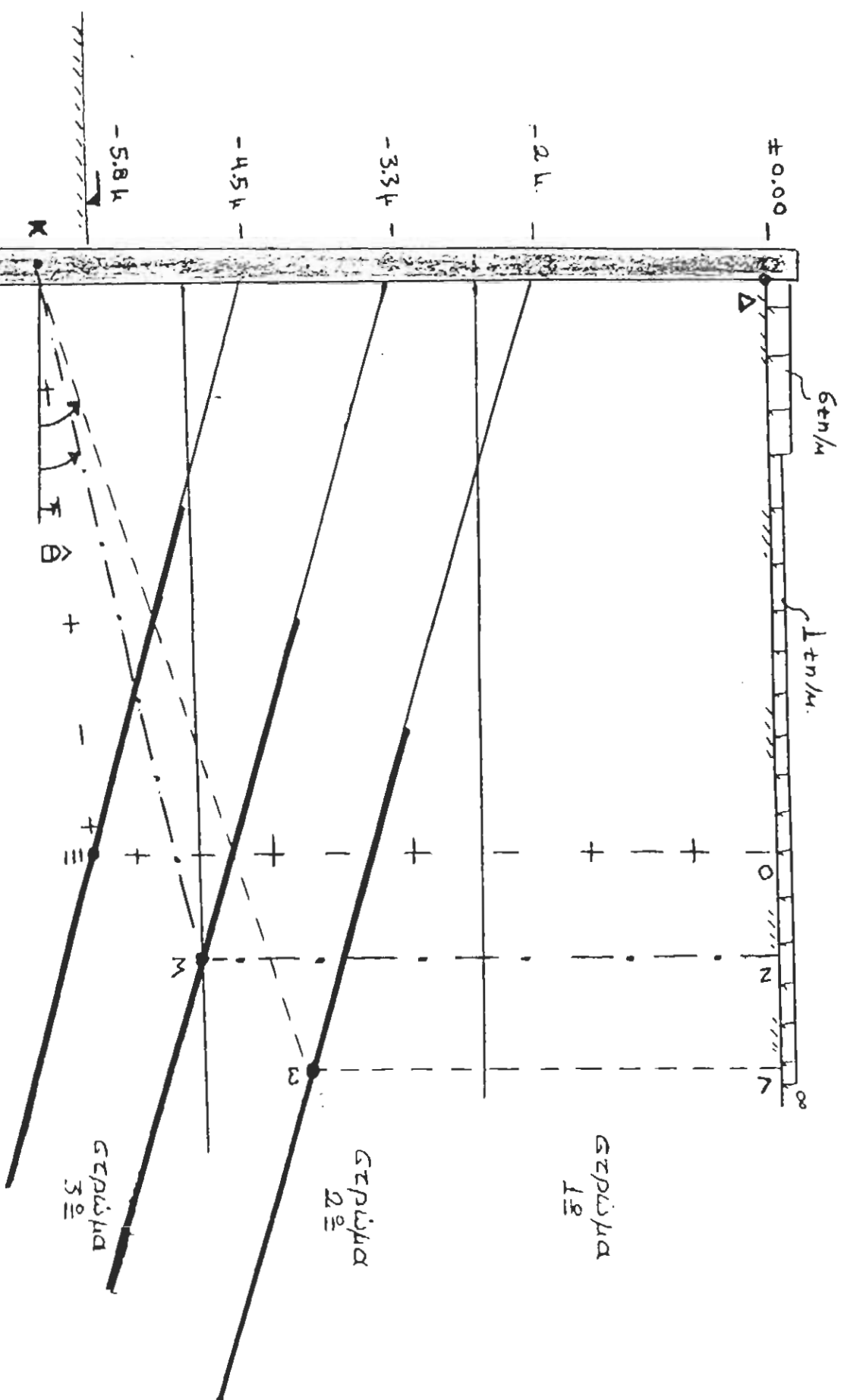
Αγκυρό	γρ	pres	τ	th
A/A	tn/m3		tn	tn
1	1.90	26	52	30
2	1.69	24	>52	30
3	1.80	21	>52	31



\*<sub>T</sub> A,  $\frac{T+C}{H} > 1.5$  Sir and  
Tinca auxipugn.

Ensayos de tensiones (Karr en video Kranz)

KN : 1 ÷ 50



Προσδιορισμός δύναμης αγκύρωσης

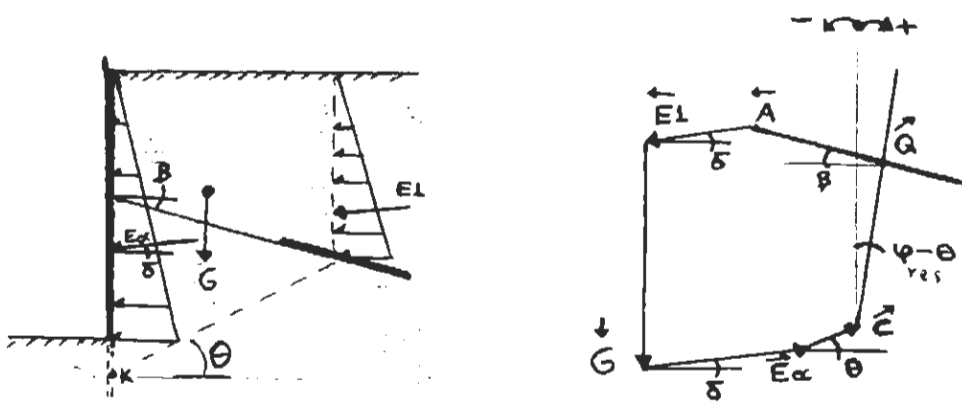
Ο E. Kranz (1953) εφάρμοσε το τρόπο υπολογισμού των κιβωτιοειδών ιφραγμάτων για τοιχώματα αγκυρωμένα σε πλάκες. Η ίδια μέθοδος μπορεί να επεκταθεί και για αγκύρια πακτωμένα στο έδαφος. Ο Kranz θεωρεί μια επιφάνεια ολισθήσας που περνά από το μέσον κάθε πακτωμένου τμήματος.

Το τοιχώμα ενισχύεται με κατακόρυφους πασσάλους και το θεωρητικό του άκρο βρίσκεται στη περιοχή της άρθρωσης. Εδώ ο πάσσαλος έχει μπει, 1.5 μέτρα, στο έδαφος (σχ 40) και το σημείο άρθρωσης είναι το, Κ.

Από το σημείο της άρθρωσης, Κ (σχ 41), χαράσσεται μια ευθεία που τέμνει το μέσον του πακτωμένου τμήματος κάποιας σειράς αγκυρών, από εκεί γίνεται μια άλλη ευθεία κάθετη ως προς το οριζόντιο επίπεδο. Η επιφάνεια που ορίζουν οι προιγούμενες ευθείες έχει Βάρος, G. Ετοιμασκευάζεται το δυναμοπολύγωνο για κάθε σειρά αγκυρών. Αρχίζουμε από τη δύναμη El (σχ 41) με κλίση, δ, στη συνέχεια τη κατακόρυφη δύναμη, G, και κατά σειρά την, Ea. (Συνολική δύναμη που δέχεται ο τοίχος). Μετά το τέλος της, Ea, τοποθετούμε με κλίση θ (σχ 41) τη δύναμη λόγω συνοχής, C.

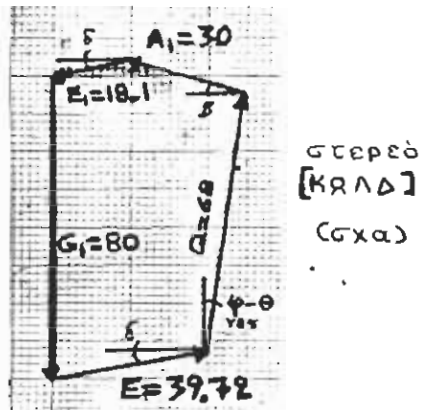
$$C = c * s$$

Στη συνέχεια συνθέτουμε την ευθεία, Q, με κλίση ως προς τη κατακόρυφο, φres - θ, και από το τέλος της, Q, μιά άλλη ευθεία, A, διστενόντας την κλίση το δυναμοπολύγωνο. Η δύναμη, A, είναι λόγω αυτής της αγκύρωσης.

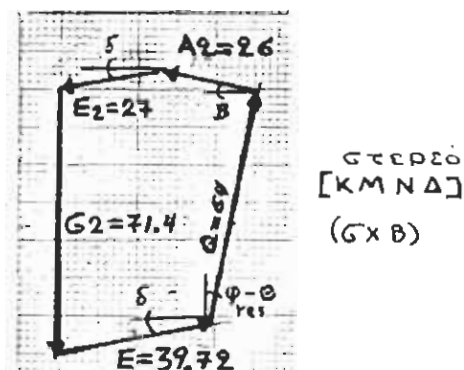


(σχ 41)

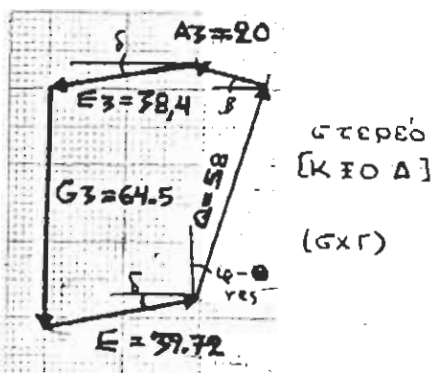
## Δυναμοπαλυγωνα



Δύναμη, 1ου, αγκυρίου.  $A_1 = 30$  tn  
(ιση με τη φέροντα ικανότητα, σελ 154)



Δύναμη, 2ου, αγκυρίου.  $A_2 = 26$  tn  
(μικρότερη από τη,  $\psi.i.=30$ , σελ 154)



Δύναμη, 3ου, αγκυρίου.  $A_3 = 20$  tn  
(μικρότερη από,  $\psi.i.=31$ , σελ 154)

Η γωνία  $\theta$  (σχ 41) και η  $\psi_{res}$  παίζουν σπουδαίο ρόλο στη τιμή της δύναμης,  $A$  (=Αγκύρωσης). Για παράδειγμα όταν,  $\theta_{ires}$ , η κλίση της,  $Q$ , είναι προς τα αριστερά. Αρα έχουμε μείωση της,  $A$ .

Εδώ παρουσιάζεται ο υπολογισμός των στοιχείων που στη συνέχεια με τη βοήθεια του δυναμοπολυγώνου γίνεται ο υπολογισμός της δύναμης αγκύρωσης, Αξελ 158).

\* Δύναμη στην οποία αντιστέκεται ο τοξός.  
 $E_{statik} + \delta_{dynamik} = 0.5 * 1.9 * 5.8 * 1.1 = 35$   
 $E_{statik} γατών + εξ. φόρτιση = 11.3 + (2.5 * 0.32 * 0.5 + 2.17 * 1 + (2.17 + 0.52) * 0.5 * 1.6 = 16.02$

$E_{statik} + εξωτ. φόρτιση + δύναμη = 35 + 4.72 = 39.72 \text{ tn}$

$\delta_{dynamik} = 39.72 - 16.02 = 23.70 \text{ tn}$

\* Ιδεατό στερεό (Δ Λ Ω Κ).  
Το Βάρος του είναι  $G = 80 \text{ tn}$   
Πλευρά (ΛΩ):

$$(z= 2.5 \text{ m}) e = 2.5 ^2 * 0.5 * 1.9 * 0.361 = 2.10$$

$$(z= 4.0 \text{ m}) e = 1.5 ^2 * 0.5 * 1.1 * 1.9 * 0.283 + 2.10$$

$$e = 2.71$$

$E_{gatwn} στατική = 0.5 * 2.1 * 2.5 + (2.1 + 2.71) * 0.5 * 1.5 = 6.23$

$E_{δυναμη} + γατών στατ = 4 ^2 * 0.5 * 1.1 * 1.9 = 16.72 \text{ tn}$

$E_{δυναμική} = 16.72 - 6.23 = 10.5 \text{ tn}$

$εξ. φόρτιση = 1 * 0.361 + 1 * 0.283 = 1.328 \text{ tn}$

$E_{gatwn} + στατ. φόρτιση = 6.23 + 1.328 = 7.6 \text{ tn}$

$E_{δυναμικών} + στατικών γατών + εξ. φόρτιση = 10.5 + 7.6 = 18.1 \text{ tn}$

Οπότε με βάση τα πιο κάτω αποτελέσματα γίνεται η σχεδίαση του δυναμοπολυγώνου, (Σελ 158), (σχ.α).

Η δυνατική άθοση στη παρειά του τοξου  
 $39.72 \text{ tn}$

Η δυνατική ενεργή φόρτιση στη (ΛΩ)  
 $18.10 \text{ tn}$

$$\varphi_{res} = 26. \quad \delta = 10. \quad \theta = 15. \quad \Theta = 18.$$

$$\varphi = \theta = 8$$

Με την ίδια διαδικασία γίνονται και τα υπόλοιπα.

skissa

O (Kvarnö kyrkogård).

aktiva kyrkogård  
 $R = 8$  meter.

GRÖDNING  
1

0.005

Z.Y.O.  
S

$\alpha = 70^\circ$

GRÖDNING  
2

0.005

$\alpha = 70^\circ$

$\alpha = 52^\circ$

$\alpha = 36^\circ$

$\alpha = 23^\circ$

$\alpha = 14^\circ$

GRÖDNING  
3

$\alpha = 19^\circ$

$\alpha = 8^\circ$

$\alpha = -8^\circ$

$\alpha = -19^\circ$

$\alpha = -27^\circ$

$\alpha = -35^\circ$

$\alpha = -43^\circ$

$\alpha = -51^\circ$

$\alpha = -59^\circ$

$\alpha = -67^\circ$

$\alpha = -75^\circ$

$\alpha = -83^\circ$

$\alpha = -91^\circ$

$\alpha = -99^\circ$

$\alpha = -107^\circ$

$\alpha = -115^\circ$

$\alpha = -123^\circ$

$\alpha = -131^\circ$

$\alpha = -139^\circ$

$\alpha = -147^\circ$

$\alpha = -155^\circ$

$\alpha = -163^\circ$

$\alpha = -171^\circ$

$\alpha = -179^\circ$

$\alpha = -187^\circ$

$\alpha = -195^\circ$

$\alpha = -203^\circ$

$\alpha = -211^\circ$

$\alpha = -219^\circ$

$\alpha = -227^\circ$

$\alpha = -235^\circ$

$\alpha = -243^\circ$

$\alpha = -251^\circ$

$\alpha = -259^\circ$

$\alpha = -267^\circ$

$\alpha = -275^\circ$

$\alpha = -283^\circ$

$\alpha = -291^\circ$

$\alpha = -299^\circ$

$\alpha = -307^\circ$

$\alpha = -315^\circ$

$\alpha = -323^\circ$

$\alpha = -331^\circ$

$\alpha = -339^\circ$

$\alpha = -347^\circ$

$\alpha = -355^\circ$

$\alpha = -363^\circ$

$\alpha = -371^\circ$

$\alpha = -379^\circ$

$\alpha = -387^\circ$

$\alpha = -395^\circ$

$\alpha = -403^\circ$

$\alpha = -411^\circ$

$\alpha = -419^\circ$

$\alpha = -427^\circ$

$\alpha = -435^\circ$

$\alpha = -443^\circ$

$\alpha = -451^\circ$

$\alpha = -459^\circ$

$\alpha = -467^\circ$

$\alpha = -475^\circ$

$\alpha = -483^\circ$

$\alpha = -491^\circ$

$\alpha = -499^\circ$

$\alpha = -507^\circ$

$\alpha = -515^\circ$

$\alpha = -523^\circ$

$\alpha = -531^\circ$

$\alpha = -539^\circ$

$\alpha = -547^\circ$

$\alpha = -555^\circ$

$\alpha = -563^\circ$

$\alpha = -571^\circ$

$\alpha = -579^\circ$

$\alpha = -587^\circ$

$\alpha = -595^\circ$

$\alpha = -603^\circ$

$\alpha = -611^\circ$

$\alpha = -619^\circ$

$\alpha = -627^\circ$

$\alpha = -635^\circ$

$\alpha = -643^\circ$

$\alpha = -651^\circ$

$\alpha = -659^\circ$

$\alpha = -667^\circ$

$\alpha = -675^\circ$

$\alpha = -683^\circ$

$\alpha = -691^\circ$

$\alpha = -699^\circ$

$\alpha = -707^\circ$

$\alpha = -715^\circ$

$\alpha = -723^\circ$

$\alpha = -731^\circ$

$\alpha = -739^\circ$

$\alpha = -747^\circ$

$\alpha = -755^\circ$

$\alpha = -763^\circ$

$\alpha = -771^\circ$

$\alpha = -779^\circ$

$\alpha = -787^\circ$

$\alpha = -795^\circ$

$\alpha = -803^\circ$

$\alpha = -811^\circ$

$\alpha = -819^\circ$

$\alpha = -827^\circ$

$\alpha = -835^\circ$

$\alpha = -843^\circ$

$\alpha = -851^\circ$

$\alpha = -859^\circ$

$\alpha = -867^\circ$

$\alpha = -875^\circ$

$\alpha = -883^\circ$

$\alpha = -891^\circ$

$\alpha = -899^\circ$

$\alpha = -907^\circ$

$\alpha = -915^\circ$

$\alpha = -923^\circ$

$\alpha = -931^\circ$

$\alpha = -939^\circ$

$\alpha = -947^\circ$

$\alpha = -955^\circ$

$\alpha = -963^\circ$

$\alpha = -971^\circ$

$\alpha = -979^\circ$

$\alpha = -987^\circ$

$\alpha = -995^\circ$

$\alpha = -1003^\circ$

$\alpha = -1011^\circ$

$\alpha = -1019^\circ$

$\alpha = -1027^\circ$

$\alpha = -1035^\circ$

$\alpha = -1043^\circ$

$\alpha = -1051^\circ$

$\alpha = -1059^\circ$

$\alpha = -1067^\circ$

$\alpha = -1075^\circ$

$\alpha = -1083^\circ$

$\alpha = -1091^\circ$

$\alpha = -1099^\circ$

$\alpha = -1107^\circ$

$\alpha = -1115^\circ$

$\alpha = -1123^\circ$

$\alpha = -1131^\circ$

$\alpha = -1139^\circ$

$\alpha = -1147^\circ$

$\alpha = -1155^\circ$

$\alpha = -1163^\circ$

$\alpha = -1171^\circ$

$\alpha = -1179^\circ$

$\alpha = -1187^\circ$

$\alpha = -1195^\circ$

$\alpha = -1203^\circ$

$\alpha = -1211^\circ$

$\alpha = -1219^\circ$

$\alpha = -1227^\circ$

$\alpha = -1235^\circ$

$\alpha = -1243^\circ$

$\alpha = -1251^\circ$

$\alpha = -1259^\circ$

$\alpha = -1267^\circ$

$\alpha = -1275^\circ$

$\alpha = -1283^\circ$

$\alpha = -1291^\circ$

$\alpha = -1299^\circ$

$\alpha = -1307^\circ$

$\alpha = -1315^\circ$

$\alpha = -1323^\circ$

$\alpha = -1331^\circ$

$\alpha = -1339^\circ$

$\alpha = -1347^\circ$

$\alpha = -1355^\circ$

$\alpha = -1363^\circ$

$\alpha = -1371^\circ$

$\alpha = -1379^\circ$

$\alpha = -1387^\circ$

$\alpha = -1395^\circ$

$\alpha = -1403^\circ$

$\alpha = -1411^\circ$

$\alpha = -1419^\circ$

$\alpha = -1427^\circ$

$\alpha = -1435^\circ$

$\alpha = -1443^\circ$

$\alpha = -1451^\circ$

$\alpha = -1459^\circ$

$\alpha = -1467^\circ$

$\alpha = -1475^\circ$

$\alpha = -1483^\circ$

$\alpha = -1491^\circ$

$\alpha = -1499^\circ$

$\alpha = -1507^\circ$

$\alpha = -1515^\circ$

$\alpha = -1523^\circ$

$\alpha = -1531^\circ$

$\alpha = -1539^\circ$

$\alpha = -1547^\circ$

$\alpha = -1555^\circ$

$\alpha = -1563^\circ$

$\alpha = -1571^\circ$

$\alpha = -1579^\circ$

$\alpha = -1587^\circ$

$\alpha = -1595^\circ$

$\alpha = -1603^\circ$

$\alpha = -1611^\circ$

$\alpha = -1619^\circ$

$\alpha = -1627^\circ$

$\alpha = -1635^\circ$

$\alpha = -1643^\circ$

$\alpha = -1651^\circ$

$\alpha = -1659^\circ$

$\alpha = -1667^\circ$

$\alpha = -1675^\circ$

$\alpha = -1683^\circ$

$\alpha = -1691^\circ$

$\alpha = -1699^\circ$

$\alpha = -1707^\circ$

$\alpha = -1715^\circ$

$\alpha = -1723^\circ$

$\alpha = -1731^\circ$

$\alpha = -1739^\circ$

$\alpha = -1747^\circ$

$\alpha = -1755^\circ$

$\alpha = -1763^\circ$

$\alpha = -1771^\circ$

$\alpha = -1779^\circ$

$\alpha = -1787^\circ$

$\alpha = -1795^\circ$

$\alpha = -1803^\circ$

$\alpha = -1811^\circ$

$\alpha = -1819^\circ$

$\alpha = -1827^\circ$

$\alpha = -1835^\circ$

$\alpha = -1843^\circ$

$\alpha = -1851^\circ$

$\alpha = -1859^\circ$

$\alpha = -1867^\circ$

$\alpha = -1$

### Κατολισθηνον χώρου

Ο πιο επικίνδυνος κύκλος ολισθησης είναι αυτός που έχει τον ελάχιστο συντελεστή ασφαλείας. Για τη διερευνηση τέτοιων προβλημάτων προτιμάται η χρήση ηλ. υπολογιστή.

Διάφορα εμπειρικά κριτήρια υπάρχουν για τον ορίσμό του "ίσος" κρίσιμου κύκλου. Τέτοια κριτήρια χρησιμοποιούνται καλά εδώ.

\* \* \* Το κέντρο του κρίσιμου κύκλου βρίσκεται πάνω στη κατακόρυφο τής παρειάς του τοίχου.

\* Ο κύκλος περιβάλλει το μέσον του μήκους πάκτωσης των αγκυρών.

\* Συνήθως έχει τη μικρότερη δυνατή ακτίνα.

Με βάση αυτά σχεδιάζεται ο κύκλος τής (σελ 159). Είναι ένας κύκλος βαθειάς ολισθησης που χωρίζεται στο εδαφικό τμήμα σε, 9, φέτες. Η ανάληση γίνεται κατά τη μέθοδο Fellenius (σελ 161). (σελ 162) Η σεία δίνει συντηρητικά αποτελέσματα και καλύτερα να χρησιμοποιήθαι σε προμελέτες (Η μέθοδος Bishop δίνει τιμές με την ακριβέστερη μέθοδο Spencer, Kabbaas και Alkalani [22]).

Κατά τη μελέτη δε χρησιμοποιήθηκε η αύξηση τής πίεσης των πόρων λόγο εξωτερικών φορτίων ούτε λόγο κυκλικών φορτίσεων ούτε και η πτώση του υδροψόρου ορίζοντα. παρα μόνο η πίεση των πόρων πρεμίας.

Ο νέος αντισεισμικός κανονισμός (1993) θεωρεί σωστό, στην ανάλυση πρανών να ελέγχεται η εδαφική μάζα σε οριζόντια επιτάχυνση  $K_h = 0.5 * kh$  και σε κατακόρυφη επιτάχυνση  $kv = 0.25 * kh$ . Ακόμα η εκτίμηση των διατυπικών παραμέτρων να γίνεται με δοκιμές κυκλικής φόρτισης.

Cáculo de fuerzas en la red.

ta	2	3	4	5	6	7	8	9	10	11	12	13	14	15	16	17	18	19
	Suma de componentes Bajo el eje X en la red (sección G-E-K-K')	A	Cres	Oras	$\ell$	$\frac{C(x+43)}{F_1}$	$\frac{C(x+43)}{F_2}$	N	$\frac{C_N}{G+N}$	Cres x	u	$N'$	$G_N'$	*				
						$F_{\text{Nila}}$	$F_{\text{Curva}}$	$G_{\text{Curva}}$	$G_{\text{Nila}}$			$N-U-F_L$	$G_N+F_L$					
1	3.683	1.10	-35°	0	22°	-4.10	-0.63	0.9	3.02	-2.11	0	1.5	2.2	-1.2	7.1		-9.6	
2	4.547	1.36	-19°	0	22°	-2.80	-0.44	1.3	4.30	-1.48	0	1.9	2.8	-0.9	9.1		-1.4	
3	5.971	1.49	-8°	0	22°	-1.30	-0.25	1.8	5.91	-0.83	0	2.5	3.7	1.0	12.0		8.0	
4	40.480	19.14	20°	0	22°	0.30	0.42	12.1	40.46	1.41	0	4.9	35.1	13.5	113.5		108.0	
5	94.55	7.37	14°	0	22°	1.70	1.80	7.2	23.82	5.94	0	6.7	15.3	13.1	49.5		105.0	
6	22.81	6.84	23°	0	22°	3.20	2.70	6.3	21.00	8.91	0	6.0	12.3	15.2	39.8		122.0	
7	19.69	5.91	36°	0	22°	4.65	3.50	4.8	15.93	11.57	0	4.6	7.8	16.4	25.9		131.0	
8	14.53	4.40	52°	0	22°	6.10	3.70	2.7	8.95	11.45	0	2.2	3.1	14.9	11.0		114.0	
9	5.87	1.76	40°	0	22°	7.50	1.70	0.6	16.13	5.52	0	0.9	13.5	6.1	5.3		49	

$$\begin{aligned} & *^1 (N_i \cdot E_{\theta_i} + C_i \cdot x_i) \cdot R \\ & *^2 \frac{I}{G_N \cdot R} \end{aligned}$$

(Suma de fuerzas en las secciones).

Haciendo el cálculo para cada una de las secciones, tenemos que  $k'_h = k_h \cdot 0.69 = 0.30$

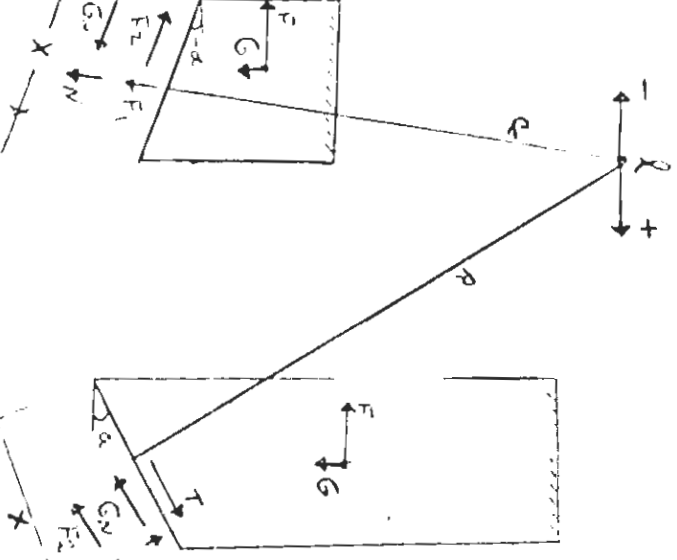
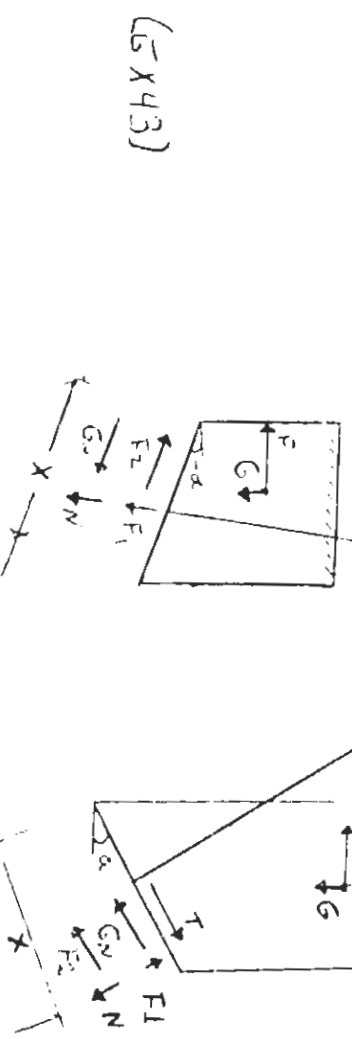
$$k_h = 0.43 \quad (casi 129)$$

$$Ejercicios: \frac{\text{Máximas fuerzas}}{\text{Mínimas fuerzas}} = \frac{\sum_{i=1}^n (*^1)}{\sum_{i=1}^n (*^2)} = F$$

onde  $I = n$  número de secciones.

PDENSA  $F > 1.1$  (avances viés)

$$F = 0.51$$



191

PROBLEMAS DE FÍSICA										PROBLEMAS DE MECÁNICA								
1	2	3	4	5	6	7	8	9	10	11	12	13	14	15	16	17		
PIÉZ	SEPARACIÓN m	AREA m²	RESISTENCIA Ranuras t/m³	RANURA t/m	RANURA t/m	RANURA t/m	RANURA t/m	RANURA t/m	RANURA t/m	RANURA t/m	RANURA t/m	RANURA t/m	RANURA t/m	RANURA t/m	RANURA t/m	RANURA t/m		
1	3.21	1.550	2.48	3.683	3.683	0	2.2	-4.10	-3.5	4.702	-2.11	0	1.5	-15.10	1.54	4.91		
2	3.21	1.913	1.98	4.545	4.545	0	2.2	-2.86	-1.9	4.70	-1.48	0	1.9	-12.73	2.40	4.76		
3	3.21	2.513	1.98	5.971	5.971	0	2.2	-1.30	-8	5.91	-0.83	0	2.5	-7.76	3.41	11.02		
4	2.21	2.250	1.47	6.43	3.77	0	0.30	0	0	40.46	1.41	0	4.9	12.14	35.56	114.90		
5	2.21	3.950	2.00	7.08	* <sup>23</sup>	40.46	2	0	2	40.46	1.41	0	4.9	12.14	35.56	114.90		
6	2.21	3.356	1.98	7.934	7.934	24.55	0	22	1.70	1.70	23.62	5.94	0	6.7	41.74	17.12	55.34	
7	2.21	3.375	1.47	5.954	5.954	10.620	0	0	0	0	0	0	0	0	0	0	0	
8	2.21	4.425	2.00	6.234	6.234	92.81	0	22	3.20	23	21.00	8.91	0	6.0	73.00	15.00	48.50	
9	2.21	1.313	1.98	3.120	3.120	19.69	0	0	0	0	0	0	0	0	0	0	0	
8	2.21	3.575	1.47	5.954	5.954	10.620	0	22	4.65	36	15.93	11.57	0	4.6	91.56	11.30	36.59	
9	2.21	4.425	2.00	6.003	6.003	10.620	14.53	0	24	6.10	5.9	8.95	11.45	0	9.9	88.63	6.75	24.04
9	2.21	2.440	1.47	9.213	1.47	3.904	10.620	0	26	4.0	16.13	5.52	0	0.9	44.03	15.23	54.43	

VABOS LOKUS 1.2 METER  
 PAKUS 0.4 LOKUS + 500 KGM<sup>2</sup>.  
 LOKUS 1000 "IPB 400, 255 KGM<sup>2</sup>.  
 CHOCO:  
 LA SO LOKUS =  $\frac{1.2 \times 0.4 \times 15 \times 2.5}{2} = 18$  cm  
 LA SO LOKUS =  $\frac{1.2 \times 0.155 \times 15}{2} = 4.65$  cm  
 N 23 t

$$\textcircled{16} = (N \cdot \varepsilon_{res}^{DOS} + \varepsilon_{res} \cdot x) \cdot R, \quad \varepsilon_{res}^{DOS} = F = \frac{\text{Wuccalulas}}{\text{Marazans}} = \frac{\Sigma \textcircled{16}}{\Sigma \textcircled{15}} < 1.3$$

$$\Sigma \textcircled{15} = 315 \quad \Sigma \textcircled{16} = 369$$

1.15

$$F = \frac{\textcircled{16}}{\textcircled{15}} = \frac{369}{315} > 1.3$$

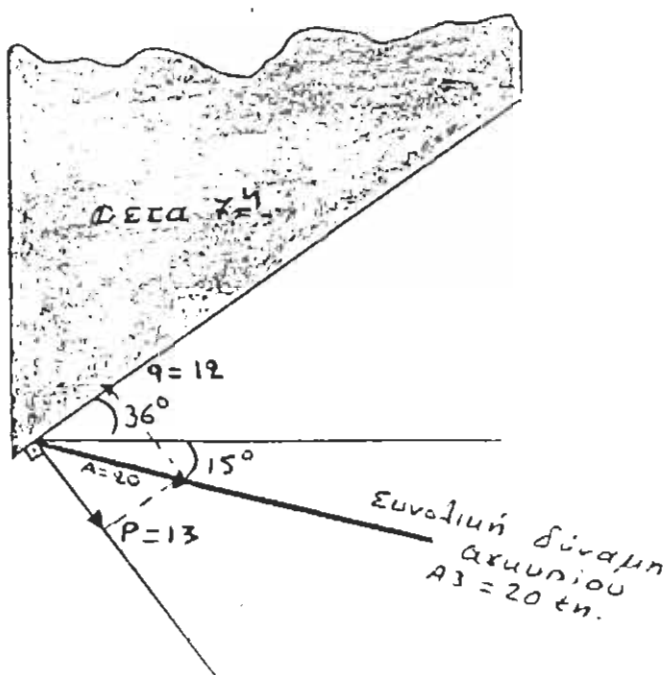
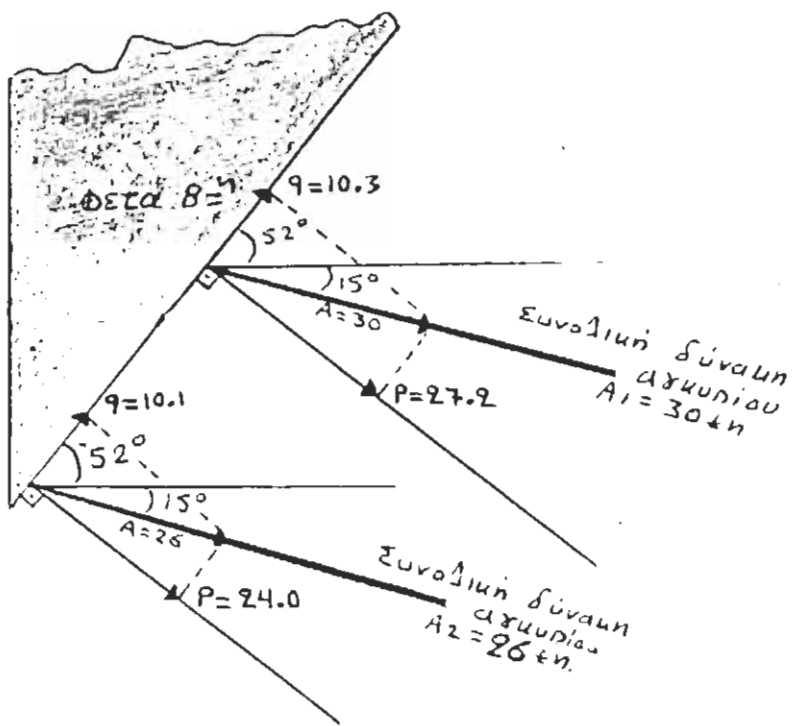


卷之二

Από τα αποτελέσματα τής ανάλυσης του πρανούς με στατικά φορτία γίνεται κατανοιτό ότι απαιτήται αγκύρωση (χιαστί, Φυτάρχ. =  $1.15 < 1.5$ ). Η ανάλυση με σεισμικά φορτία έδωσε τα δυσμενέστερα αποτελέματα (Φυτάρχ. =  $0.15 < 1.5$ ). Όπου σαν 1.5 λαμβάνουμε τη τιμή του συντελεστή ασφαλείας, F.

Μετά τη χρήση τριών σειρών αγκυρών τα οποία πρέπει να έχουν όλο το πακτωμένο μήκος τους έξω από το κύκλο, έχουμε νέες δυνάμεις ευστάθειας.

### ΑΝΑΛΥΣΕΙΣ ΔΥΝΑΜΕΩΝ ΑΓΚΥΡΙΩΝ



Για τη φέτα "4" (σελ 162 και 163) την οποία οι δυνάμεις αγκύρωσης φορτίζουν (σχ 46) με Βάρος  $G = 40.48 + 20 = 60.5$   
 Ροπή ευστάθειας = 178  
 Ροπή ανατροπής = 162

Για τη φέτα "8" (σελ 159, 162 και 163)  
 $N' = 3.1 + \Sigma p = 54.3 \quad GN' = 14.2 - \Sigma q = - 6.2$   
 Ροπή ευστάθειας = 193.4  
 Ροπή ανατροπής = -50.0

Για τη φέτα "7" (σελ 159, 162 και 163)  
 $N' = 7.8 + p = 21 \quad GN' = 16.4 - q = 4.4$   
 Ροπή ευστάθειας = 68.0  
 Ροπή ανατροπής = 35.2

Μετά τη σύνθεση των νέων φορτίσεων των φετών 8, 7, 4 στο πίνακα της σελίδας (σελ 162) έχουμε

Σύνολο ροπών ευστάθειας = 610	F = 1.5 > 1
Σύνολο ροπών ανατροπής = 421	

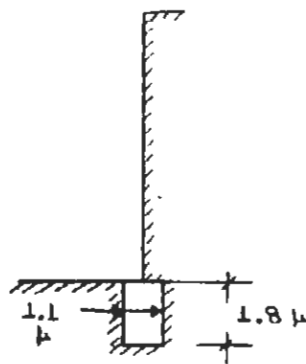
Σημ: Η πρόταση τού αντισεισμικού κανονισμού είναι για την ευστάθεια θα πρέπει ο ουντελεστής ασφαλείας να είναι μεγαλύτερος από 1.0

F > 1

### Υπολογισμός πασσάλου

Ο πάσσαλος που στηρίζει το τοιχοίο αποτελείται από δύο χαλύβδινες πλατύπελμες δοκούς τύπου, IPB 400 (Euronorm 53 - 62) σε απόσταση 10 cm, όπου από αυτό το διάκενο διέρχονται τα αγκύρια. Οι πάσσαλοι τοποθετούνται κάθε 1.2 μέτρα. Το κάτω μέρος τού πασσάλου που θα μπει στο έδαφος σε βάθος (σχ 44) 1.80 μέτρα θα είναι εγκυθωτισμένο με σκυρόδεμα (σχ 45).

Το φορτίο που ο κάθε πάσσαλος φέρει στο έδαφος είναι τσο με το ίδιο βάρος τού πασσάλου συν το βάρος τής πλάκας αντιστρήψτε για πλάτος 1.2 μέτρα - συν τη κατακόρυφη συνιστάμενη δύναμη από την ανάλυση των δυνάμεων αγκύρωσης. Οπότε για πάχος πλάκας, 0.4 μέτρα, πλάτος 1.2 ύψος 5.8 και ειδικό βάρος τού σκυροδέματος, γψ = 2.5tn/m<sup>3</sup>, έχουμε 7tn βάρος. Οι δύο δοκοί τού πασσάλου έχουν 0.31 kg/m βάρος άρα για 7.4 μέτρα 2.3 tn. Το εγκυθωτισμένο τμήμα έχει βάρος 5 tn. Το σύνολο των συνιστάμενων δυνάμεων (σχ 44) είναι 20 tn. Ετσι το συνολικό φορτίο που δέχεται ο πάσσαλος είναι P = 35 tn.



(σχ 45)

Το οριακό εδαφικό φορτίο τού πασσάλου -εκσκαφής- είναι για κυκλικής διατομής πασσάλους διαμέτρου, D = 1.1 μέτρα και ύψους 1.8 μέτρα που τοποθετούνται σε εδαφικό υλικό με χαρακτηριστικά, c = 7.8tn/m<sup>2</sup> γψ = 1.98 tn/m<sup>3</sup>, φ = 0, τσο με:

$$f = 1.3 * c * N_c + \gamma \psi * Z * N_q + 0.3 * \gamma \psi * D * N_g$$

όπου για συνεκτικά εδάφη, φ = 0 [2], [21] έχουμε  $N_c = 5.7$ ,  $N_q = 1$ ,  $N_g = 0$

\* αιχμής  $f = 62$  tn.

\* τριβής  $ff = a * c * E = 0.25 * 7.8 * 1.7 = 3$  tn  
a = 0.25 για πασσάλους εκσκαφής.

E = παραπλευρη επιφάνεια ( $E = 1.7$  μέτρα).  
Ολικό φορτίο  $F = (f + ff) / 1.5 = 43$  tn

Άρα είναι ικανοποιητική η ασφάλεια τής έδαφου.

$$F = 43 > P = 35$$

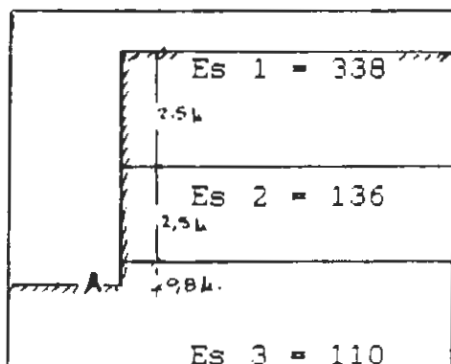
Τα χαρακτηριστικά των χαλύβδινων δοκών είναι:

Ροπή αδρανείας των  $J_x = 1.2 \text{ E} - 3$

Ροπή αντίστασης  $W_x = 6 \text{ E} - 3 \text{ m}^3$

Μέτρο ελαστικότητας  $E = 2100000 \text{ kg/cm}^2$

Το μέτρο συμπίεσης του εδάφους στο οποίο εδράζεται είναι το μέσον όρο των εδαφικών στρωμάτων από όπου διέρχεται η δοκός (σχ 46).



(σχ 46)

$$Es = (Es_1 + Es_2 + Es_3) / 3 = 195 \text{ kg/cm}^2$$

Ο συντελεστής ελαστικότητας (κατά Kogler) είναι λοις με:

$$B (\text{m}^{-1}) = \sqrt[4]{\frac{Es [\text{kg/cm}^2]}{4 * E [\text{kg/cm}^2] * J [\text{m}^4]}}$$

$$B = 0.4 \text{ [m}^{-1}]$$

Τα εντατικά μεγέθη στο σημείο "A" (σχ 46) υπολογίζονται με τη μέθοδο του απειρο-μήκους δοκού. Σαν "x" ορίζεται η απόσταση από το σημείο "A" μέχρι το κάθε φορτίο. Οι συντελεστές υ. μ βρίσκονται στο Βιβλίο [15].

Η ροπή κάμψης λαμβάνεται με  $M = (P * \mu) / \mu$   
Η τέμνουσα λαμβάνεται με  $Q = P * v / 2$

x m	B * x	P tn	v	μ	M tn*m	Q tn
2.4	1.0	19	-0.199	-0.111	-1.3	-1.9
3.7	1.5	25	-0.016	-0.207	-3.2	-0.2
4.9	2.0	29	+0.056	-0.179	-3.3	+0.8

Συνολα  $M = -7.8$   $Q = -1.3$

Ελεγχος σε κάμψη τής δοκού

$$\sigma = M/W = 7.8 / 6 E - 3 = 1300 \text{ tn/m}^2 = 130 \text{ kg/cm}^2$$

$130 < 1300 \text{ kg/cm}^2$  (επιτρεπόμενη φόρτιση).

Ελεγχος σε διάταξη τής δοκού

$$\tau = Q * S / (B * J)$$

όπου  $S$  η στατική ροτή ως προς την ουδέτερη γραμμή του πάνω από αυτή μισού τής διατομής, και  $B$  το πλάτος που η ουδέτερη γραμμή τέμνει.

$$\tau = 13 \text{ kg/cm}^2 < (\text{επιτρεπόμενη τιμή} = 900 \text{ kg/cm}^2)$$

Υπολογισμός τένοντα

Σειρά 1η. 30 tn.

Τύπος χάλυβα  $S$  1470 (Δηλαδή όριο διαρροής σε MPA). Για τη λειτουργία του χάλυβα στη διαρροή ο οπλισμός είναι.

$$As = \frac{30000}{\frac{14700}{1.75}} = As = 3.6 \text{ cm}^2.$$

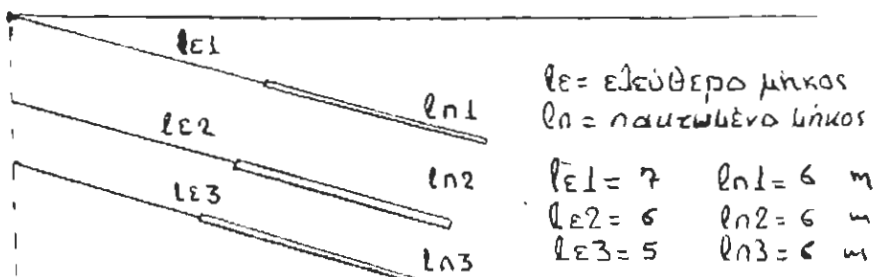
Σειρά 2η. 26 tn.

Οπως και το προιγούμενο.  $As = 3.1 \text{ cm}^2$ .

Σειρά 3η. 20 tn.

Όμολος.

$$As = 2.4 \text{ cm}^2.$$

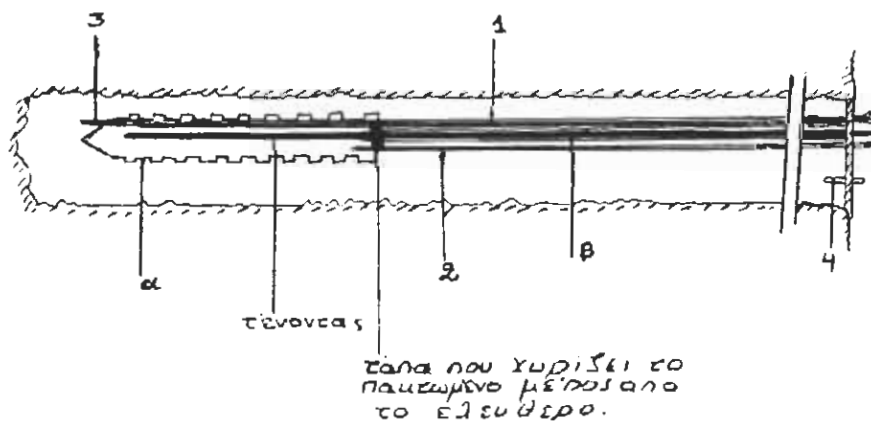


Τα σχέδια των αγκυρών  
(κατά σειρά).

Η ικανότητα του αγκυρίου εξαρτάται από τη σωστή τοποθέτηση και πάκτωσή του. Η σωλήνωση της πλάγιας γεώτρησης εισάγεται με περιστροφή, χεδόν πάντα ή διατροπική στήλη ταυτίζεται με τη σωλήνωση. Το κοπτικό εργαλείο μπορεί να εγκαταλειφθεί στήλη σπή ή όταν είναι ανοικτού τύπου επιτρέπει τη διόδο του οπλισμού. Πρίν τη τοποθέτηση του οπλισμού να έχει βεβαιωθεί ότι η σπή είναι καθαρή και στεγανή. Για τη τελευταία απαίτηση μπορεί να γίνει προτομεντένεση -με πίεση- και ζαναδιάτρηση.

Το μήγμα της τσιμεντένεσης πρέπει να έχει λόγο νερού / τσιμέντο το πολύ 0.6, 1-3 kg διογκωτικό και, 50 kg, τσιμέντο.

Πρέπει να τοποθετηθούν δοκιμαστικά αγκύρια τα οποία θα δωσουν στοιχεία για τη δύναμη εξόλκευσης, απώλεια έρπυσμού. κ.α..



Το πακτωμένο τμήμα προστατεύεται από οδοντωτό πλαστικό περίβλημα  $\oplus$  πάχους 1mm και είναι κλειστό στο πάνω και κάτω άκρο του. Από το σωληνάκι "1" πιεζεται το ένεμα με πίεση περίπου στα. 2 bar, εάν είναι δυνατό. Από το σωληνάκι "2" φεύγει ο αέρας και ζεχιλίζει το τσιμεντένεμα όταν η σπή γεμίσει.

Το τσιμεντένεμα για τη πάκτωση του αγκυρίου διοχετεύεται από το σωληνάκι "3" και ζεχιλίζει από το "4".

Μετά τη πορευταση του αγκυρίου που θα γίνει μετά από, 10 περίπου μέρες, θα εκτελεστεί η προστασία του ελεύθερου άκρου. Το χαλύβδινο άκρο είναι  $\oplus$  μέσα σε πλαστικό περίβλημα μαζί με χράσσο.

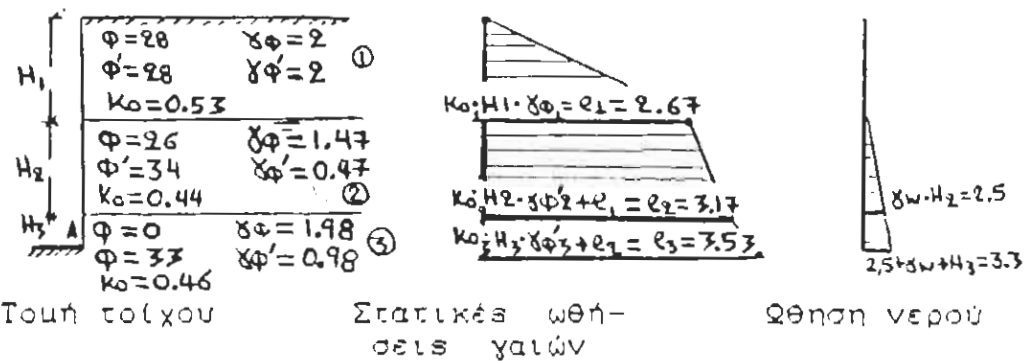
Κατά τη λειτουργία του ΕΡΓΟΥ ξίνονται οι επερηφεντικές πώλες δύνουν συμπεριλαμβανόμενη δια το ίως συμπεριφερούνται τα αγκύρια.

### Ακλόνητοι τοίχοι

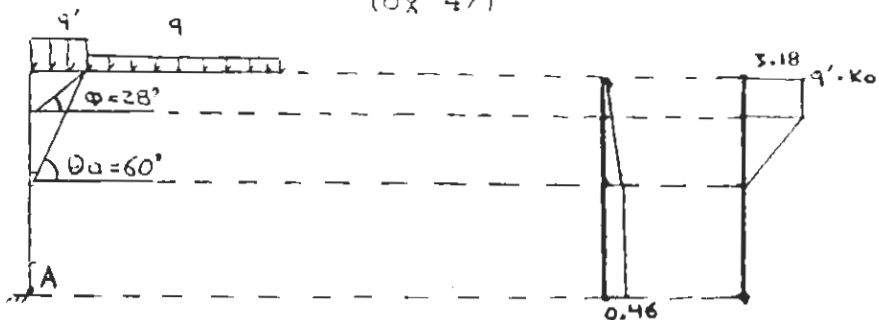
Στη κατηγορία αυτή ανήκουν τοίχοι που πρακτικά είναι απαραμέρφωτοι και έχουν ακλόνητη έδραση. Για παράδειγμα σε αυτή τη μελέτη ο ακλόνητος τοίχος είναι περιμετρικός των υπογείων ορόφων του κτιρίου και είναι συνδεδεμένος με τις πλάκες. Σε αυτό το τοίχο δε προβλέπονται τρύπες για στράγγιση και απορροή.

### Υπολογισμός στατικών ωθήσεων

(Με βάση το νέο αντισεισμικό κανονισμό, 1993). Ο συντελεστής ουδέτερων ωθήσεων [16]  $k_0 = 1 - \eta m^2$ .



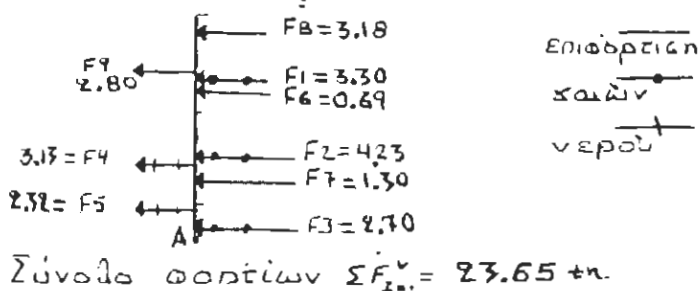
(σχ. 47)



### Τομή τοίχου

### ωθήσεις ίόδο επιφοράς

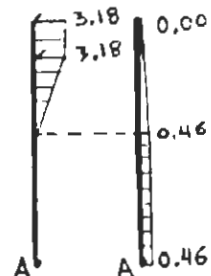
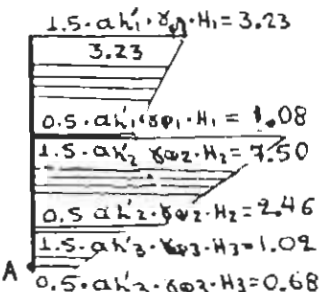
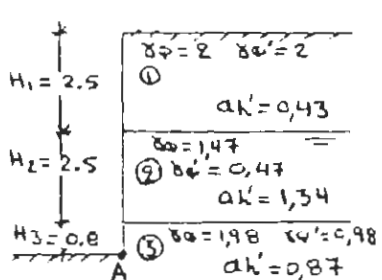
(σχ. 48)



(σχ. 49) Ολική στατική ωθηση

### Δυναμικές ωθήσεις

(Με βάση το νέο αντίστοιχο κανονισμό,  
1993)



Τομή τοίχου

Φόρτιση στατική  
+ δυναμική

Φόρτιση από  
επιφόρτιση

(σχ 50)

Συμπεράσματα: Εάν βρούμε τη συνισταμένη των ωθήσεων του (σχ 50) -δυναμική + στατική + εξ. φορτίσεων- θα δούμε ότι είναι λιγό με, Σολ = 27 τη. Η αντίστοιχη ωθηση στη παρειά του τοίχου με τις αγκυρώσεις είναι, Σολ = 39.72 τη (σελ 152). Σαν κύρια παρατήρηση είναι η μείωση των ωθήσεων στη περίπτωση ακάμπτου τοίχου.

### Η επιρροή του υπογείου νερού στην εκσκαφή

Το πρόβλημα αυτό είναι ιδιαίτερης σημασίας. Υπάρχει η περίπτωση να προκαλέσει υποχωρήσεις στα γειτονικά κτίσματα όταν γίνεται άντληση από ψρέατα γύρω από την εκσκαφή (Well Point System). Αυτό γιατί αυξάνονται οι ενεργές τάσεις αλλά και αφαιρήται μέρος του λεπτόκοκκου εδαφικού υλικού. Όταν η άντληση γίνεται από το εσωτερικό της εκσκαφής τα προβλήματα υποχωρήσεων είναι λιγότερα.

Η κατασκευή διαφραγματικού τοίχου μαζί με το αδιαπέρατο αργιλικό υλικό στη βάση της εκσκαφής είναι τα μέσα που περιόριζουν κατά πολύ τις εκροές στο εσωτερικό της. Η τεχνολογία διαφραγμάτων παρουσιάζει κατασκευές ευκάμπτων τοίχων με σταδιακή αφαίρεση του εδαφικού υλικού κατά ψρεάτια ορθογωνικής διατομής και μέσα σε αυτά τοποθέτηση συδαρού μίγματος από μπετονίτη και τσιμέντο ή ακόμα και ευκάμπτων μεμβρανών, P.V.C.. Τα διαφράγματα διεισδύουν σε βάθος, 40 - 50% του πλάτους της εκσκαφής με αποτέλεσμα, τη μείωση της υποσκαφής.

## Υπολογισμός πεδιλοδοκών

---

### Γενικά

---

Ο υπολογισμός τής εσχάρας των πεδιλοδοκών (σελ 172) μπορεί να γίνεται αφού χωρισθεί σε μεμονωμένους πεδιλοδοκούς. Η παραδοχή αυτή δε δίνει τικανοποιητικά αποτελέσματα σε σχέση με αυτά που παρέχει η επίλυση που λαμβάνεται υπόψη δλούς τούς δοκούς μαζί -εσχάρα-. Εδώ θα γίνεται χρήση τού πρώτου τρόπου. Δηλαδή επίλυση πεδιλοδοκών που στηρίζονται κατά όλο το μήκος τους πάνω σε ταύτροπο ελαστικό ημίχωρο. Στην αρχή θα προσδιορισθεί το μέτρο συμπίεσης που θα χρησιμοποιηθεί στους υπόλογισμούς, στη συνέχεια θα υπολογισθεί η ροπή αδρανείας τής διατομής που θα έχουν οι δοκοί και θα ακολουθήσει μέσω πινάκων (15) ή Α. Κωνσταντινίδη "Ειφαρμογές οπλισμένου ακυροδέματος" τόμος γ (1978) ο υπόλογισμός των εντατικών μεγεθών.

### Διαστασιολόγηση διατομής

---

Το πλάτος της είναι, B, δταν, ΣF, η συνολική φόρτιση τής δοκού, qεπ, η φέρουσα του εδάφους τικανθετητα (σελ 147) και, L, το μήκος της δοκού. Τα υπόλοιπα μεγέθη μπορούν ελεύθερα να οριστούν.

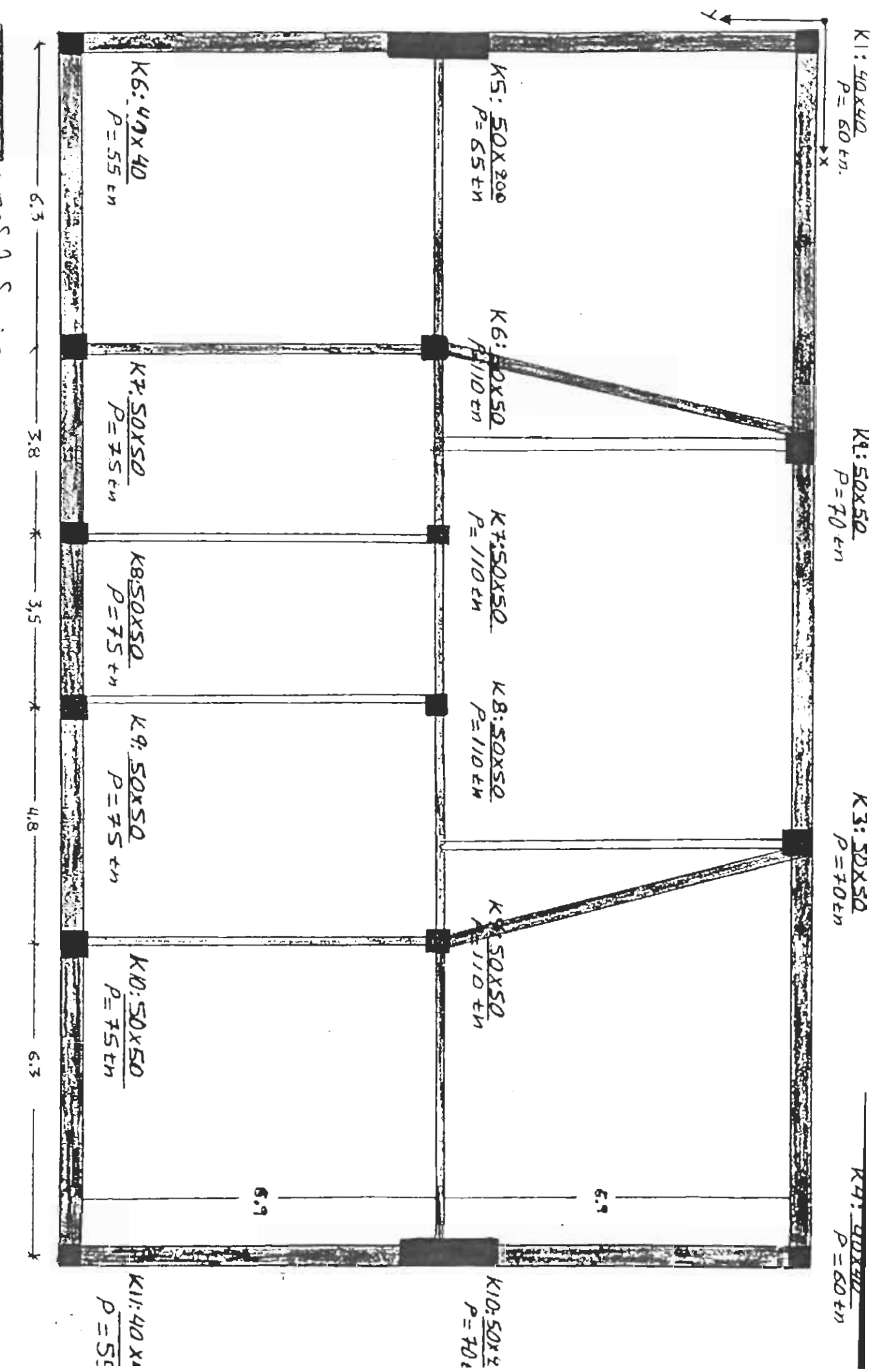
Οι διαστάσεις σε αυτή τη μελέτη θα είναι ίδιες για κάθε δοκό.

$$\text{Έτοιμη: } \frac{\Sigma F \text{ [tn]}}{B \text{ [m]} = \frac{q\epsilon\pi \text{ [tn/m}^2\text{]}}{1.6} * L \text{ [m]}}$$

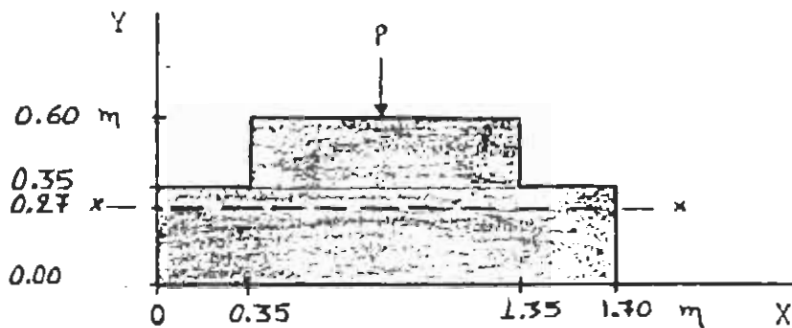
Κατά τον υπόλογισμό τού τύπου χρησιμοποιήθηκαν στοιχεία από τη δοκό, K1 - K4.

$$B = 1 \text{ [m].}$$

Στο σχήμα (σχ 51) παρουσιάζεται το σχήμα και η διαστασιολόγηση τής δοκού.



: յԵԾՈՅՏՈՒՅՈ



(σχ 51)

Ροτή αδράνειας της διατομής

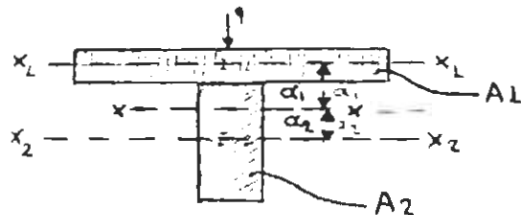
Το κέντρο βάρους (σχ 51) της διατομής έχει συντεταγμένες,  $X = 0.85 \text{ m}$   $Y = 0.27 \text{ m}$ .

Η ροτή αδράνειας ορίζεται (after Stainer) ως εξεις:

$$J_x = 0.0233 \text{ m}^4$$

$$J_x = \sum [ J(i) + A(i) * a(i)^2 ]$$

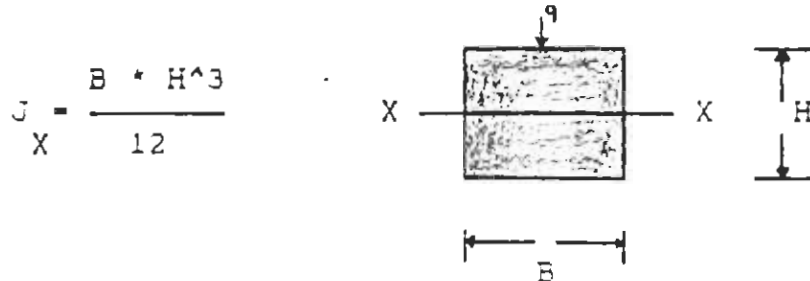
Αν η σύνθετη διατομή αποτελείται από μερικές διατομές, i. που οι κεντροβαρικοί αξονές τους απέχουν, a, από το κεντροβαρικό της σύνθετης διατομής και έχουν έμβαδα, A, και ροτή αδράνειας, J, (σχ 52).



Οι αξονες xx καθετοφ στο επίγειο φόρον.

(σχ 52)

Η ροτή αδράνειας της ορθογωνικής διατομής είναι



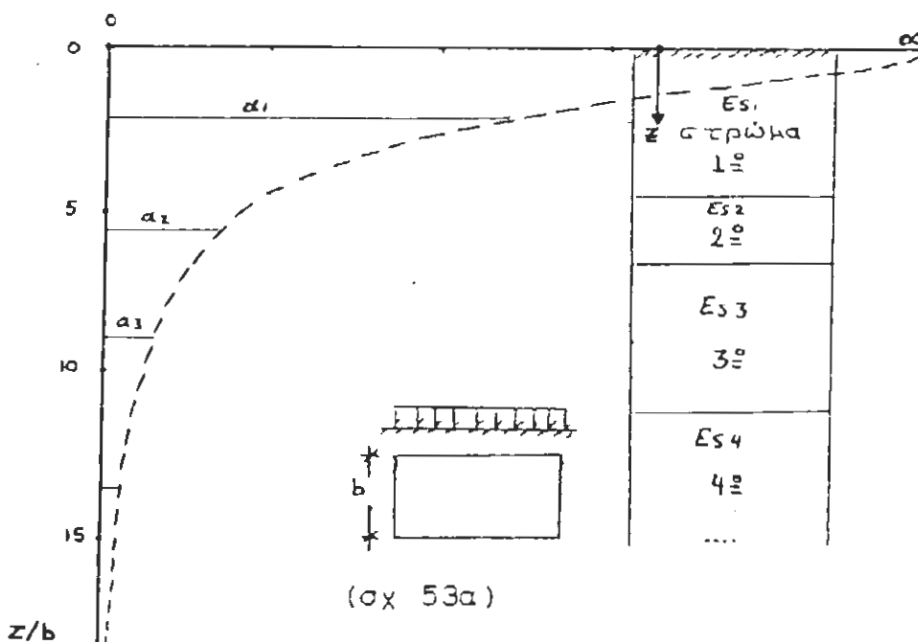
$$J_x = \frac{B * H^3}{12}$$

### Το μέτρο συμπιεσος

Αυτό προσδιορίζεται ως βάση την εδαφική του η (σελ 126) και τη παραδοχή ότι η τάση του κατανέμεται στο έδαφος έχει τη μορφη (σχ 53α).

Στο εδαφικό υλικό που αποτελείται από στρώματα προσαρμοζουμε τη κατανομή των τάσεων (σχ 53α) ως προς το βάθος και μετράμε στο μέσον κάθε στρώματος το μήκος, a. Στη συνέχεια με τον ακόλουθο τύπο βρίσκουμε το Es υπολογισμού.

$$\text{Es υπολογ.} = \frac{\Sigma a}{\frac{a_1}{E_{s1}} + \frac{a_2}{E_{s2}} + \dots + \frac{a_v}{E_{sv}}}$$



Σε αυτή τη μελέτη έχουμε  $Es = 110 \text{ kg/cm}^2$ .

### Ο συντελεστής ελαστικότητας

Από το τύπο :

$$B = \sqrt[4]{\frac{Es}{4 * Eb * Jb}} \quad [\text{m}]$$

$Es$  - Το μέτρο συμπιεσος υπολογισμού. [ $\text{kg/cm}^2$ ]

$Eb$  - Το μέτρο ελαστικότητας του σκυροδεμάτου για C 20.  $Eb = 2.9 E 5$  [ $\text{kg/cm}^2$ ].

$J$  - Η ροτή αδράνειας της διατομής. [ $\text{m}^4$ ].

### Ελαστικό μήκος

Το ελαστικό μήκος ισούται με:

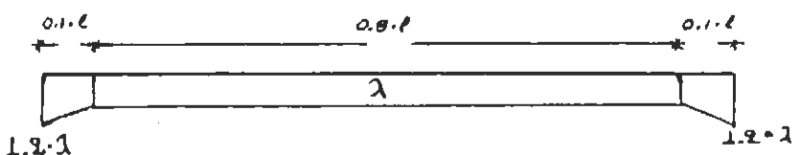
$$\lambda = L + \beta$$

$L$  = Μήκος δοκού {m}

$\beta$  = Ο συντελεστής ελαστικότητας {m}

Όταν τα φορτία κινούνται στο μεσαίο,  $0.8 * L$ , η διάχυση των τάσεων δε πεπερνά τα δρια της πεδιλοδοκού και οι λύσεις είναι ακριβεῖς.

Όταν όμως κινούνται στα άκρα,  $0.1 * L$ , τότε η κατάσταση αντιμετωπίζεται με αύξηση του,  $\lambda$  (σχ 54). (Α. Κυνοταντινίδης).



(σχ 54)

### Εντατικά μεγέθη δοκών

Στη συνέχιση της θοής των υπολογισμών υπάρχουν στη διάθεση του αναγνώστη τα εντατικά μεγέθη των δοκών της (σελ 172). Για τους δύο πρώτους δοκούς, K1-K4 και K6-K11 (σελ 176), (σελ 177) εκτίθενται αναλυτικά οι υπολογισμοί των μεγεθών, ενώ για τους υπόλειπους μόνο τα αποτελέσματα.

Diafragm  $x/e$

0.0	0.1	0.2	0.33	0.5	0.7	0.9	1					
0	-4.57	-3.47	-1.21	0.15	0.11	0.01	0.0	ηw				
-1	-0.06	0.201	0.146	0.018	-0.009	-0.001	0	ηQ				
14	5.32	0.59	-0.85	-0.4	0.02	0.04	0.002	ηG				
0	-0.047	0.67	2.9	-0.42	-0.96	0.07	0.0	ηw				
0	0.011	0.154	-0.330	-0.010	0.032	0.0145	0	ηQ				
-0.54	0.77	2.06	2.75	1.5	-0.15	-0.143	ηG	0.33	6	70	2	
0	-0.11	-0.41	-0.75	0.25	1.64	-0.18	0.0	ηw				
0	-0.022	-0.035	-0.011	0.185	-0.277	0.019	0.0	ηQ				
-0.195	-0.165	-0.085	0.480	1.780	2.76	0.560	-0.63	ηG				
0	0.01	0.04	0.13	0.15	-1.51	-4.57	0.0	ηw				
0	0.001	0.005	0.006	-0.016	-0.168	0.06	1.0	ηQ				
0.002	0.03	0.04	-0.01	-0.40	-0.87	5.32	14.0	ηG	1.00	7	60	4

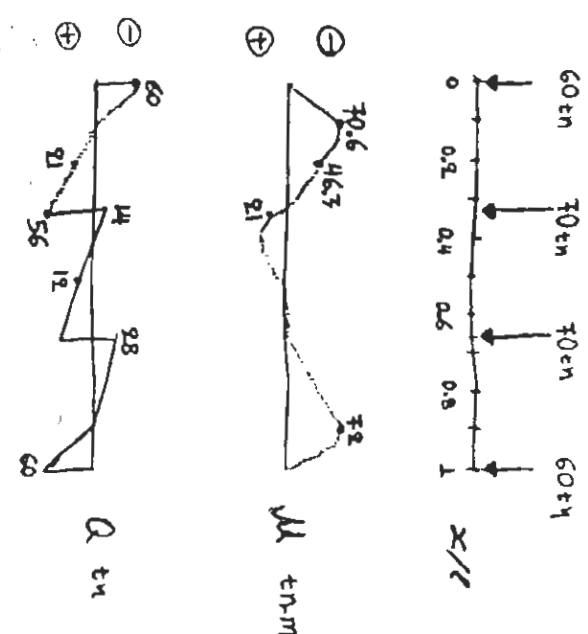
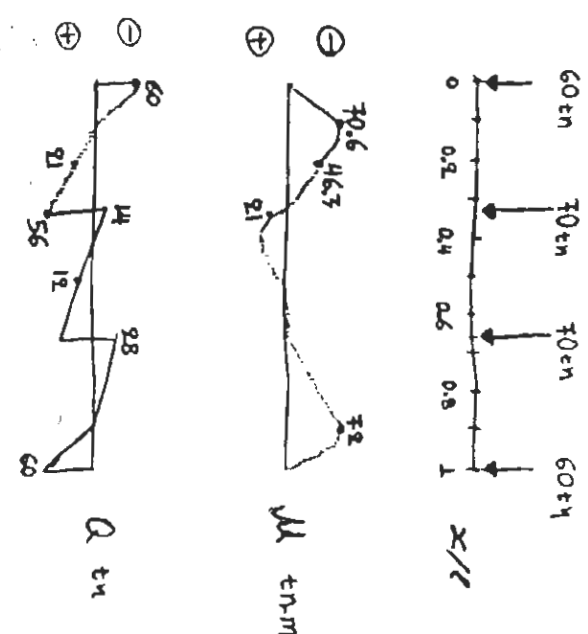
diafragm  $x/e$

0	0.1	0.2	0.33	0.5	0.7	0.9	1					
0	-5.8	-5.14	-1.79	2.22	1.63	0.15	0	$\mu_i$				
-60	-3.6	12.1	8.8	1.08	-0.54	-0.06	0	$Q_i$				
-20	4.61	0.64	-1.22	-0.57	0.03	0.06	0.003	$G_i$				
0	-0.81	11.6	5.0	-7.3	-16.6	-1.20	0	$\mu_i$				
0	0.80	11.0	-2.3	-0.7	2.24	1.02	0	$Q_i$				
-0.92	1.31	3.54	4.7	2.6	0.27	-0.26	-0.243	$G_i$				
0	-1.90	-7.10	-12.97	4.3	28.4	-3.10	0	$\mu_i$				
0	-1.54	-2.45	-0.80	13.0	-19.4	1.33	0	$Q_i$				
0.332	-0.281	-0.145	0.62	3.03	4.69	0.95	-1.07	$G_i$	40	3		
0	0.15	0.60	1.93	2.2	-22.4	-68	0	$\mu_i$				
0	0.06	0.30	0.48	-1.08	-10.1	3.6	60	$Q_i$	60	4		
0	0	c.04	0.05	-0.57	-1.24	7.61	20	$G_i$				

diafragm  $x/e$

0	-70.6	-46.3	21.2	1.42	-8.97	-7.2	0	$\mu = \sum_{i=1}^v \mu_i$				
-60	-4.3	21	-14.5	12.3	-24.8	5.9	60	$Q = \sum_{i=1}^v Q_i$				
19.4	8.7	4.3	4.2	4.49	3.75	8.4	18.7	$\sigma = \sum_{i=1}^v \sigma_i$				
2.5	1.14	0.63	0.69	0.75	0.60	1.10	2.40	$\gamma = \frac{\sigma \cdot b}{E_s}$	cm			

9t



$M = \text{πονές κάλυψης}$   
 $Q = \text{τελικούς δυναμικούς αριθμούς σταθερών γεωδαιτικών στοιχείων}$   
 $\gamma = \text{υποχρήση του διαμέτρου προσαρμογέντων καλυπτών}$   
 $\alpha_i = n_{si} \cdot \frac{P_i}{b \cdot l}$

ПЕДЛОБОКОВ М-КЛ

УЧКОС  $\beta = 25^{\circ}$   $n_{\text{жар}} = 1.7 \mu$   
 $E_S = 110 \text{ кВ/м}^2$   $B = 0.253 \text{ Тл}$

55 45 25 15 95 55 45

0 0.2 0.4 0.6 0.8 1.0 1.2

$x/\ell$

0 0.2 0.4 0.6 0.8 1

$x/\ell$

Diagramm 2/2									
0	0.1	0.25	0.3	0.4	0.5	0.55	0.6	0.75	0.8
14 0 -1	5.32 -4.57 -0.06	-0.14 -2.49 0.185	-0.82 -1.51 0.168	-0.29 0.15 0.048	-0.40 0.17 0.006	-0.25 0.19 -0.006	-0.10 0.19 -0.007	0.03 0.05 -0.007	0.04 0.04 0
0.43 0 0	1.75 0.44 0.110	2.8 2.5 -0.455	2.75 2.43 -0.144	1.80 -0.08 -0.144	0.79 -0.76 -0.005	0.56 -0.76 0.028	0.325 -0.71 0.024	-0.13 -0.16 0.024	0.002 0.04 0
-0.8 0 0	0.13 -0.25 -0.03	1.79 0.2 0.12	2.38 0.75 0.21	3.08 -0.19 -0.508	2.34 -0.19 -0.228	1.8 -0.64 -0.14	1.2 -0.64 -0.059	0.13 0.03 0.031	0 0 0.038
-0.45 0 0	-0.19 -0.18 -0.039	0.5 -0.64 -0.011	0.8 -0.72 0.011	1.8 -0.05 -0.25	2.7 -0.24 -0.36	2.71 -0.215 -0.084	1.3 -0.49 0	0.78 0.5 0	0.003 0.04 0
-0.04 0 0	-0.095 -0.03 -0.007	-0.11 -0.3 -0.024	-0.08 -0.39 -0.03	-0.08 -0.705 -0.028	0.175 -0.81 0.018	0.79 -0.45 -0.23	0.45 -0.49 -0.34	0.78 0.45 0	0.003 0.04 0
0.002 0 0	0.03 0.01 0.001	0.02 0.19 0.009	-0.1 -0.19 -0.016	-0.1 -0.19 -0.016	-0.4 -0.6 -0.046	-0.4 -0.8 -0.046	-0.14 -0.59 -0.185	14 0 1	0.003 0.04 0

Diagramm 2/2									
0	0.1	0.25	0.3	0.4	0.5	0.55	0.6	0.75	0.8
18 0 -55	6.9 -6.3 -3.3	-0.2 -3.4 10.2	-1.126 -2.1 9.2	-1.035 -2.4 4.3	-0.52 2 1	-0.324 2.3 0.3	-0.13 0.1 -0.4	0.04 0.55 -0.3	0.003 0 0
0.76 0 0	3.1 8.2 8.3	S 47 -34	3.2 -1.5 -56	1.4 -1.5 -11	1 -1.4 -0.4	0.6 -5 2.1	-0.23 -0.3 1.4	-0.071 0 0	G <sub>i</sub> M <sub>i</sub> Q <sub>i</sub>
-1.4 0 0	0.2 -5 -2.6	3.2 4 q	4.02 7.9 -3.8	4 11 -17	3.2 -1.4 -10.5	2 -13.6 -4	0.31 -1.2 3	-0.05 -9 0	2 75 3
-0.8 0 0	-0.34 -3.4 -2.4	1 -1/2 -0.83	1.4 -1.4 10.3	3.02 -1.1 -10.5	S 45 -22	2.3 -4 -4.8	1.4 -9.2 0	-1.24 0 0	0 75 4
-0.1 0 0	-0.2 -0.56 -0.5	-0.14 -2.3 -2	0.31 -1.52 1.4	1.04 -0.4 5	2.3 -1.5 11	2.3 -1.7 -2.6	1.4 0 0	M <sub>i</sub> N <sub>i</sub> Q <sub>i</sub>	0 75 5
0.003 0 0	0.04 0.14 0.05	0.03 1.5 0.4	-0.13 -2.1 0.3	-0.13 -1 -2.6	-0.52 -4 -1	-1.04 -4 -2.6	-0.18 -4.8 -10.2	18 0 55	0 M <sub>i</sub> Q <sub>i</sub>
-55	-0.4	-17	-31	-36	-28	-23	-28	-33	55

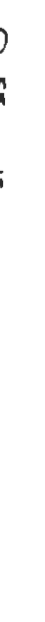
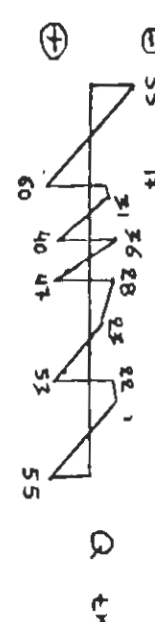
$$Q_i = M_i \cdot P_i / 100$$

$$G_i = n_{gi} \cdot \frac{P_i}{b \cdot \ell}$$

$$M_i = n_{mi} \cdot \frac{P_i \cdot \ell}{100}$$

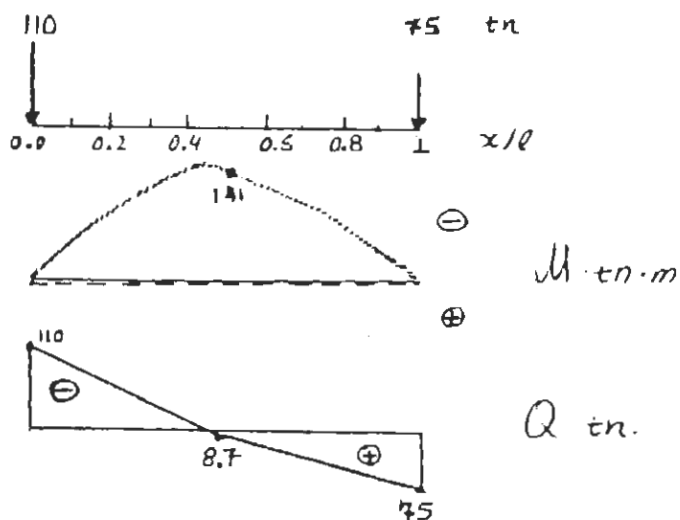
$$n_i = m_i \cdot Q_i$$

$$G_i = \sum_{i=1}^v G_i$$



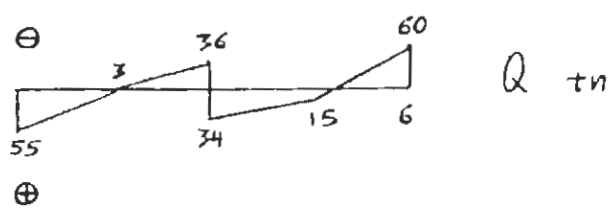
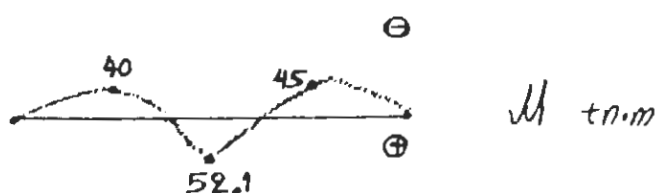
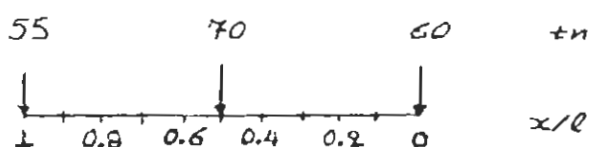
Πεδιλοδοκός K9-K10 και K6-K7Μήκος  $L = 7 \text{ m}$  Πλάτος  $b = 1.7 \text{ m}$ 
 $B = 0.253 \text{ m}^{-1}$   $\lambda_{\text{κεντρικά}} = 2$   
 $E_s = 110 \text{ kg/cm}^2$   $\lambda_{\text{ακρέα}} = 2$ 

Μέγεθος	Διατομές $X/L$		
	0	0.5	1
$\sigma \text{ tn/m}^2$	32.0	11.0	14.0
$y \text{ cm}$	5.0	2.0	2.2
$M \text{ tn}\cdot\text{m}$	0.0	-141.0	0.0
$Q \text{ tn}$	-110.0	8.7	75.0



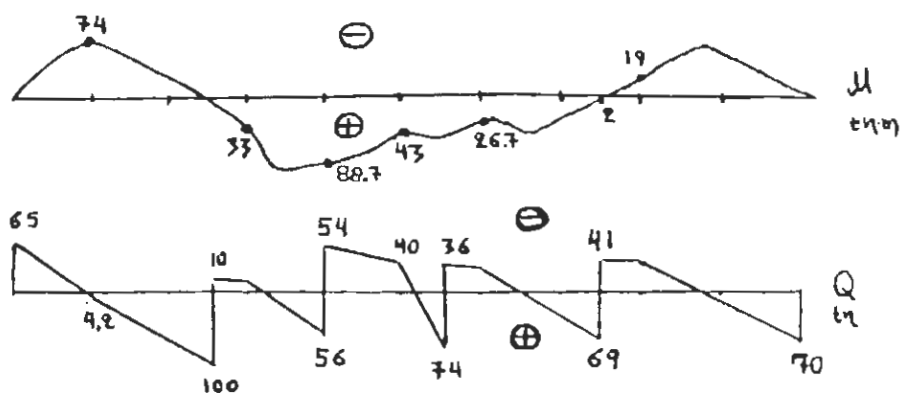
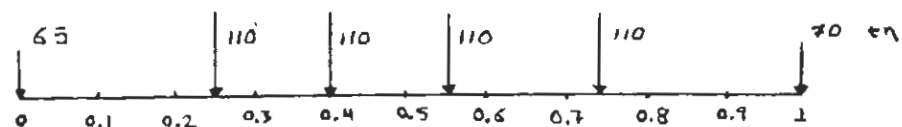
Πεδιλοδοκός Κ11-Κ4Μήκος  $L = 15 \text{ m}$  Πλάτος  $b = 1.7 \text{ m}$ 
 $B = 0.253 \text{ m}^{-1}$   $\lambda_{\text{κεντρικά}} = 4$   
 $E_s = 110 \text{ kg/cm}^2$   $\lambda_{\text{ακρέα}} = 5$ 

Μέγεθος	Διατομή $X/L$				
	1	0.75	0.5	0.25	0
$\sigma \text{ tn/m}^2$	20.1	4.7	2.9	5.0	22.0
$y \text{ cm}$	3.1	0.7	0.5	0.8	3.4
$M \text{ tn}\cdot\text{m}$	0.0	-40.0	52.1	-45.0	0.0
$Q \text{ tn}$	55.0	-3.0	-36.0	15.0	-60.0



Πεδιλοδοκός Κ5-Κ10Μήκος  $L = 24.7 \text{ m}$  Πλάτος  $b = 1.7 \text{ m}$ 
 $\sigma = 0.253 \text{ m}^{-1}$   $\lambda_{\text{κεντρικά}} = 6$   
 $E_s = 110 \text{ kg/cm}^2$   $\lambda_{\text{ακρέα}} = 7$ 

Διατομή $X/L$	Μέγεθος			
	$\sigma \text{ tn/m}^2$	$Y \text{ cm}$	$M \text{ tn} \cdot \text{m}$	$Q \text{ tn}$
0.00	19.5	2.5	0.0	-65.0
0.10	12.3	1.9	-74.0	4.2
0.25	18.0	2.8	8.8	-10.8
0.30	14.0	2.2	33.0	-8.5
0.40	16.6	2.6	88.7	-54.5
0.50	16.1	2.5	43.0	-40.0
0.55	17.1	2.6	51.5	-36.0
0.60	13.8	2.2	26.7	-32.0
0.75	11.2	1.7	-2.0	-41.0
0.80	10.0	1.6	-19.1	-46.0
1.00	22.4	2.9	0.0	70.0



Υπολογισμός καθιζήσεων [7], [18], [3]

Η καθιζηση είναι ένα από τα κρίσιμα γραβλήματα που σχετίζονται με την ασφάλεια των κατασκευών.

Το πρόβλημα αυτό παρουσιάζεται με τις εξεις μορφές:

- 1.) Καθιζήσεις λόγο ελαστικότητας τού υλικού, άμεσες. Εξελλίσονται μέσα σε μικρά χρονικά διαστήματα και εμφανίζονται σε όλα τα εδαφικά υλικά.
- 2.) Καθιζήσεις λόγο στερεοποίησης (δηλαδή αποστράγγισης τού νερού των πόρων). Εμφανίζονται σε κορεμένους αργίλουςκαι εξελισονται μέσα σε μεγάλα χρονικά διαστήματα (πχ 10 χρόνια).
- 3.) Καθιζήσεις λόγο ερτυσμού. Είναι μακροχρόνιες και εκδηλώνονται έντονα συνήθως σε αργίλικά πολύ πλαστικά υλικά. Ο υπολογισμός τους ομοιάζει με τις καθιζήσεις λόγο στερεοποίησης (Cc ερπ., Cv ερπ.).
- 4.) Καθιζήσεις λόγο δυναμικής συνίζησης. Είναι η παραμένουσα κατακόρυφη παραμόρφωση μετά από τσχυρούς σεισμούς σε ζηρές χαλαρές άμμους (N.M. Newmark, E. Rosenblueth, 1971).
- 5.) Ακόμα έχουμε καθιζήσεις λόγο θραύσης τού εδαφικού ιστού (πχ λόγο ττώσεων της οροφής κάποιας σήραγγας κ.α.).

Τρόπος υπολογισμού των καθιζήσεων

---

- 1.) Υπολογίζουμε τις τάσεις στον αρμό, θεμελίου - εδάφους.
- 2.) Υπολογίζουμε τις τάσεις στην αρχή κάθε στρώματος.
- 3.) Χωρίζουμε το συμπιεστό στρώμα σε φέτες πάχους,  $h_i$ , και βρίσκουμε τις τάσεις στο μέσο κάθε φέτας.

Ο υπολογισμός των κατακρυψών τάσεων γίνεται με τη βοήθεια των τύπων:

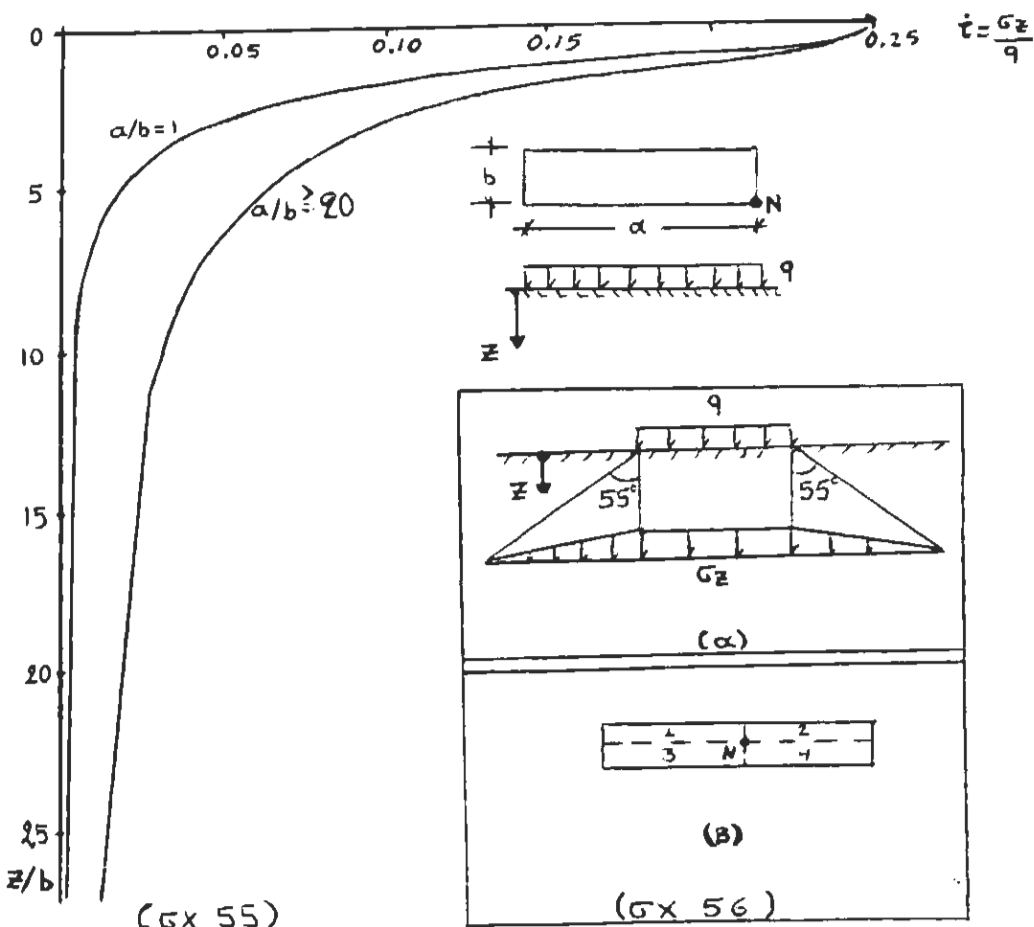
$$\sigma_z = \gamma_f * z$$

$$\sigma'_z = \gamma_f' * z$$

- όπου  $\sigma_z, \sigma'_z$  = Η ολική και η ενεργή γατωστατική πίεση.  
 $z$  = Βάθος ελέγχου.  
 $\gamma_f, \gamma_f'$  = Φαινόμενο βάρος σε άνωση και χωρίς άνωση.  
 $\gamma_w$  =  $\gamma_f - \gamma_w$   
 $\gamma_w$  = Ειδικό βάρος του νερού ( $1 \text{ tn/m}^3$ ).

Οι τάσεις κάτω από το άκρο του  $N'$  πεδίλου προσδιορίζονται με την ελαστική θεωρία (μέθοδο Boussinesq) (σχ 55) και η κατανομή τους με τη προσεγγιστική μέθοδο Kogler (σχ 56).

Για τον υπολογισμό των τασεων κάτω από το μέσο καποιου πεδίλου (πεδίλιοδοκού κ.α.) χωρίζουμε το πέδιλο σε 4 μέρη (σχ 56<sub>b</sub>).



4.) Η ολική καθίζηση στα αρχιλικά υλικά υπολογίζεται από το τύπο :

$$dh \text{ [cm]} = h * \frac{Cc}{1 + e} * \log \frac{\sigma_{ap'} + \delta\rho'}{\sigma_{ap'}}$$

όπου  $h$  = Το πάχος της μελετούμενης στρώσης, [cm].

$Cc$  = Δείκτης συμπιεστότητας.

$e$  = Δείκτης κενών.

$\sigma_{ap'}$  = Αρχική κατακόρυφη τάση στο βάθος ελέγχου, - πρίν την εκσκαφή τού θεμελίου -.

$\Delta\rho = \sigma_{ap} - \delta\rho'$  = Τελική εντατική κατάσταση μετά την εκσκαφή και την επιβολή της φόρτισης.

Σημ:  $\delta\rho'$  και  $\sigma_{ap'}$  σε [ $\text{tN/m}^2$ ]

Με,  $\sigma_{ap'}$ , η τάση προστερεοποίησης, εάν ο παρακάτω λόγος είναι:

$$\frac{\delta\rho'}{\sigma_{ap'} - \sigma_{ap}} < 0.5 \quad \text{Η τιμή της}$$

καθίζησης είναι το, 25 % αυτής που υπολογίζεται από τη προηγούμενη σχέση.

Η ολική καθίζηση στα αμμώδη υλικά από το τύπο :

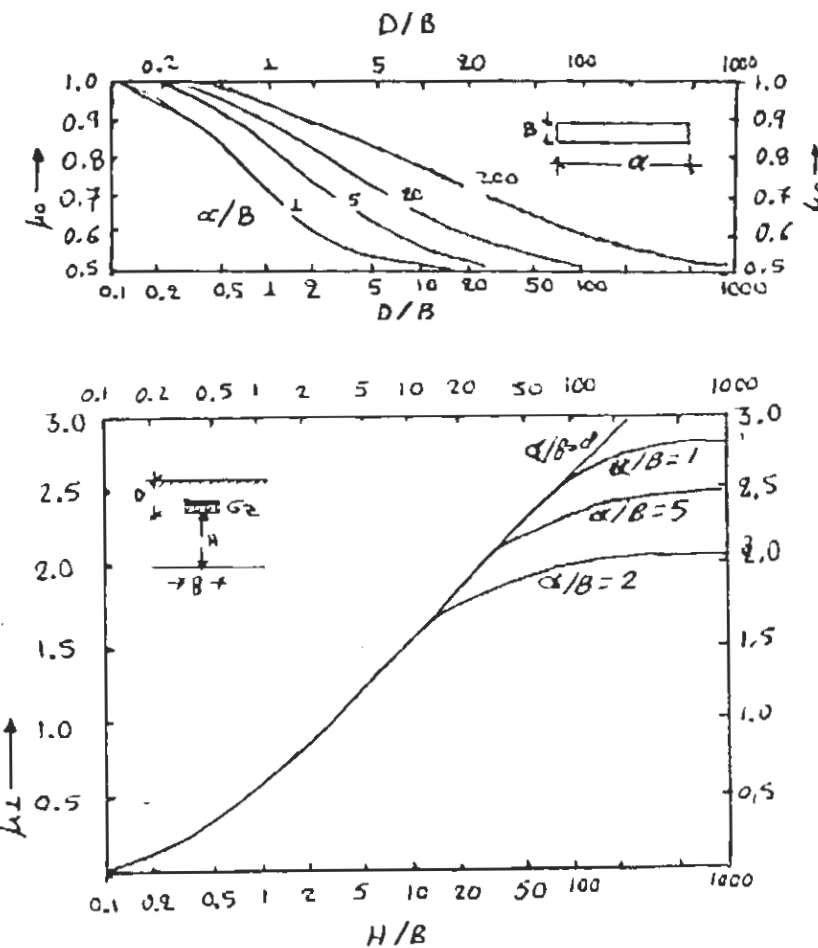
$$dh \text{ (cm)} = \mu_0 * \mu_1 * q * b * \frac{1 - v^2}{E_s}$$

όπου  $q$  = το ομοιόμορφο φορτίο στήν αρχή του εξεταζόμενου στρώματος σε [ $\text{kg/cm}^2$ ].

$b$  = Η μικρότερη διάσταση του πεδίλου [cm].

$v$  = Ο λόγος τού poisson του εξεταζόμενου στρώματος.

$E_s$  = Το μέτρο συμπλεγματικότητας [ $\text{kg/cm}^2$ ].



Υπολογισμός πεδίλων

Εδώ θα δωθεί ο υπολογισμός της δυσμενέστερης σειράς πεδίλων, K5, K6, K7, K8, K9, K10. Ακόμα θα βρεθούν οι τάσεις στον αρμό θεμελίου - εδάφους και θα γίνει συγχριστική με τις αντίστιχες τιμές των τάσεων της πεδίλοδοκού, K5-K10.

Πέδιλο K5,

φορτίο από το κτίριο  $P = 65 \text{ tn}$

Βάρος πεδίλου  $V = 3 \text{ tn}$

Φέρουσα ικανότητα  $q = 52 \text{ tn/m}^2$

$$\text{Οπότε από τη σχέση } Lx * Ly = \frac{P + V}{\sigma_{επ}} = 2.1$$

$$= \frac{1.6}{}$$

$$\text{Ετοι } Lx = Ly = 1.5 \text{ m}$$

Πέδιλα K6, K7, K8, K9, K10.

φορτίο από το κτίριο  $P = 110 \text{ tn}$

Βάρος πεδίλου  $V = 3 \text{ tn}$

Φέρουσα ικανότητα  $q = 52 \text{ tn/m}^2$

$$\text{Οπότε από τη σχέση } Lx * Ly = \frac{P + V}{\sigma_{επ}} = 3.5$$

$$= \frac{1.6}{}$$

$$\text{Ετοι } Lx = Ly = 1.8 \text{ m}$$

Πέδιλο K10

$$Lx = Ly = 1.5 \text{ m}$$

Πέδιλο	Φορτίο $P+V$	$Lx = Ly$	Τάση στον αρμό εδάφους θεμελίου $P+V/Lx*Ly$
K6	68 tn	1.5 m	30 tn/m <sup>2</sup>
K7	113	1.8	31
...	...	...	
K9	113	1.8	31
K10	73	1.5	32

**Συμπεράσματα**

Οι τάσεις που εμφανίζονται στη τουή εδάφους - θεμελίου -των πεδιλών- σημαχ = 32 tn/m<sup>2</sup> (σελ 185) είναι μεγαλύτερες από αυτές που παρουσιάζονται -για τα ίδια φορτία- στη πεδιλοδοκό. Κ5-Κ10, σημαχ = 22.4 (σελ 180).

**Υπολογισμός τάσεων και καθιέρωσην των πεδιλών**

**Πεδιλό Κ5**

Βάθος Ζ [m]	τάση λόγω φόρτισης [tn/m <sup>2</sup> ]	τάση λόγο επιρροής και γύρω πεδιλών [tn/m <sup>2</sup> ]	σάρ	στελ
5.8	31.0	31.0	5.0	0.0
6.8	16.0	16.0	6.0	1.0
7.6	11.0	11.0	7.0	2.0
8.8	8.0	8.0	8.3	3.3
9.8	6.4	7.8	9.4	4.4
10.8	5.4	8.8	10.5	5.5
11.8	4.6	7.1	11.6	6.6
13.0	4.0	6.5	13.0	8.0
15.0	3.2	6.6	15.1	10.1
16.0	2.8	7.0	16.1	11.2
17.8	2.5	6.6	17.5	12.5
20.5	2.0	6.0	19.4	14.4

Για το 1ο στρώμα έχουμε :

hi cm	σάρ	στελ = ΔP' tn/m <sup>2</sup>	δΗ cm	Cc = 0.292 e = 0.750
30	5.0	31.5	4.0	Διπλή στρά- γγιση.
30	5.2	16.0	2.4	
30	5.4	17.0	2.5	H/2 = 105cm
30	6.0	12.3	1.6	cV=5.2E-4
30	6.5	12.0	1.3	
30	7.0	13.0	1.3	t50 = 3 χρόνια
ΣδΗ1 =			13	

(Μεθόδο σελίδας 183)

\* Εάν υπολογιστεί το στρώμα δύο μαζι δίνεται  
καθιέρωση ΣδΗ1 = 15 cm.

Για το 2ο στρώμα έχουμε:

$$H_2 = 5.5 \text{ m} = 550 \text{ cm} \quad E_s = 149 \text{ kg/cm}^2$$

Στην επιφάνεια της στρώσης η τάση είναι

$$\Delta P = 13 \text{ tn/m}^2 = 1.3 \text{ kg/cm}^2 = q$$

(Μέθοδος σελίδας 184)  $\Sigma \Delta H_2 = 0.7 \text{ cm.}$

Για το 3ο στρώμα έχουμε:

$$H_2 = 3 \text{ m} = 300 \text{ cm} \quad E_s = 123 \text{ kg/cm}^2$$

Στην επιφάνεια της στρώσης η τάση είναι

$$\Delta P = 14.5 \text{ tn/m}^2 = 1.45 \text{ kg/cm}^2 = q$$

(Μέθοδος σελίδας 184)  $\Sigma \Delta H_3 = 0.7 \text{ cm.}$

Για το 4ο στρώμα έχουμε:

$$H_2 = 6 \text{ m} = 600 \text{ cm} \quad e = 1.3 \quad C_c = 0.21$$

Στο μέσο της στρώσης η τάση είναι

$$\Delta P = 20.5 \text{ tn/m}^2 \quad \text{και} \quad \sigma_{apx} = 19 \text{ tn/m}^2$$

(Μέθοδος σελίδας 183)  $\Sigma \Delta H_3 = 2 \text{ cm.} \quad t_{50}=7 \text{ χρόνια}$

Συνολική καθίζηση κάτω από το K5 πέδιλο είναι

$$\Sigma \delta(K5) = 16.4 \text{ cm.}$$

#### Πέδιλο K6

Βάθος Z [m]	τάση λόγο ψόρτισης [tn/m <sup>2</sup> ]	τάση λόγο επιρροής και γύρω πεδιλών [tn/m <sup>2</sup> ]	σάρ	στέλ
5.8	35.0	35.0	5.0	0.0
6.8	19.5	19.5	6.0	1.0
7.6	13.5	13.5	7.0	2.0
8.8	10.4	10.4	8.3	3.3
9.8	8.4	17.9	9.4	4.4
10.8	7.0	11.2	10.5	5.5
11.8	6.1	12.8	11.6	6.6
13.0	5.2	12.4	13.0	8.0
15.0	4.2	11.4	15.1	10.1
16.0	4.0	11.4	16.1	11.2
17.8	3.4	10.5	17.5	12.5
20.5	3.0	10.0	20.0	15.0

Για το 1ο στρώμα έχουμε :

hi cm	σαρ	στελ = ΔP tn/m <sup>2</sup>	δH cm	Cc = 0.292 e = 0.750
30	5.0	35.0	4.4	Διπλή στρά-
30	5.2	22.0	3.3	γγιση.
30	5.6	20.0	3.0	H/2 = 105cm
30	6.0	19.0	2.5	c <sub>v</sub> =4.43E-4
30	6.5	15.0	2.0	t <sub>50</sub> = 4
30	7.0	15.0	1.7	χρόνια
$\Sigma \delta H_1 =$			17	

(Μέθοδο σελίδας 183)

καθετζηση  $\Sigma \delta H_1 = 17$  cm.

Για το 2ο στρώμα έχουμε :

$$H_2 = 5.5 \text{ m} = 550 \text{ cm} \quad E_s = 149 \text{ kg/cm}^2$$

Στην επιφάνεια της στρώσης η τάση είναι  
 $\Delta P = 15 \text{ tn/m}^2 = 1.5 \text{ kg/cm}^2 = q$

(Μέθοδο σελίδας 184)  $\Sigma \Delta H_2 = 0.8$  cm.

Για το 3ο στρώμα έχουμε :

$$H_2 = 2 \text{ m} = 200 \text{ cm} \quad E_s = 63 \text{ kg/cm}^2$$

Στην επιφάνεια της στρώσης η τάση είναι  
 $\Delta P = 20.4 \text{ tn/m}^2 = 2.04 \text{ kg/cm}^2 = q$

(Μέθοδο σελίδας 184)  $\Sigma \Delta H_3 = 1.5$  cm.

Για το 4ο στρώμα έχουμε :

$$H_2 = 1 \text{ m} = 100 \text{ cm} \quad E_s = 123 \text{ kg/cm}^2$$

Στην επιφάνεια της στρώσης η τάση είναι  
 $\Delta P = 22.5 \text{ tn/m}^2 = 2.25 \text{ kg/cm}^2 = q$

(Μέθοδο σελίδας 184)  $\Sigma \Delta H_3 = 0.7$  cm.

Για το 5ο στρώμα έχουμε :

$$H_2 = 6 \text{ m} = 600 \text{ cm} \quad e = 1.3 \quad C_c = 0.21$$

Στο μέσο της στρώσης η τάση είναι  
 $\Delta P = 25 \text{ tn/m}^2$  και  $\sigma_{ap} = 20 \text{ tn/m}^2$

(Μέθοδο σελίδας 183)  $\Sigma \Delta H_3 = 5.3 \text{ cm}$ .  $t_{50} = 7 \text{ χρόνια}$

$$\Sigma \delta (\text{K6}) = 25 \text{ cm}$$

### Πέδιλο K7

Βάθος Z [m]	τάση λόγο φόρτισης [tn/m <sup>2</sup> ]	τάση λόγο επιρροής και γύρω πεδιλών [tn/m <sup>2</sup> ]	$\sigma_{ap}$	στελ
5.8	35.0	35.0	5.0	0.0
6.8	19.5	19.5	6.0	1.0
7.6	13.5	13.5	7.0	2.0
8.8	10.4	10.4	8.3	3.3
9.8	8.4	17.7	9.4	4.4
10.8	7.0	10.0	10.5	5.5
11.8	6.1	13.1	11.6	6.6
13.0	5.2	13.5	13.0	8.0
15.0	4.2	13.5	15.1	10.1
16.0	4.0	13.0	16.1	11.1
17.8	3.4	12.1	18.2	13.2
19.8	3.2	11.0	20.0	15.0
22.0	3.0	10.0	21.0	16.0

Για το 1ο στρώμα έχουμε :

hi cm	$\sigma_{ap}$	$\sigma_{stel} = \Delta P$ $\text{tn/m}^2$	$\delta H$ cm	$C_c = 0.292$ $e = 0.750$
30	5.0	35.0	4.0	Διπλή στρά-
30	5.5	22.0	3.0	γγιση.
30	5.8	20.5	3.0	$H/2 = 105\text{cm}$
30	6.0	20.0	2.5	$c_v = 4.3E-4$
30	6.5	18.0	2.0	
30	7.0	15.5	2.0	$t_{50} = 4$ χρόνια
$\Sigma \delta H_1 =$			16.5	

(Μέθοδο σελίδας 183)

καθίζηση  $\Sigma \delta H_1 = 16.5 \text{ cm}$

Για το 2ο στρώμα έχουμε:

$$H_2 = 5.5 \text{ m} = 550 \text{ cm} \quad E_s = 149 \text{ kg/cm}^2$$

Στην επιφάνεια της στρώσης η τάση είναι

$$\Delta P = 15 \text{ tn/m}^2 = 1.5 \text{ kg/cm}^2 = q$$

(Μέθοδο σελίδας 184)  $\Sigma \Delta H_2 = 0.8 \text{ cm.}$

Για το 3ο στρώμα έχουμε:

$$H_2 = 2 \text{ m} = 200 \text{ cm} \quad E_s = 63 \text{ kg/cm}^2$$

Στην επιφάνεια της στρώσης η τάση είναι

$$\Delta P = 22.6 \text{ tn/m}^2 = 2.26 \text{ kg/cm}^2 = q$$

(Μέθοδο σελίδας 184)  $\Sigma \Delta H_3 = 1.7 \text{ cm.}$

Για το 4ο στρώμα έχουμε:

$$H_2 = 2 \text{ m} = 200 \text{ cm} \quad E_s = 123 \text{ kg/cm}^2$$

Στην επιφάνεια της στρώσης η τάση είναι

$$\Delta P = 25 \text{ tn/m}^2 = 25 \text{ kg/cm}^2 = q$$

(Μέθοδο σελίδας 184)  $\Sigma \Delta H_3 = 0.8 \text{ cm.}$

Για το 5ο στρώμα έχουμε:

$$H_2 = 2 \text{ m} = 200 \text{ cm} \quad e = 1.3 \quad C_c = 0.21$$

Στο μέσο της στρώσης η τάση είναι

$$\Delta P = 26 \text{ tn/m}^2 \quad \text{και} \quad \sigma_{apx} = 20 \text{ tn/m}^2$$

(Μέθοδο σελίδας 183)  $\Sigma \Delta H_3 = 2.0 \text{ cm.} \quad t_{50-3} \text{ χρόνια}$

Για το 6ο στρώμα έχουμε:

$$H_2 = 3 \text{ m} = 300 \text{ cm} \quad e = 1.3 \quad C_c = 0.21$$

Στο μέσο της στρώσης η τάση είναι

$$\Delta P = 26 \text{ tn/m}^2 \quad \text{και} \quad \sigma_{apx} = 21 \text{ tn/m}^2$$

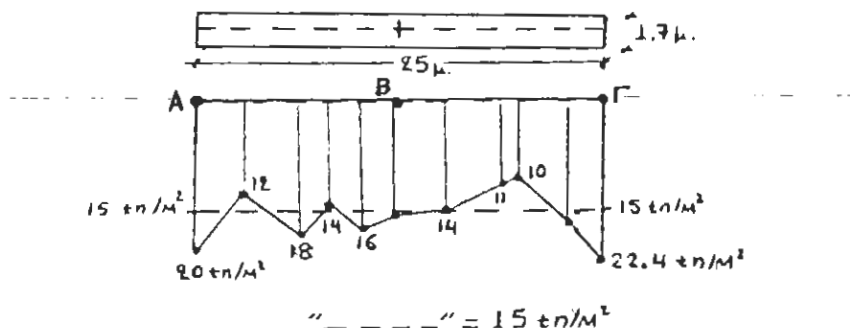
(Μέθοδο σελίδας 183)  $\Sigma \Delta H_3 = 2.5 \text{ cm.} \quad t_{50-2} \text{ χρόνια}$

$\Sigma \delta \text{ (K7)} = 24 \text{ cm.}$

191

Με τον ίδιο τρόπο βρίσκουμε και για τα άλλα πεδία  
τις καθίζησεις. Αυτά τα αποτελέσματα μαζί με τις  
καθίζησεις του πεδιλοδοκού καταχωρούνται στη (σελ  
195 ).

Καθίζηση κάτω από το πεδιλοδοκό K5-K10



Το διάγραμμα των τάσεων του πεδιλοδοκού. Με βάση  
τα αποτελέσματα της (σελ 180). Το διάγραμμα αυτό  
το προσομοιάζουμε με ένα ομοιόμορφο (---). Η  
ομοιόμορφη αυτή φόρτιση φορτίζει το έδαφος.

Θέση A.

Για το 1ο στρώμα έχουμε :

$hi$ cm	$\sigma_{ap}$	$\sigma_{tel} = \Delta P$ $\text{tn/m}^2$	$\delta H$ cm	$C_c = 0.292$ $e = 0.750$
30	6.0	8.0	0.6	Διπλή στρά-
30	6.5	7.3	1.5	γγιση,
30	6.8	6.8	0.0	$H/2 = 105\text{cm}$
30	7.0	6.2	0.0	$c_v = 4.0E-4$
30	7.5	6.1	0.0	
30	8.0	6.0	0.0	$t_{50} = 3$ χρόνια
$\Sigma \delta H_1 =$			2.10	

(Μέθοδο σελίδας 183)

καθίζηση  $\Sigma \delta H_1 = 2.1 \text{ cm}$

Για το 2ο στρώμα έχουμε :

$$H_2 = 5.5 \text{ m} = 550 \text{ cm} \quad E_s = 149 \text{ kg/cm}^2$$

Στην επιφάνεια της στρώσης η τάση είναι  
 $\Delta P = 7.5 \text{ tn/m}^2 = q$

(Μέθοδο σελίδας 184)       $\Sigma \Delta H_2 = 0.6 \text{ cm.}$

Για το 3o στρώμα έχουμε :

$H_2 = 3 \text{ m} = 300 \text{ cm} \quad \varepsilon_s = 63 \text{ kg/cm}^2$   
 Στην επιφάνεια της στρώσης η τάση είναι  
 $\Delta P = 6.6 \text{ tn/m}^2 = 0.66 \text{ kg/cm}^2 = q$

(Μέθοδο σελίδας 184)       $\Sigma \Delta H_3 = 0.5 \text{ cm.}$

Για το 4o στρώμα έχουμε :

$H_2 = 6 \text{ m} = 600 \text{ cm} \quad \varepsilon = 1.3 \quad C_c = 0.21$   
 Στο μέσο της στρώσης η τάση είναι  
 $\Delta P = 11 \text{ tn/m}^2 \quad \text{και} \quad \sigma_{\text{σφ}} = 16 \text{ tn/m}^2$

(Μέθοδο σελίδας 183)       $\Sigma \Delta H_3 = 0.0 \text{ cm.}$

$$\Sigma \delta H \text{ (A)} = 3.2 \text{ cm.}$$

### Θέση B

Για το 1o στρώμα έχουμε :

hi cm	σαφ	στελ = $\Delta P$ $\text{tn/m}^2$	$\delta H$ cm	$C_c = 0.292$ $\varepsilon = 0.750$
30	6.0	8.0	0.6	Διπλή στράγγιση.
30	6.5	7.3	1.5	
30	6.8	6.8	0.0	$H/2 = 105 \text{ cm}$
30	7.0	6.2	0.0	$c_v = 4.0E-4$
30	7.5	6.1	0.0	
30	8.0	6.0	0.0	$t_{50} = 3$ χρόνια
$\Sigma \delta H_1 =$			2.10	

(Μέθοδο σελίδας 183)

καθετήσον  $\Sigma \delta H_1 = 2.1 \text{ cm}$

Για το 2ο στρώμα έχουμε :

$$H_2 = 5.5 \text{ m} = 550 \text{ cm} \quad E_s = 149 \text{ kg/cm}^2$$

Στην επιφάνεια της στρώσης η τάση είναι

$$\Delta P = 7.5 \text{ tn/m}^2 = q$$

$$(Μέθοδο σελίδας 184) \quad \Sigma \Delta H_2 = 0.6 \text{ cm.}$$

Για το 3ο στρώμα έχουμε :

$$H_2 = 450 \text{ cm} \quad E_s = 63 \text{ kg/cm}^2$$

Στην επιφάνεια της στρώσης η τάση είναι

$$\Delta P = 6.2 \text{ tn/m}^2 = 0.62 \text{ kg/cm}^2 = q$$

$$(Μέθοδο σελίδας 184) \quad \Sigma \Delta H_3 = 1.1 \text{ cm.}$$

Για το 4ο στρώμα έχουμε :

$$H_2 = 5 \text{ m} = 500 \text{ cm} \quad e = 1.3 \quad C_c = 0.21$$

Στο μέσο της στρώσης η τάση είναι

$$\Delta P = 8.02 \text{ tn/m}^2 \quad \text{και} \quad \sigma_{apx} = 15 \text{ tn/m}^2$$

$$(Μέθοδο σελίδας 183) \quad \Sigma \Delta H_3 = 0.0 \text{ cm.}$$

$$\Sigma \delta H \text{ (B)} = 3.8 \text{ cm.}$$

Θέση Γ

Για το 1ο στρώμα έχουμε :

hi cm	σαρ	στελ = ΔP tn/m <sup>2</sup>	δH cm	Cc = 0.292 e = 0.750
30	6.0	16.0	2.0	
30	6.5	14.5	1.7	
30	6.8	12.8	1.4	
30	7.0	11.4	1.0	
30	7.5	10.3	0.7	
30	8.0	10.0	0.5	
$\Sigma \delta H_1 =$			7.3	

$$(Μέθοδο σελίδας 183)$$

$$\text{καθίζηση} \quad \Sigma \delta H_1 = 7.3 \text{ cm}$$

Για το 2ο στρώμα έχουμε:

$$H_2 = 5.6 \text{ m} = 560 \text{ cm} \quad E_s = 149 \text{ kg/cm}^2$$

Στην επιφάνεια της στρώσης η τάση είναι  
 $\Delta P = 11.5 \text{ tn/m}^2 = q$

$$(\text{Μέθοδο σελίδας 184}) \quad \Sigma \Delta H_2 = 0.9 \text{ cm.}$$

Για το 3ο στρώμα έχουμε:

$$H_2 = 230 \text{ cm} \quad E_s = 63 \text{ kg/cm}^2$$

Στην επιφάνεια της στρώσης η τάση είναι  
 $\Delta P = 4.2 \text{ tn/m}^2 = 0.42 \text{ kg/cm}^2 = q$

$$(\text{Μέθοδο σελίδας 184}) \quad \Sigma \Delta H_3 = 0.6 \text{ cm.}$$

Για το 4ο στρώμα έχουμε:

$$H_2 = 200 \text{ cm} \quad E_s = 123 \text{ kg/cm}^2$$

Στην επιφάνεια της στρώσης η τάση είναι  
 $\Delta P = 6.62 \text{ tn/m}^2 = 0.662 \text{ kg/cm}^2 = q$

$$(\text{Μέθοδο σελίδας 184}) \quad \Sigma \Delta H_3 = 0.42 \text{ cm.}$$

Για το 5ο στρώμα έχουμε:

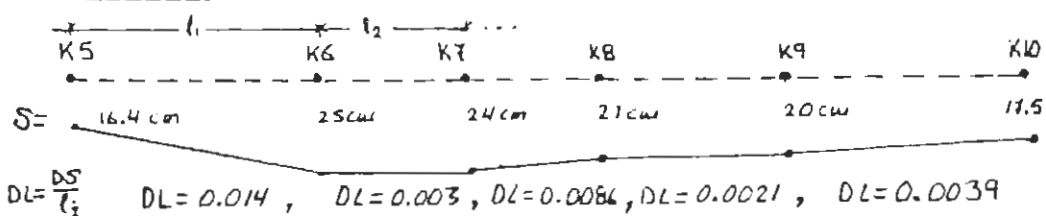
$$H_2 = 5 \text{ m} = 500 \text{ cm} \quad e = 1.3 \quad C_c = 0.21$$

Στο μέσο της στρώσης η τάση είναι  
 $\Delta P = 9.04 \text{ tn/m}^2 \quad \text{και} \quad \sigma_{\text{σφ}} = 15 \text{ tn/m}^2$

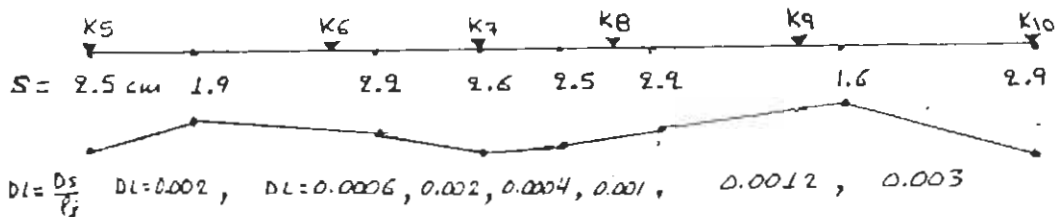
$$(\text{Μέθοδο σελίδας 183}) \quad \Sigma \Delta H_3 = 0.0 \text{ cm.}$$

$$\Sigma H (\Gamma) = 9.2$$

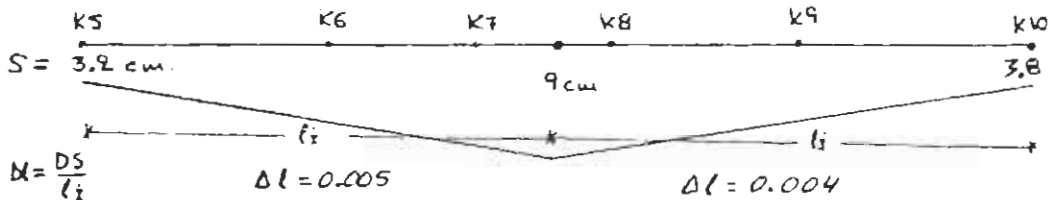
Συγκεντωτικά αποτελέσματα καθιζήσεων



▲ Διάγραμμα καθιζήσεως πεδίλων K5-K10 (με την πραγματική εδαφική θεώρηση).



▲ Διάγραμμα καθιζήσεως πεδίλοδοκού K5-K10 με την ελαστική θεώρηση.



▲ Διάγραμμα καθιζήσεως πεδίλοδοκού K5-K10 (με την πραγματική εδαφική θεώρηση).

Οι καθιζήσεις "s" είναι μεγαλύτερες στη θεμελίωση των πεδίλων, ( $S_{max} = 25 \text{ cm}$ ). Αντίθετα η πεδίλοδοκό που έχει υπολογισθεί με την ελαστική θεώρηση έδρασης έδωσε ( $S_{max} = 2.9 \text{ cm}$ ). Όσο για τη πεδίλοδοκό που έχει εκτιμηθεί με την πραγματική εδαφική κατάσταση έχουμε ( $S_{max} = 9 \text{ cm}$ ) δηλαδή 36 % μικρότερη καθιζήση από ότι τα πέδιλα.

$$S_i \xrightarrow{\hspace{1cm}} l_i \xrightarrow{\hspace{1cm}} s_i \quad DL = \frac{DS \text{ [m]}}{L_i \text{ [m]}}$$

Οι διαφορικές καθιζήσεις "DL" έχουν ως εξής:  
Η μεγαλύτερη παρουσιάζεται στα πέδιλα (0.014). Η θεμελίωση με τους πεδίλοδοκούς που εδράζονται σε ελαστική βάση δίνει τις μικρότερες τιμές (0.003). Για τη πεδίλοδοκό που η διερεύνησή της έγινε με την πραγματική εδαφική κατάσταση, έχουμε ( $DL = 0.005$ ) που είναι μικρότερη μόνο από αυτές των πεδίλων.

Θεμελίωση	S (cm)	DL
Πεδιλα	25.0	0.014
Πεδιλοδοκός (πραγματική θεώρηση)	9.0	0.005
Πεδιλοδοκός (ελαστική θεώρηση)	2.9	0.003

Για τη μείωση των καθιζήσεων μπορεί μεταξύ θεμελίων και εδάφους να μπει μια στρώση από συμπυκνωμένο αμμοχάλικο πάχους περίπου 40 cm. Η στρώση αυτή εκτός την παραλαβή των τάσεων θα δρα σαν αντισεισμικό διάφραγμα μια και κατά το σεισμό η θοαύση των αδρανών υλικών της θα μειώνουν τη σεισμική δράση ως προς τη κατασκευή. Ακόμα θα κρατά υγρό το έδαφος και έτσι δε θα έχουμε αλλαγές στην εδαφική υγρασία ή οποια μπορεί να δώσει ακόμα και διόγκωση.

ΕΔΑΦΟΤΕΧΝΙΚΗ ΕΡΕΥΝΑ  
(περιορισμένη)

ΣΤΑΔΙΟ ΠΑΤΡΑΣ

---

---

**ΓΕΩΤΕΧΝΙΚΗ ΜΕΛΕΤΗ - ΠΑΡΟΥΣΙΑΣΗ - ΑΞΙΟΛΟΓΗΣΗ -  
ΓΝΩΜΑΤΕΥΣΗ**

**Γενικά**

Η έκθεση αυτή παρουσιάζει και αξιολογεί τα αποτελέσματα της έρευνας του εδάφους που έχιναν στην περιοχή του Εθνικού Σταδίου Πάτρας.

**Ο σκοπός της έρευνας**

Η έρευνα αυτή έχει σκοπό την εξαγωγή στοιχείων τάνω στην αντοχή - συμπιεστότητα - και καταλληλότητα του υλικού ως υπόβαθρο οδιοπτρώματος ή θεμελίωσης.

**Εκτέλεση της έρευνας**

Η διεξαγωγή της έρευνας έγινε στο εργαστήριο εδαιρομηχανικής του ΤΕΙ Πάτρας, το Μάιο του έτους 1993.

**Η παρουσίαση της έρευνας**

Η έρευνα έγινε με τη λήψη ενώς block sample, τέτοια δείγματα είναι πολύ αδιατάσσιμα. Οι διαστάσεις του ήταν,  $15 \times 15 \times 15$  cm, το βάθος λήψης του ήταν 0.5 μέτρα. Αυτό το τετράγωνο υλικό επενδύθηκε με υγρό χαρτί και παραφινώθηκε. Πάνω στήν επιφάνειά του θημειώθηκε το βάθος, τη περιοχή, το τάνω και κάτω άκρο του. Αργότερα και με προσοχή το δείγμα μεταφεόθηκε στο εργαστήριο, εκεί το μορφωσανε σε τρία δοκίμια για τη τριαζονική και ένα για τη στερεότοιχη δοκιμή (φωτ. 7). Ακόμα λάβαμε και τρία δείγματα με τη χρήση κρουστικού χειροκίνητου δειγματολήπτη, με βάρος σφύρας 2.75 kg ύψος πτώσης 27 cm, εσωτερική διάμετρος 37.5 mm και εξωτερική 41.7 mm.



(φωτ. 7 )

Το εδαφικό υλικό

Η περιοχή αυτή καλύπτεται από πλειοτλειστοκαίνικές αποθέσεις (ΙΓΜΕ), στην αρχή και μέχρι ένα βάθος 1.2 περίπου μέτρα υπάρχει ένα λεπτόκοκκο καστανό ιλινώδη ως αμμώδη αργιλικό υλικό με λίγα χαλικιά μεγέθους. 1/2 cm. Μετά τα 1.2 μέτρα αρχίζει ένα χονδρόκοκκο υλικό που αποτελείται από κροκάλες άσπρου αλλά και λίγες κοκκινους χρώματος το μέγεθός τους είναι διάφορο και περίπου 12 cm. Ανάμεσα στις κροκάλες υπάρχει ένα αργιλοαμμώδη υλικό. Το χαλικοτό στρώμα σε μερικές θέσεις είναι περισσότερο ή λιγότερο λεπτόκοκκο και είναι αρκετά χαλαρό. Η έρευνα περιορίστηκε στό επιφανειακό υλικό μια και στό υπόλοιπό την αδύνατη η αδιατάραξη δειγματοληψία, ακόμα στό ίδιο στρώμα ο χειροκίνητος κρουστικός δειγματολήπτης παρουσίασε έντονη φθορά.

Αποτελέσματα δοκιμών

Για τη διεισδυση τού δειγματολήπτη 12 cm μέσα στο έδαφος απαιτήθηκαν 170 κτύποι. Η αναγωγή αυτών των αποτελεσμάτων σε αυτά της δοκιμής SPT μπορεί να γίνει με τη σχέση που δίνει η (σελ 44).

Ετσι : Για διεισδυση 12 cm, έγιναν 170 κτύποι  
Για διεισδυση 30 cm, έγιναν N1 κτύποι

$$N1 = 425$$

Οι 425 κτύποι τασδυναμούν με N κτύπους της δοκιμής SPT.

$$N = \frac{.07 * N1 * E}{Dout ^ 2 * Din ^ 2} =$$

$$N = \frac{.07 * 425 * 2.75 * 27}{4.17 ^ 2 * 3.75 ^ 2} = 9$$

Με τον αριθμό των κτύπων, αλλά και με τη χάραξη στο διάγραμμα των κύκλων τού Mohr, κύκλου με κύρια τάση, σ3=0, που να τέμνει την περιβάλλουσα των κύκλων - που αποτελούν τα αποτελέσματα της τριαζονικής-Brickoumne από τη τουντή τού νέου κύκλου με τον άλονα των κυρίων τάσεων, σ, την κύρια τάση, σ1, που αντιστοιχεί στην αντοχή σε ανεμπόδιστη θλίψη τού εδάφους. Με αυτή τη λογική σκέψη καταλήγουμε στις η ανεμπόδιστη θλιπτική αντοχή είναι τον με qu = 280 KPA = 2.80 kg/cm<sup>2</sup>. (Οι τριαζονικές αντοχές έγιναν σε μέρος τού υλικού που ήταν αρκετά αργιλικό).

Η φυσική υγρασία του υλικού αυτού είναι περίπου 15 % δηλαδή μικρότερη από το όριο πλαστικότητας.

### ΣΥΓΚΕΝΤΡΩΤΙΚΑ ΑΠΟΤΕΛΕΣΜΑΤΑ

#### ΦΡΕΑΤΙΟ 1 ΣΤΡΩΣΗ Α

Καστανή αργιλοσαμμώδη τύπου CL1 (κατά AUSCS) στρώση πάχους 1.2 μέτρα. Η στρώση αυτή είναι πάνω από τον υδροφόρο ορίζοντα.

Τα χαρακτηριστικά της είναι  $N = 9$ , ο δεικτης πλαστικότητας  $IP = 3$ .

Η θλιπτική αντοχή  $q_u = 2.80 \text{ kg/cm}^2$

Η διατμητική αντοχή  $c = 1.4 \text{ kg/cm}^2$   
 $\psi = 0$

Τα αποτελέσματα. συ. Cc. της συμπιεστότητας δεν έχουν σκοπό μία και το υλικό δεν είναι κάτω από τον υδροφόρο.

Από αποψη διατεροπόστατης είναι μέτρα διαπερατό  $K = 1.4166E-3 \text{ cm/sec} = 5.1 \text{ cm/h}$  (από τη δοκιμή στερεοστούσας για φρεάτο,  $\rho v' = .125 \text{ kg/cm}^2$ ).

Το μέτρο συμπίεσης από τη δοκιμή SPT είναι ίσο με:

$$E_s = 3.581 * (N + 5) = 50 \text{ kg/cm}^2$$

Το δυναμικό μέτρο διατμησης  
 Ταχύτητα διατυπικών κυυάτων

$$\rho = \gamma f/g = 26.3/9.81 = 2.68$$

$$G_0 = us^2 * \rho$$

$$us = 19 * N^{1.61}$$

$$us = 73 \text{ m/sec}$$

$$G_0 = 73^2 * 2.68$$

$$= 14282 \text{ KN/M}^2$$

$$= 143 \text{ kg/cm}^2$$

Το δυναμικό μέτρο ελαστινότητας  
 poisson  $v=0.25$

$$E_0 = G_0 * 2(v+1)$$

$$E_0 = 358 \text{ kg/cm}^2$$

Κτύποι / 30 cm	$\Rightarrow N = 9$
Δείκτης πλαστικότητας	$\Rightarrow I_p = 8$
Οριο πλαστικότητας	$\Rightarrow W_p = 18$
Οριο υδαρότητας	$\Rightarrow W_L = 26$
Φυσική υγρασία	$\Rightarrow W = 15\%$
Φαινόμενο ειδικό βάρος	$\Rightarrow \gamma_f = 2.63 \text{ tn/m}^3$
Ειδικό βάρος κόκκων	$\Rightarrow G_s = 2.65 \text{ tn/m}^3$
Συνοχή	$\Rightarrow c = 1.4 \text{ kg/cm}^2$
Γωνία τριβής	$\Rightarrow \phi = 0$
poisson ratio	$\Rightarrow v = 0.25$
Μέτρο διάτηψης δυναμικό	$\Rightarrow G_o = 143 \text{ kg/cm}^2$
Μέτρο ελαστ/τας δυναμικό	$\Rightarrow E_o = 358 \text{ kg/cm}^2$

$\sigma' = .125$	.25	.5	1	2	4
$E_s = 4.5$	9.0	18.1	36.1	72.3	115
$K = 5$	.4	.02	.06	.5	.09

Διόγκωση 0.  $K = \text{Διαπερατότητα cm/h}$   
 $E_s = \text{Μέτρο συμπ/ής kg/cm}^2$   
 $\sigma' = \text{Κατακόρυφη ενεργή τάση kg/cm}^2$

Αυτό το εδαφικό υλικό με τη μέτρια διαπερατότητα δεν υπόκεινται σε δράση παγετού και δεν παρουσιάζει διογκωσιμότητα



(Φωτ 8). Η συσκευή της τοιαζονικής δοκιμής του εργαστηρίου εδαφομηχανικής του ΤΕΙ Πάτρας.

STOKES TEST A PRODUCTION BY G. MONOGYIOS 1993

PROJECT .... EΘΥΚΑ . Στάδιο .. Πάτρας .....  
BORING . ΦΡΕΑΤΙΟ 1 ... DEPTH ... 0.5 μ. DATE .....

HYDROMETER 151 H . TEMPER 20 C. NAP03 CALGIN

TIME MIN	READING	DIAMETER		PERCENTAGE *1
		*2	OF GRAIN	
.00	13.5248	.1077674	.27.51751	
.75	10.46716	5.965405E-03	.21.36605	
1.50	7.309377	5.256632E-02	.14.9202	
2.25	5.730662	3.766456E-02	.11.69766	
3.00	2.573043	2.436634E-02	.5.255203	
3.75	.9941431	4.107539E-03	.2.02928	
4.50	.9941431	1.451159E-03	.0.02928	

SPECIFIC GRAVITY GR/CM3 = 2.65  
WEIGHT DRY SOIL GR = 46.9896 = B  
WEIGHT WET SOIL GR = 50  
WATER CONTENT % = 1.01

Στην επόμενη σελίδα δίνονται οι υπολογισμοί της κοκκομετρίας, αλλά και η ανάκωντ των ανοτελεστών στο αρχικό υγρό (αυτό δυτική που είκανε, για κοκκομέτρην, συγγεζει από το υπωρεύο).

Αποτελέσματα από τη κοκκουμέτρηση με κόσκινα.

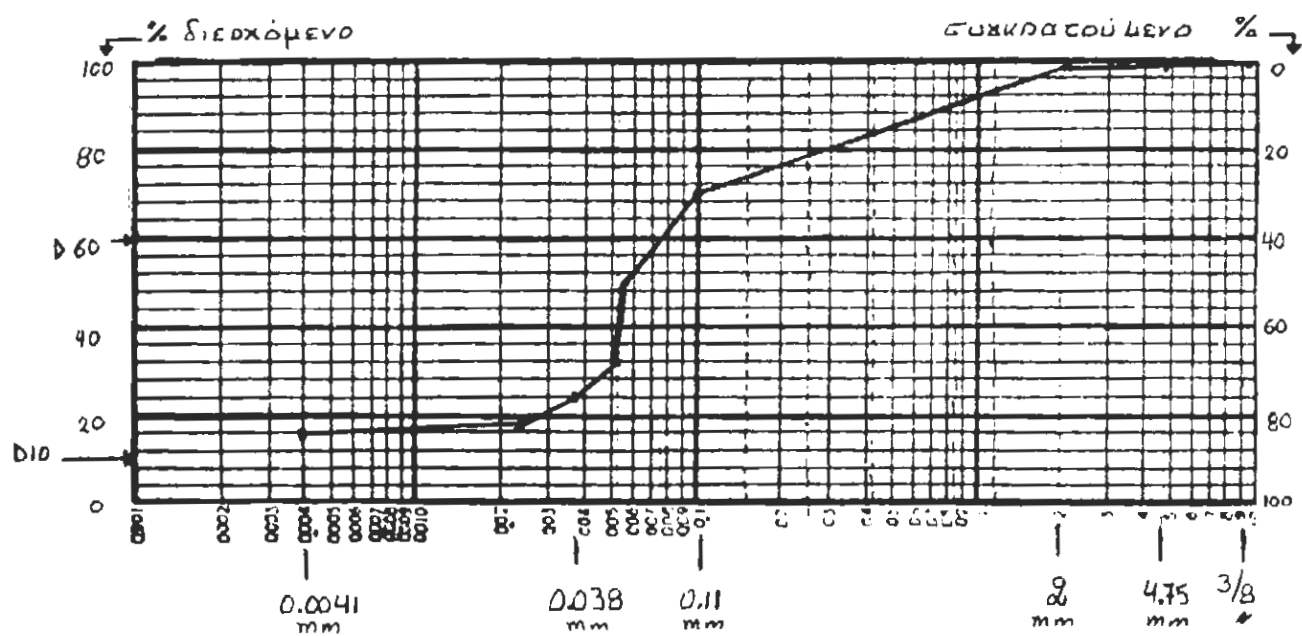
κόσκινο	συγκρατούμενο	διερχόμενο
3/8" 9.53 mm	0 gr	500 gr 100 %
No 4 4.76 mm	1.5 gr	499 gr 99.7 %
No 10 2.00 mm	1.0 gr	498 gr. $\Delta^*: 99.5 \%$

To Stokes test θα δώσει μία συνέχεια της κοκκουμέτρησης, από το No 10 κόσκινο και κάτω.

διαμέτρος κοκκών *2	συγκρατούμενο		διερχόμενο		
	% = *1	*3=gr	gr	%=k	*4=%
0.1076	27.80	13.62	35.37	72.20	72
0.0597	21.40	10.48	24.89	50.80	51
0.0526	14.90	7.30	17.59	35.90	36
0.0377	11.70	5.73	11.86	24.21	24
0.0244	5.25	2.57	9.29	18.96	19
0.0041	2.03	0.99	8.30	16.94	17
0.0015	2.03	0.99	8.30	16.94	17

$$*3 = (*1(i) / 100) * B$$

\*4 =  $\Delta^* \times k / 100$  Με το, \*4, Ανάγουμε τα αποτελέσματα του Stokes στο συνολικό υλικό (αρχικό) (Στη περίπτωση αυτή αρχικό είναι τα 500 gr)



$$D_{60} = 0.075 \quad D_{10} \approx 0.0038$$

$$D_{60}/D_{10} = 20 > 10 \quad \text{Καλή διαβούληση.}$$

ATTERBERG LIMITS - PARTICLE SIZE DISTRIBUTION  
(Στοιχεία Atterberg και κονκάρδων ανάλυσης)

PROJECT.....Εβίνη.....Σταύρος.....Τατόπεια.....  
BORING LOCATION.....LAYER.....DEPTH.....S.F.U.....DATE.....

		liquid	plastic	
A EDUCATOR NUMBER (ΜΟΒΥΔ. ΑΓΓΕΛΟΥΔΑ)	:	7	2	82
B TOTAL RAP 15-35 (ΣΥΝΟΛΟ ΑΓΓΕΛΩΝ)	:	25		
C WEIGHT WET SAMPLE AND EDUC (Βαρος υγρου δειγματος και αγγελων)	gr :	25.106	15.41	15.97
D WEIGHT DRY SAMPLE AND EDUC (Βαρος ξηρου δειγματος και αγγελων)	gr :	22.7302	16.04	15.93
E WATER WEIGHT (Βαρος νερου)	gr :	2.376	0.19	0.14
F EDUCATOR WEIGHT (Μοβιδιας αγγελων)	gr :	13.691	15.23	15.71
G WEIGHT OF DRY SAMPLE (G-E-F) gr :	9.0392	1.61	0.23	
H MOISTURE (Υγραστια)	(W=E*100/G) % :	26.29	17.90	17.62
I LIQUID LIMIT (WL=H*(E/100)/1.121) : (Οποιος μεριστικος)	26.29	PLASTIC L. WP:	18	
PLASTIC INDEX (Ip=WP-WL) :	8			

Attebergoi kirkouettonoi kai ton forioum Atterberg syndeta ta eisatikiotikata:

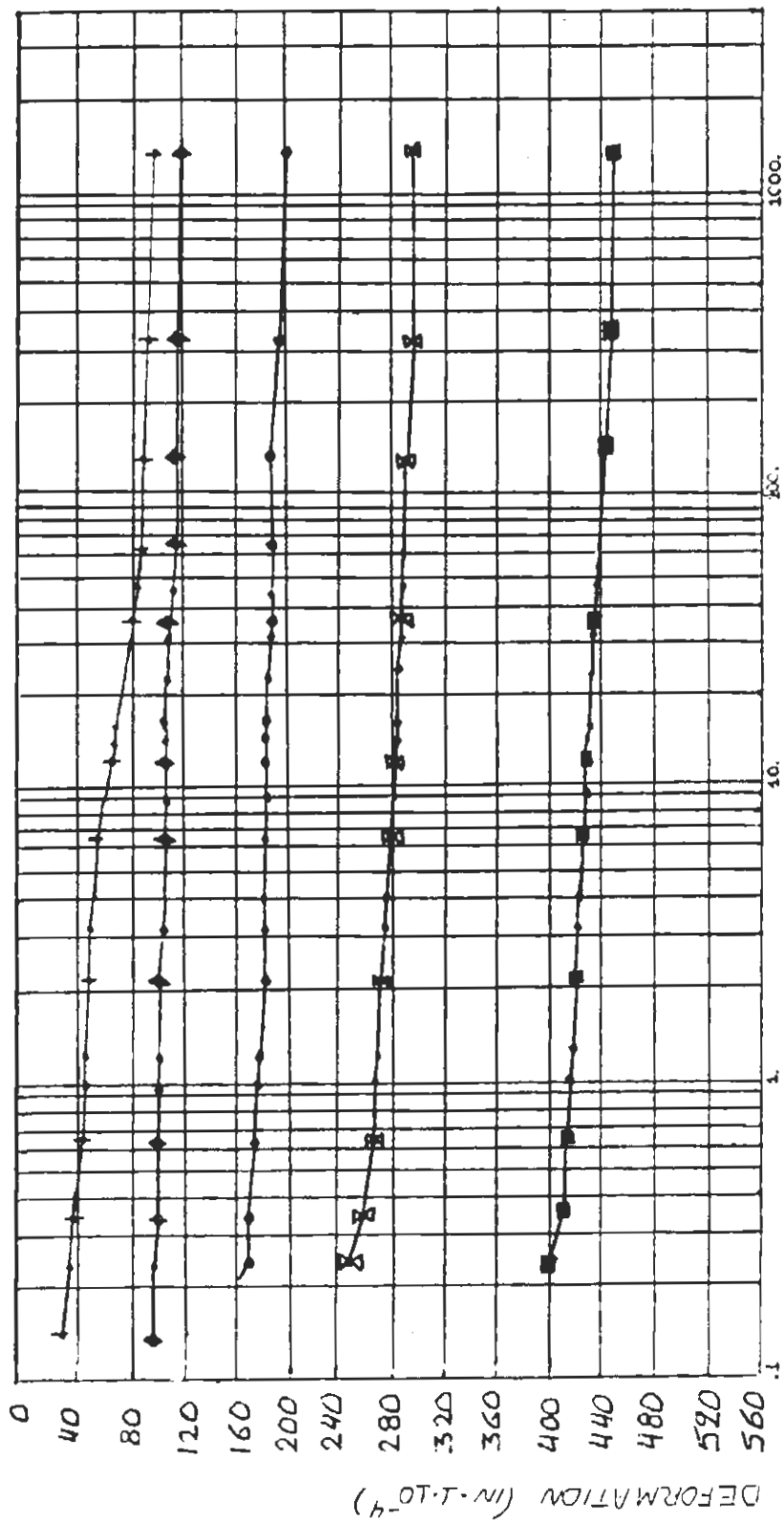
ESagktiko oliko tonou CLI , λιγο πλαστικο.

CONSOLIDATION TEST

PROJECT : .....Πατρα..Εθνικό..Σταδίο.....  
 CHARACT : Καστανή..ελυμώδης..αργιλός,+λιγά..λεπτά..γαλακτία  
 BORING : Φρεάτιο..1...DEPTH : ....0.5.m..DATE : .....

YIELD (1 \* 10E-4 in)

	STRESS							
	.125	.250	.500	1.	2.	4.	8.	.25
0 :	0	4	96	121	204	296	449	426
9 :	0	32	98	171	247	404	432	383
18 :	0	39	102	171	259	412	432	374
27 :	0	39	102	173	263	415	432	373
40 :	4	47	102	175	267	417	431	371
47 :	4	47	102	177	270	421	431	371
1' 30 :	4	47	102	178	272	422	433	370
2' 15 :	4	51	103	178	275	424	430	370
3' 20 :	4	55	106	178	277	425	432	370
4' :	3	55	106	179	278	426	430	370
6' 40 :	3	55	106	180	280	428	427	370
9' :	3	59	106	180	282	430	426	369
12' 15 :	3	63	106	180	283	431	426	369
15' :	3	63	106	180	283	432	426	368
16' :	3	63	106	180	284	432	425	366
25' :	3	75	106	181	286	434	425	368
33' 20 :	3	79	106	181	287	436	425	364
36' :		83	106	183	288	436	425	364
49' :		83	115	183	289	437	425	364
1H 6' 40 :	4	91	116	184	290	438	424	364
2H 30 :		91	121	186	295	447	424	364
5H 33' :	4	95	121	192	296	448	423	363
24H :	4	99	121	204	296	449	423	360



CONSOLIDATION TEST		
PROJECT :	Eduardo Echeverría	Nazca
BORE HOLE :	operação L.	
DEPTH :	0.5 μ	
DATE :		

CONSOLIDATION TEST  
A PRODUCTION BY MONOGIOS D. GEORGIOU ATHENS 1993

PROJECT.....ΠΑΓΑΚΙ Εθνικό Στάδιο  
CHARACT. Ημερεμένης πληρότητας από την αρχή λειτουργίας  
BORING. Φυσικής βάθυτης ..2.5 μ. DATE.....

WL	=	26.3
WF	=	19
INITIAL HEIGHT H.	CM	= 2
DIAMETER OF SAMPL.	D.	CM = 6
AREA OF SAMPLE A.	CM <sup>2</sup>	= 28.2744
WEIGHT OF SAMPLE	GR	= 149
SPECIFIC GRAVITY GS	GR/CM <sup>3</sup>	= 2.65
UNIT MASS γd	GR/CM <sup>3</sup>	= 2.634892
NATURAL MOISTURE W.	%	= 2
NATU. VOID RATIO e <sub>o</sub>		= 1.1767084
DRY UNIT WEIGHT γd	GR/CM <sup>3</sup>	= 2.252045
SWELLING LOAD T.	KG/CM <sup>2</sup>	.%

STRESS	H100 CM	ε	STRAIN
.125	1.93898	.1761083	.051
.25	1.9769	.1631174	.1155
.5	1.96227	.1586263	.1.5365
1	1.9511	.1472966	2.44
2	1.9248	.1324642	3.76
4	1.8865	.1099302	5.675
2	1.6926	.1138192	5.37
.25	1.9386	.12229328	4.57

CC 7.485629E-02

STRESS KG/CM<sup>2</sup>= .125                  CU CM<sup>2</sup>/SEC= 6.398976E-03  
Es      KG/CM<sup>2</sup>= 4.517117                  K CM/SEC = 1.416606E-03 . γd = 2.253194

STRESS KG/CM<sup>2</sup>= .25                  CU CM<sup>2</sup>/SEC= 9.46674E-04  
Es      KG/CM<sup>2</sup>= 9.034235                  K CM/SEC = 1.048096E-04 . γd = 2.27536

STRESS KG/CM<sup>2</sup>= .5                  CU CM<sup>2</sup>/SEC= 7.593259E-05  
Es      KG/CM<sup>2</sup>= 18.06847                  K CM/SEC = 4.202492E-05 . γd = 2.287187

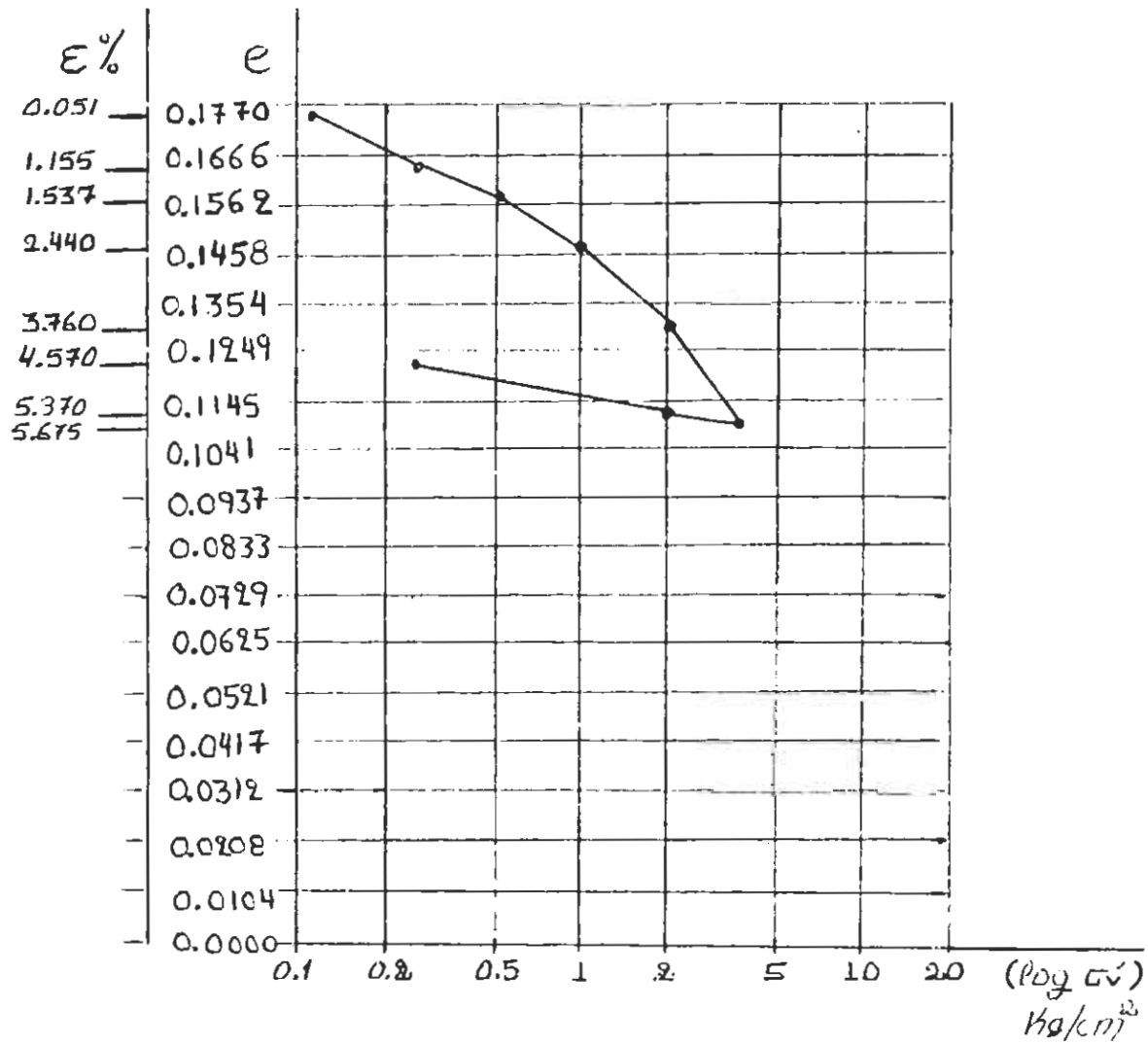
STRESS KG/CM<sup>2</sup>= 1                  CU CM<sup>2</sup>/SEC= 6.111549E-04  
Es      KG/CM<sup>2</sup>= 36.13693                  K CM/SEC = 1.69122E-05 . γd = 2.308369

STRESS KG/CM<sup>2</sup>= 2                  CU CM<sup>2</sup>/SEC= 9.970156E-03  
Es      KG/CM<sup>2</sup>= 72.27386                  K CM/SEC = 1.379497E-04 . γd = 2.34663

STRESS KG/CM<sup>2</sup>= 4                  CU CM<sup>2</sup>/SEC= 3.442163E-03  
Es      KG/CM<sup>2</sup>= 144.5477                  K CM/SEC = 2.361547E-05 . γd = 2.387537

ΓΡΑΦΙΚΗ ΠΑΡΑΣΤΑΣΗ ΤΟΥ ΔΕΙΚΤΗ ΠΟΡΩΝ ΣΥΝΑΡΤΗΣΗ ΤΗΣ ΚΑΤΑΚΟΡΥΦΗΣ ΤΑΣΗΣ

ΕΡΓΟ : ..... Εθνικό . Σταθμό . Πάτρας .....  
ΓΕΩΤΡΗΣΗ : ΦΡΕΑΤΙΚΑ . 1 ..... ΒΑΘΟΣ : ..... 0,5 μ. ....



ΤΑΣΗ ΠΡΟΣΤΕΡΕΟΠΟΙΗΣΗΣ  $\sigma_p = 1.20$  [KG/CM<sup>2</sup>]

ΔΕΙΚΤΗΣ ΣΥΜΠΙΕΣΤΟΤΗΤΑΣ  $C_c = 0.075$

TRIAXIAL TEST  
(Τριαξιακή δοκιμή)

PROJECT ..... Σεντάκη Στάσιο Βασιλού .....  
BOARING ..... Αριθμός 111 ..... DEPTH ..... 0.5 μ. .... DATE .....  
DESCRIPTION ..... αφυγέτα, απρόσιτη, οροφή, εδάχωρα, χαλιά, ...

SAMPLE	TEST 1		TEST 2		TEST 3	
	C	TEST 1	C	TEST 2	C	TEST 3
COEFFICIENT	C :	1	1	1	1	1
DIAMETER	D :	3.75 cm	3.71 cm	3.72 cm	3.72 cm	3.72 cm
HEIGHT	H :	7.04 cm	7.05 cm	7.05 cm	7.05 cm	7.05 cm
AREA	A <sub>0</sub> :	10.90 cm <sup>2</sup>	11.60 cm <sup>2</sup>	10.86 cm <sup>2</sup>	10.86 cm <sup>2</sup>	10.86 cm <sup>2</sup>
σ <sub>3</sub>	kg/cm <sup>2</sup>	: 1.00	1.1	1.0	1.0	1.0
MOISTURE	W%	: 16.6 %	14.6 %	16.3 %	16.3 %	16.3 %
YIELD	READING	σ <sub>1</sub> -σ <sub>3</sub>	READING	σ <sub>1</sub> -σ <sub>3</sub>	READING	σ <sub>1</sub> -σ <sub>3</sub>
mm	0-RING	kg/cm <sup>2</sup>	0-RING	kg/cm <sup>2</sup>	0-RING	kg/cm <sup>2</sup>
0.0	2.3	1.3	7.4	1.68	1.6	1.15
1.4	12.7	1.14	13.7	1.24	11.5	1.53
2.1	19.4	1.72	18.4	1.65	19.0	1.70
2.6	26.3	2.31	21.9	1.95	22.7	2.01
3.5	29.8	2.59	24.7	2.17	25.5	2.33
4.2	30.8	2.65	27.1	2.36	27.4	2.37
5.6	33.3	2.81	31.5	2.66	29.9	2.53
7.0	34.3	2.83	33.5	2.60	31.4	2.60
8.4	35.0	2.62	36.6	2.99	32.3	2.62
9.5	35.5	2.60	36.7	3.09	33.3	2.64
11.2	35.6	2.74	39.4	3.07	33.6	2.62
12.00	35.6	2.65	39.6	3.01	34.8	2.63
14.00	35.5	2.60	39.7	2.95	35.2	2.60

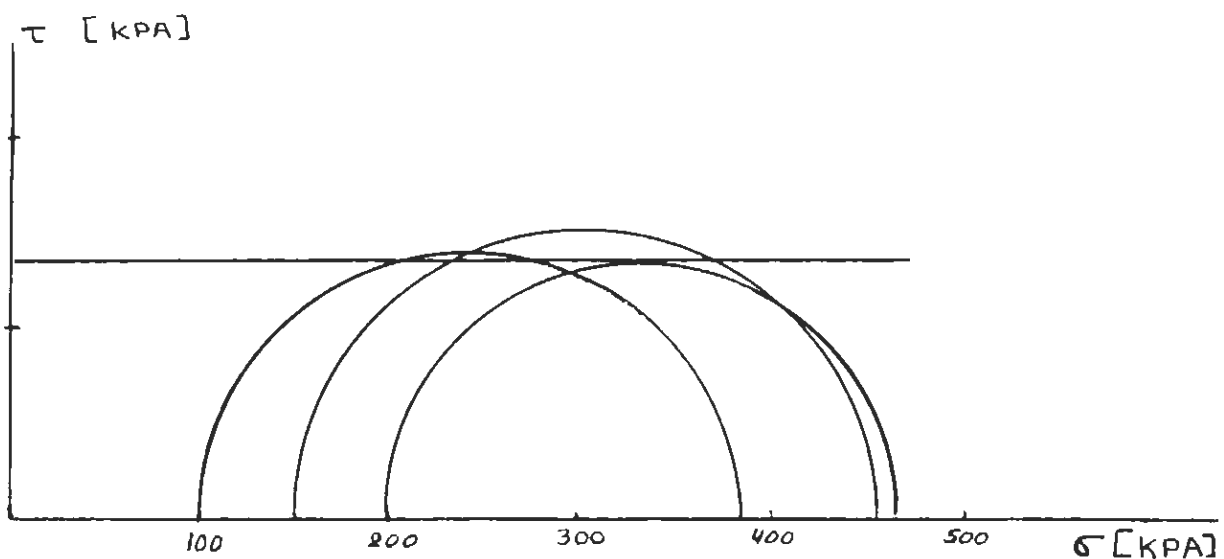
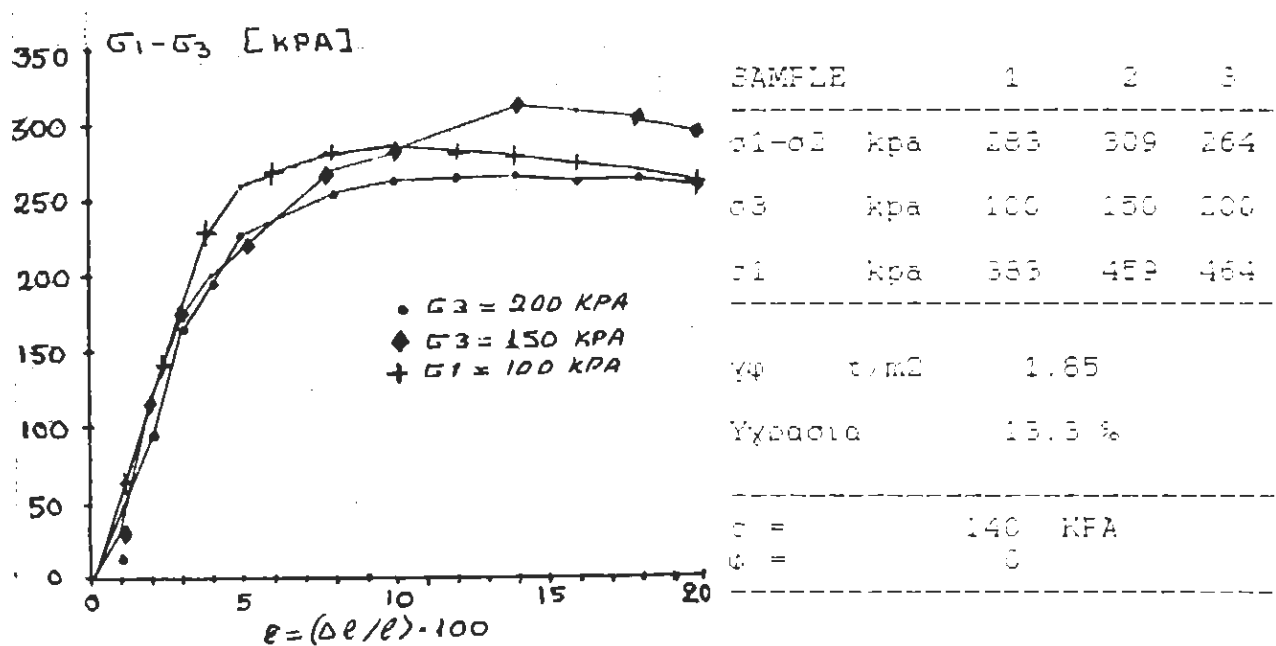
FORMULA : INITIAL DIAMETER αρχική διαμετρος :  $A_0 = 0.785 \cdot d^2 / 2$   
 STRAIN Παραμορφωση :  $\epsilon(i) = \text{yield} / H$   
 AREA Επιφάνεια :  $A(i) = A_0 / (1 - \epsilon(i))$

$$\sigma_{1-\sigma_3} = \text{READING} \cdot C / A(i)$$

- 209 -

TRIAXIAL TEST  
(Трехосный тест)

PROJECT ..... Берег ..... STATION ..... Галас .....  
BORING ..... 1 ..... DEPTH ..... 0.5 m ..... DATE .....



AT&T ENTERPRISE SYMMETRICAL

---

ΑΠΛΕΣ ΕΜΠΕΙΡΙΚΕΣ ΣΥΣΧΕΤΗΣΕΙΣ ΓΙΑ ΤΟΝ ΥΠΟΛΟΓΙΣΜΟ ΕΛΑΦΙΚΩΝ ΠΑΡΑΜΕΤΡΩΝ

Στα τελευταία χρόνια η μεγάλη εξέλιξη τής εδαφομηχανικής επιστήμης αλλά και η συνεργασία της με την ηλεκτρονική, έχουν φέρει σε χρήση μια πληθώρα συσκευών εργαστηρίου και υπαίθρου για το προσδιορισμό παραμέτρων χρήσιμων στη πρόβλεψη τής συμπεριφοράς κάποιου εδαφικού συνόλου.

Η χρήση τών συσκευών αυτών πολλές φορές είναι αντιοικονομική και χρονοβόρα, ειδικά σε έργα μικρής σπουδαιότητας. Στη περίπτωση αυτή τυχάνουν εφαρμογής διάφορες εμπειρικές συσχετίσεις που άλλοτε είναι περισσότερο ή λιγότερο αποτελεσματικές.

Σε αυτό το κεφάλαιο γίνεται μια αναφορά σε σχέση με τη διεθνή και όχι μόνο εμπειρία σε τέτοιου είδους σχέσεις. Ο σκοπός αυτής τής προσπάθειας είναι ο ταχύς και με μικρό κόστος έλεγχος τού εδάφους. Αυτά μπορούν να δώσουν μια πρώτη εικόνα κατά τη προμελέτη τού έργου αλλά και για μικρής σπουδαιότητας έργα.

Η σύνταξη αυτών τών σχέσεων γίνεται με τη σύγκριση τών αποτελεσμάτων μιάς δοκιμής με τα αποτελέσματα κάποιας άλλης που είναι ειδική, θεωρητικά και πρακτικά, στο προσδιορισμό κάποιας παραμέτρου. Για παράδειγμα η δοκιμή cross hole έχει και τη δυνατότητα να δώσει τη ταχύτητα των διατυπικών κυμάτων. Αρκετοί όμως ερευνητές διαπιστούσαν πρακτικά ότι υπάρχει κάποια σχέση τής ταχύτητας "vs" τών κυμάτων διάτυπης με των αριθμό των κρούσεων "N" τής δοκιμής SPT. Μετά από αρκετές συγκρίσεις τών αποτελεσμάτων αυτών των δύο δοκιμών σε αρκετές εδαφικές συνθήκες κατέληξαν στη σχέση :

$$vs = 19 * (N)^{0.61}$$

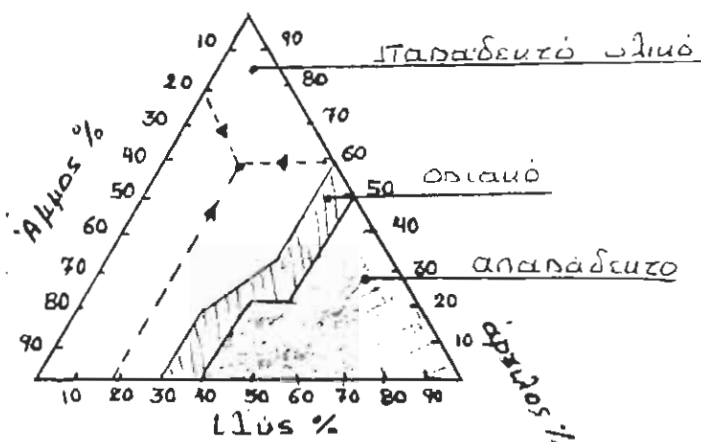
Το τελικό συμπέρασμα είναι ότι δύο περισσότερες δοκιμές σύγρισης γίνουν σε δύο το δυνατών περισσότερες εδαφικές συνθήκες τόσο η αξιοπιστία αυτών των εμπειρικών τύπων αυξάνεται.

ΕΜΠΕΙΡΙΚΕΣ ΣΥΣΧΕΤΗΣΕΙΣ ΜΕ ΒΑΣΗ ΤΑ ΑΠΟΤΕΛΕΣΜΑΤΑ ΤΗΣ  
ΚΟΚΚΟΜΕΤΡΙΚΗΣ ΚΑΙ ΤΩΝ ATTERBERG

ΤΙΝΑΚΑΣ 1 ΜΕΤΡΑ ΣΥΜΠΙΕΣΗΣ "Es" (STIEGLER)

Είδος εδάφους	Μέτρα συμπιεσης
Αμμος Dr 30 - 50 %	360 - 550
Αμμος πυκνή Dr 50 - 70 %	550 - 800
Αμμοχάλικο ανομοιόμορφο	700 - 1400
Χαλίκι	1000 - 1500
Λίθοι, κροκάλες χωρίς άμμο	1000 - 2000
Αργιλος σκληρή	200 - 400
Αργιλος στιφρή	50 - 100
Αργιλος αμμώδης ημίσκληρη	150 - 250
Αργιλος αμμώδης στιφρή	80 - 150

ΔΙΑΓΡΑΜΜΑ 1 ΔΙΟΓΚΩΣΗ ΛΟΓΟ ΠΑΡΕΤΟΥ



ΔΙΟΓΚΩΣΗΣ ΠΡΟΣΔΙΟΡΙΣΜΟΣ

Για  $LL = 30 - 55$        $\log s = a - .07 * w$

Για  $LL > 70$        $\log s = 3.83 - 0.06 * w$

όπου  $LL = 30 - 45, \quad a=2.49$   
 $LL = 45 - 55, \quad a=2.89$        $w = υγρασία (w \% / 100)$

ΕΔΑΦΟΣ - SOIL

# AMERICAN UNIFIED SOIL CLASSIFICATION SYSTEM

ΛΕΠΤΟΚΟΚΚΑ — FINE  
ΣΤΕΡΓΟΓΕΔΟ ΑΝΟ 40% ΔΙΕΠΕ-  
ΤΑΙ ΑΓΓΑ ΤΑ ΝΕΩΝ Ηλεκτρι-

tail and tail No 200 more than  
40% back No 200

104

卷之三

*S*PROGÖDÖLÖWS AND THE ATTENTION LIMITS DETERMINATION.

卷之三

LL<50

卷之三

Chawdron Rattan  
Kadoulin Kadoulin  
Kadoulin Kadoulin

卷之三

Thoracic dentition  
day 2

卷之三

**16**  
L L C

ELA  
30811  
A  
line  
Home

21

א' ב' ג' ד'

Opgravning And Drawn

Quinn, Siret (2005, Sept)

104

10 M

TUNAS S&G	GW	GP	SM	GC
10				

20.	Kataññor-	noñ	noñ	noñ
21.	Traññor-	noñ	noñ	noñ
30.	Uññor-	noñ	noñ	noñ

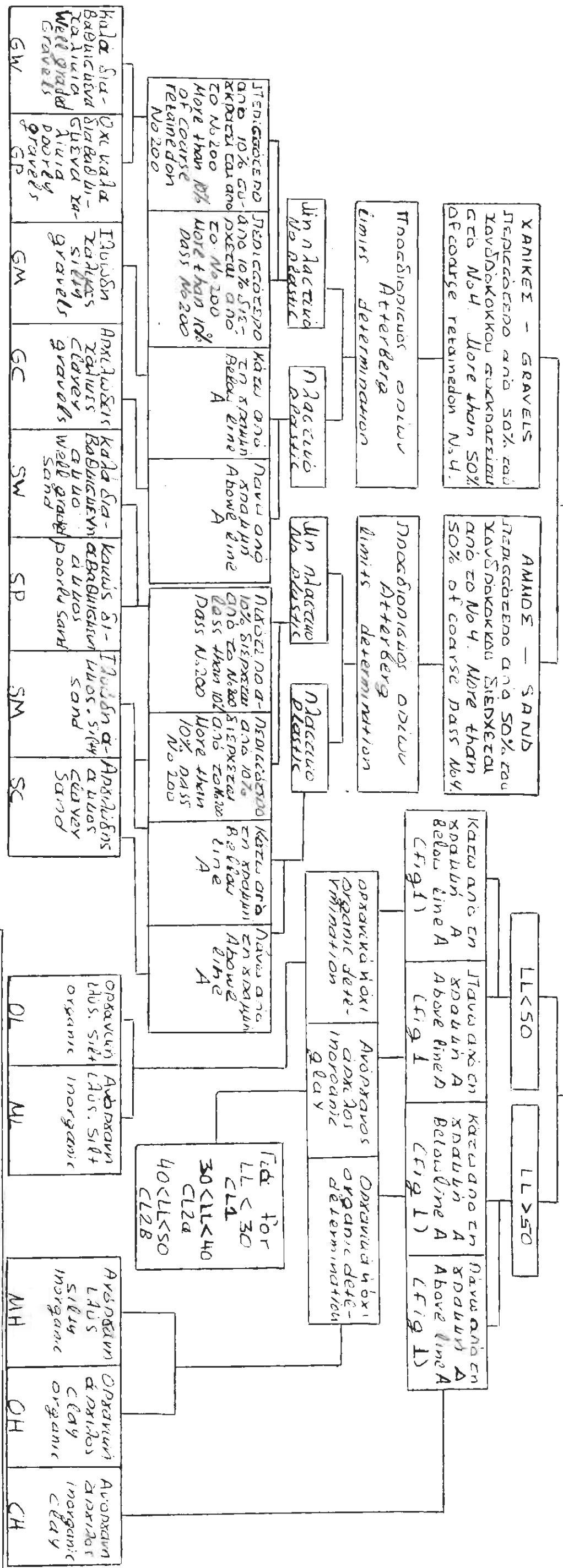
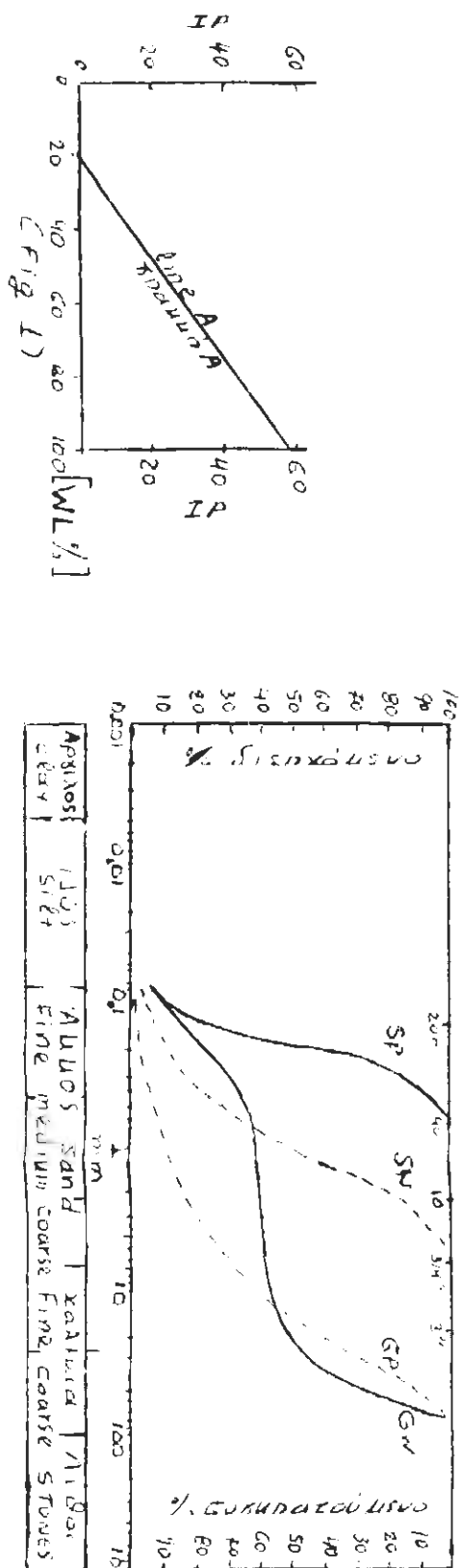
05  
on  
JL  
SUSPENSE

NAME	SEX	AGE	WEIGHT	HAIR	EYES
EDWARD	MALE	10	100 lbs	BROWN	GREEN
MARY	FEMALE	10	100 lbs	BROWN	GREEN

போக்குவரத்து	உடல் நிலை	உடல் நிலை	உடல் நிலை
போக்குவரத்து	உடல் நிலை	உடல் நிலை	உடல் நிலை

	CBR	60-80	35-60	40-80	20-40
18000					

Katajino	kaj'	kaj'nikaj'	noj'
Bach			urrow



ΠΙΝΑΚΑΣ 2 ΕΙΔΙΚΟ ΒΆΡΟΣ ΚΟΚΚΩΝ

Είδος εδάφους	Ειδικό Βάρος κόκων tn/m <sup>3</sup>
Αμμος	2.5 - 2.65
Αργιλος	2.7 - 2.80
Αργιλος με οργανικά	1.8 - 2.60

ΠΙΝΑΚΑΣ 3 ΛΟΓΟΣ POISSON (J. BOWLES)

αμμος	.2 - .4
ιλύς	.3 - .35
αμμώδη αργιλο	.2 - .3
αργιλο	
μη κορεσμένο	.1 - .3
κορεσμένο	.4 - .5

$$\text{Μέτρο ελαστικότητας} \quad E = Es * 3 * (1 - 2 v)$$

ΠΙΝΑΚΑΣ 4 ΣΥΡΡΙΚΝΩΣΗ

οριο συρρικνωσης	χαρακτηρισμός
0 - 5 %	εδαφος καλό
5 - 10 %	μέτριο
10 - 15 %	δχι καλό
> 15 %	πολύ συμιεστό

ΠΡΟΣΑΙΟΡΙΣΜΟΣ ΤΩΝ C, φ.

A. Με εμπειρικές σχέσεις για συνεκτικά εδάφη.

Γωνία εσωτερικής τριθής [16]

$$tan\varphi = .58 - .0045 * IP$$

Συνοχή του εδάφους [16]

$$c \text{ (kg/cm}^2) = tan(45-\varphi/2) * qu/2$$

qu = θλιπτική αντοχή kg/cm<sup>2</sup> μπορεί να βρεθεί και εμπειρικά (σελ 219).

B. Προσδιορισμος c, φ και διάφορα εδάφη (Γαλλική ταξινομηση Foss - 64).

ΠΙΝΑΚΑΣ 5 ΑΡΓΙΛΙΚΑ ΜΙΓΜΑΤΑ

ποσοστό αργιλίου	< = 20 %		20 % - 50%	
	ψ	c kg/cm <sup>2</sup>	ψ	c kg/cm <sup>2</sup>
Αργιλώδη χάλικες				
σκληροί	20-25	.2-.5	10-15	1 - 2
μέτρια	10-20	0 -.1	5-10	.2-.5
μαλακοί	0-10	0	0	0 -.2

ΠΙΝΑΚΑΣ 6 ΙΛΥΩΔΗ ΜΙΓΜΑΤΑ

τήσ ιλυς το ποσοστό	< 20 %		> 20 %	
ιλυώδη αμμος	ψ	c kg/cm <sup>2</sup>	ψ	c kg/cm <sup>2</sup>
σκληρή μαλακή	15-10	.2-.3	15-20	.2-.5
	5-10	0 -.1	5-10	0 -.1

ΠΙΝΑΚΑΣ 7

ποσοστό αργιλίου	< 20 %		> 20 %	
αργιλώδη αμμος	ψ	c kg/cm <sup>2</sup>	ψ	c kg/cm <sup>2</sup>
σκληρή	15-20	.7- 1	10-15	.7- 1
μέτρια	10-15	.2-.7	5-10	.2-.5
μαλακή	0 -10	0 -.2	0	0 -.2

ΠΙΝΑΚΑΣ 8

αργιλός	IP > 40		IP < 40	
	ψ	c kg/cm <sup>2</sup>	ψ	c kg/cm <sup>2</sup>
σκληρή	0	1 - 2	0	1.5-2
μέτρια	0	.2- 1	0	.5- 2
μαλακή	0	0-.2	0	.1-.5
οργανικά	0	0 -.1		

Αντοχή σε ανεμπ/τη θλίψη σε [kg/cm<sup>2</sup>].  
 σε < .5 (μαλακή)  
 σε .5 - 3 (μέτρια)  
 σε > 4 (σκληρή)

Μεταβολή της συνοχής με βάση το ποσοστό της αργίλου σε ένα λεπτόκκοκο μίγμα

ποσοστό αργίλου	συνοχή kg/cm <sup>2</sup>	ποσοστό αργίλου	συνοχή kg/cm <sup>2</sup>
0	0	60	.67
10	.20	70	.70
20	.36	80	.75
30	.50	90	.80
40	.58	100	.84
50	.65		

### ΡΕΥΣΤΟΠΟΙΗΣΗ

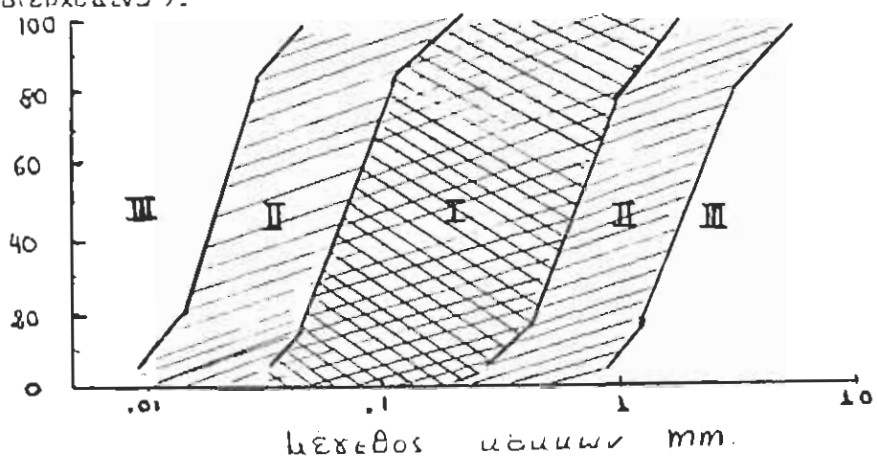
Τα εδάφη είναι δυνατό να διαχωρισθούν με βάση τη κοκκουμετοϊκή διαβαθμησή τους. Το σχήμα που ακολουθεί βασίζεται αποκλειστικά σε σεισμική φόρτιση. [13] [9]

Περιοχή I ρευστοποιησημένη εδάφη.

Περιοχή II πιθανώς ρευστοποιησημένη.

Περιοχή III δεν έχει παρατηρηθεί ρευστοποίηση.

Σιερχενεντ %.



ΕΜΠΕΙΡΙΚΕΣ ΣΥΣΧΕΤΗΣΕΙΣ ΜΕ ΒΑΣΗ ΤΑ  
ΑΠΟΤΕΛΕΣΜΑΤΑ ΤΗΣ ΔΟΚΙΜΗΣ SPT

Η περιγραφή της δοκιμής SPT δίνεται στη σελίδα (σελ43). Το εύρος εφαρμογής του στη σελίδα, σελ48.

ΠΡΟΣΔΙΟΡΙΣΜΟΣ ΜΕΤΡΟΥ ΣΥΜΠΛΕΖΗΣ "Es"

1.)  $Es = 71 + 4.9 * N$  (Για Αμμώδη)

(After Menzenbacg and Schultze, 1961)  
όπου  $Es$  = Μέτρο συμπλεζης [kg/cm<sup>2</sup>]  
 $N$  = Κρούσεις SPT ή διορθωμένες  
σταν γίνουν κάτω από τον υ-  
δροφόρο ορίζοντα.

2.)  $Es = E / (3 * (1 - 2 * v))$

(Γενικός τύπος για κάθε τύπο εδάφους)  
όπου  $Es$  = Μέτρο συμπλεζης [kg/cm<sup>2</sup>]  
 $v$  = Ο λόγος του Poisson, σελ  
 $E$  = Μέτρο ελαστικότητας [kg/cm<sup>2</sup>]

3.)  $Es = 55 + 0.48 * N$  (Για αργιλώδη  
άμμους )

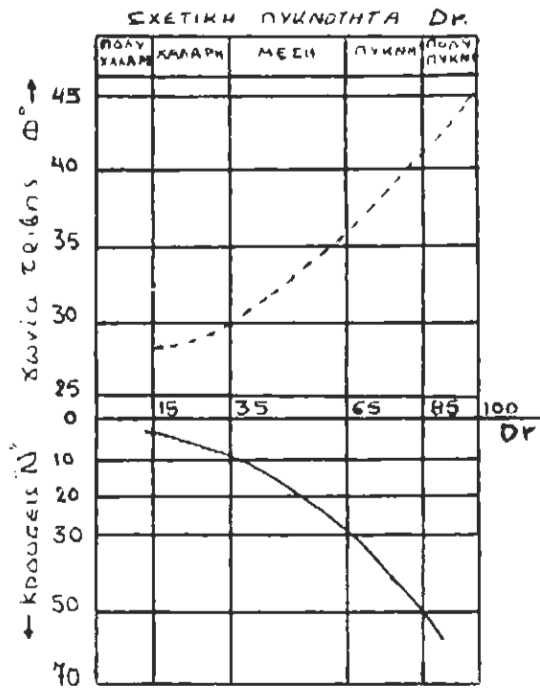
(Από K. Ανδρικόπουλο M. Ζάκα ) [??]  
όπου  $Es$  = Μέτρο συμπλεζης [kg/cm<sup>2</sup>]  
 $N$  = Κρούσεις SPT ή διορθωμένες  
σταν γίνουν κάτω από τον υ-  
δροφόρο ορίζοντα.

4.)  $Es = a + c * (N +, - 6)$

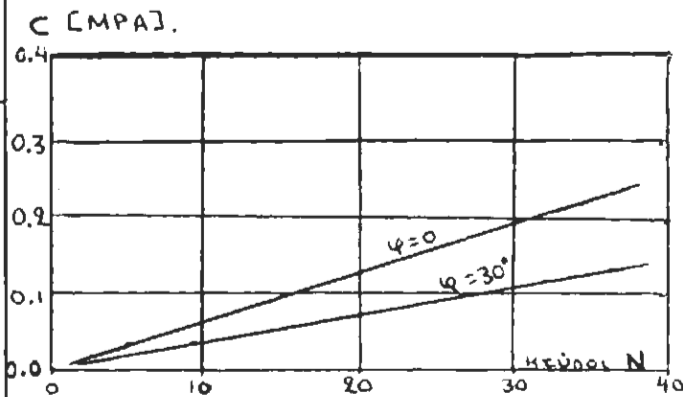
(Τάσσιος Αναγνωστόπουλος 1964 )  
όπου  $Es$  = Το μέτρο συμπλεζης [kg/cm<sup>2</sup>]  
σαν ο μέσος όρος των  
δύο τιμών της εξίσωσης.  
 $a$  = 40 για  $N > 15$   
0 για  $N \leq 15$   
 $c$  = 1 - 2.5 για ιλύς  
2.6 - 3.5 ιλύ με άμμο  
3.5 - 5 λεπτη - μέση  
άμμο  
5.1 - 9.5 χονδρή άμμος  
9.5 - 11.5 αμμοχάλικο  
12.11 - 14 χαλίκι με άμμο  
 $N$  = Κρούσεις SPT ή διορθωμένες  
σταν γίνουν κάτω από τον υ-  
δροφόρο ορίζοντα.

5.)  $Es = [5 * (N + 15)] * 1.0743$

ΠΡΟΣΔΙΟΡΙΣΜΟΣ Σ - φ ΚΑΙ ΣΧΕΤΙΚΗΣ ΛΥΚΝΟΤΗΤΑΣ ΜΕ ΕΜΠΕΙΡΙΚΕΣ ΣΥΣΧΕΤΙΣΕΙΣ.  
 [16]



$$1 \text{ kg/cm}^2 = 0.1 \text{ MPa}$$



(Ex56) Προσδιορισμός  $\hat{\phi}$  και σχετικής λυκνωτητας ΔΥ. Σια ληγυεύτια υγιά IP < 1 σε σχέση των αριθμών προσαρτών "N" S.P.T.

(Ex57) Προσδιορισμός της  $\hat{\phi}$  συνοχής σε [MPA] σια ληγυεύτια υγιά σε σχέση με την κλινική φορά των αριθμών προσαρτών N.spt.

(After Wedd, για άμμο )  
 όπου  $E_s = \text{Μέτρο συμπίεσης } [kg/cm^2]$   
 $N = \text{Κρούσεις SPT ή διορθωμένες}$   
 $\text{σταν γίνουν κάτω από τον υ-$   
 $\text{δροφόρο ορίζοντα.}$

$$6.) \quad E_s = 8.06 * N * (1 - v^{1/2})$$

(After Farrent, για κάθε έδαφος).  
 όπου  $E_s = \text{Μέτρο συμπίεσης } [kg/cm^2]$   
 $v = \text{Ο λόγος τού Poisson, σελ}$   
 $N = \text{Κρούσεις SPT ή διορθωμένες}$   
 $\text{σταν γίνουν κάτω από τον υ-$   
 $\text{δροφόρο ορίζοντα.}$

$$7.) \quad E_s = 3.561 * (N + 5)$$

(After Wedd, για άργιλο με άμμο )  
 όπου  $E_s = \text{Μέτρο συμπίεσης } [kg/cm^2]$   
 $N = \text{Κρούσεις SPT ή διορθωμένες}$   
 $\text{σταν γίνουν κάτω από τον υ-$   
 $\text{δροφόρο ορίζοντα.}$

Σημ : Το  $E_s$  στις αργίλους υπολογίζεται πολύ  
 σωστά από τη δοκιμή στερεοποίησης.

Σημ : Για να υπολογίσουμε το μέσο μέτρο συ-  
 μπίεσης σε δύο στρώσεις εργαζόμαστε ως  
 εξεις :

$$E_s = \frac{H_1 + H_2}{\frac{H_1}{E_{s1}} + \frac{H_2}{E_{s2}}}$$

ΕΜΠΕΙΡΙΚΟΣ ΠΡΟΣΔΙΟΡΙΣΜΟΣ ΤΗΣ ΤΑΧΥΤΗΤΑΣ  
ΔΙΑΤΜΗΤΙΚΩΝ ΚΥΜΑΤΩΝ

$$us = 19 * N^{0.61} \quad [m/sec^2] \quad [6]$$

$$us = 107,6 * (N)^{0.36} \quad (\text{Αθανά σόπουλος})$$

$us = 86.84 \cdot N^{0.26}$ , γιά αυστηρά (Συγκριση μικροδονι-  
 σεων και σεισμικής απόκρισης τού έδαφους  
 στη Καλαμάτα. ΕΜΠ Διπλωματική εργασία.  
 I. Κοικέλη Α. Παπαδοπούλου. Αθήνα 1989)

ΕΜΠΕΙΡΙΚΟΣ ΥΠΟΛΟΓΙΣΜΟΣ ΑΝΤΟΧΗΣ ΣΕ  
ΑΝΕΜΠΩΔΙΣΤΗ ΘΛΙΨΗ

$$qu [kg/cm^2] = 0.13 * N \quad (\text{Για συνεκτικά, } I_p > 1)$$

ΕΜΠΕΙΡΙΚΕΣ ΣΥΣΧΕΤΗΣΕΙΣ ΜΕ ΒΑΣΗ ΤΑ  
ΑΠΟΤΕΛΕΣΜΑΤΑ ΔΟΚΙΜΩΝ ΣΤΑΤΙΚΩΝ  
ΠΕΝΕΤΡΟΜΕΤΡΗΣΕΩΝ CPT

Η περιγραφή της δοκιμής CPT δίνεται στή σελίδα (σελ44). Το ευρος εφαρμογής στή σελίδα (σελ48).

ΠΡΟΣΔΙΟΡΙΣΜΟΣ ΤΟΥ ΜΕΤΡΟΥ ΣΥΜΠΙΕΣΗΣ

$$E_s = a \cdot R_d$$

(Β. Παπαδόπουλος Σ. Πηλίτση Ν. Νόττα)

όπου  $a = 4$  για όμοιο,  $2$  για αργιλο.

$E_s = \text{Μέτρο συμπίεσης}$  [kg/cm<sup>2</sup>].

$R_d = \text{Αντοχή αιχμής σε}$  [kg/cm<sup>2</sup>].

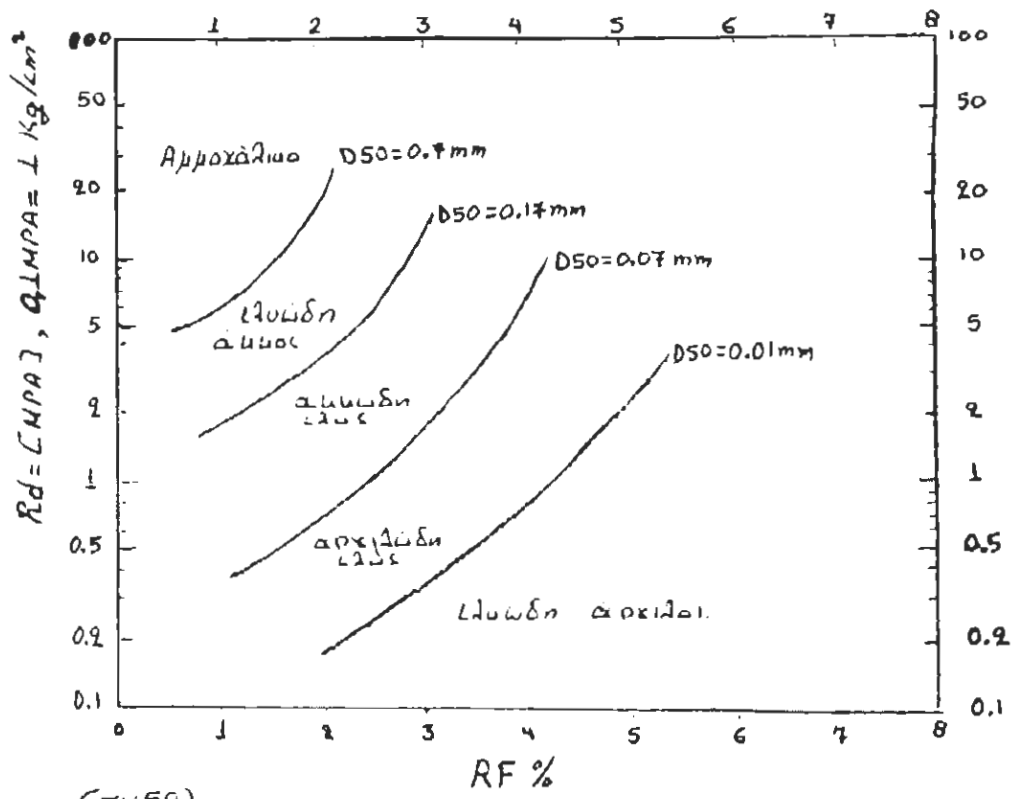
Η ΠΛΕΥΡΙΚΗ ΤΡΙΒΗ

Σε περίπτωση που η συσκευή δεν είναι εφοδιασμένη με μανδύα - με το εξάρτημα αυτό επιτυγχάνεται άμεσα η μέτρηση της πλευρικής τριβής - μπορούμε εύκολα να υπολογίσουμε το λόγο  $R_f$  από το σχήμα (σχ58).

όπου  $R_f = f_s / R_d$

$f_s = \text{Πλευρική τριβή}$  [kg/cm<sup>2</sup>]

$R_d = \text{Αντοχή αιχμής σε}$  [kg/cm<sup>2</sup>].



(σχ58)

(After Robertson - Campanella and Douglas - Olsen).

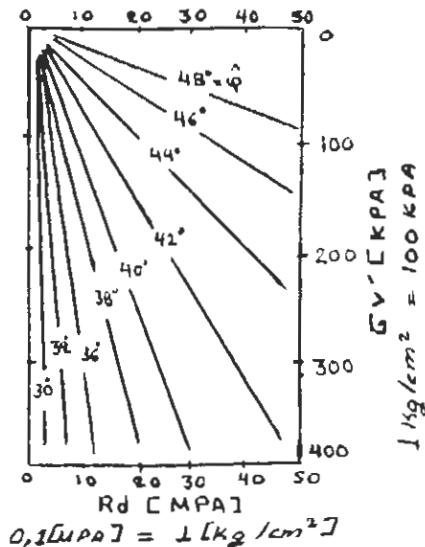
ΧΠΟΛΟΓΙΣΜΟΣ ΤΩΝ Σ. ΚΑΙ Φ.

Στο σχήμα που ακολουθεί δίνεται η σχέση μεταξύ εγεργής υπερκείμενης των γαιών κατακόρυφης τάσης συν' [kpa] και R<sub>d</sub>. Αντοχή αιχμής [MPA] και γωνίας εσωτερικής τριβής φ. (Robertson - Campanella) 0 10 20 30 40 50

Η αστράγγιστη συνοχή  
cu [kg/cm<sup>2</sup>] ισούτε  
με τη σχέση :

$$c_u = (R_d - \sigma v') / N_c$$

σπουδαίων αιχμής συν = γατών Nc = 18 Nc = 17 (Tomás) (Anagnostopoulos).



**ΠΡΟΣΑΙΓΡΙΣΜΟΣ ΑΕΙΚΤΗ ΣΥΜΠΛΕΣΤΟΤΗΤΑΣ**

$$Cc = (R_d - 4.2) / (R_d - 40) \text{ (Sanglerat)}$$

(Ο τύπος αυτός έχει μικρή ακρίβεια και πη χρήση του περιορίζεται σε μικρής σπουδαιότητας έργα και προμελέτες.)

Βιβλιογραφία

- [1] Αγγελίδης Σ. "Στατική επίλυσης εσχάρων εδραζουμένων επι ελαστικού εδάφους". Διδακτορική διατριβή. Σχολή πολιτικών μηχανικών Εθνικού Μετσοβίου Πολυτεχνείου. Αθήνα 1962.
- [2] Αναγνωστόπουλος Γ. Α. "Θεμελιώσεις με παρασκόπους". Εκδόσεις Συμεών. Αθήνα Οκτ. 1990.
- [3] Αναγνωστόπουλος Γ. Α. Παπαδόπουλος Π. Β. "Επιφανειακές θεμελιώσεις". Εκδόσεις Συμεών. Αθήνα 1989.
- [4] Βαψειόπουλος "Εδαφομηχανική εις τη κατασκευή οδών και αεροδρομίων". Αθήνα 1956.
- [5] Γαλανόπουλος Α. "Εισαγωγικά μαθήματα εφοριοδοτημένης γεωφυσικής". Αθήνα 1976.
- [6] Γκαζέτας Γ. "Σημειώσεις εδαφοδυναμικής". Εθνικό Μετσοβίο Πολυτεχνείο. Αθήνα 1988, 1990.
- [7] Γραμματικόπουλος Γ. Μάνου - Ανδρεάδου Ν. Χαρζηγάχος "Εδαφομηχανική ασκήσεις και προβλήματα". Θεσσαλονίκη 1980.
- [8] Δευτρός Α. Κ. "Τεχνική γεωλογία. διερεύνηση των γεωλογικών σχηματισμών". Μέρος θ'. Εκδόσεις University Studio Press. Θεσσαλονίκη 1986.
- [9] Dowrick J. David. "Earthquake resistant design". For engineers and architects. Second edition. Printed by John Wiley and sons LTD. California 1987
- [10] Duncan N. Dunne M. H. Petty S. "Swelling characteristics of rocks". Watter Power p.p. 185 - 192 May 1968.
- [11] Καλέργη Γ. Κουκης "Τεχνική γεωλογία". ΟΕΔΒ. Πάτρα 1985.
- [12] Καράκης Θ. "Θεμελιώσεις Ι ". Πάτρα 1987.
- [13] Μπουκοβάκης Δ. Γεώργιος. "Ρευστοποίηση λόγο σεισμού Σημειώσεις διαλέξεως στα πλαίσια των εκπαιδευτικών σεμιναρίων του τόμεα γεωτεχνικής ΕΜΠ. Αθήνα 1990.
- [14] Παγουλάτος Δ. Παγανός Δ. "Εργαστηριακές ασκήσεις εδαφομηχανικής". ΤΕΙ Πάτρας 1992.
- [15] Παναγιωτούνακος Δ. Ευάχ. "Θεμελιώσεις επι ελαστικου εδάφους διά δοκων και εσχάρας εξ οπλισμένου υκυροδέματος". Αθήνα 1955.

- [16] Παπασπύρου Ν. Σπύρος. "Άγκυρώσεις". Αθήνα 1985.
- [17] Παπασταυάντου Δ. Ψυχάρης Γ. "Βοηθητικές σημειώσεις αντίσεισμικής τεχνολογίας". Εθνικό Μετσόβιο Πολυτεχνείο. Αθήνα 1990.
- [18] Peck B. Ralph - Walter E. Hanson. "Foundation engineering". Thomas H. Thornburg John Wiley and sons LTD. Printed in United States of America 1966.
- [19] Προσωπικές σημειώσεις στα πλαίσια της εκπαίδευσής μου σαν εργαστηριακός βοηθός στο Κεντρικό Εργαστήριο Δημοσίων έργων. (Τημα Βραγουμπχανικής - εδαφομηχανικής και θεμελιώσεων). Αθήνα 1992 - 1993.
- [20] Προσωπικές σημειώσεις από τις παραδόσεις στο μάθημα των θεμελιώσεων από τον καθηγητή Σ.Η.Δοϊτσο. Πάτρα 1991.
- [21] Terzaghi K. Peck R. "Εφημορισμένη εδαφομηχανική 2" M. Γκιουνόδας. Αθήνα 1969.
- [22] Τεχνικό Επιμελητήριο Ελλάδος. Ελληνική Επιστημονική Εταιρία Εδαφομηχανικής και θεμελιώσεων. "Πρακτικά ποώτου πανελλήνιου συνεδρίου γεωτεχνικής μηχανικής" Τόμος 1. Εκδόσεις Επιάλοφος ΑΒΕΕ. Αθήνα 3 - 5 Φεβρουαρίου 1988.
- [23] Τσουτρέλης Χ. "Γεωτρήσεις δειγματοληψίας". Εθνικό Μετσόβιο Πολυτεχνείο. Αθήνα 1971.
- [24] Σύνδεσμος πολ. μηχανικών και αρχιτεκτόνων Κύπρου. "Επιστημονικές ανακοινώσεις Κυπρίων τεχνικών. Σεμινάριο θεμελιώσεων επί αρχιτλαδών εδαφών". Λευκωσία 1973.
- [25] ΥΠΕΧΩΔΕ "Τεχνικές προδιαγραφές δειγματοληπτικών γεωτρήσεων [πράγμα για γεωτεχνικές έρευνες]", ΦΕΚ 363/24 - 6 - 83. Τεύχος δεύτερο. Αθήνα 1983.
- [26] ΥΠΕΧΩΔΕ "Τεχνικές προδιαγραφές γεωλογικών εργασιών μέσα στα πλαίσια των μελετών τεχνικών έργων". Ε 104-85. ΦΕΚ 29 / 11 - 2 - 86. Τεύχος δεύτερο. Αθήνα 1986.
- [27] ΥΠΕΧΩΔΕ "Προδιαγραφές εργαστηριακών δοκιμών εδαφομηχανικής". Ε 105-86. ΦΕΚ 955 / 31 - 12 - 86. Τεύχος δεύτερο. Αθήνα 1986.
- [28] ΥΠΕΧΩΔΕ "Προδιαγραφές επί τόπου δοκιμών εδαφομηχανικής". Ε 106-86. ΦΕΚ 955 / 31 - 12 - 86. Τεύχος δεύτερο. Αθήνα 1986.
- [29] Ψυχόγυντοπουλός Γ. "Νέες τεχνικές διάτονσης για την επίλυση προβλημάτων πυρηνοληψίας". ΙΓΜΕ Αθήνα 1993

[30] Wilson S. D. and Deitrich R.J. "Effect of consolidation pressure on elastic and strength properties of clay". Proc. ASCE research conf. on shear strength of cohesive soils. University of Colorado 1960.